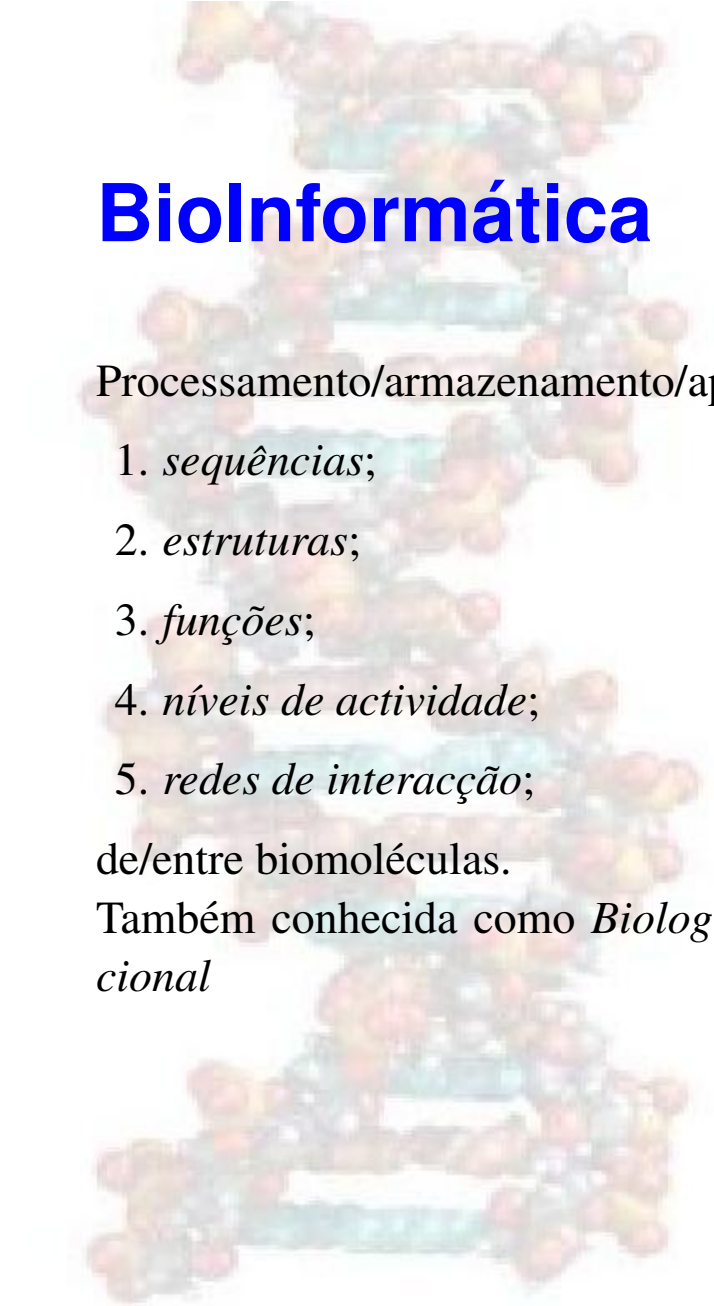
The image is a reproduction of the famous fresco 'The Creation of Adam' by Michelangelo. It depicts Adam on the left, reclining on a rock, and God on the right, reclining on a purple cloud. The two figures' hands are just inches apart, creating a sense of tension. The background is a plain, light-colored wall with some visible cracks.

Bioinformática
MIB

Vítor Santos Costa
DCC/FCUP
Universidade do Porto



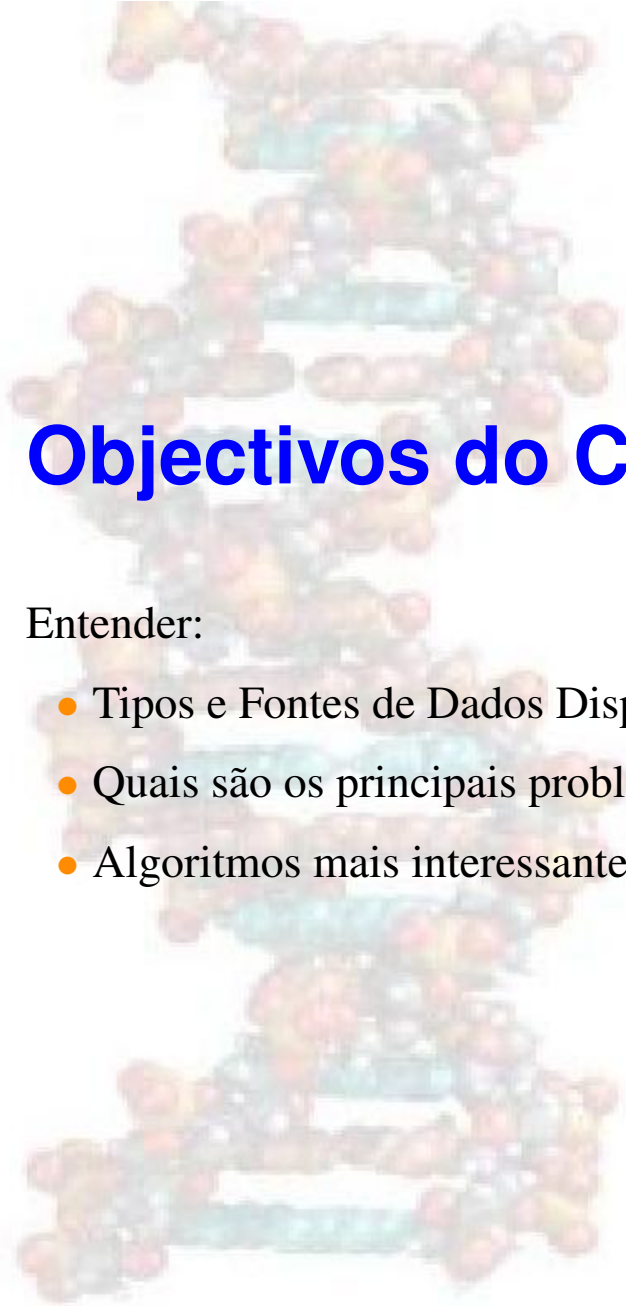
BiInformática

Processamento/armazenamento/apresentação/pesquisa de dados biológicos:

1. *sequências*;
2. *estruturas*;
3. *funções*;
4. *níveis de actividade*;
5. *redes de interacção*;

de/entre biomoléculas.

Também conhecida como *Biologia Computacional* ou *Biologia Molecular Computacional*



Objetivos do Curso

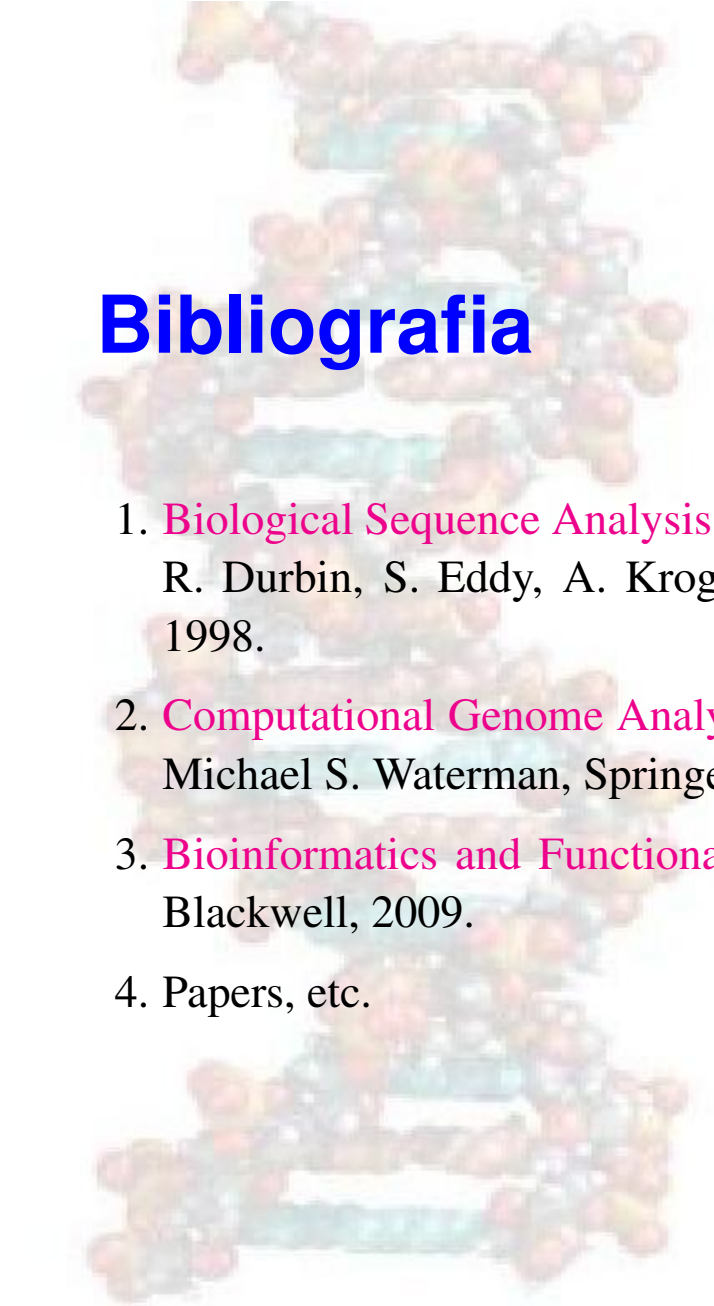
Entender:

- Tipos e Fontes de Dados Disponíveis em Biologia Molecular;
- Quais são os principais problemas computacionais;
- Algoritmos mais interessantes e relevantes.



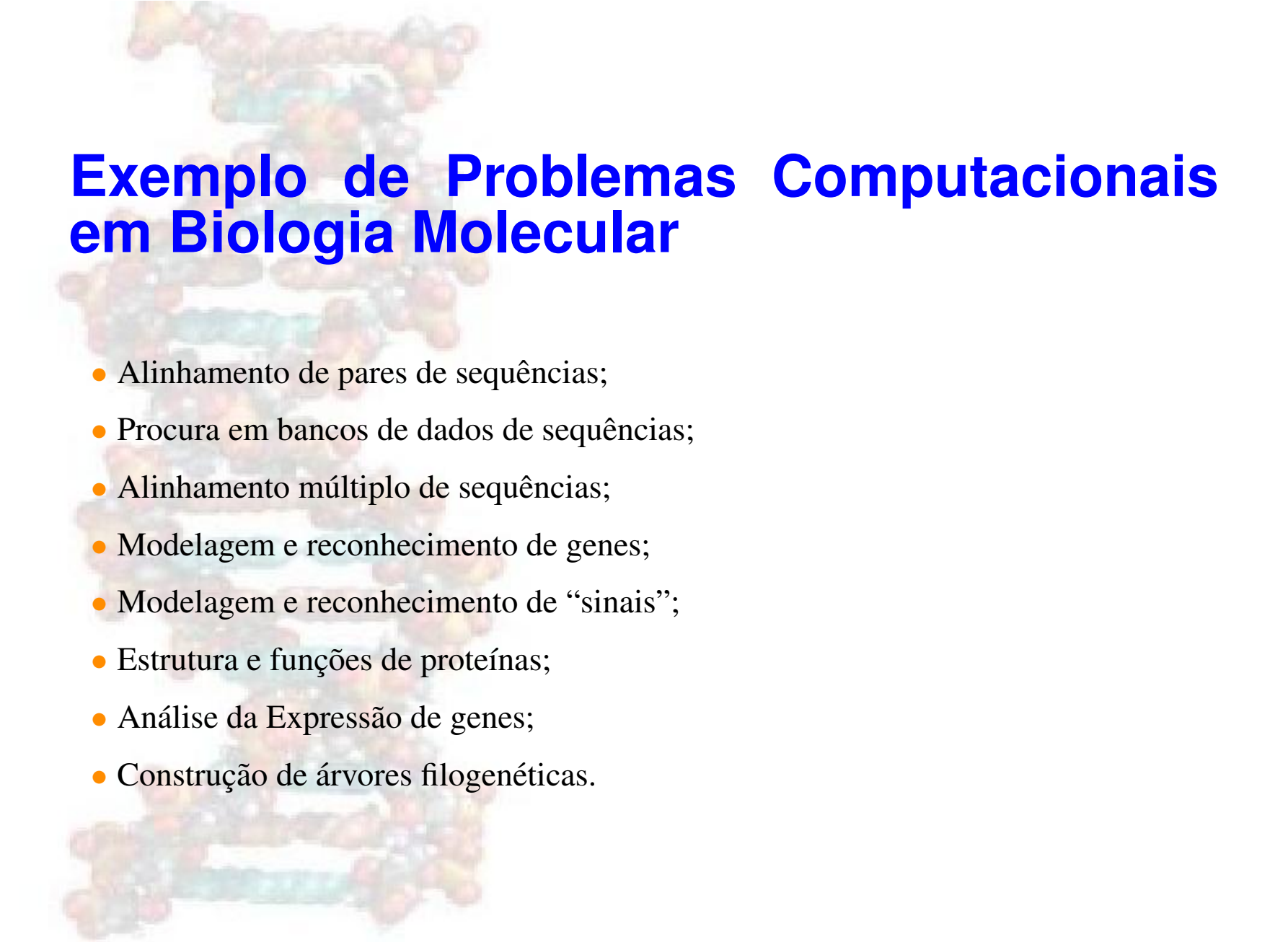
Fundamentos

1. Algoritmos e Estruturas de Dados
2. Estatística.
3. Biologia Molecular.



Bibliografia

1. **Biological Sequence Analysis: Probabilistic Models of Proteins and Nucleic Acids.** R. Durbin, S. Eddy, A. Krogh, and G. Mitchison. Cambridge University Press, 1998.
2. **Computational Genome Analysis An Introduction**, Richard Deonier, S Tavaré, and Michael S. Waterman, Springer Verlag, 2005.
3. **Bioinformatics and Functional Genomics**, Jonathan Pevsner, 2nd edition, Wiley-Blackwell, 2009.
4. Papers, etc.

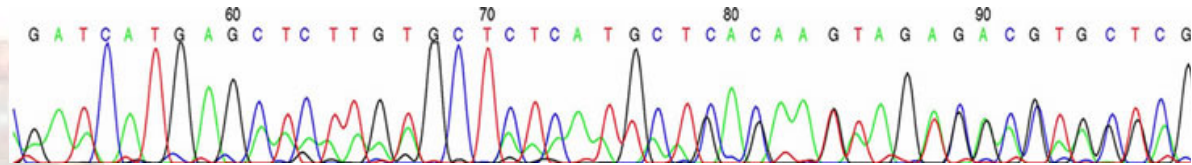


Exemplo de Problemas Computacionais em Biologia Molecular

- Alinhamento de pares de sequências;
- Procura em bancos de dados de sequências;
- Alinhamento múltiplo de sequências;
- Modelagem e reconhecimento de genes;
- Modelagem e reconhecimento de “sinais”;
- Estrutura e funções de proteínas;
- Análise da Expressão de genes;
- Construção de árvores filogenéticas.

Montar Genoma

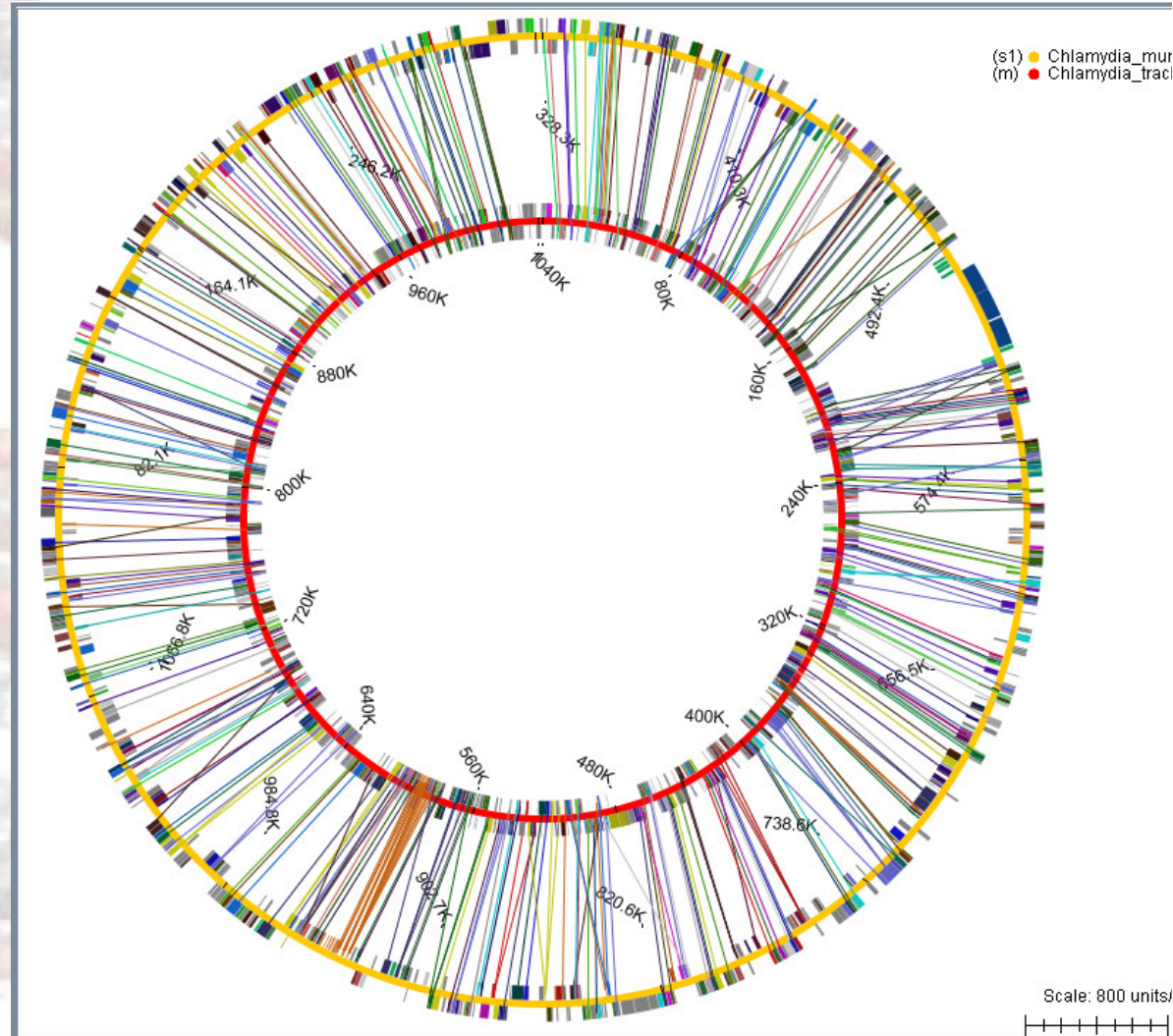
- Pipelines
- Phred/Phrap
- ABySS
- Estadística



Comparar duas sequências de Genes

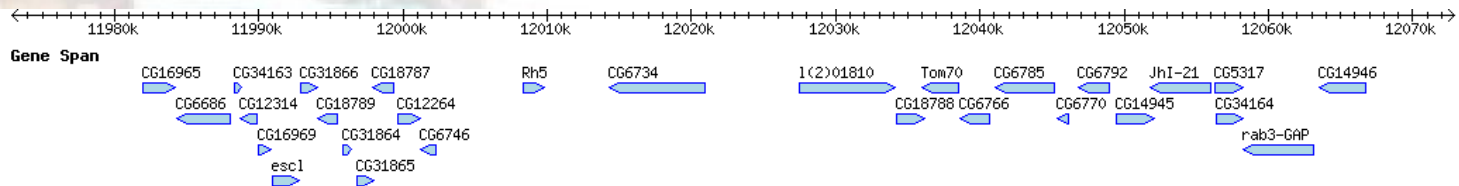
- Sequências

- Programação vDinâmica



Encontrar Genes no Genoma

- Markov Models
- Hidden Markov Models

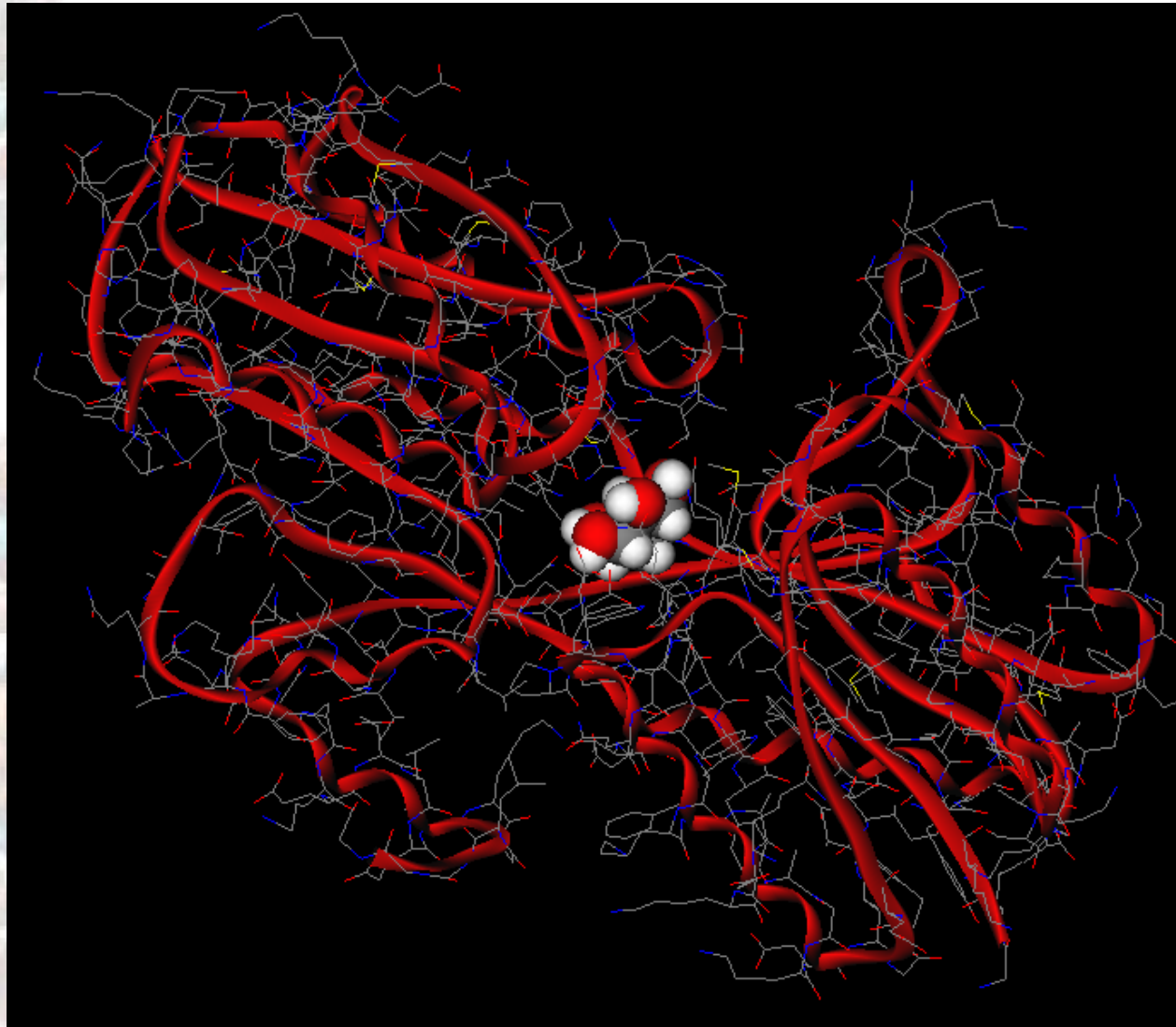


Estrutura de Proteínas

- Programação Dinâmica

- Branch & Bound

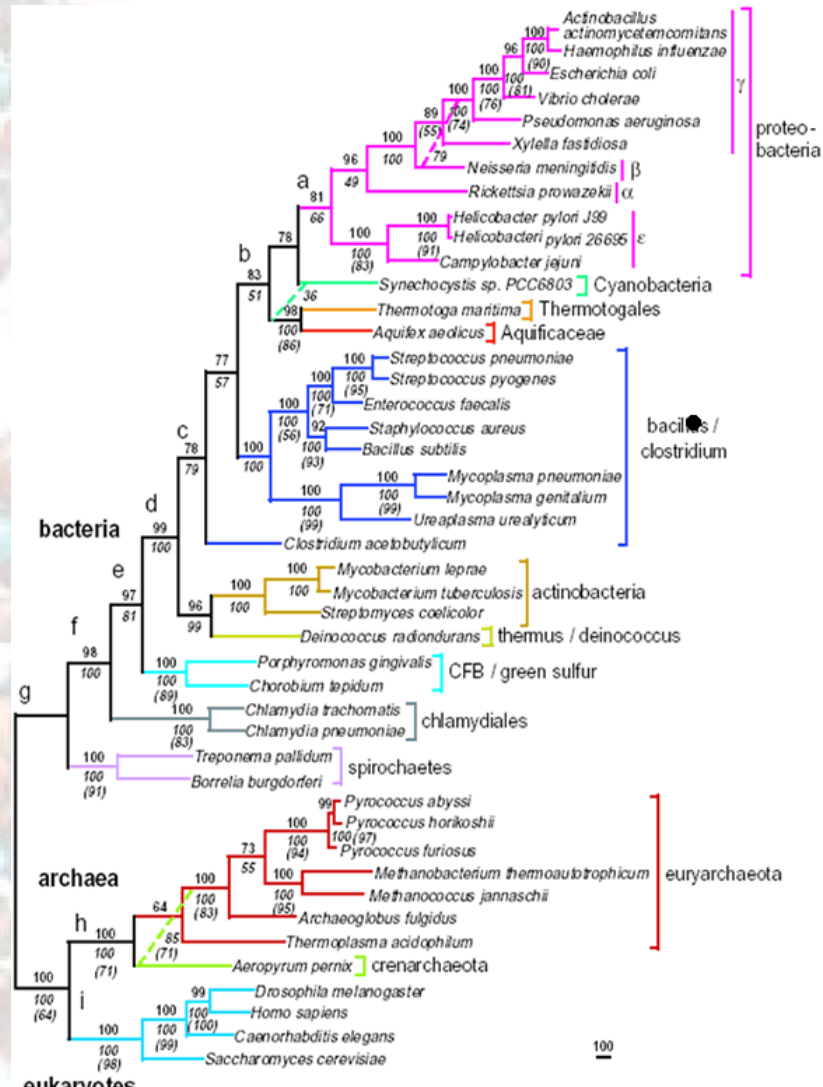
- HMMs



Árvores Filogenéticas

- Inferência em Árvores

- Métodos de Procura?



Expressão de Genes

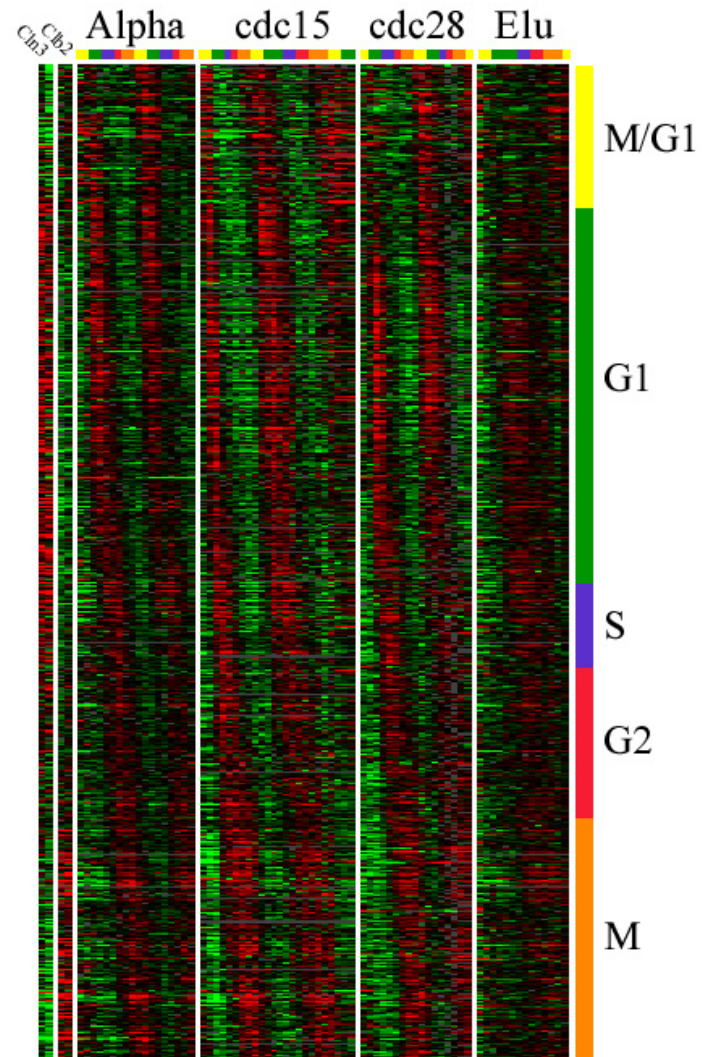
- a figure mostra a expressão de um gene de fermento:

★ cada linha é um gene

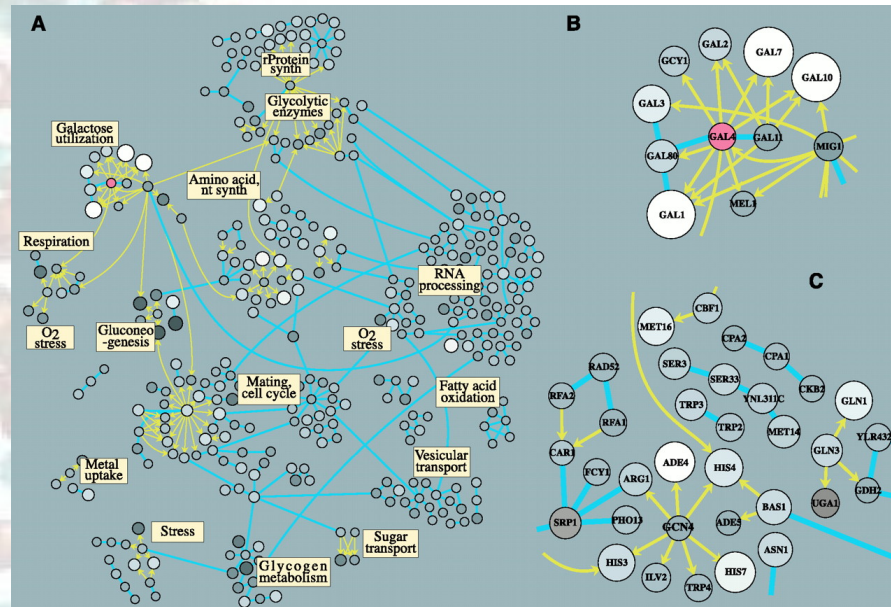
★ coluna representa medida da expressão de genes em certa altura

- vermelho: acima de um certo nível

- azul: abaixo de um certo nível

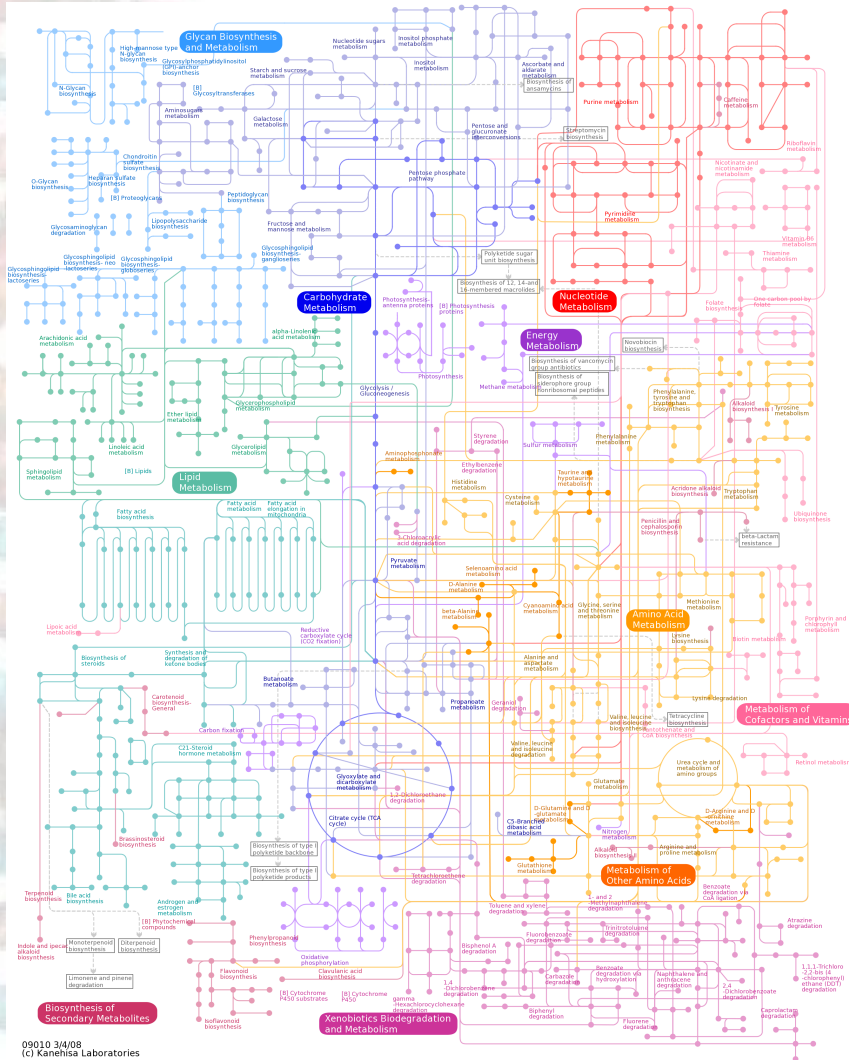


Interações



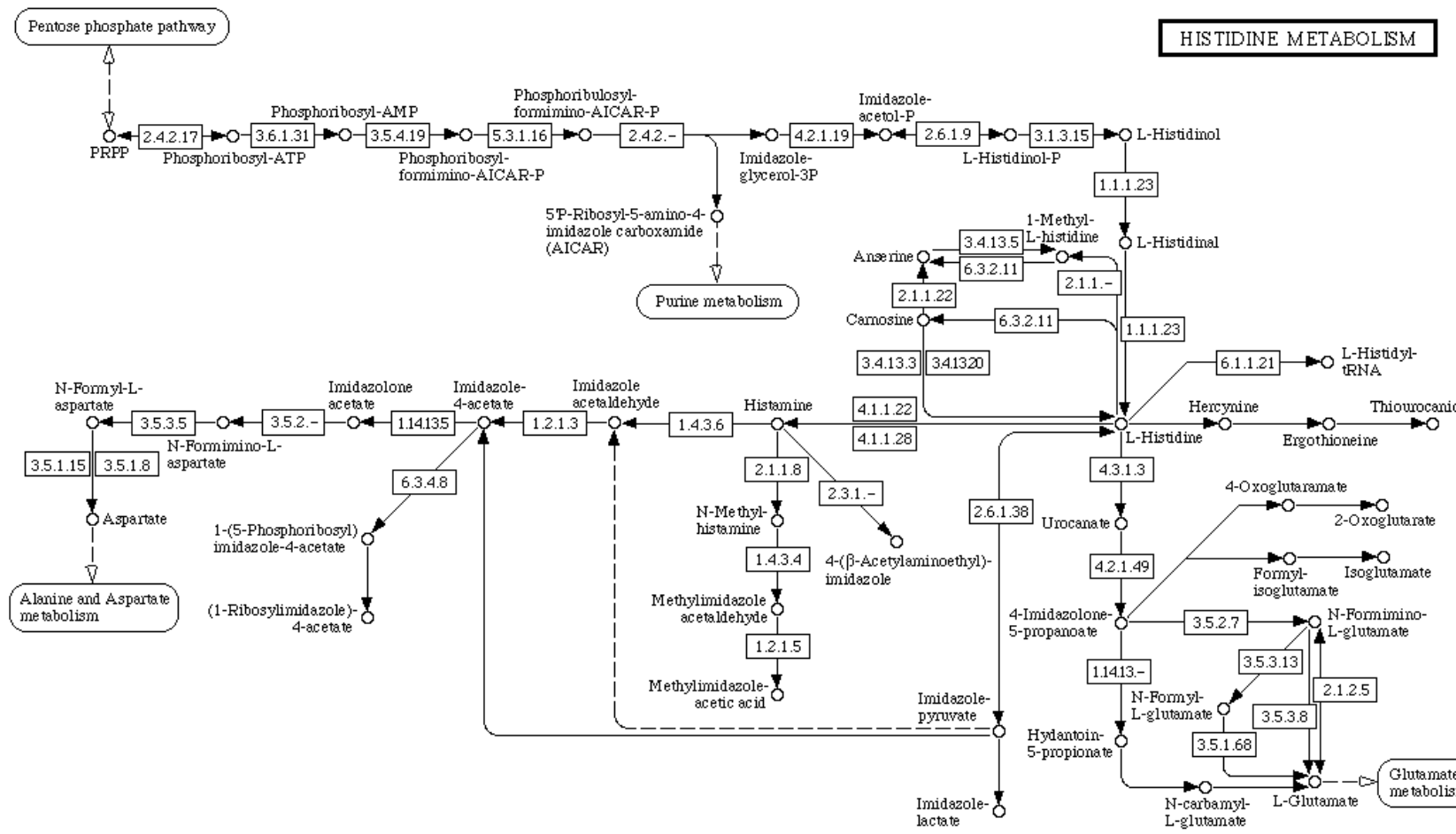
- cada nó representa o produto de um gene (proteína)
- linhas azuis representam interações directas entre proteínas
- linhas amarelas mostram interações em que uma proteína associa a DNA e altera a expressão de outra.

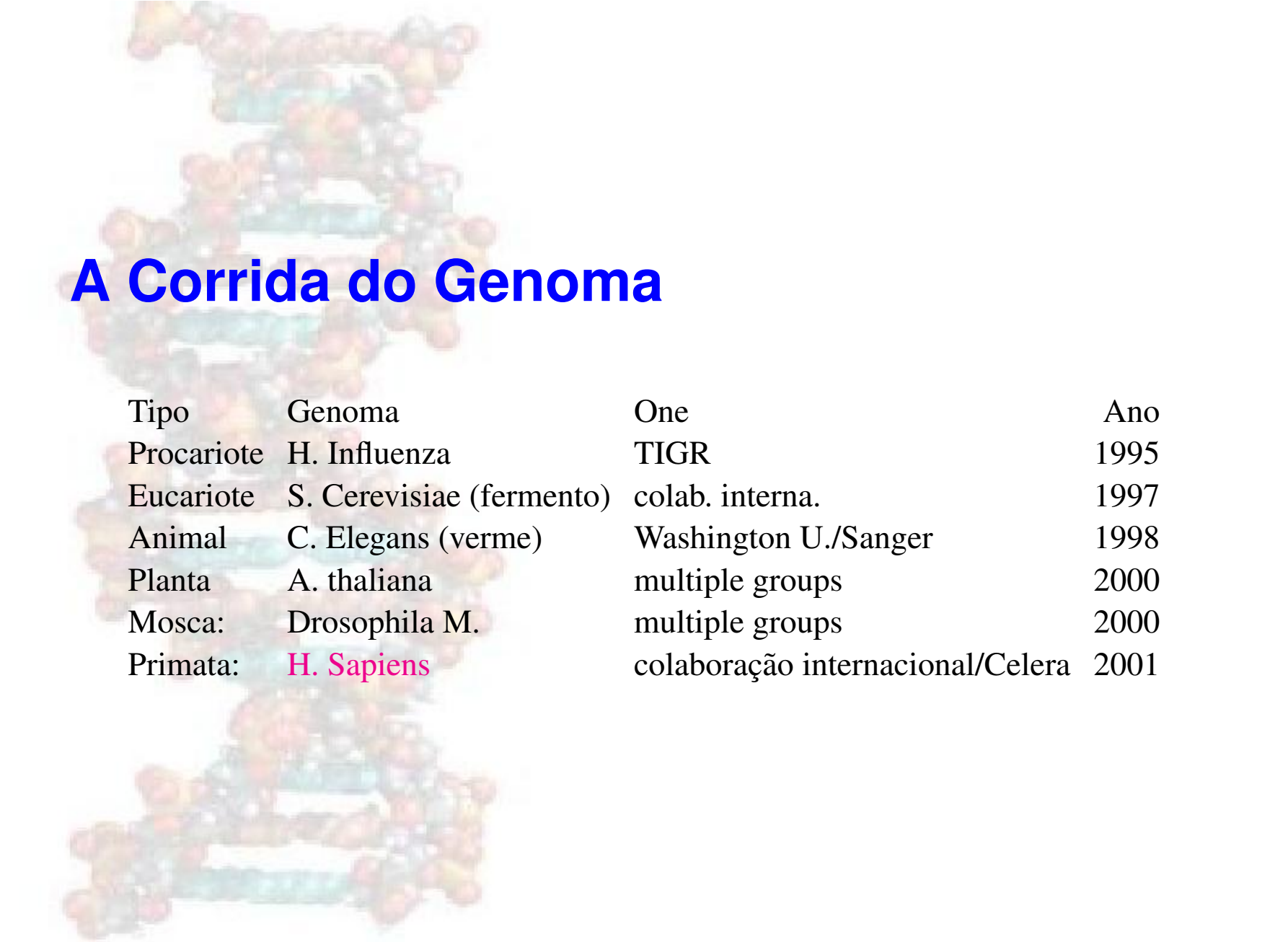
Mapa do Metabolismo



Om Detaine: Histidine

HISTIDINE METABOLISM





A Corrida do Genoma

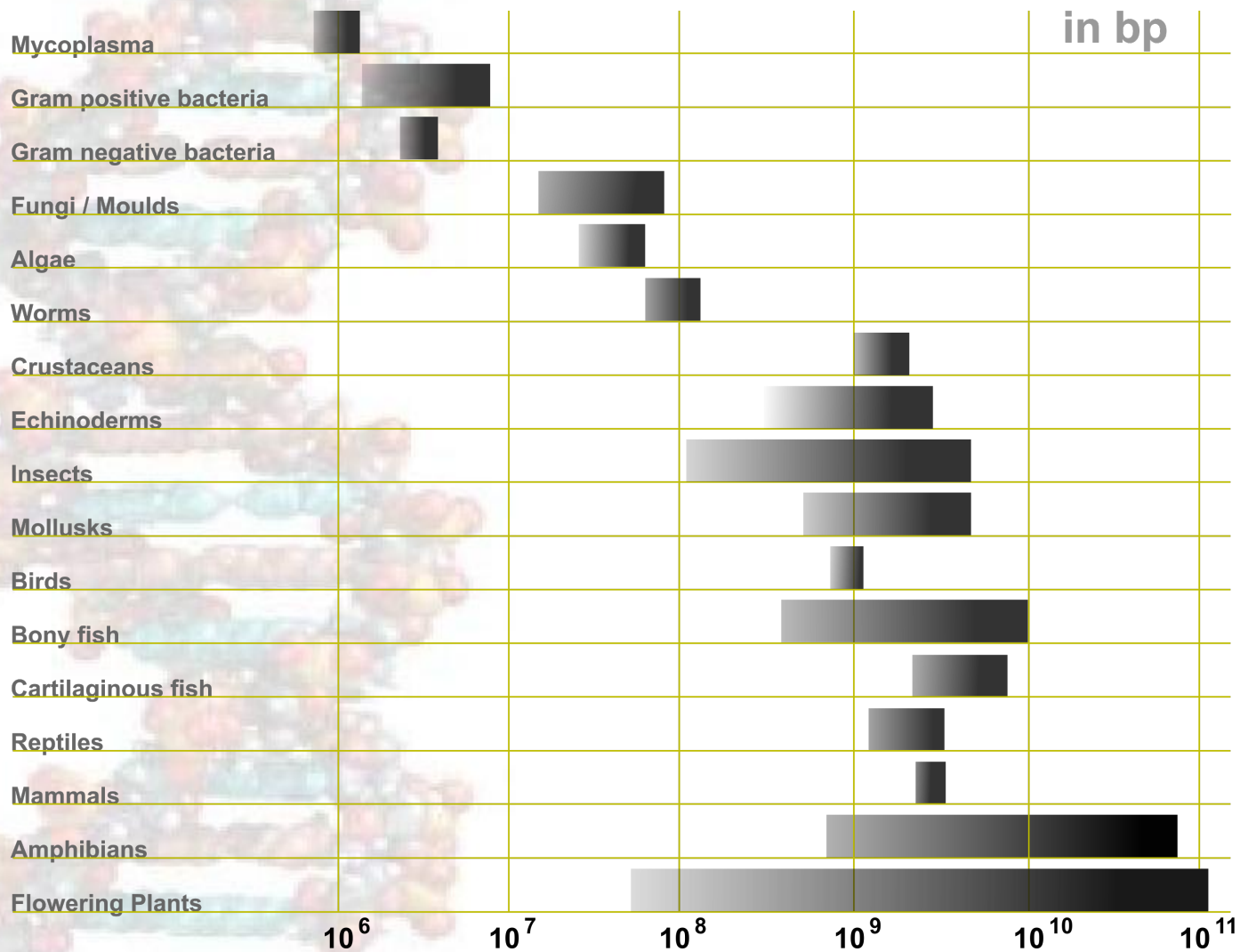
Tipo	Genoma	One	Ano
Procariote	H. Influenza	TIGR	1995
Eucariote	S. Cerevisiae (fermento)	colab. interna.	1997
Animal	C. Elegans (verme)	Washington U./Sanger	1998
Planta	A. thaliana	multiple groups	2000
Mosca:	Drosophila M.	multiple groups	2000
Primata:	H. Sapiens	colaboração internacional/Celera	2001

Genomas Completamente Publicados

Tipo	Número Aproximado
Archaea	117
Bacteria	1644
Eucariotes	153

- dados de **GOLD**
- Não conta vírus, fagos, etc.
- Organismos multicelulares: rato, fungos, e homo sapiens.
- Em progresso:
 - ★ 212 archaea
 - ★ 6980 bacterias
 - ★ 2013 eucariotes
- **10K genome project**

Tamanhos de Alguns Genomas



Há Mais

- > 300 outros bancos de dados sobre biologia nuclear.
- **GenBank** (Feb 2008):
 - ★ 126,551,501,141 bases
 - ★ 135,440,924 sequências
- **UniProt** com SWISS-Prot (2011_08):
 - ★ 200346 entradas com sequências de proteínas
 - ★ 188463640 amino-ácidos
- **Protein Data Bank** (Abril 06):
 - ★ 70209 proteínas e estruturas relacionadas.

Técnicas

- Algoritmos sobre Sequências
- Programação Dinâmica
- Aprendizagem Automática
- Modelos baseados em cadeias de Markov
- Cadeias de Markov escondidas (HMM)
- Algoritmos EM
- Paricionamento de Dados
- Algoritmos sobre Árvores
- ...

Significado da Revolução Genómica

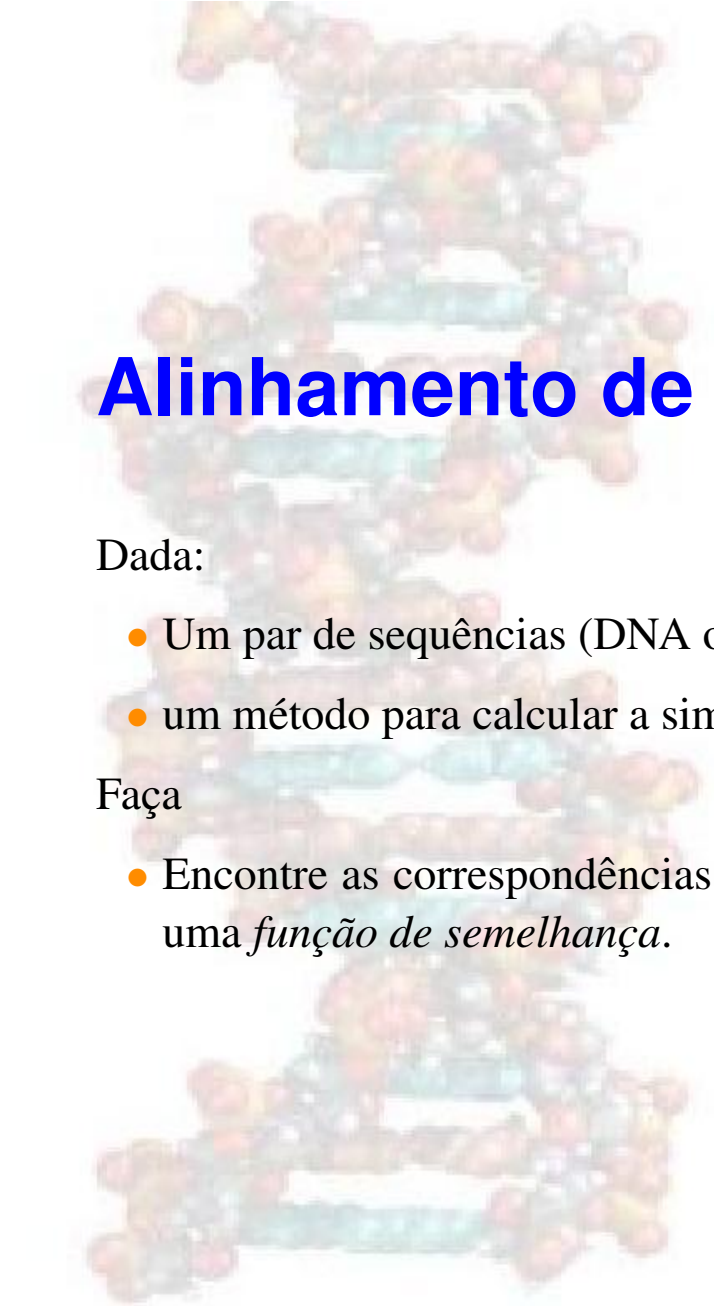
- Biologia baseada em dados:
 - ★ genómica funcional
 - ★ genómica comparativa
 - ★ biologia de sistemas
- Medicina Molecular:
 - ★ Identificação de componentes genéticos de várias doenças
 - ★ diagnose/prognose a partir de sequências/expressões
 - ★ terapia com genes
- Farmacogenómicas:
 - ★ Desenvolver drogas altamente especializada
- Toxicogenómicas:
 - ★ Que genes são afectadas por que agentes químicos.

Bioinformática Revisitada

Representação/Armazenamento/Recuperação/Análise de dados biológicos sobre sequências (DNA, proteínas)

- estruturas (proteínas)
- funções (proteínas, sinais de sequências)
- níveis de actividade (mRNA, proteínas)
- redes de interacções (caminhos metabólicos, caminhos regulatórios, caminhos de sinalização)

de/entre biomoléculas



Alinhamento de Pares de Sequências

Dada:

- Um par de sequências (DNA ou proteína)
- um método para calcular a similaridade de um par de caracteres na sequência

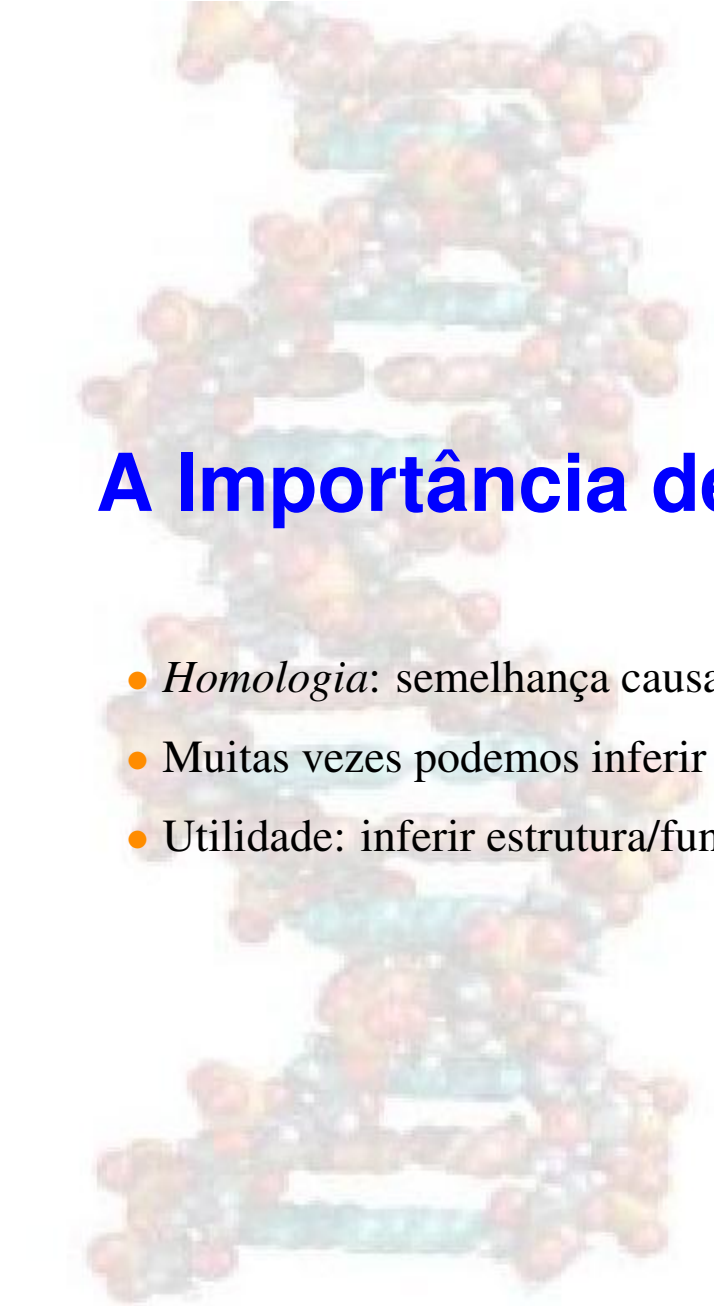
Faça

- Encontre as correspondências entre subsequências nas sequências que maximizam uma *função de semelhança*.



Motivação

- Comparar sequências para obter informação sobre a estrutura e função de uma sequência.
- Juntar um conjunto de fragmentos de sequência
- Comparar um segmento sequenciado por diferentes laboratórios

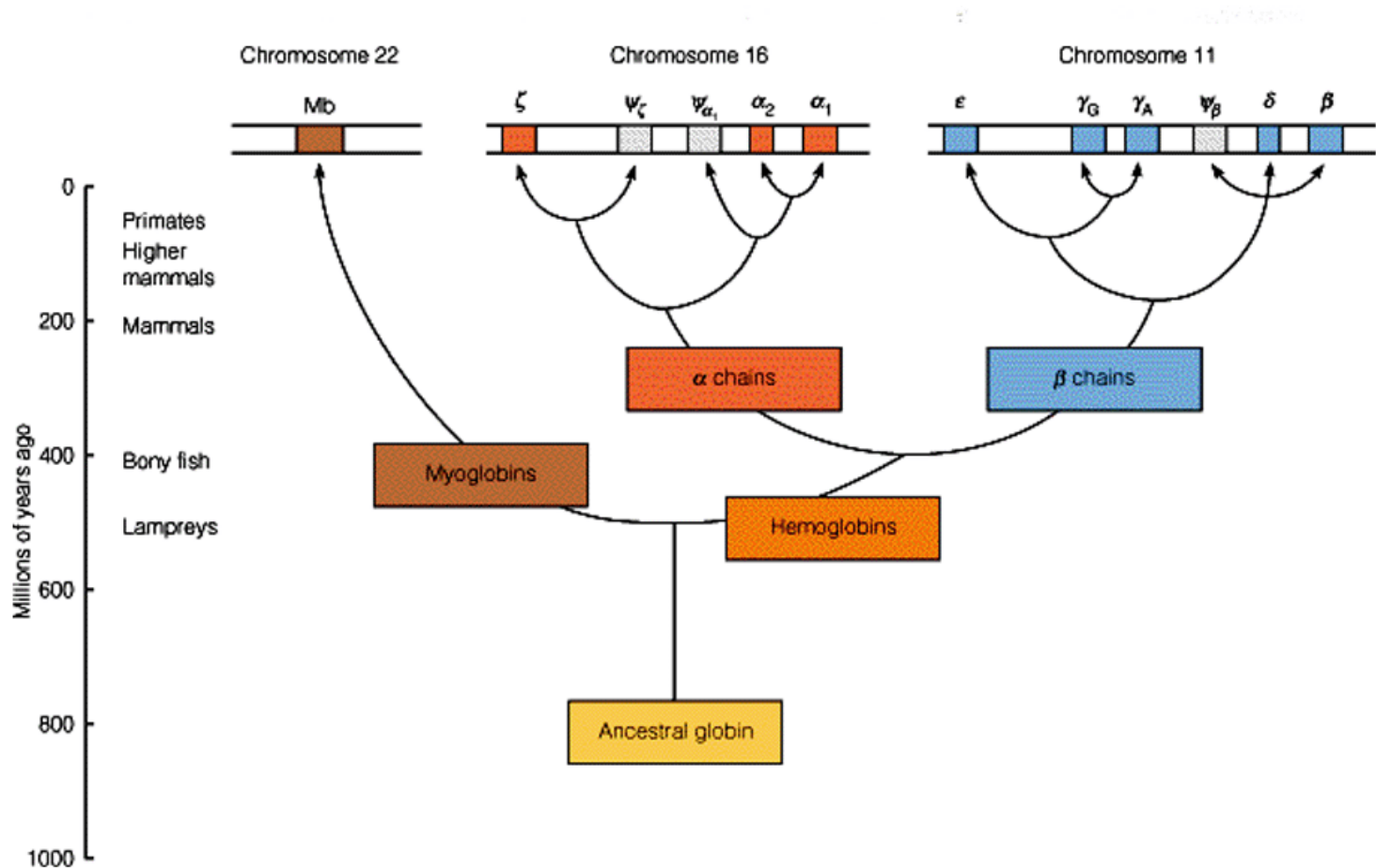


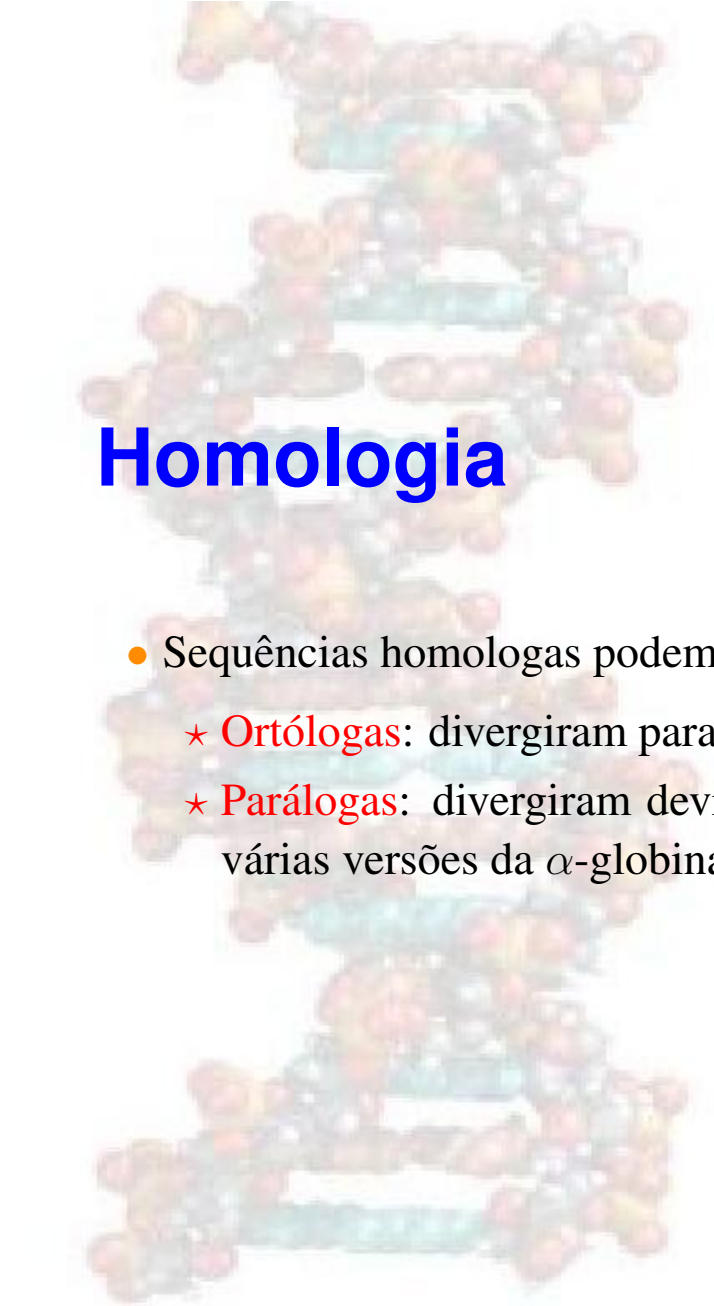
A Importância de Homologia

- *Homologia*: semelhança causada por descendência do mesmo antepassado
- Muitas vezes podemos inferir homologia de similaridade
- Utilidade: inferir estrutura/função a partir de similaridade.

Exemplo: Globinas

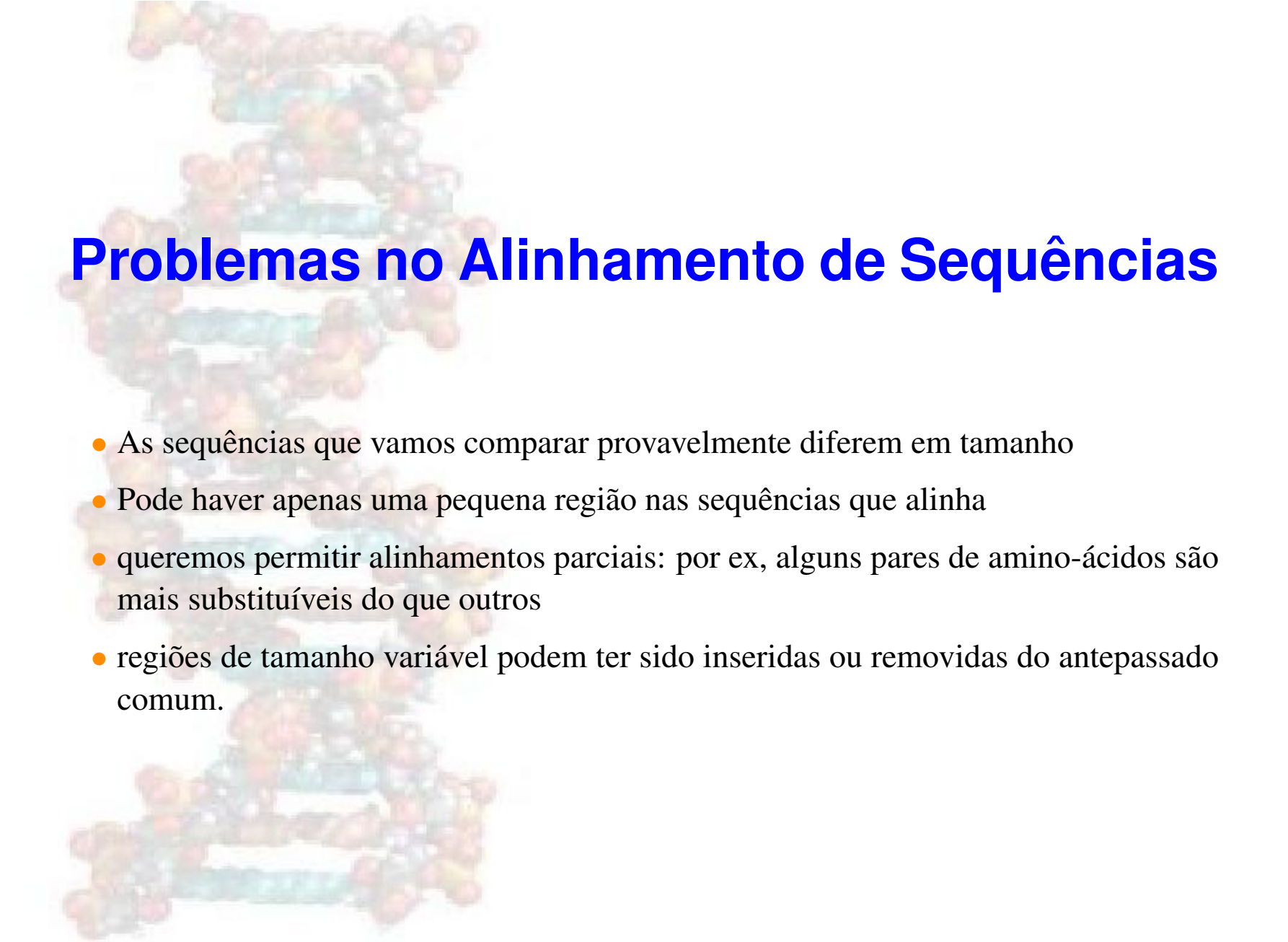
Globin evolution and expression





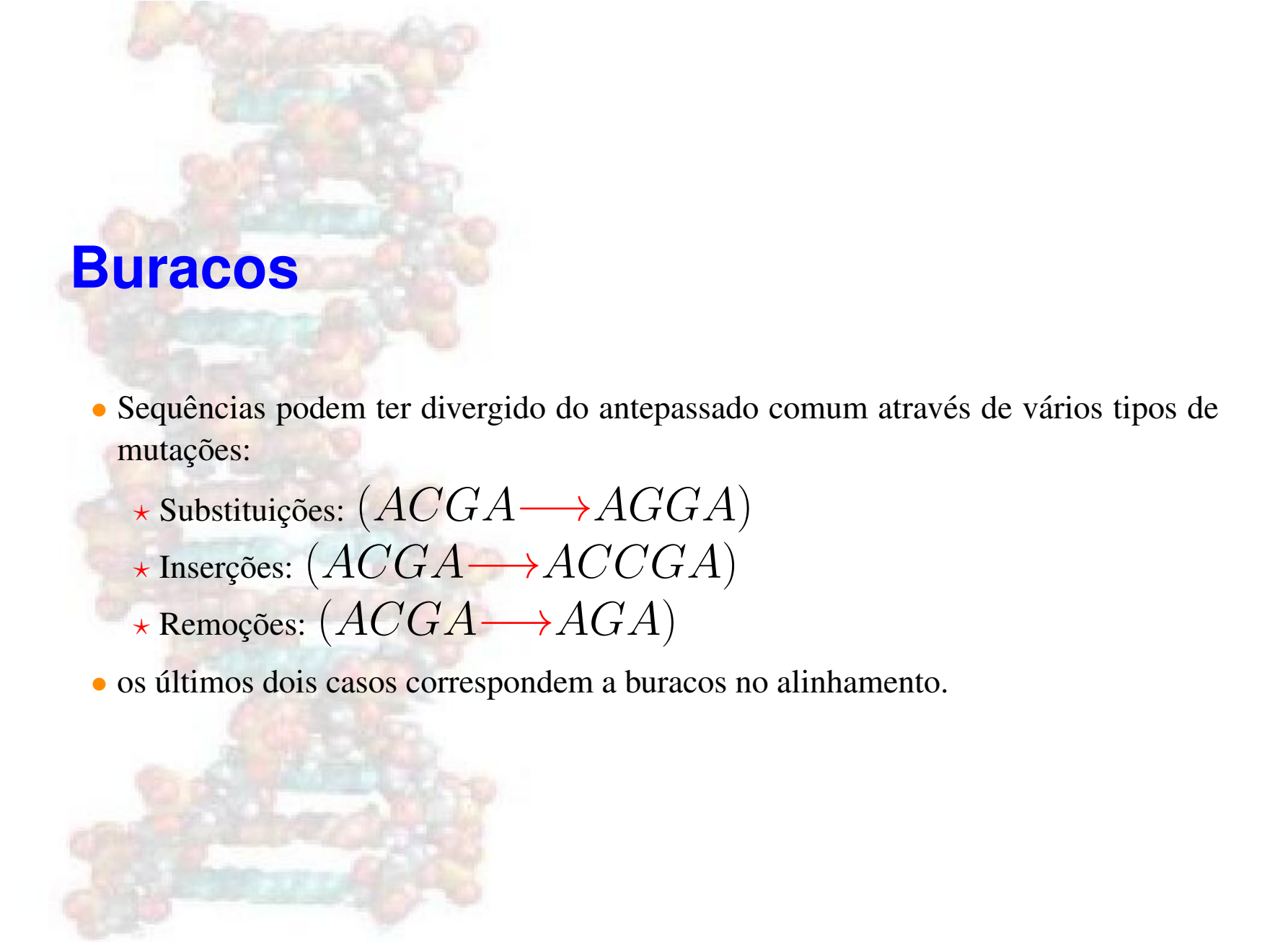
Homologia

- Sequências homólogas podem ser divididas em dois grupos:
 - ★ **Ortólogos**: divergiram para espécies diferentes (eg, α -globina humana e do rato)
 - ★ **Parálogos**: divergiram devido a duplicação de genes na mesma espécie (eg, as várias versões da α -globina humana e da β -globina humana).



Problemas no Alinhamento de Sequências

- As sequências que vamos comparar provavelmente diferem em tamanho
- Pode haver apenas uma pequena região nas sequências que alinha
- queremos permitir alinhamentos parciais: por ex, alguns pares de amino-ácidos são mais substituíveis do que outros
- regiões de tamanho variável podem ter sido inseridas ou removidas do antepassado comum.



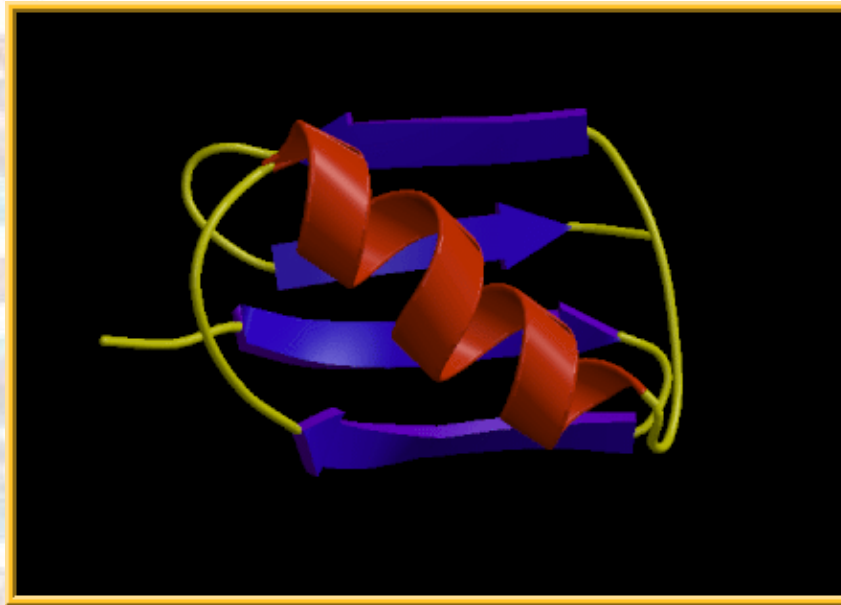
Buracos

- Sequências podem ter divergido do antepassado comum através de vários tipos de mutações:
 - ★ Substituições: ($ACGA \rightarrow AGGA$)
 - ★ Inserções: ($ACGA \rightarrow ACCGA$)
 - ★ Remoções: ($ACGA \rightarrow AGA$)
- os últimos dois casos correspondem a buracos no alinhamento.

Inserções e Remoções vs Estrutura da Proteína

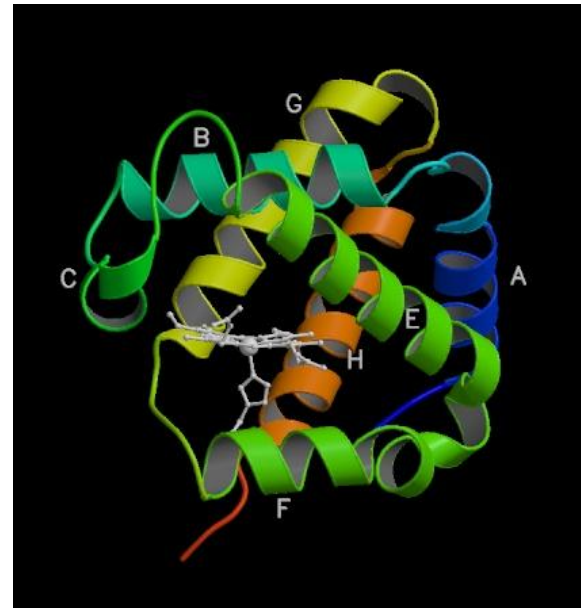
Porque é que duas sequências semelhantes podem ter muitas inserções ou remoções

- Inserções e remoções podem não afectar significativamente a estrutura da proteína.



Exemplo de Alinhamento: Globinas

- À direita, estrutura tipo de Globinas
- Em baixo, parte do Alinhamento para oito globinas

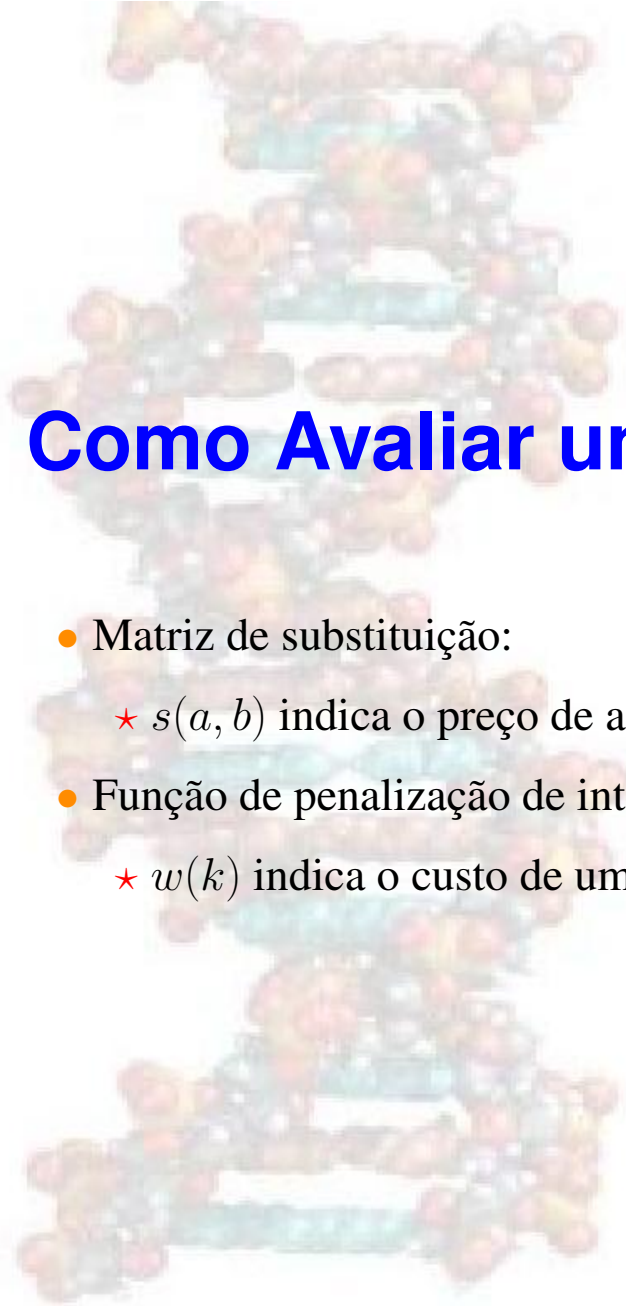


	A0	A4	A8	A12	B1	B6	B14	C2	CD1	CD4					
Hb_a	-----VL	SPADK	TNVKA	AWGK	VGA---	HAGE	YGAE	ALERM	FLSF	PTTK	TYFPHF				
Hb_b	-----VHL	TPEEK	SAVTAL	WGKV---	NVDE	VGGE	ALGRLL	VVYP	PWTQ	RRFF	ESF				
Mb_SW	-----VL	SEGE	WQLVLH	VWAK	VEA---	DVAG	HGOD	ILIRL	FKSH	PETLEK	FDRF				
LegHb	-----GAL	TESQA	ALVK	SSWEE	FNA---	NIPKH	THRFF	FILVLE	ETAP	AAKDL	FSFL				
BacHb	-----LDQ	TINI	IKAT	VPVL	KEHG---	V-T	TITTF	YKNLF	AKHP	EVRPL	PF---				
SeaHb	GGTL	AIQA	QGD	TLAQ	KKIV	RKTWH	QLMR---	NKTS	FVTD	VFIR	IFAY	DP	SAQ	NKFP	QPM
AscHb	-----AN	KTR	ELCM	KSLE	HAKV	DTSNE	ARQD	GIDL	YKHM	FENYP	PLRKY	FKS-			
Eryt.	-----L	SADQ	I	STVQ	ASFD	KVKG---	DPVG	ILYAV	FKAD	PS	IMAK	F	TQF		



Tipos de Alinhamento

- *Global*: encontrar o melhor alinhamento entre sequências completas
- *Local*: encontrar o melhor alinhamento entre subsequências completas
- *Semi-Global*: encontrar o melhor alinhamento sem penalizar espaços brancos nas bordas do alinhamento



Como Avaliar um Alinhamento

- Matriz de substituição:
 - ★ $s(a, b)$ indica o preço de alinhar o caracter a com o caracter b .
- Função de penalização de intervalos:
 - ★ $w(k)$ indica o custo de um intervalo de tamanho k .

Função de Penalização Linear

- Diferentes funções de penalização podem requerer algoritmos de programação dinâmica diferente
 - ★ O caso mais simples é quando usamos uma função linear:

$$w(k) = gk$$

onde g é uma constante

- Vamos começar por aqui.

Pontuação de Alinhamentos

- A pontuação de um alinhamento é:
 1. somatório dos pares de caracteres alinhados,
 2. mais pontuação para buracos
- Exemplo: dado o alinhamento

VAHV---D--DMPNALSALSDDLHAHKL

AIQLQVTGVVVTDATLKNLGSVHVS KG

- a pontuação será:

$$s(V, A) + s(A, I) + s(H, Q) + 3g + s(D, G) + \dots$$



Alinhamento de Pares por Programação Dinâmica

- Needleman & Wunsch, *Journal of Molecular Biology*, 1970
- *Programação Dinâmica*: resolver uma instância de um problema usando soluções computadas para pequenas partes do problema.
- Ideia: determinar alinhamento óptimo de duas sequências determinando o melhor alinhamento para todos os prefixos.

Alinhamento de Pares por Programação Dinâmica

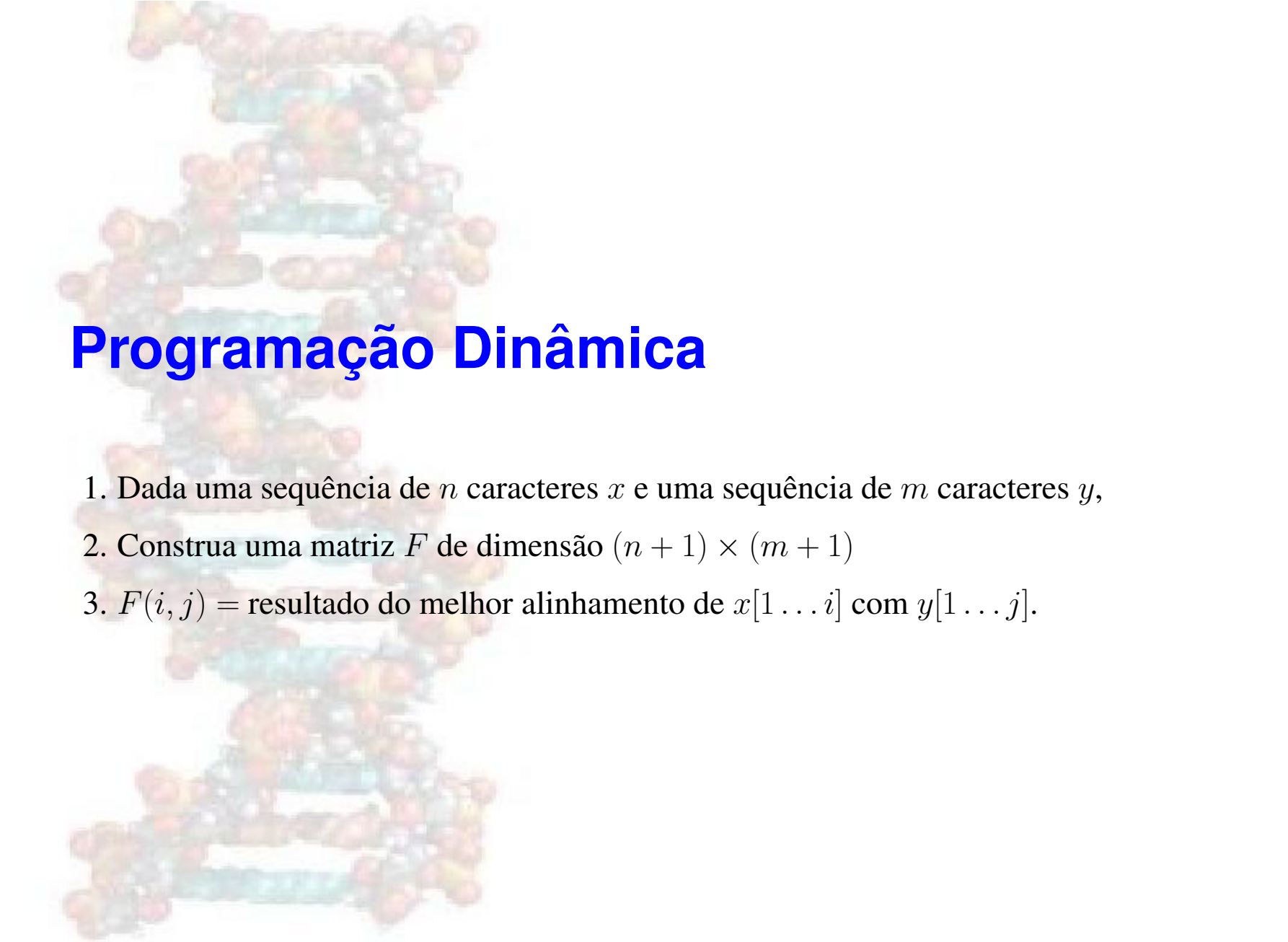
- Considere o último passo na computação do alinhamento de AAAC com AGC
- Três opções possíveis:

A	A	A	C
A	G		C

A	A	A	C	—
A	G		C	C

A	A	A	C
A	G	C	—

- Considere:
 1. Melhor Alinhamento dos Prefixos +
 2. Resultado do Alinhamento do par



Programação Dinâmica

1. Dada uma sequência de n caracteres x e uma sequência de m caracteres y ,
2. Construa uma matriz F de dimensão $(n + 1) \times (m + 1)$
3. $F(i, j) =$ resultado do melhor alinhamento de $x[1 \dots i]$ com $y[1 \dots j]$.

Programação Dinâmica: Ideia Básica

$$F(i - 1, j - 1)$$

$$F(i - 1, j)$$

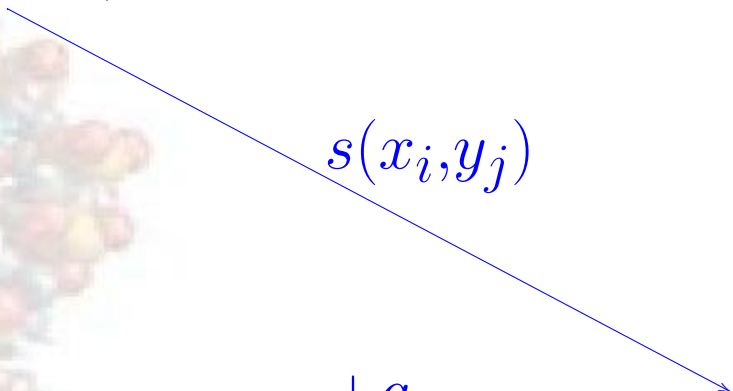
$$s(x_i, y_j)$$

$$+g$$

$$F(i, j - 1)$$

$$+g$$

$$F(i, j)$$

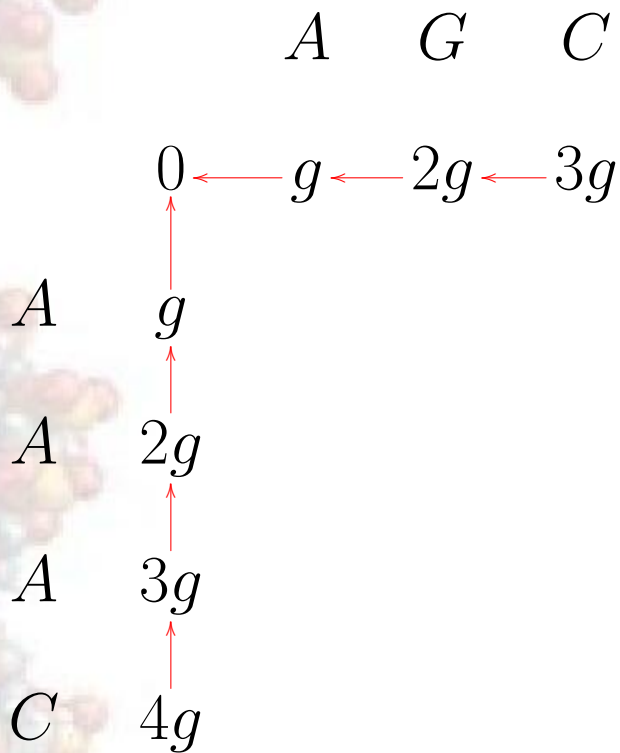


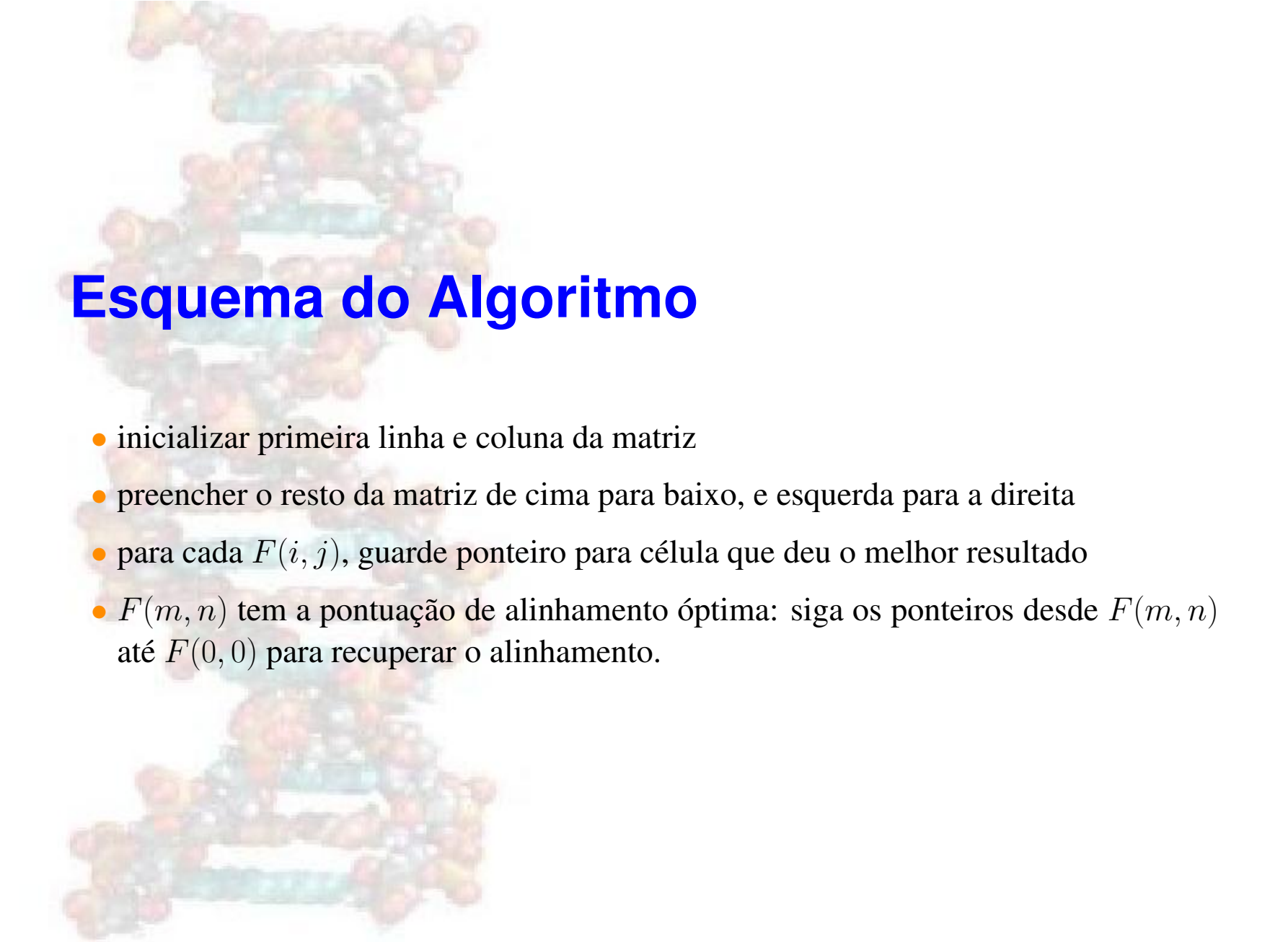
Algoritmo para Alinhamento Global com Penalização Linear de Buracos

Uma maneira é especificar a DP através da sua relação de recorrência:

$$F(i, j) = \mathbf{max} \begin{cases} F(i - 1, j - 1) + s(x_i, y_j) \\ F(i - 1, j) + d \\ F(i, j - 1) + d \end{cases}$$

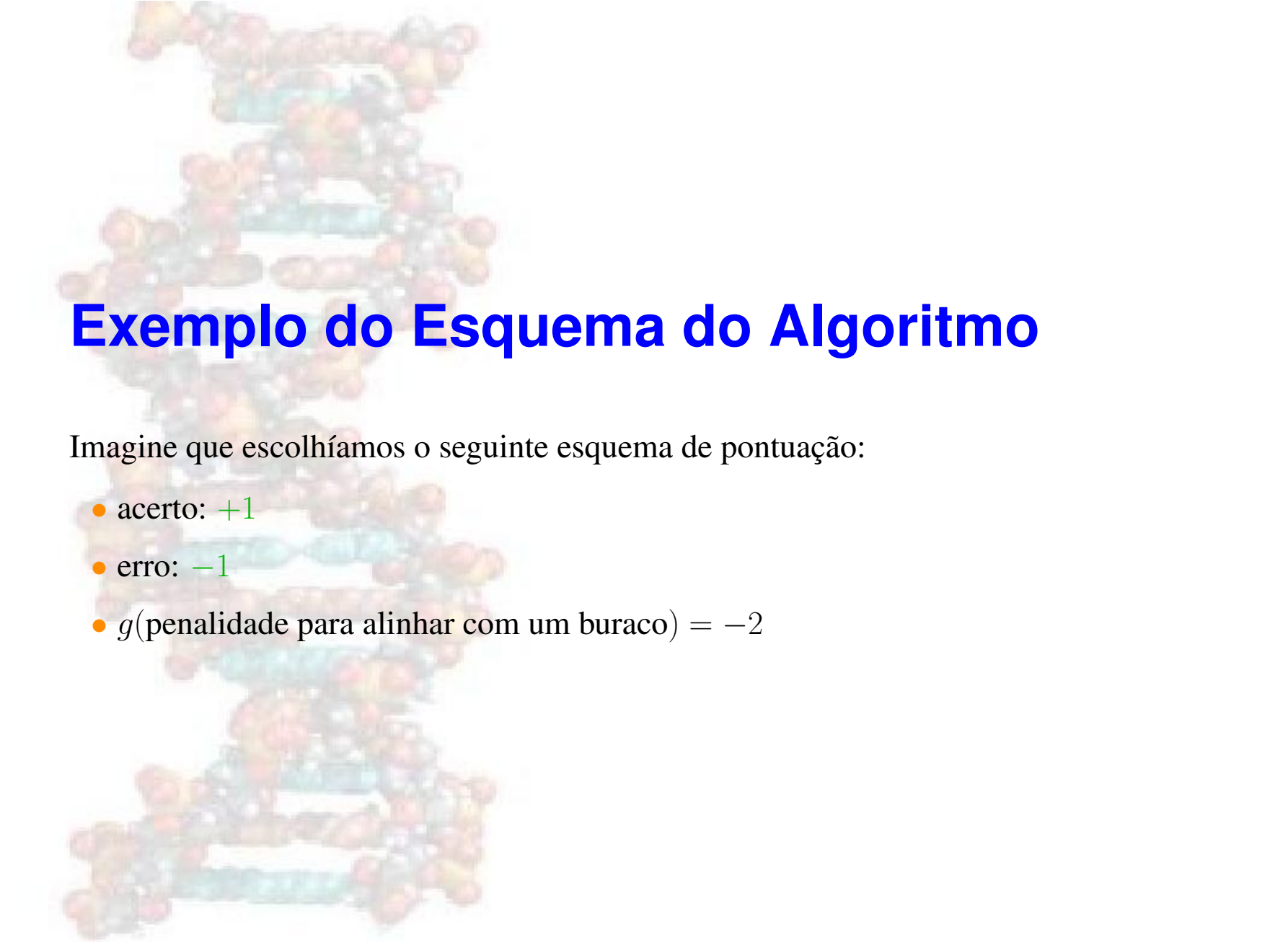
Inicialização da Matriz





Esquema do Algoritmo

- inicializar primeira linha e coluna da matriz
- preencher o resto da matriz de cima para baixo, e esquerda para a direita
- para cada $F(i, j)$, guarde ponteiro para célula que deu o melhor resultado
- $F(m, n)$ tem a pontuação de alinhamento óptima: siga os ponteiros desde $F(m, n)$ até $F(0, 0)$ para recuperar o alinhamento.

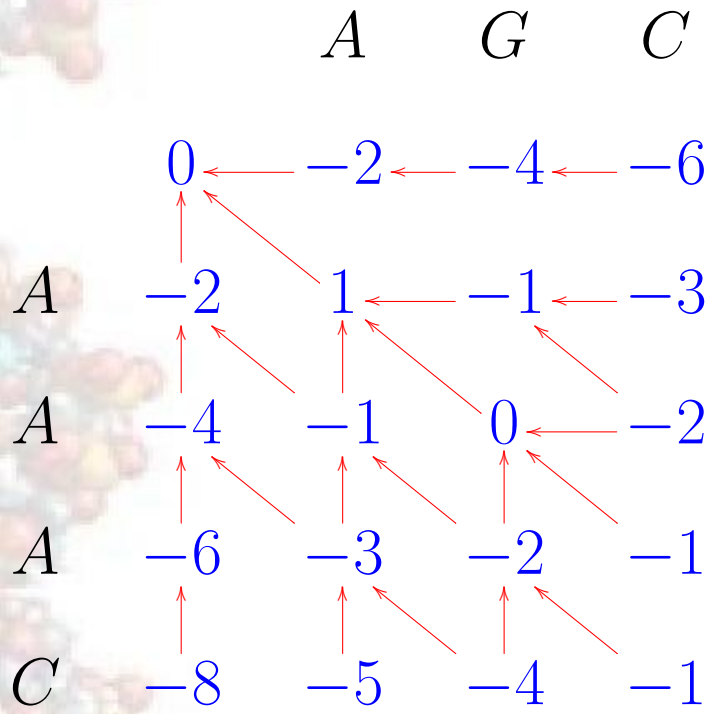


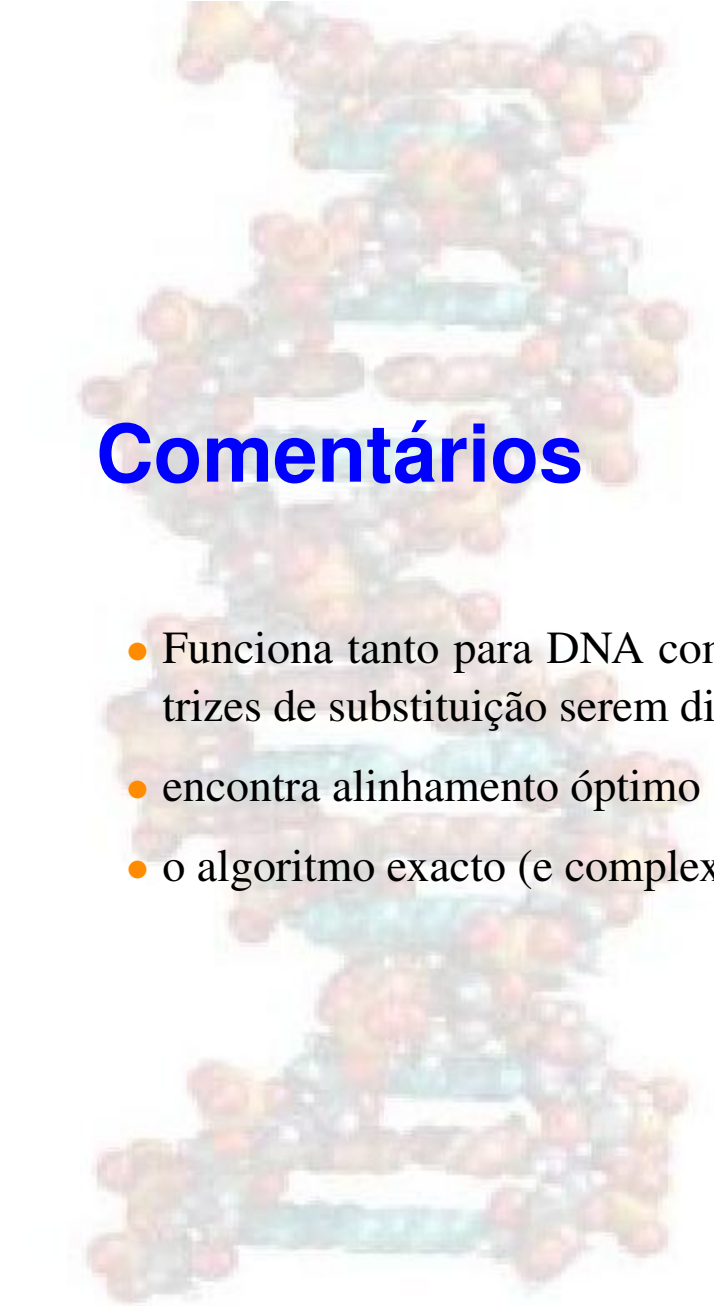
Exemplo do Esquema do Algoritmo

Imagine que escolhíamos o seguinte esquema de pontuação:

- acerto: $+1$
- erro: -1
- g (penalidade para alinhar com um buraco) = -2

Exemplo do Esquema do Algoritmo



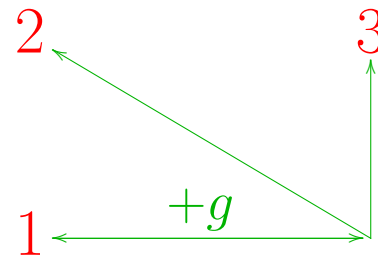
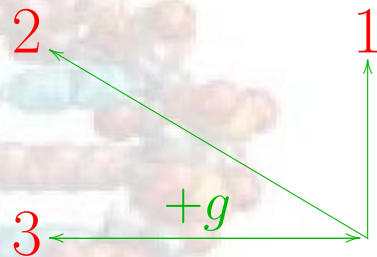


Comentários

- Funciona tanto para DNA como para sequências de amino-ácidos, apesar das matrizes de substituição serem diferentes
- encontra alinhamento óptimo
- o algoritmo exacto (e complexidade) depende da função de penalização de buracos

Alinhamentos Iguamente Óptimos

- muitos alinhamentos óptimos podem existir para um par dado de sequências
- podemos usar escolha de preferências sobre caminhos quando voltamos para trás:



- O *caminho alto* e o *caminho baixo* mostram os dois alinhamentos óptimos mais diferentes.

Análise do Algoritmo de Programação Dinâmica

- Caminho alto:

x : A A A C

y : A G - C

- Caminho baixo:

x : A A A C

y : - A G C

Análise do Algoritmo de Programação Dinâmica

- Existem

$$\binom{2n}{n} = \frac{(2n)!}{(n!)^2} \approx \frac{2^{2n}}{\sqrt{\pi n}}$$

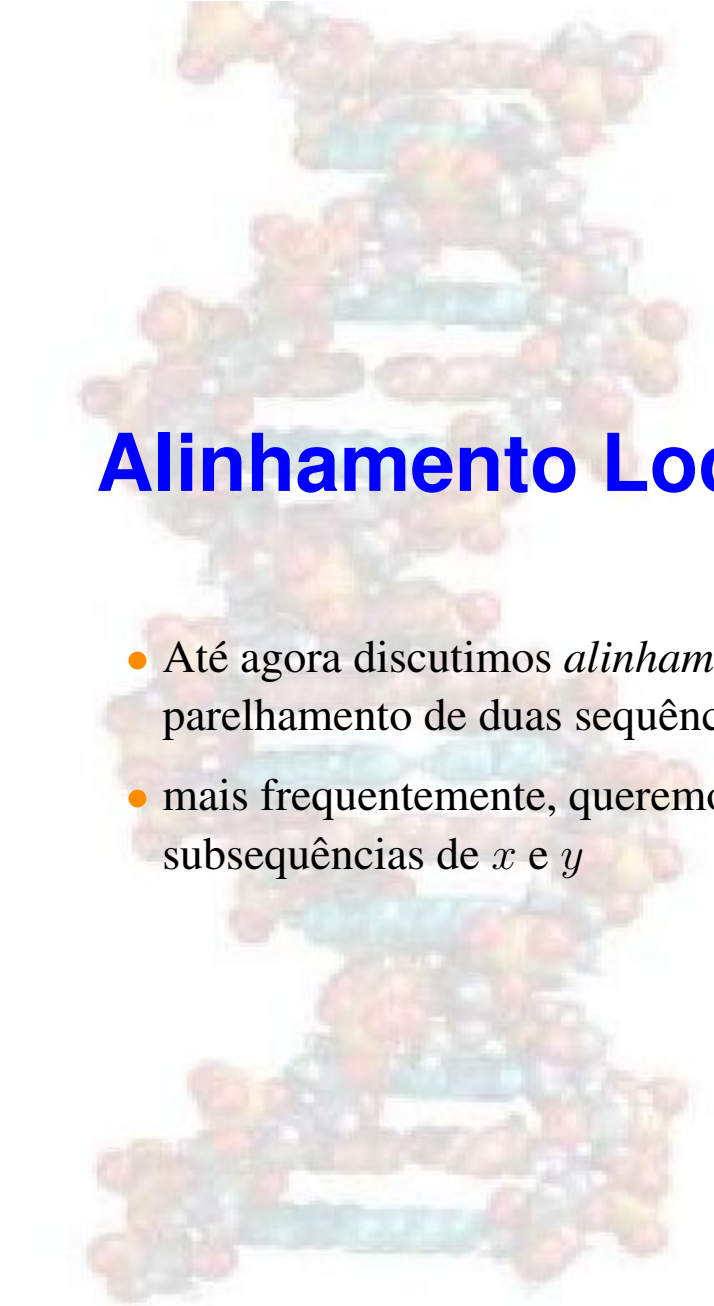
alinhamentos possíveis para 2 seqüências de tamanho n

- ie, duas seqüências de tamanho 1000 têm $\approx 10^{600}$ alinhamentos possíveis
- mas o algoritmo DP encontra o alinhamento óptimo eficientemente.

Complexidade Computacional

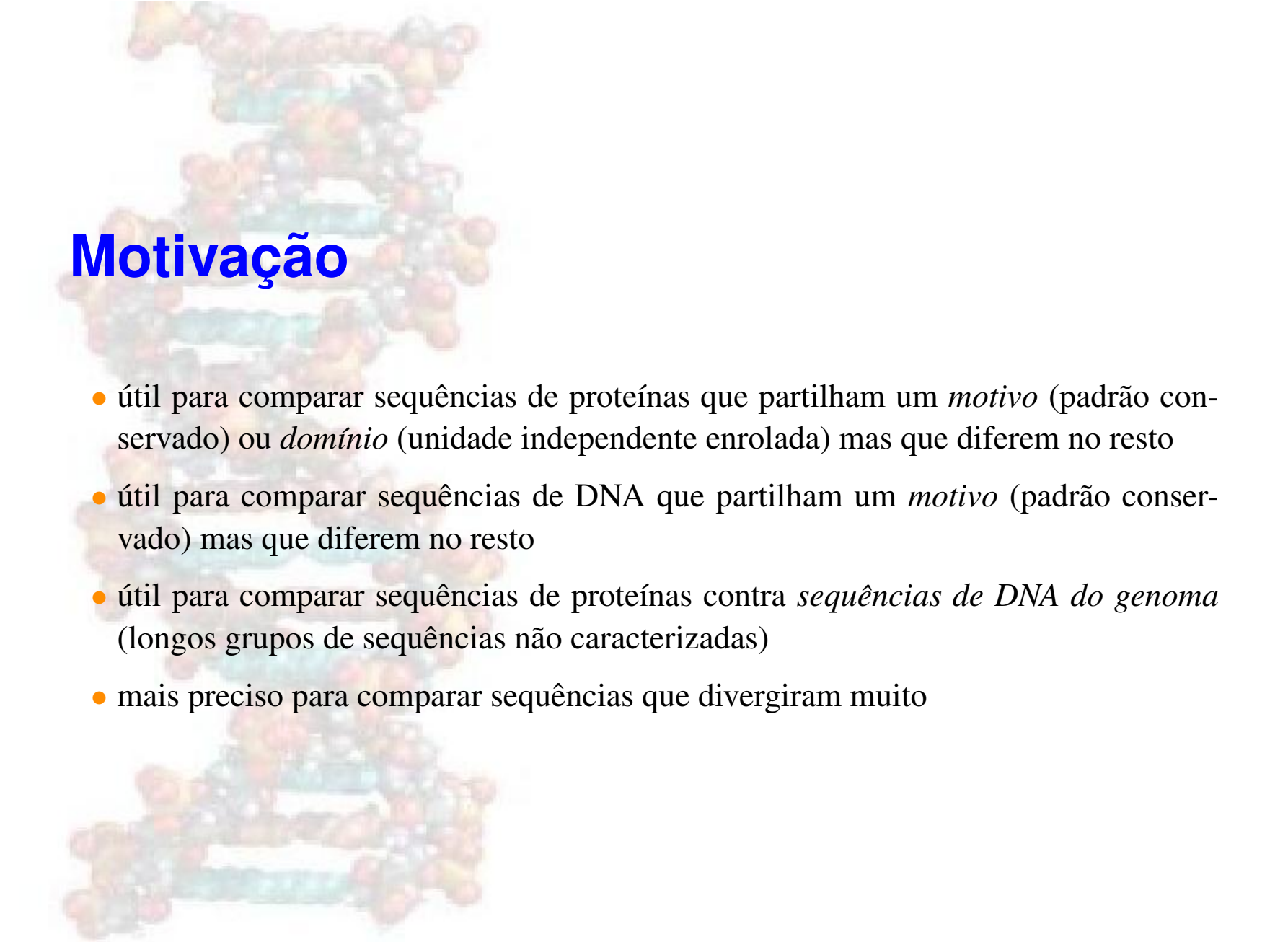
- inicialização: $O(m), O(n)$
- preenchendo o resto da matriz: $O(mn)$
- voltar para trás: $O(m + n)$
- se as duas sequências tiverem o mesmo tamanho, a complexidade computacional é:

$$O(n^2)$$



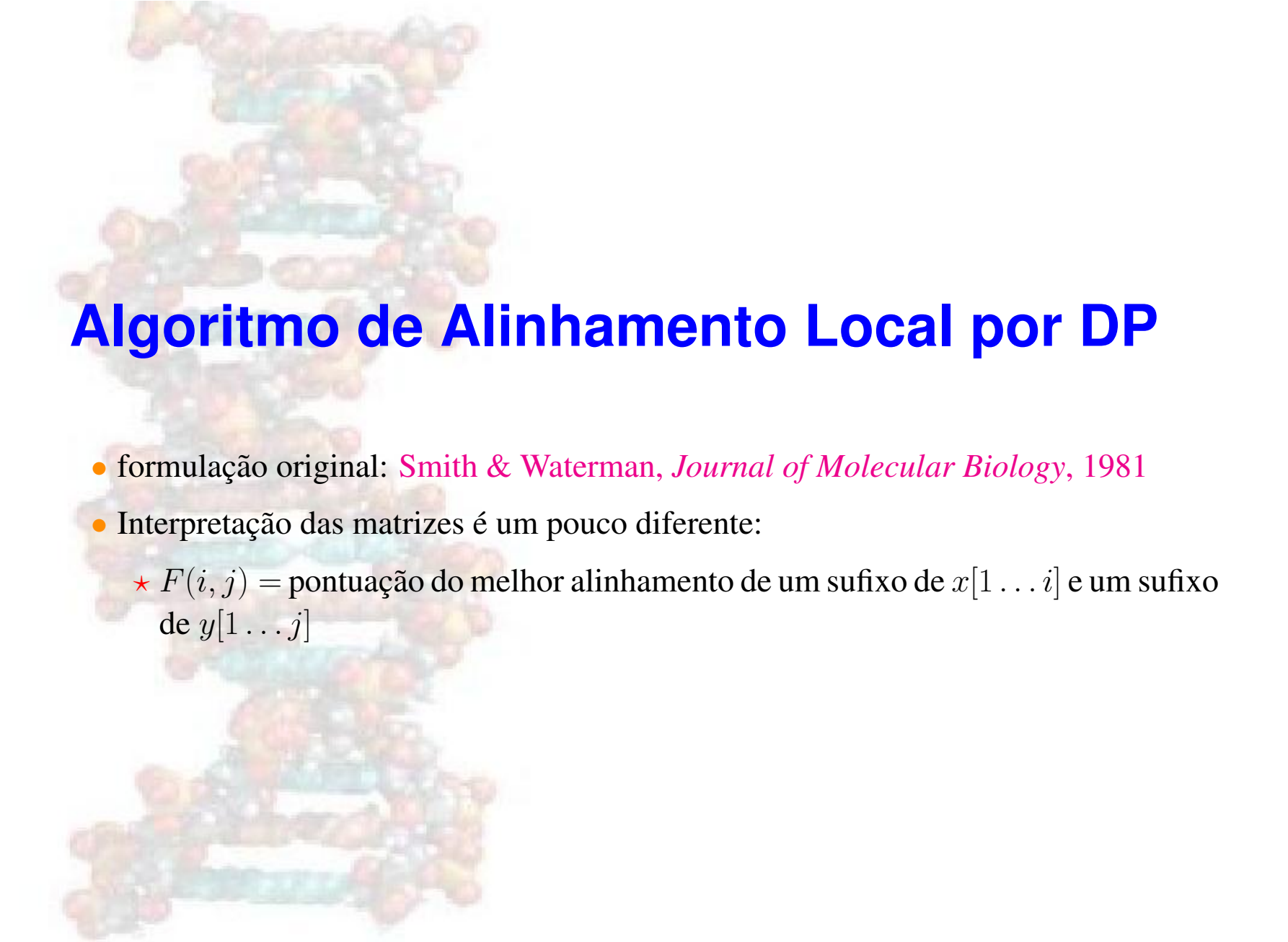
Alinhamento Local

- Até agora discutimos *alinhamento global*, onde estamos procurando o melhor emparelhamento de duas sequências desde um fim ao outro
- mais frequentemente, queremos um *alinhamento local*, o melhor alinhamento entre subsequências de x e y



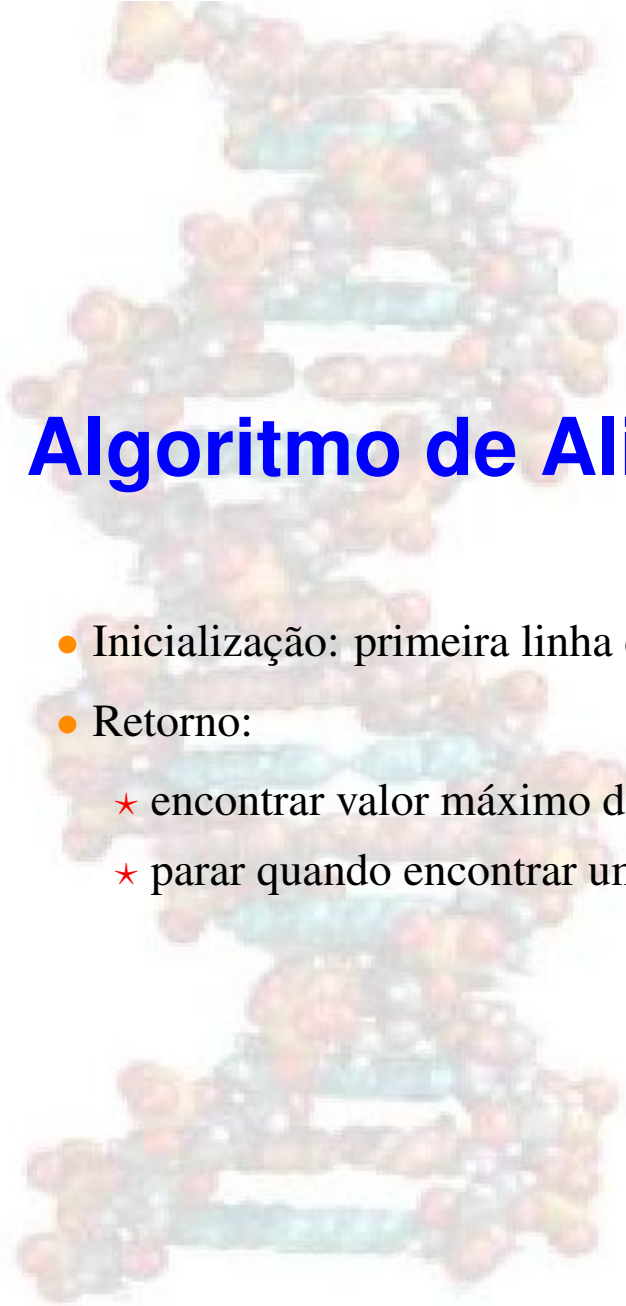
Motivação

- útil para comparar sequências de proteínas que partilham um *motivo* (padrão conservado) ou *domínio* (unidade independente enrolada) mas que diferem no resto
- útil para comparar sequências de DNA que partilham um *motivo* (padrão conservado) mas que diferem no resto
- útil para comparar sequências de proteínas contra *sequências de DNA do genoma* (longos grupos de sequências não caracterizadas)
- mais preciso para comparar sequências que divergiram muito



Algoritmo de Alinhamento Local por DP

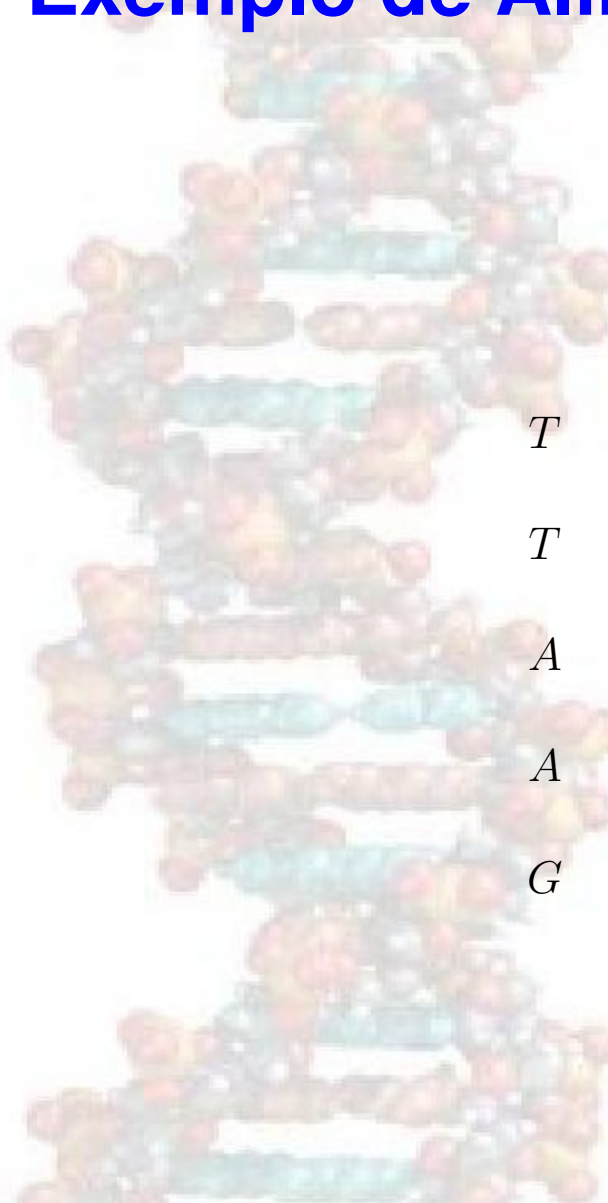
- formulação original: *Smith & Waterman, Journal of Molecular Biology, 1981*
- Interpretação das matrizes é um pouco diferente:
 - ★ $F(i, j)$ = pontuação do melhor alinhamento de um sufixo de $x[1 \dots i]$ e um sufixo de $y[1 \dots j]$



Algoritmo de Alinhamento Local por DP

- Inicialização: primeira linha e coluna inicializada com 0s
- Retorno:
 - ★ encontrar valor máximo de $F(i, j)$; pode ser em qualquer posição da matriz
 - ★ parar quando encontrar uma célula com o valor 0.

Exemplo de Alinhamento Local



		<i>A</i>	<i>A</i>	<i>G</i>	<i>A</i>	
	0	0	0	0	0	
<i>T</i>	0	0	0	0	0	
<i>T</i>	0	0	0	0	0	
<i>A</i>	0	0	1	1	0	1
<i>A</i>	0	0	1	2	0	1
<i>G</i>	0	0	0	0	3	1

x: *A A G*

y: *A A G*

Funções de Penalização de buracos

- linear

$$w(k) = gk$$

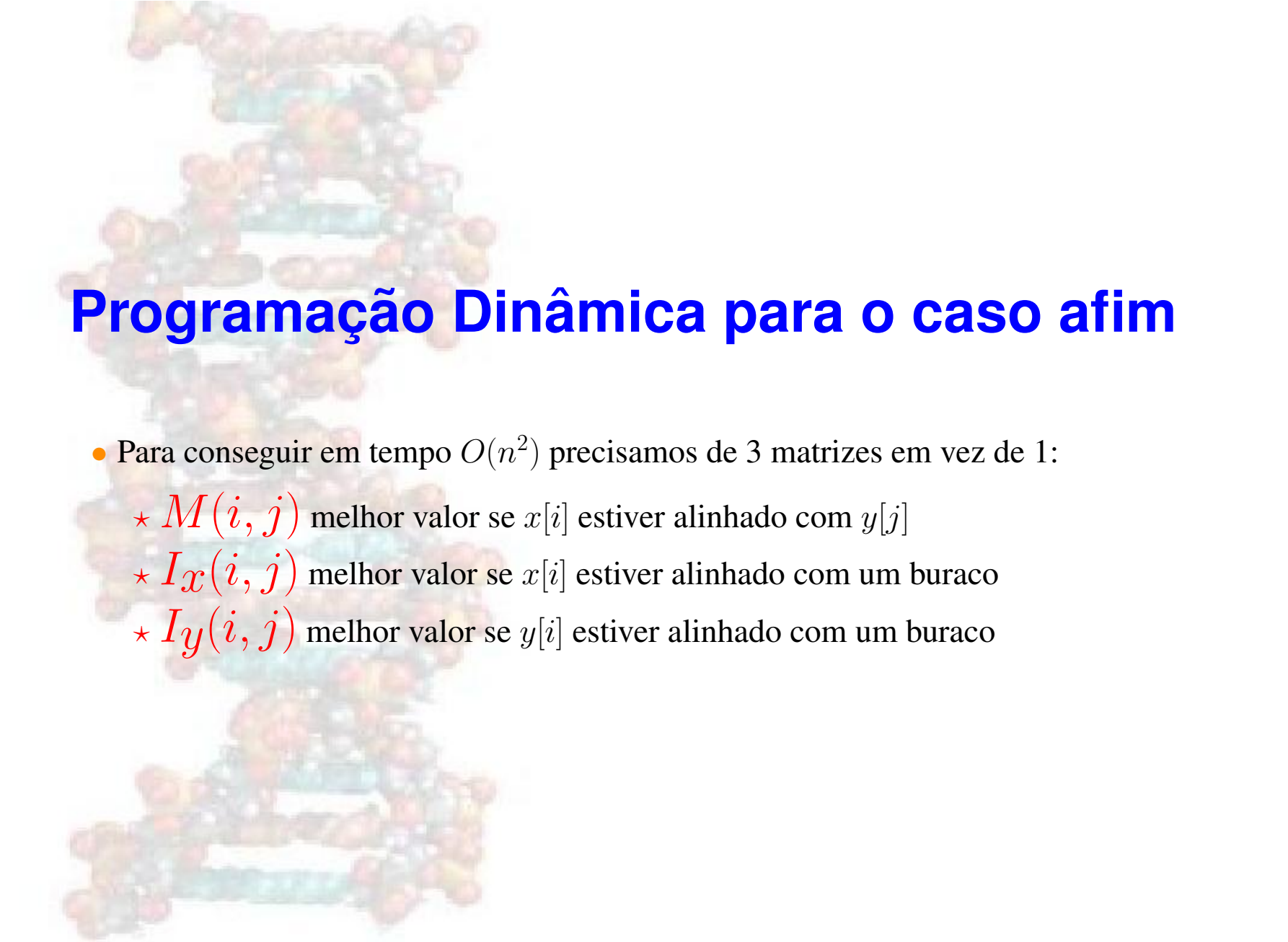
- afim

$$w(k) = \begin{cases} h + gk, & k \geq 1 \\ 0, & k = 0 \end{cases}$$

- Côncava:

$$w(k + m + l) - w(k + m) \leq w(k + m) - w(k)$$

★ Ex: $w(k) = h + g \times \log(k)$



Programação Dinâmica para o caso afim

- Para conseguir em tempo $O(n^2)$ precisamos de 3 matrizes em vez de 1:
 - ★ $M(i, j)$ melhor valor se $x[i]$ estiver alinhado com $y[j]$
 - ★ $I_x(i, j)$ melhor valor se $x[i]$ estiver alinhado com um buraco
 - ★ $I_y(i, j)$ melhor valor se $y[i]$ estiver alinhado com um buraco

DP para o caso afim, global

- $M(i, j) = \max \begin{cases} M(i-1, j-1) + s(x_i, y_j) \\ I_x(i-1, j-1) + s(x_i, y_j) \\ I_y(i-1, j-1) + s(x_i, y_j) \end{cases}$

- $I_x(i, j) = \max \begin{cases} M(i-1, j) + h + g \\ I_x(i-1, j) + g \end{cases}$

- $I_y(i, j) = \max \begin{cases} M(i, j-1) + h + g \\ I_y(i, j-1) + g \end{cases}$

- Assumimos que é sempre melhor um match do que 2 bu-
racos

DP para o caso afim global

- Inicialização

- ★ $M(0, 0) = 0$

- ★ $I_x(i, 0) = h + g \times i$

- ★ $I_y(0, j) = h + g \times j$

- ★ outras células no topo e coluna da esquerda = $-\infty$

- Voltar para trás:

- ★ começar no maior de $M(m, n), I_x(m, n), I_y(m, n)$

- ★ parar num de $M(0, 0), I_x(0, 0), I_y(0, 0)$

DP para o caso afim local

- $M(i, j) = \max \begin{cases} M(i-1, j-1) + s(x_i, y_j) \\ I_x(i-1, j-1) + s(x_i, y_j) \\ I_y(i-1, j-1) + s(x_i, y_j) \\ 0 \end{cases}$

- $I_x(i, j) = \max \begin{cases} M(i-1, j) + h + g \\ I_x(i-1, j) + g \end{cases}$

- $I_y(i, j) = \max \begin{cases} M(i, j-1) + h + g \\ I_y(i, j-1) + g \end{cases}$

DP para o caso afim local

- Inicialização

- ★ $M(0, 0) = 0$

- ★ $I_x(i, 0) = 0$

- ★ $I_y(0, j) = 0$

- ★ outras células no topo e coluna da esquerda = $-\infty$

- Voltar para trás:

- ★ começar no maior de $M(i, j)$

- ★ parar num $M(i, j) = 0$

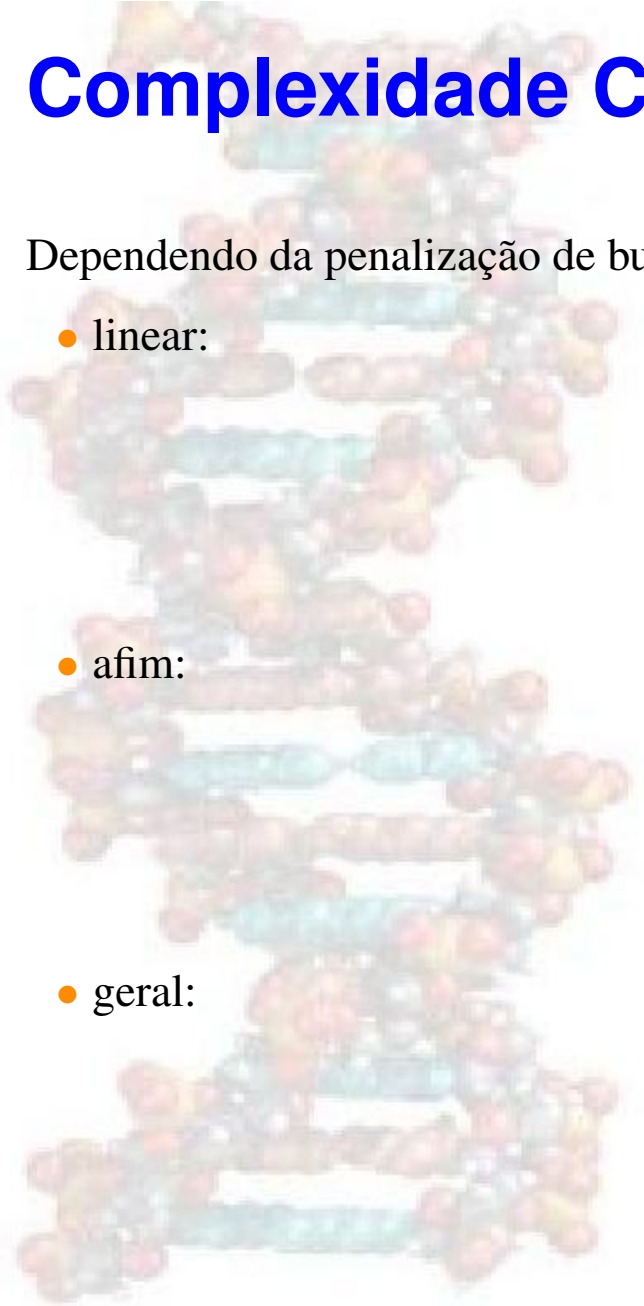
DP Para o Caso Geral

Alinhamento Global:

$$\bullet F(i, j) = \max \begin{cases} F(i-1, j-1) + s(x_i, y_j) \\ F(k, j) + \gamma(i-k) \\ F(i, k) + \gamma(j-k) \end{cases}$$

- Considerar todos os elementos anteriores na linha!
- Considerar todos os elementos anteriores na coluna!

Complexidade Computacional



Dependendo da penalização de buracos:

- linear:

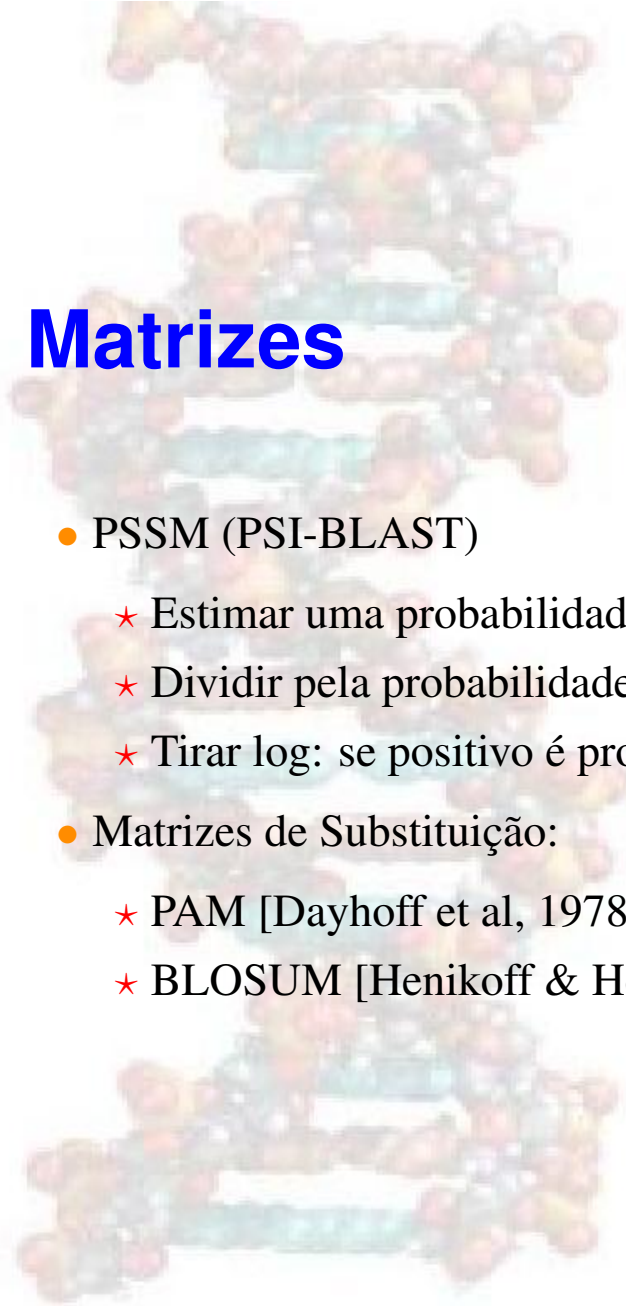
$$O(n^2)$$

- afim:

$$O(n^2)$$

- geral:

$$O(n^3)$$



Matrizes

- PSSM (PSI-BLAST)
 - ★ Estimar uma probabilidade do AA em cada coluna
 - ★ Dividir pela probabilidade do AA
 - ★ Tirar log: se positivo é provável
- Matrizes de Substituição:
 - ★ PAM [Dayhoff et al, 1978]
 - ★ BLOSUM [Henikoff & Henikoff, 1992]

BLOSUM62

- Começar por BD com segmentos bem conservados
- Exemplo: **BLOCKS**

```
ID   XRODRMPGMNTB; BLOCK
AC   PR00851A; distance from previous block=(52,131)
DE   Xeroderma pigmentosum group B protein signature
BL   adapted; width=21; seqs=8; 99.5%=985; strength=1287
XPB_HUMAN|P19447   ( 74) RPLWVAPDGHIFLEAFSPVYK   54
XPB_MOUSE|P49135   ( 74) RPLWVAPDGHIFLEAFSPVYK   54
P91579             ( 80) RPLYLAPDGHIFLESFSPVYK   67
XPB_DROME|Q02870   ( 84) RPLWVAPNGHVFLESFSPVYK   79
RA25_YEAST|Q00578  (131) PLWISPSDGRIILEFSPLAE 100
Q38861             ( 52) RPLWACADGRIFLETFSPLYK   71
O13768             ( 90) PLWINPIDGRIILEAFSPLAE 100
O00835             ( 79) RPIWVCPDGHIFLETFSAIYK   86
//
```

BLOSUM: Pares

- Contar Pares por Colunas

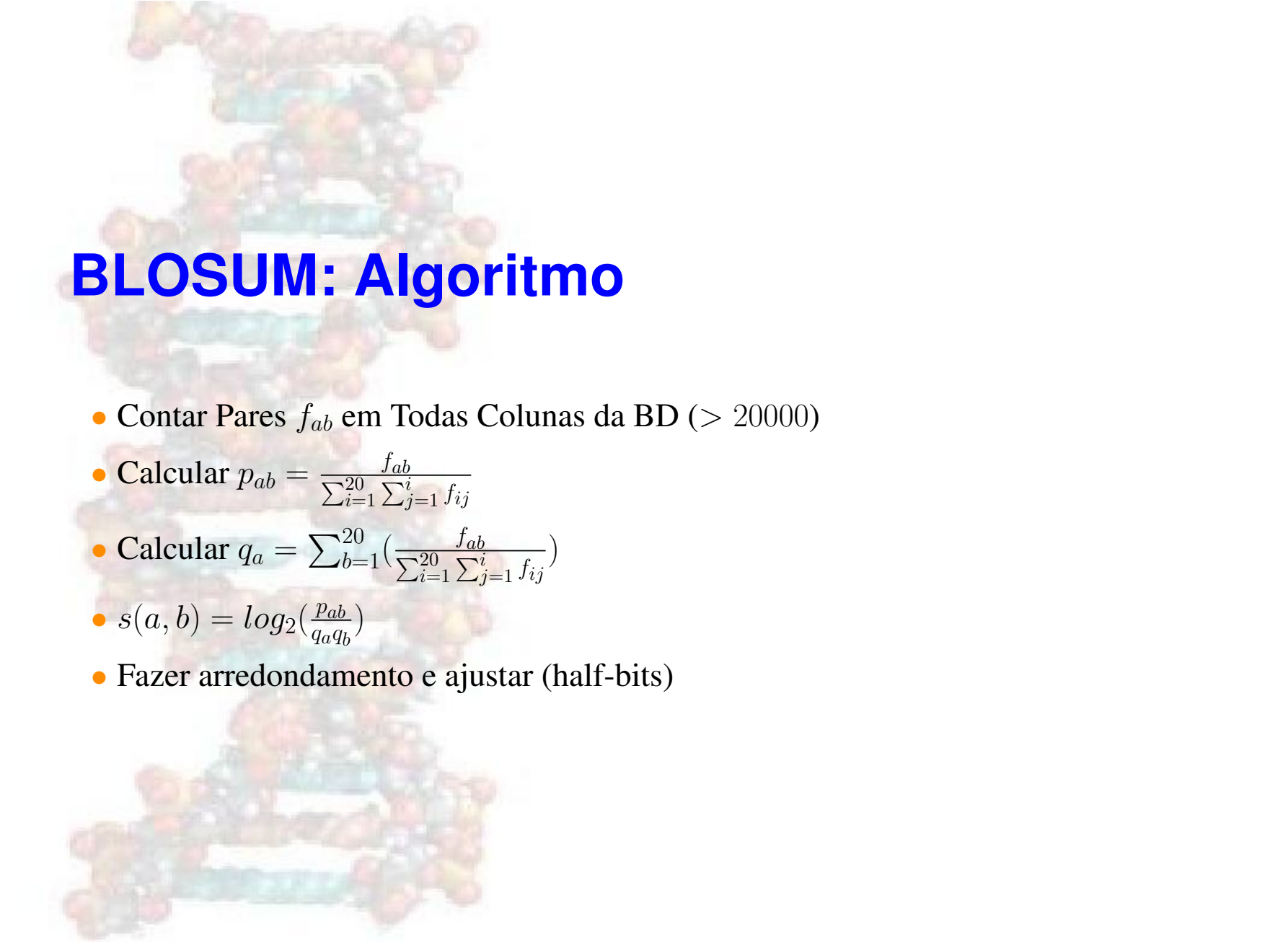
- $L/L : 3 + 2 + 1 = 6$

- $L/W : 4 + 4 = 8$

- $L/I : 4$

- $W/W : 1$

R	P	L	W	V	A	P	D
R	P	L	W	V	A	P	D
R	P	L	Y	L	A	P	D
R	P	L	W	V	A	P	N
R	P	W	I	S	P	S	D
P	L	W	I	N	P	I	D
R	P	I	W	V	C	P	D

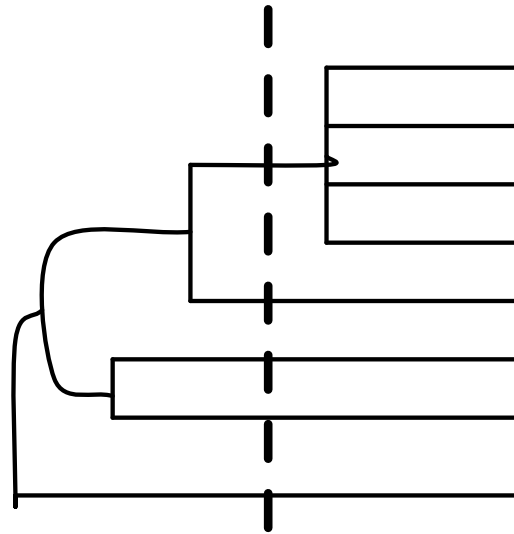


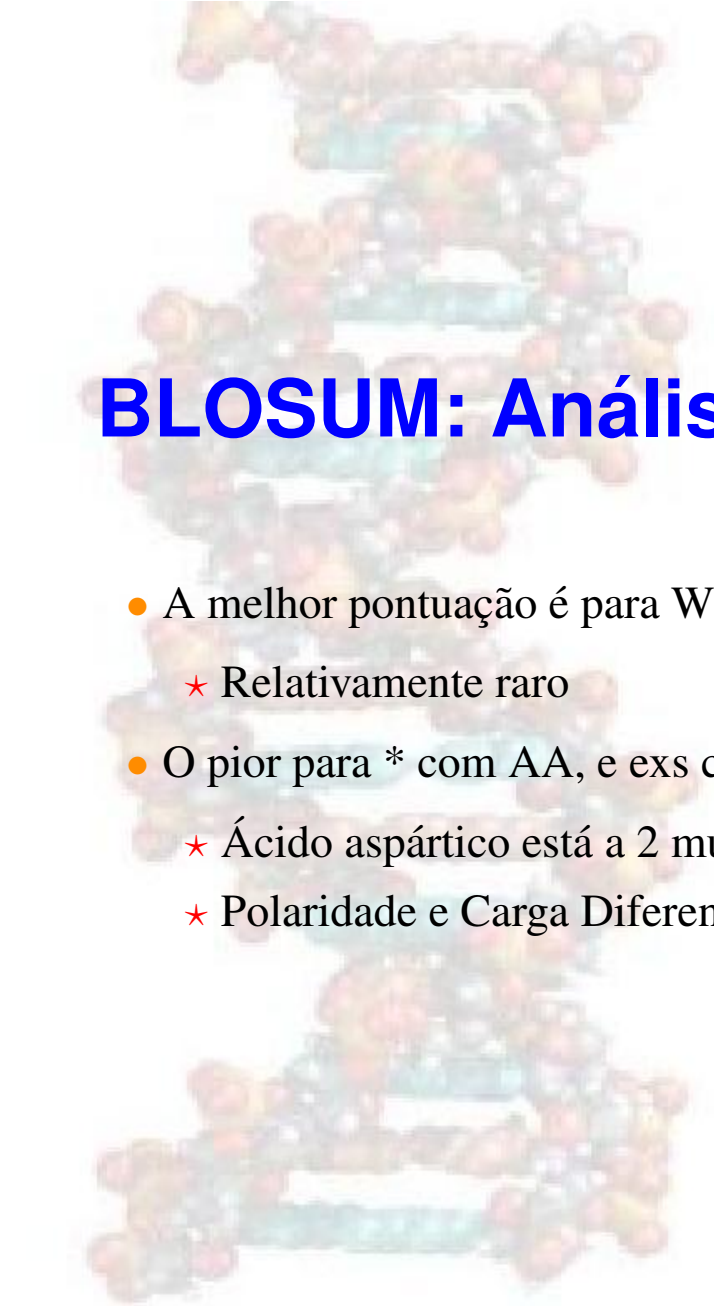
BLOSUM: Algoritmo

- Contar Pares f_{ab} em Todas Colunas da BD (> 20000)
- Calcular $p_{ab} = \frac{f_{ab}}{\sum_{i=1}^{20} \sum_{j=1}^i f_{ij}}$
- Calcular $q_a = \sum_{b=1}^{20} \left(\frac{f_{ab}}{\sum_{i=1}^{20} \sum_{j=1}^i f_{ij}} \right)$
- $s(a, b) = \log_2 \left(\frac{p_{ab}}{q_a q_b} \right)$
- Fazer arredondamento e ajustar (half-bits)

BLOSUM_{XX}: Distância Evolutiva

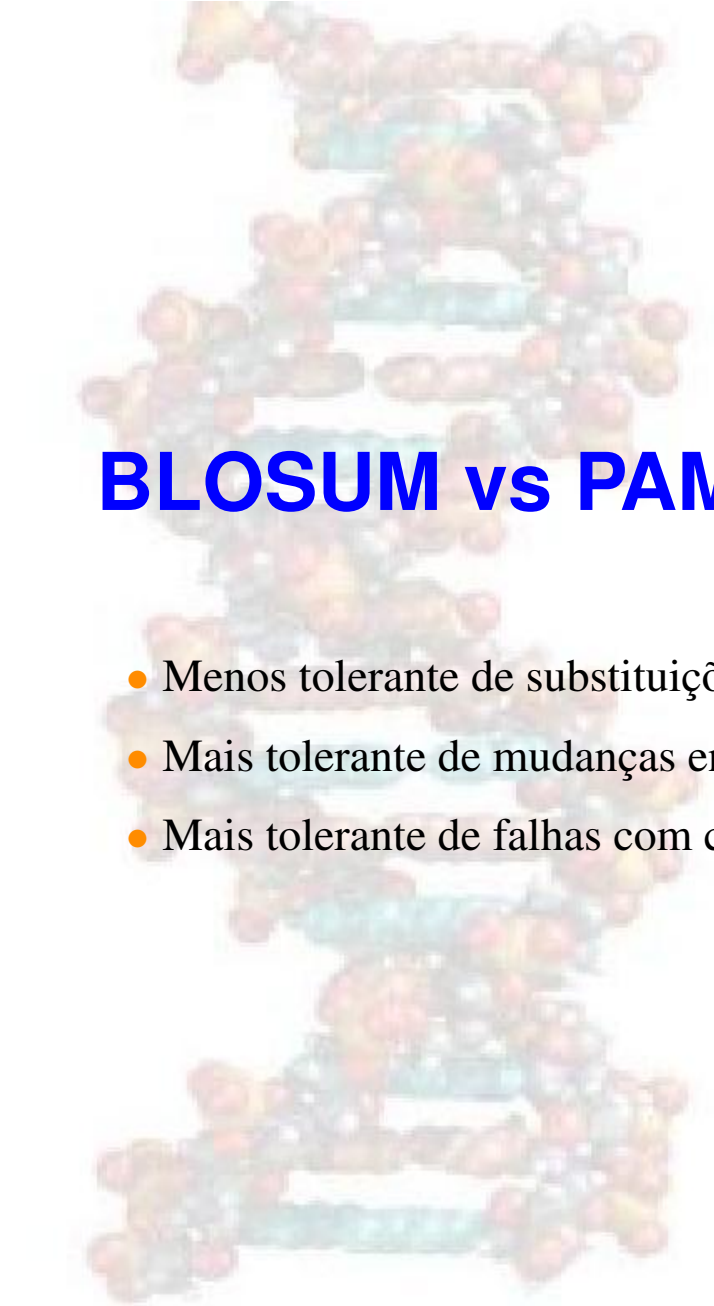
- Agrupar sequências que estão perto evolucionariamente
- Juntos os elementos dos cluster $> XX$ valem 1





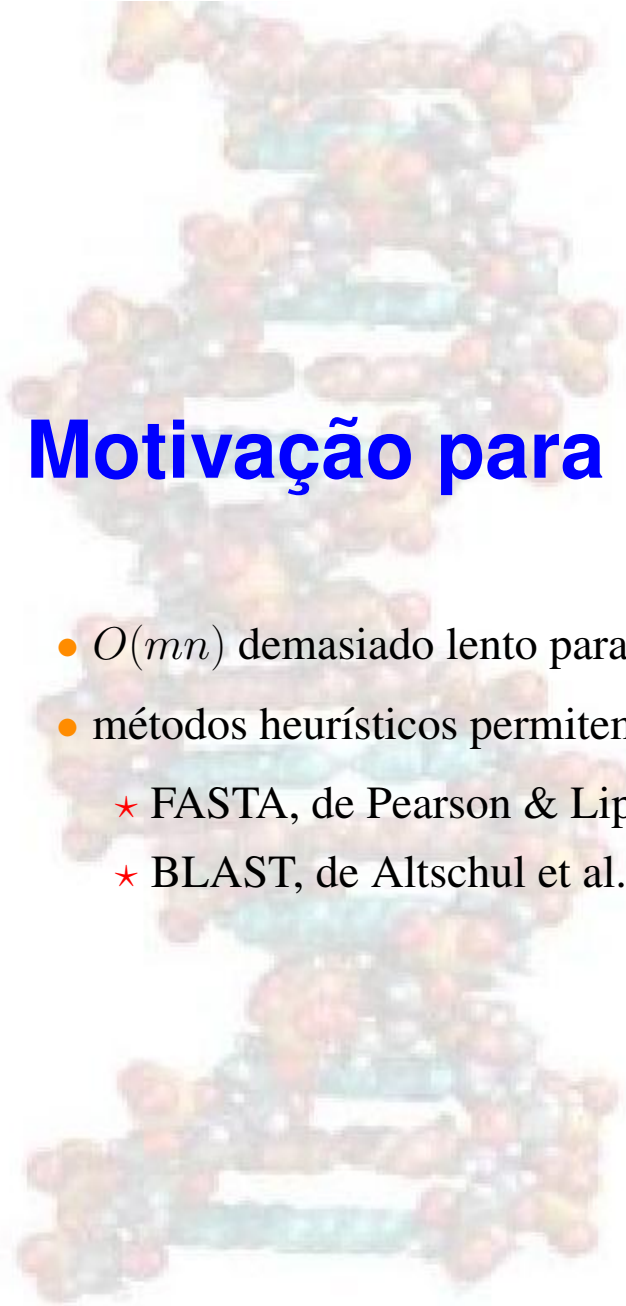
BLOSUM: Análise

- A melhor pontuação é para W (triptofano)
 - ★ Relativamente raro
- O pior para * com AA, e exs como D e L
 - ★ Ácido aspártico está a 2 mutações de Leucina
 - ★ Polaridade e Carga Diferentes



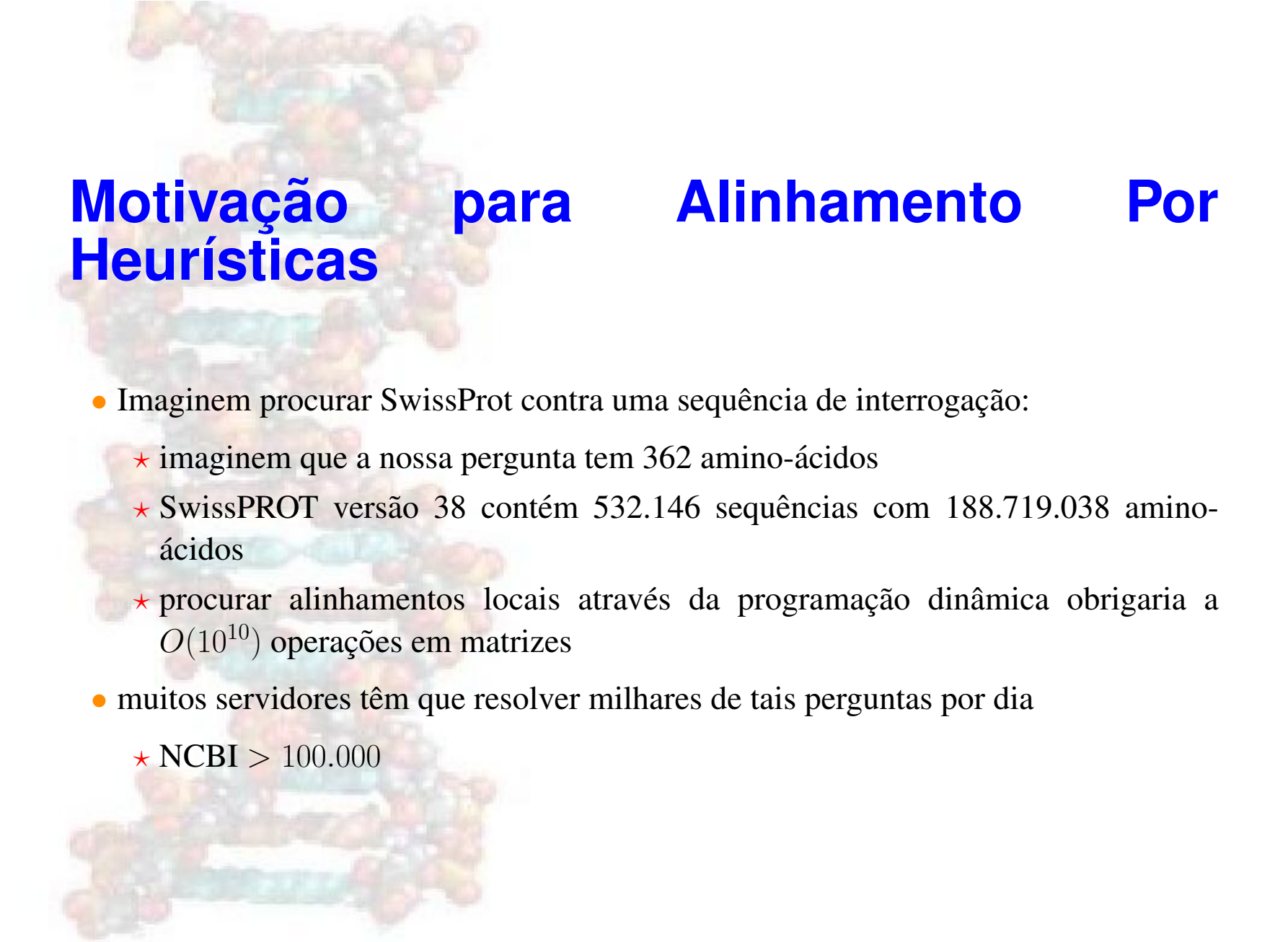
BLOSUM vs PAM

- Menos tolerante de substituições de hidrofílicos
- Mais tolerante de mudanças entre hidrofobicidade
- Mais tolerante de falhas com cisteína e triptofan.



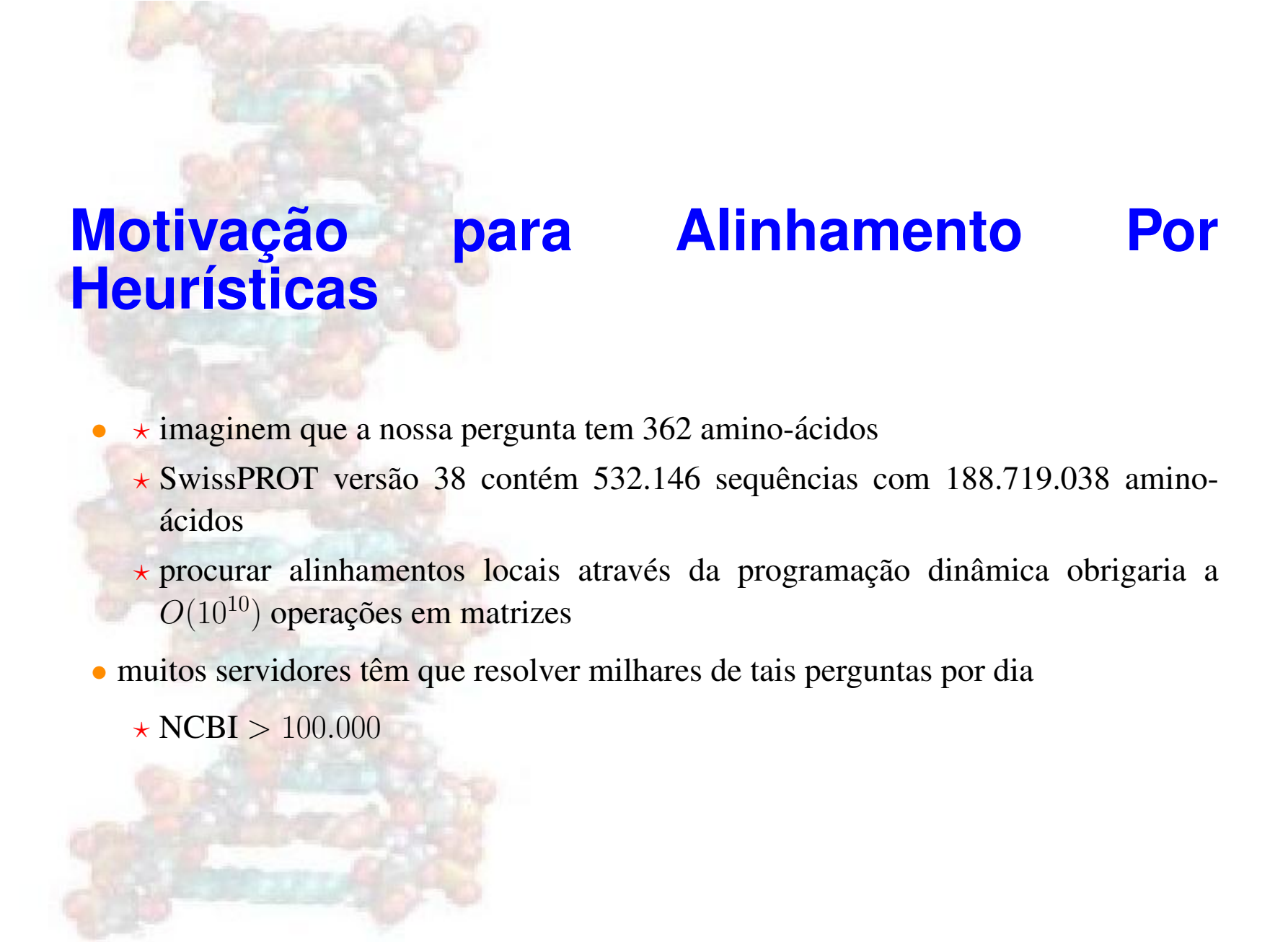
Motivação para Uso de Heurísticas

- $O(mn)$ demasiado lento para grandes bancos de dados com muitas interrogações
- métodos heurísticos permitem aproximação rápida à programação dinâmica:
 - ★ FASTA, de Pearson & Lipman, 1988
 - ★ BLAST, de Altschul et al., 1990



Motivação para Alinhamento Por Heurísticas

- Imaginem procurar SwissProt contra uma sequência de interrogação:
 - ★ imaginem que a nossa pergunta tem 362 amino-ácidos
 - ★ SwissPROT versão 38 contém 532.146 sequências com 188.719.038 amino-ácidos
 - ★ procurar alinhamentos locais através da programação dinâmica obrigaria a $O(10^{10})$ operações em matrizes
- muitos servidores têm que resolver milhares de tais perguntas por dia
 - ★ NCBI > 100.000



Motivação para Alinhamento Por Heurísticas

- ★ imaginem que a nossa pergunta tem 362 amino-ácidos
 - ★ SwissPROT versão 38 contém 532.146 sequências com 188.719.038 amino-ácidos
 - ★ procurar alinhamentos locais através da programação dinâmica obrigaria a $O(10^{10})$ operações em matrizes
- muitos servidores têm que resolver milhares de tais perguntas por dia
 - ★ NCBI > 100.000

BLAST

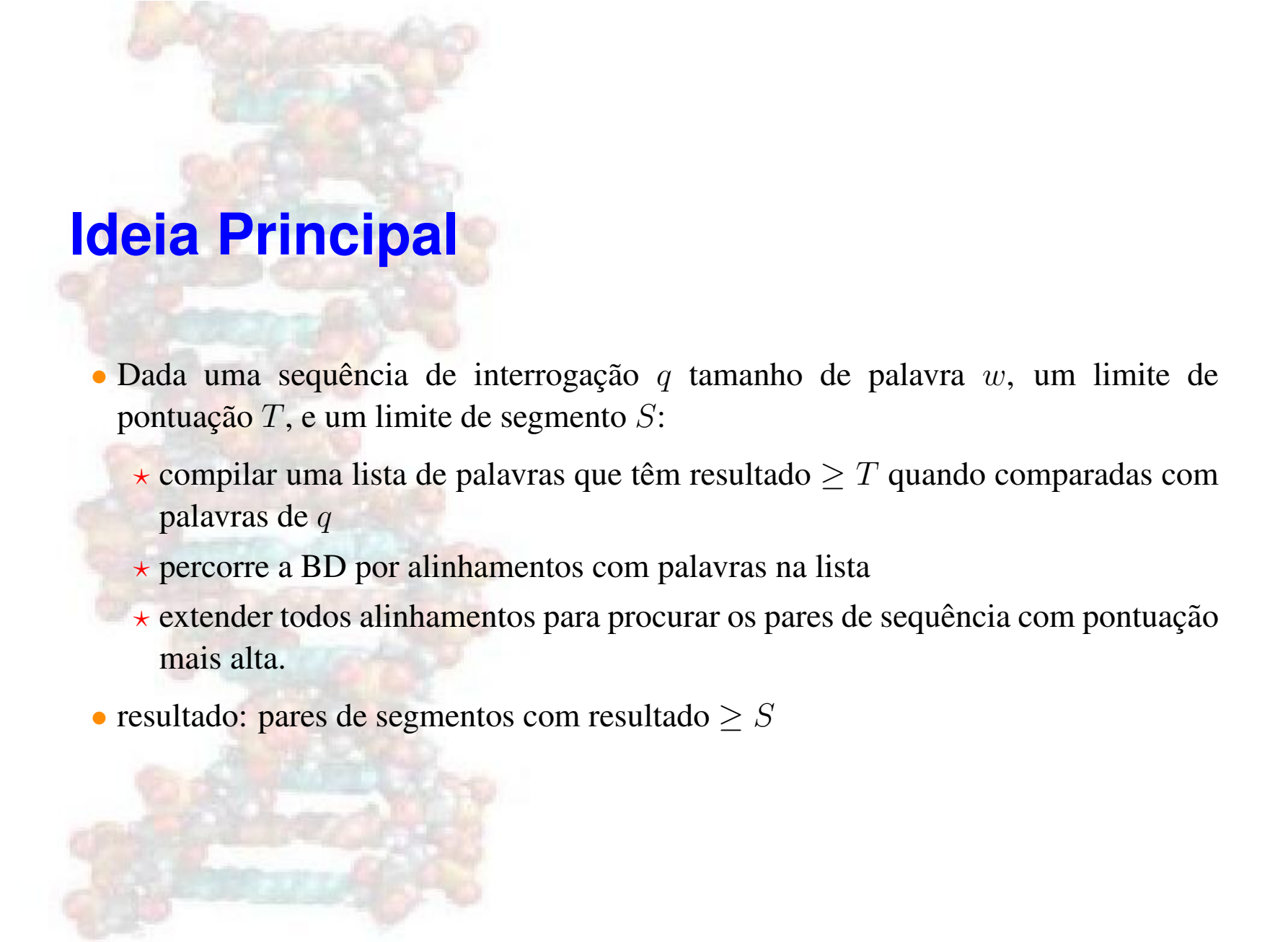
- **Basic Local Alignment Search Tool**
- BLAST usa heurísticas para encontrar *pares com pontuação alta* (HSPs):
 - ★ Segmentos do mesmo tamanho de 2 sequências com pontuação de alinhamento estatisticamente significantes
 - ★ ie, alinhamentos locais sem buracos
- Escolha entre precisão e velocidade

$$precisao = \frac{\#Emparelhamentos\ Significantes}{\#EmparelhamentosnaDB}$$



BLAST em Ação

- Procurar em PDB “hen egg-white lysozyme”
- Também “Human oxyhemoglobin”
- Fazer BLAST em Swiss-Prot

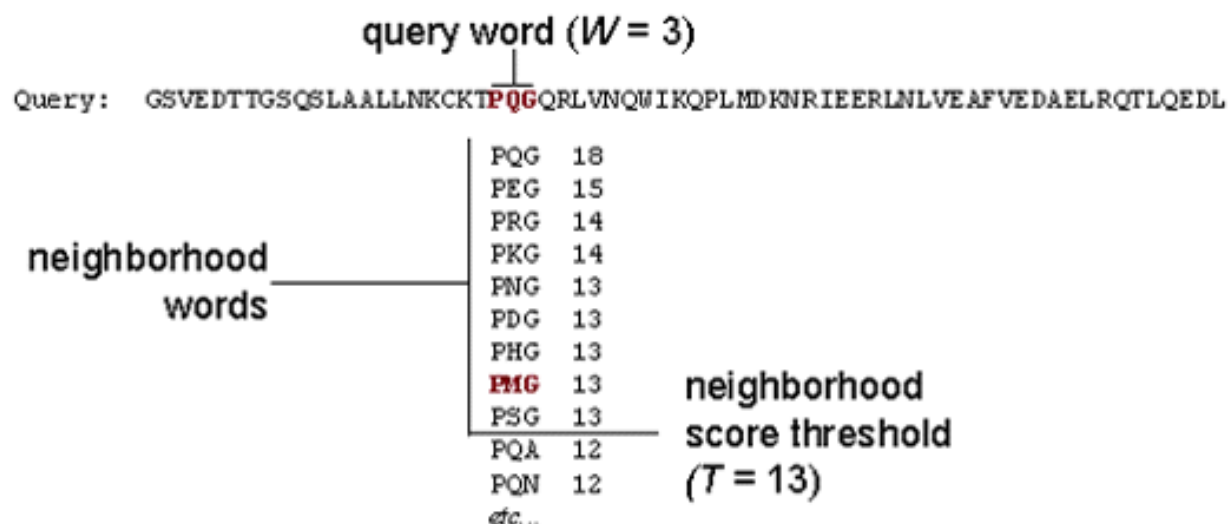


Ideia Principal

- Dada uma sequência de interrogação q tamanho de palavra w , um limite de pontuação T , e um limite de segmento S :
 - ★ compilar uma lista de palavras que têm resultado $\geq T$ quando comparadas com palavras de q
 - ★ percorre a BD por alinhamentos com palavras na lista
 - ★ estender todos alinhamentos para procurar os pares de sequência com pontuação mais alta.
- resultado: pares de segmentos com resultado $\geq S$

Intuição

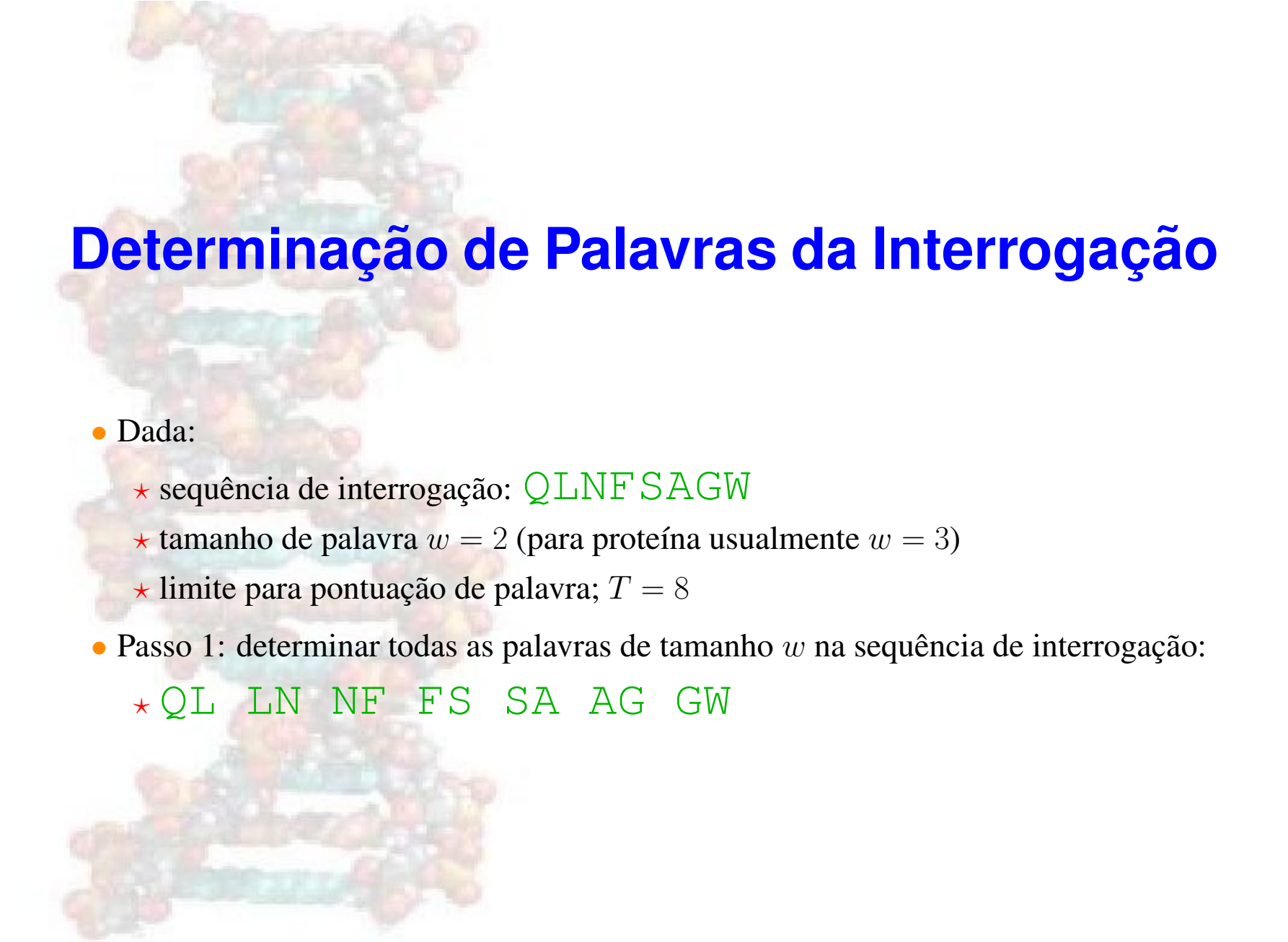
The BLAST Search Algorithm



Query: 325 SLAALLNKCKT**PQG**QRLVNQWIKOPLMDKNRIEERLNLVEA 365
+LÄ++L+ TP G R++ +U+ P+ D + ER + A

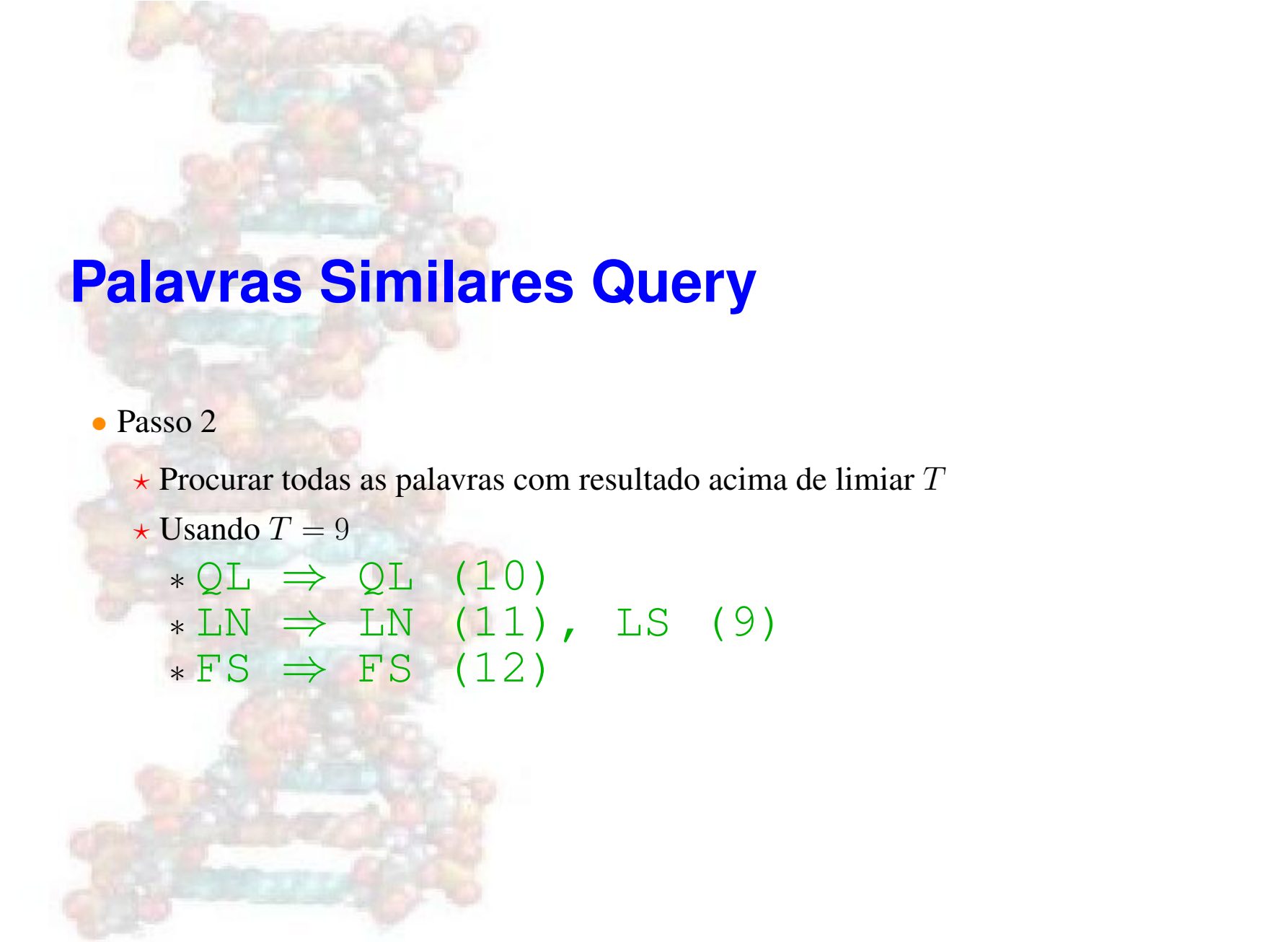
Sbjct: 290 TLASVLDCTV**PMG**SRMLKRWLHMPVVRDTRVLLERQQTIGA 330

High-scoring Segment Pair (HSP)



Determinação de Palavras da Interrogação

- Dada:
 - ★ sequência de interrogação: **QLNFSAGW**
 - ★ tamanho de palavra $w = 2$ (para proteína usualmente $w = 3$)
 - ★ limite para pontuação de palavra; $T = 8$
- Passo 1: determinar todas as palavras de tamanho w na sequência de interrogação:
 - ★ **QL LN NF FS SA AG GW**



Palavras Similares Query

- Passo 2

- ★ Procurar todas as palavras com resultado acima de limiar T

- ★ Usando $T = 9$

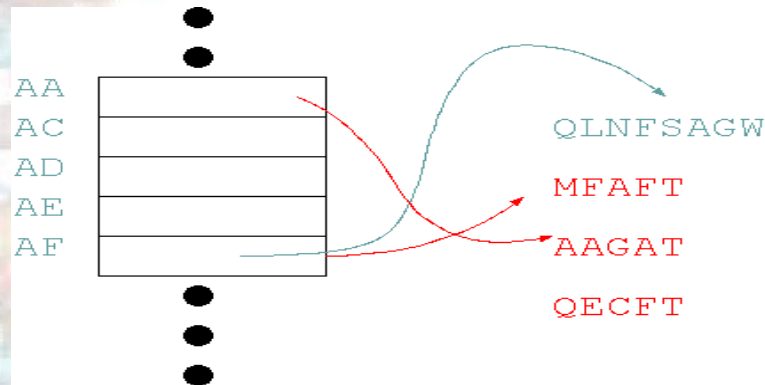
- * QL \Rightarrow QL (10)

- * LN \Rightarrow LN (11), LS (9)

- * FS \Rightarrow FS (12)

Procurar na BD

- Procurar na BD por todas as instâncias das palavras na sequência de interrogação:
- método:
 - ★ indexar sequências na BD com *tabela de palavras*
 - ★ procurar palavras da interrogação na tabela



Ampliar Sucessos

- Ampliar sucessos em ambas as direcções (sem permitir buracos)
- terminar a ampliação numa direcção quando a pontuação cair abaixo de certa distância abaixo pontuação óptima para pequenas extensões

Inicial



Melhor Extensao b

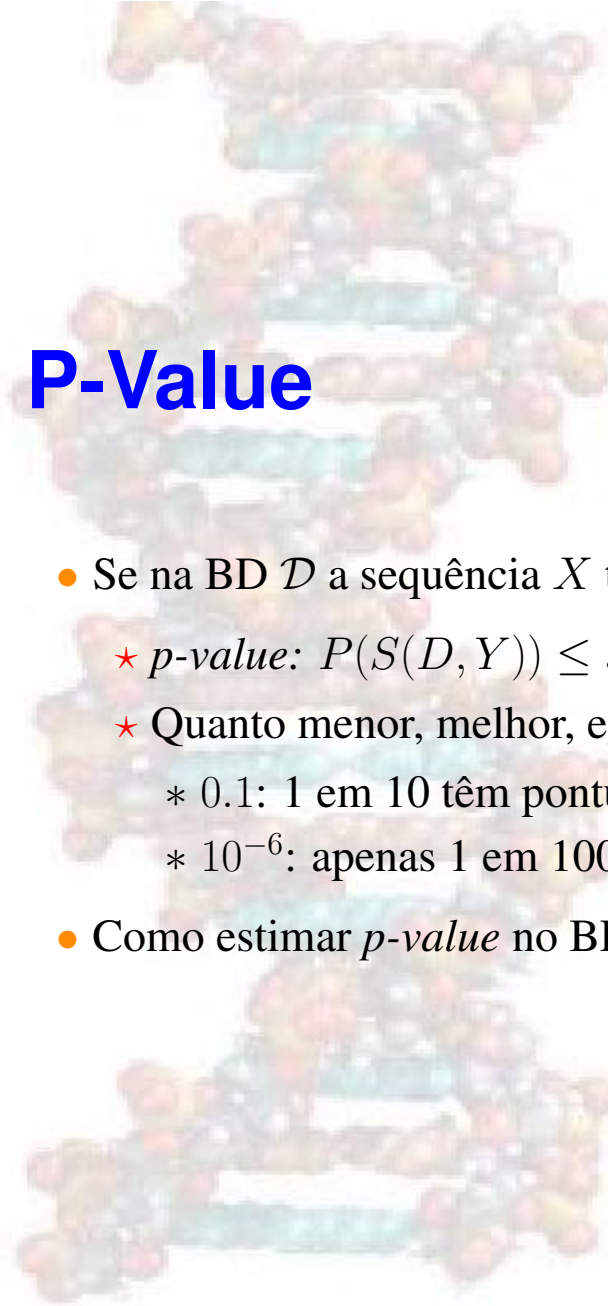


Extensao Corrente c



$$score(c) \geq score(b) - \epsilon ?$$

- resultado: pares de segmentos com resultado pelo menos S



P-Value

- Se na BD \mathcal{D} a sequência X tem a pontuação $S(\mathcal{D}, X) = s$, então:
 - ★ *p-value*: $P(S(\mathcal{D}, Y)) \leq s$, onde Y é uma sequência aleatória
 - ★ Quanto menor, melhor, eg:
 - * 0.1: 1 em 10 têm pontuação \geq por acaso
 - * 10^{-6} : apenas 1 em 1000000!
- Como estimar *p-value* no BLAST?



Pontuação Simplificada

- Score Simplificado:
 - ★ 1 para acerto
 - ★ $-\infty$ para miss ou buraco
- Pontuação melhor:
 - ★ maior alinhamento
- Se matriz de alinhamento tem tamanho $n \times m$:
 - ★ Alinhamento pode começar $\approx n \times m$ posições

Pontuação Simplificada

- Se $P(\text{probabilidade de 2 letras à sorte serem iguais}) = p$
- Em geral, a probabilidade de alinhamento de tamanho $\geq t$:

$$(1 - p)p^t$$

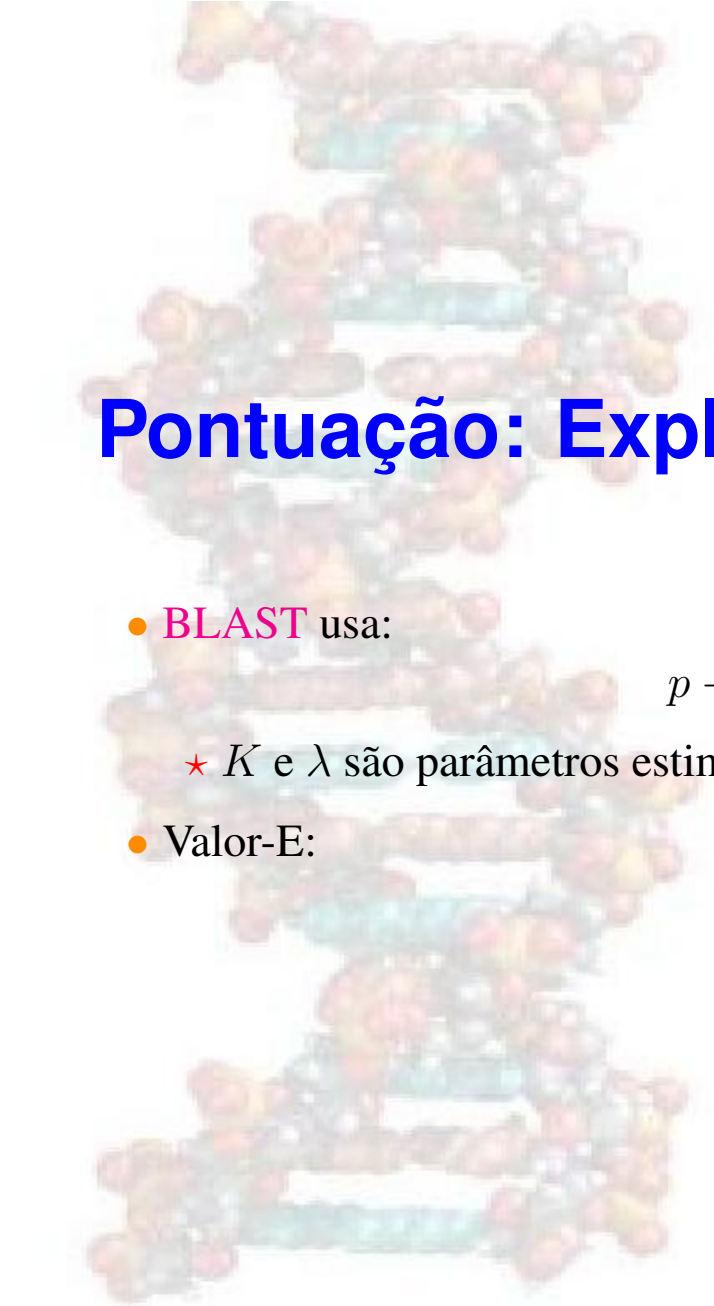
- ★ $1 - p$: se começou aqui, antes não era alinhamento
- ★ $p \times \dots \times p$
- Logo, número esperado de alinhamentos de tamanho $\geq t$:

$$\approx nm(1 - p)p^t$$

Pontuação Simplificada

- Aproximar Binomial por Poisson
 - ★ $N \rightarrow \infty$ se NP fixo
- No caso:
 - ★ $N = mn$
 - ★ $P = (1 - p)p^t$
- Podemos aproximar por Poisson com $\lambda = mn(1 - p)p^t$

$$P(seq_t) = 1 - P(\neg seq_t) = 1 - \frac{\lambda^0 e^{-\lambda}}{0!} = 1 - e^{-nmp^t(1-p)}$$



Pontuação: Explicação

- **BLAST** usa:

$$p - value \approx 1 - e^{-Knm e^{-\lambda S}}$$

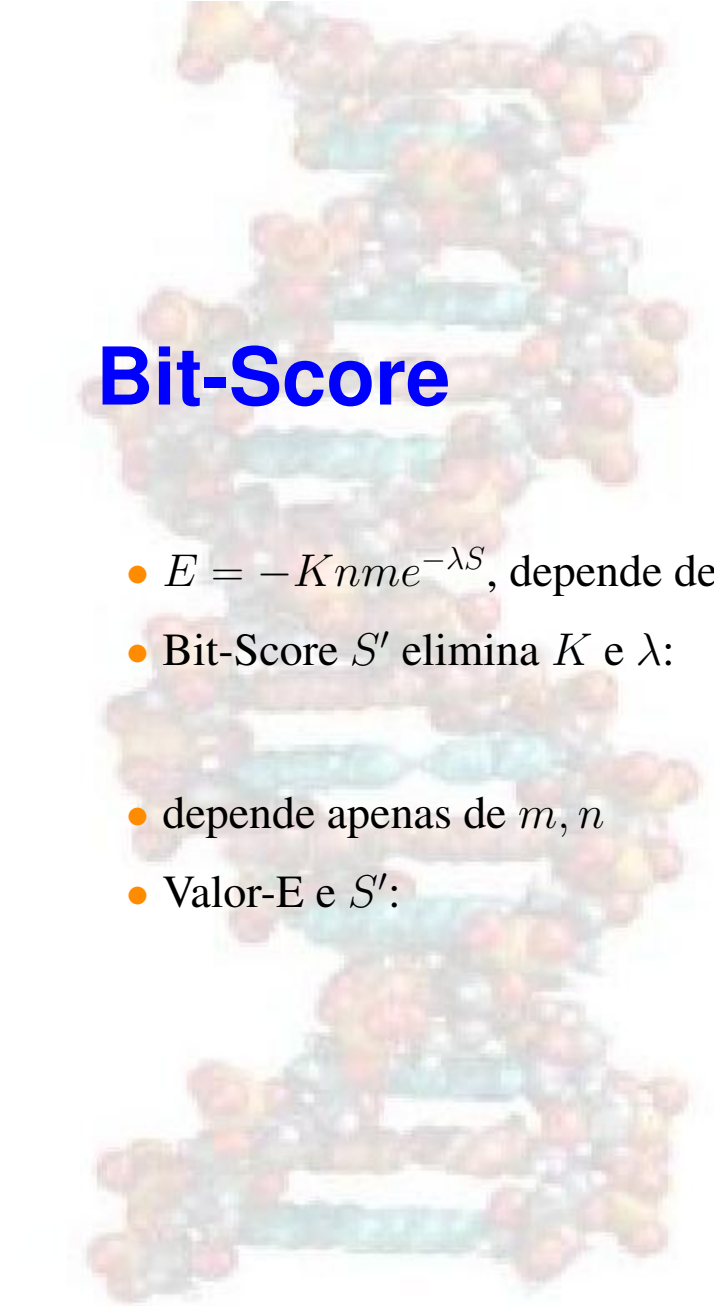
★ K e λ são parâmetros estimados.

- Valor-E:

$$E = Knm e^{-\lambda S}$$

Intuição

- Dobrar o tamanho de qq sequência dobra o número de sequências para o score.
- Para obter $2 \times S$ tem que duplicar o tamanho, logo E deveria decrescer exponencialmente.
- K e λ dependem:
 - ★ da matriz de substituição
 - ★ da frequência dos amino-ácidos
- Mais intuitivo do que p-value para matches fracos
 - ★ E-value de 5, P-value de 0.993
 - ★ E-value de 10, P-value de 0.99995
- E e p-value convergem para matches fortes



Bit-Score

- $E = -Knm e^{-\lambda S}$, depende de K e λ

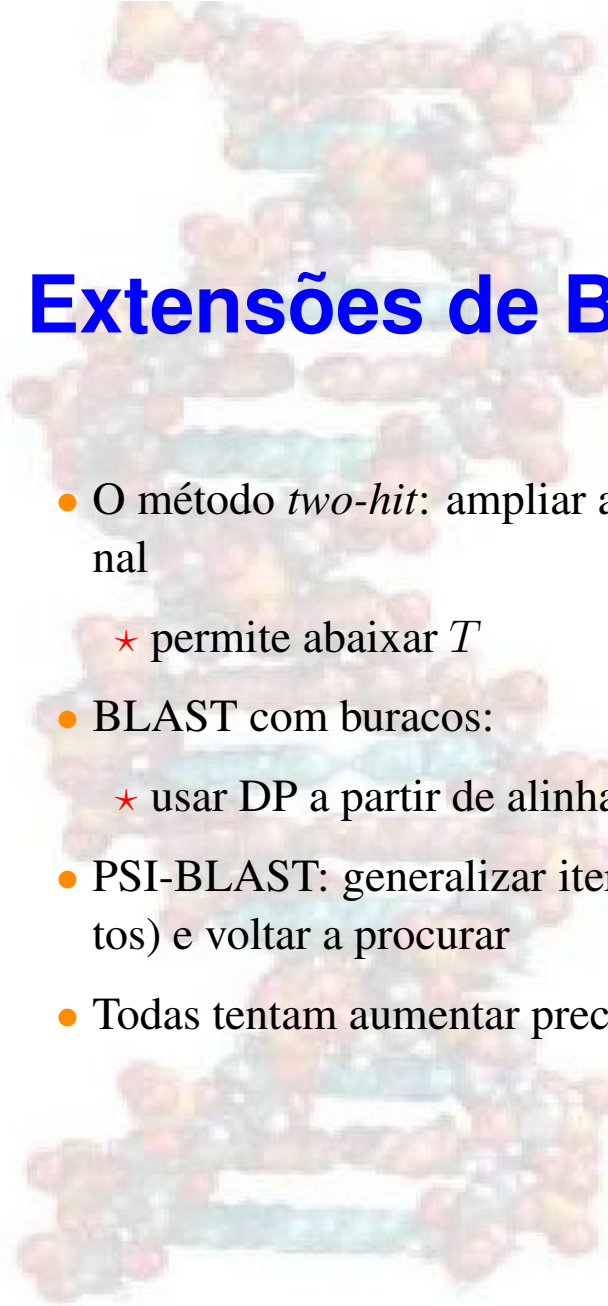
- Bit-Score S' elimina K e λ :

$$S' = \frac{\lambda S - \ln K}{\ln 2}$$

- depende apenas de m, n

- Valor-E e S' :

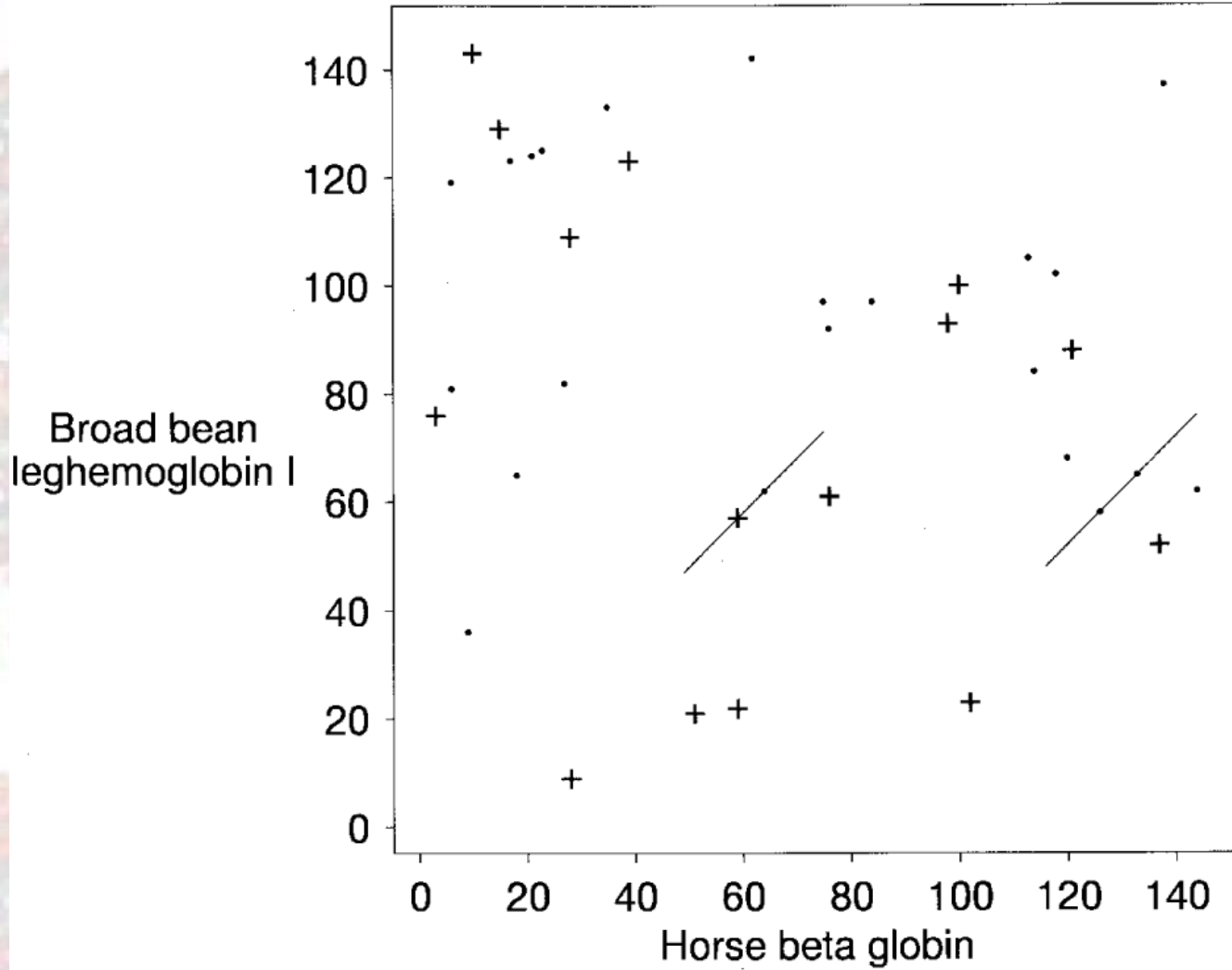
$$E = mn 2^{-S'}$$



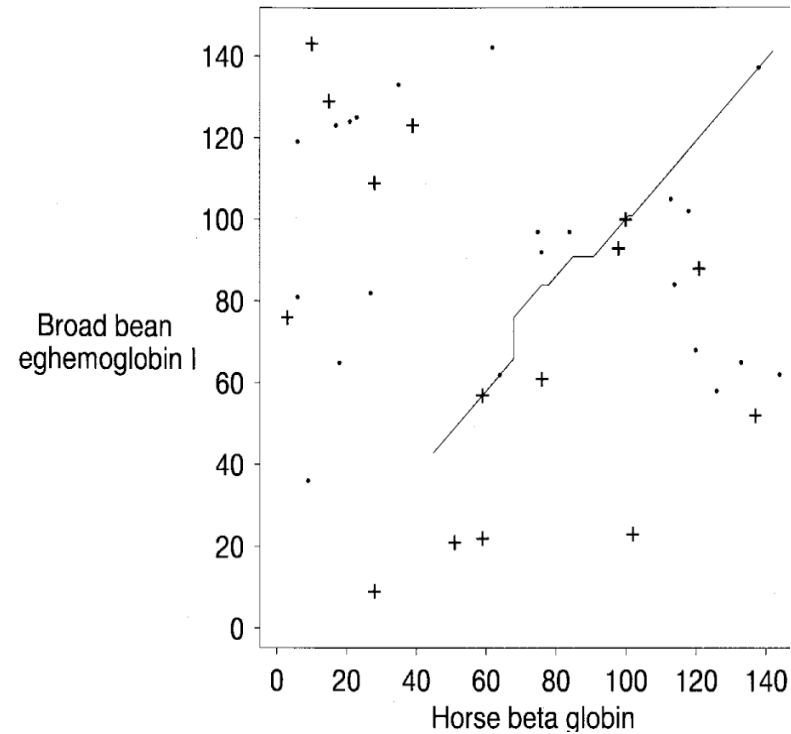
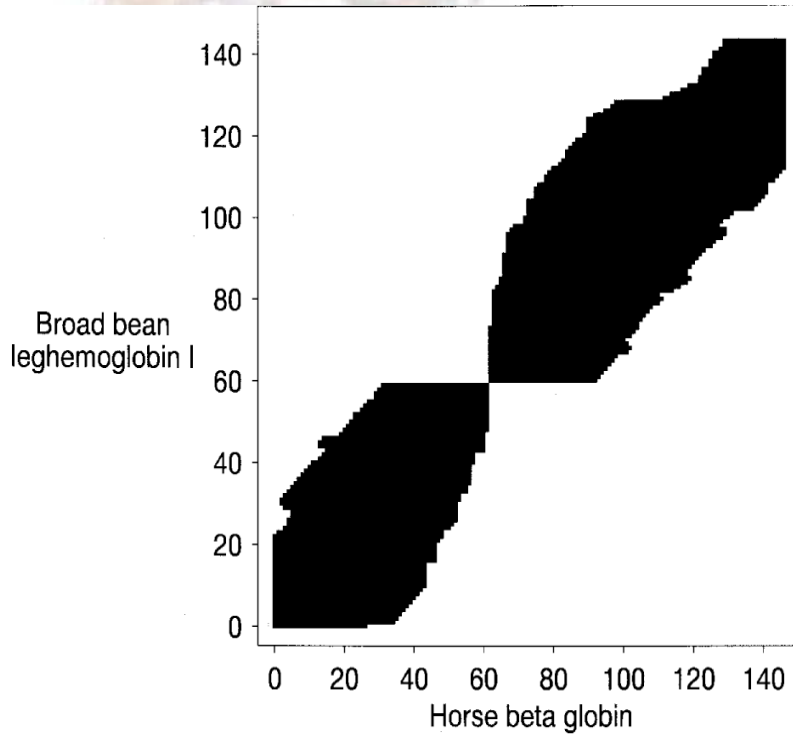
Extensões de BLAST

- O método *two-hit*: ampliar apenas quando há dois acertos perto e na mesma diagonal
 - ★ permite abaixar T
- BLAST com buracos:
 - ★ usar DP a partir de alinhamento com pontuação melhor
- PSI-BLAST: generalizar iterativamente a questão (fazê-la parecer mais como acertos) e voltar a procurar
- Todas tentam aumentar precisão enquanto limitam o tempo de execução

Método Two-Hits



Gapped Blast



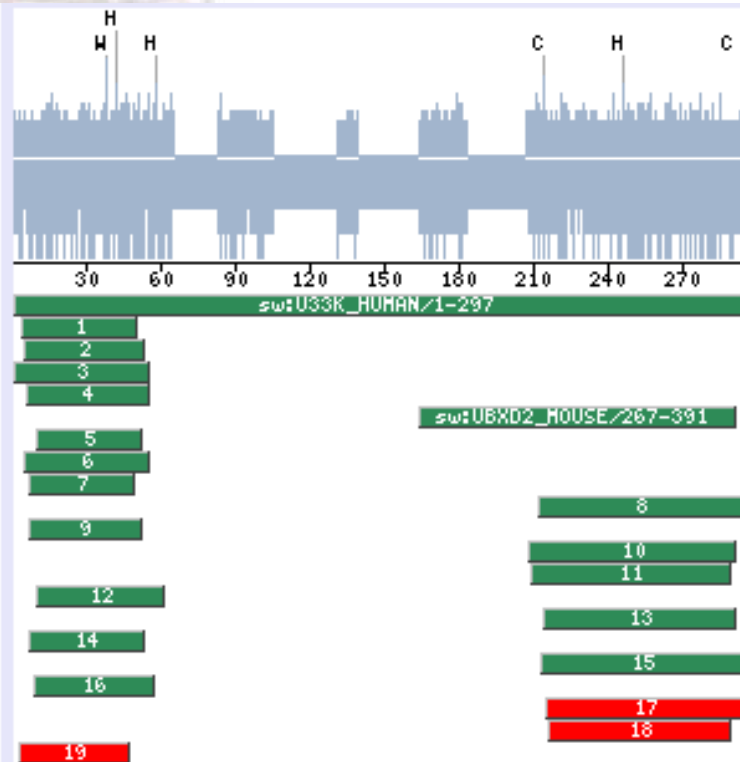
```

Leghemoglobin  43 FSFLKDSAGVVDSPKLGAAHAEKVFQGMVRDSAVQLRATGEVV--LDGKDGS----- 90
                  F L + V+ +PK+ AH +KV                L + GE V LD G+
Beta globin    45 FGDLSNPGAVMGNPKVKAHGKKV-----LHSFGEGVHHLNCLKGTFAALSE 90
  
```

```

Leghemoglobin  91 IHIQKGVLDP-HFVVVKEALLKTIKEASGDKWSEELSAWEVAYDGLATAI 140
                  +H K +DP +F ++ L+ + G ++ EL A+++ G+A A+
Beta globin    91 LHCDKLHVDPENFRLLGNVLVVVLLARHFGKDFTPELQASYQKVAVAGVANAL 141
  
```

Gapped BLAST

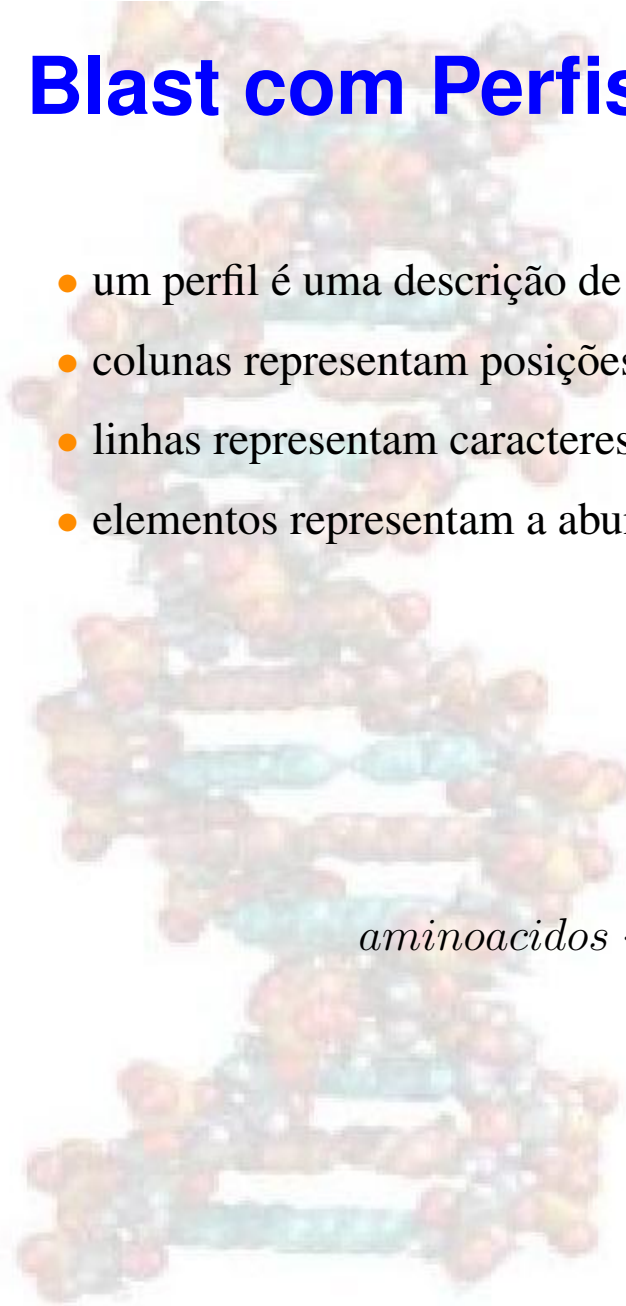


Matches map

Legends: 1, *sw:UAS3_DROME/22-68*; 2, *sw:UBP14_SCHPO/580-628*; 3, *sw:UBP5_MOUSE/654-708*; 4, *sw:UBP14_YEAST/612-661*; 5, *sw:UBP14_ARATH/622-664*; 6, *sw:UBP13_HUMAN/656-706*; 7, *sw:UBPA_DICDI/634-676*; 8, *sw:YOJ8_CAEEL/281-359*; 9, *sw:UAS3_HUMAN/25-70*; 10, *sw:UBX7_YEAST/211-290*; 11, *sw:UBXD1_HUMAN/332-406*; 12, *sw:UPL2_ARATH/1280-1332*; 13, *sw:UBX6_YEAST/191-264*; 14, *sw:UBP14_SCHPO/645-690*; 15, *sw:UBXD7_HUMAN/412-488*; 16, *sw:UBP5_MOUSE/730-777*; 17, *sw:FAF1_MOUSE/574-648*; 18, *sw:UBAX1_ARATH/350-418*; 19, *sw:UBP13_HUMAN/731-775*.

Blast com Perfis

- um perfil é uma descrição de um conjunto de sequências
- colunas representam posições em sequências
- linhas representam caracteres em sequências
- elementos representam a abundância de um caracter numa posição

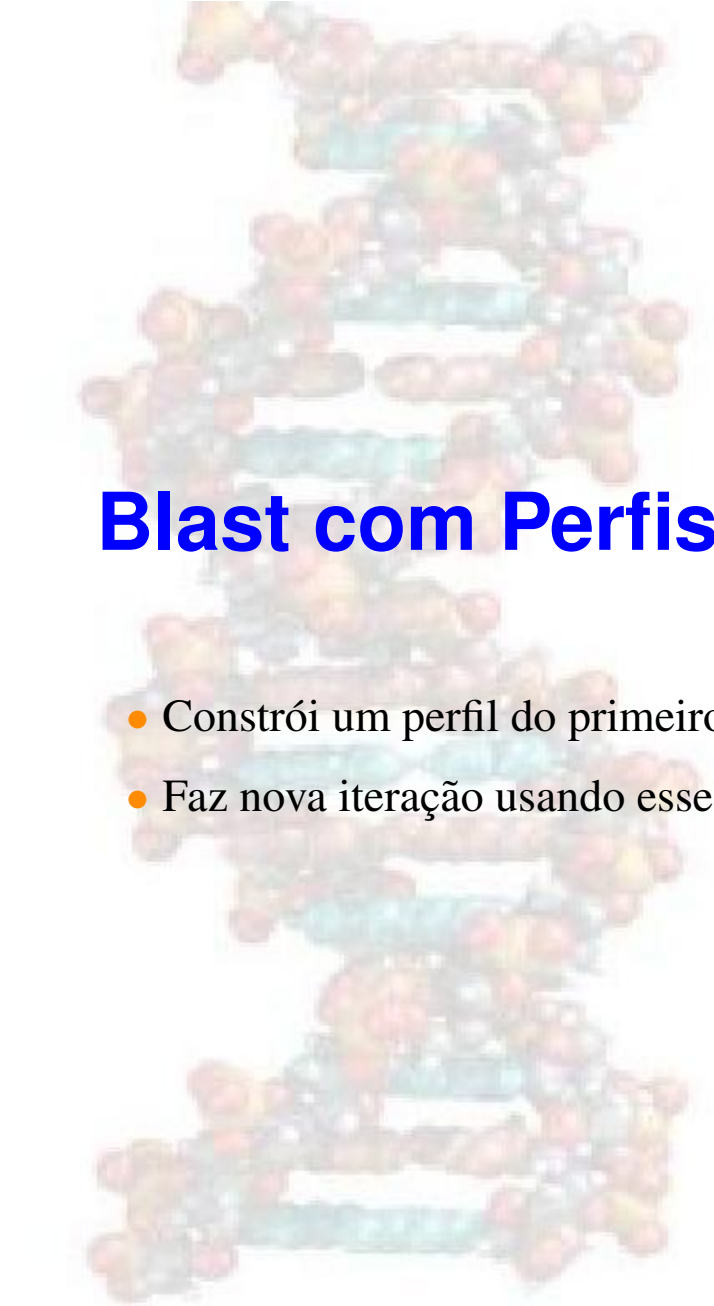


aminoacidos

	1	2	3	4	5	6	7	8
A			0					
R			0					
D			0.5					
N			0.2					
C			0					

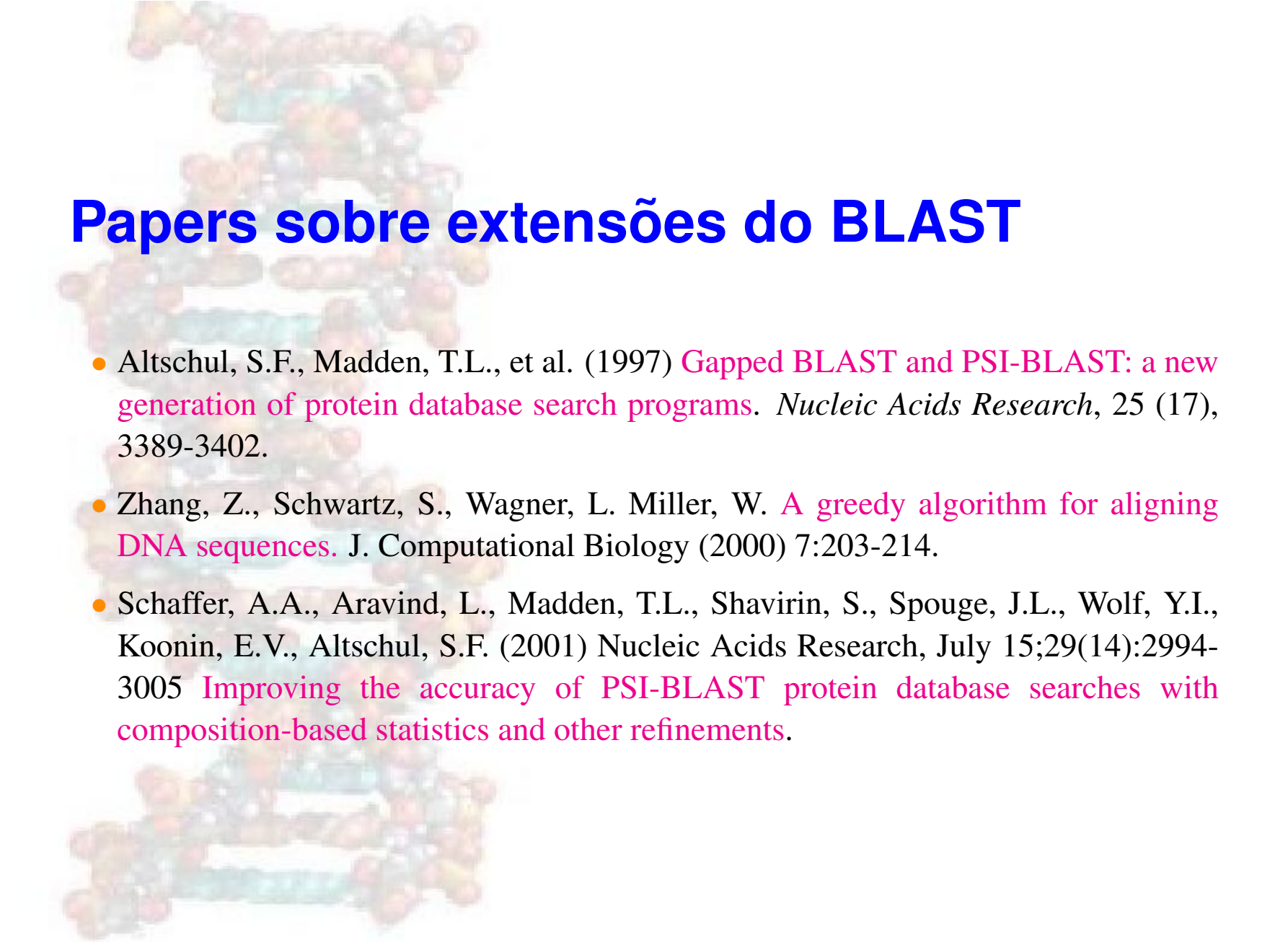
•
•
•

• • •



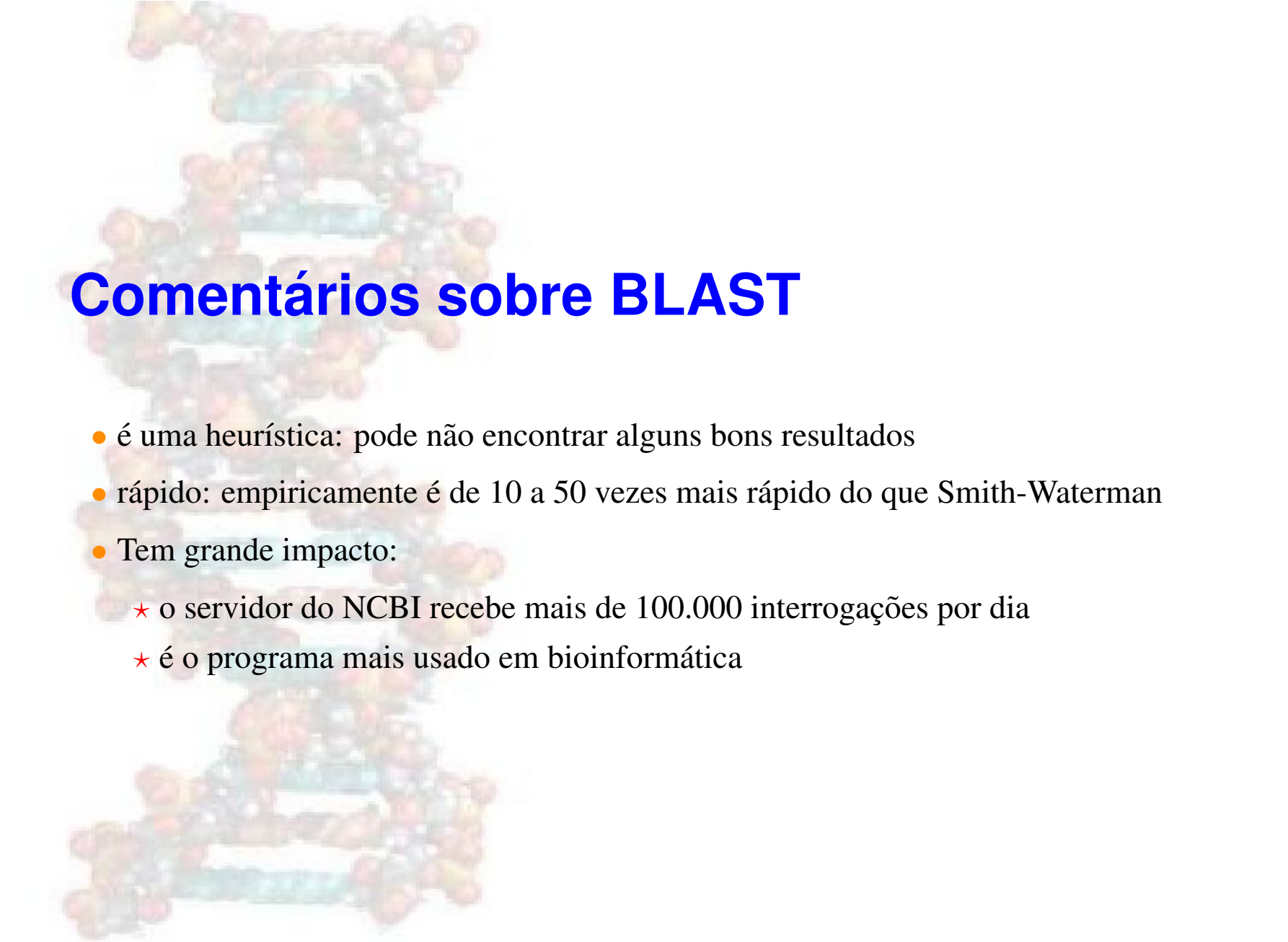
Blast com Perfis: PSI-BLAST

- Constrói um perfil do primeiro conjunto de alinhamentos
- Faz nova iteração usando esse perfil.



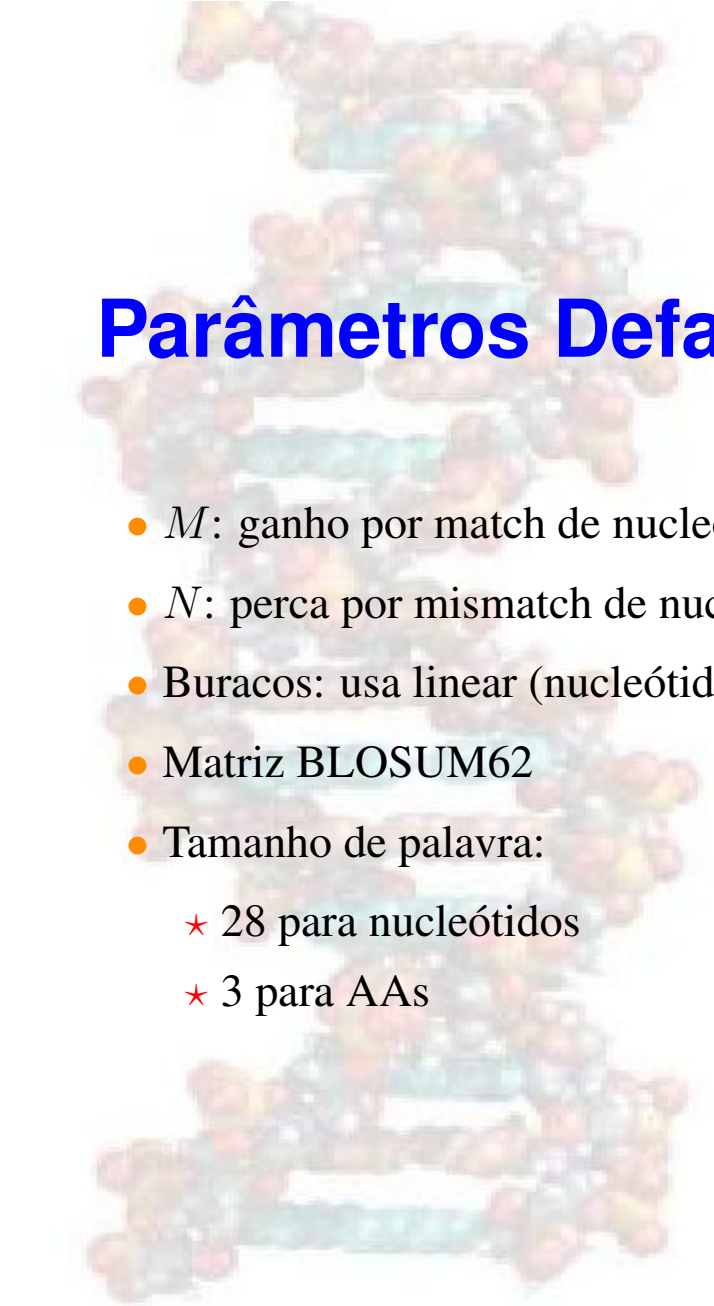
Papers sobre extensões do BLAST

- Altschul, S.F., Madden, T.L., et al. (1997) **Gapped BLAST and PSI-BLAST: a new generation of protein database search programs.** *Nucleic Acids Research*, 25 (17), 3389-3402.
- Zhang, Z., Schwartz, S., Wagner, L. Miller, W. **A greedy algorithm for aligning DNA sequences.** *J. Computational Biology* (2000) 7:203-214.
- Schaffer, A.A., Aravind, L., Madden, T.L., Shavirin, S., Spouge, J.L., Wolf, Y.I., Koonin, E.V., Altschul, S.F. (2001) *Nucleic Acids Research*, July 15;29(14):2994-3005 **Improving the accuracy of PSI-BLAST protein database searches with composition-based statistics and other refinements.**



Comentários sobre BLAST

- é uma heurística: pode não encontrar alguns bons resultados
- rápido: empiricamente é de 10 a 50 vezes mais rápido do que Smith-Waterman
- Tem grande impacto:
 - ★ o servidor do NCBI recebe mais de 100.000 interrogações por dia
 - ★ é o programa mais usado em bioinformática

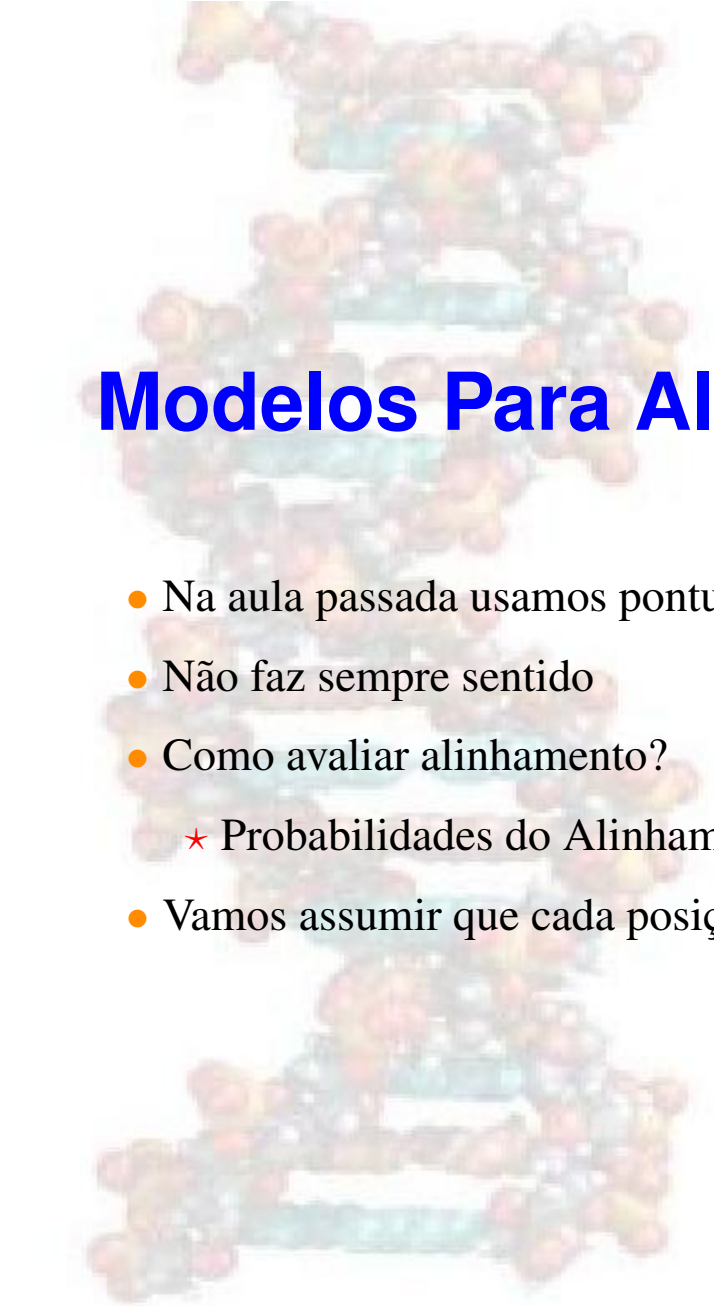


Parâmetros Default do BLAST

- M : ganho por match de nucleótidos (1)
- N : perda por mismatch de nucleótidos (-2)
- Buracos: usa linear (nucleótidos) e 11/1 (AA)
- Matriz BLOSUM62
- Tamanho de palavra:
 - ★ 28 para nucleótidos
 - ★ 3 para AAs

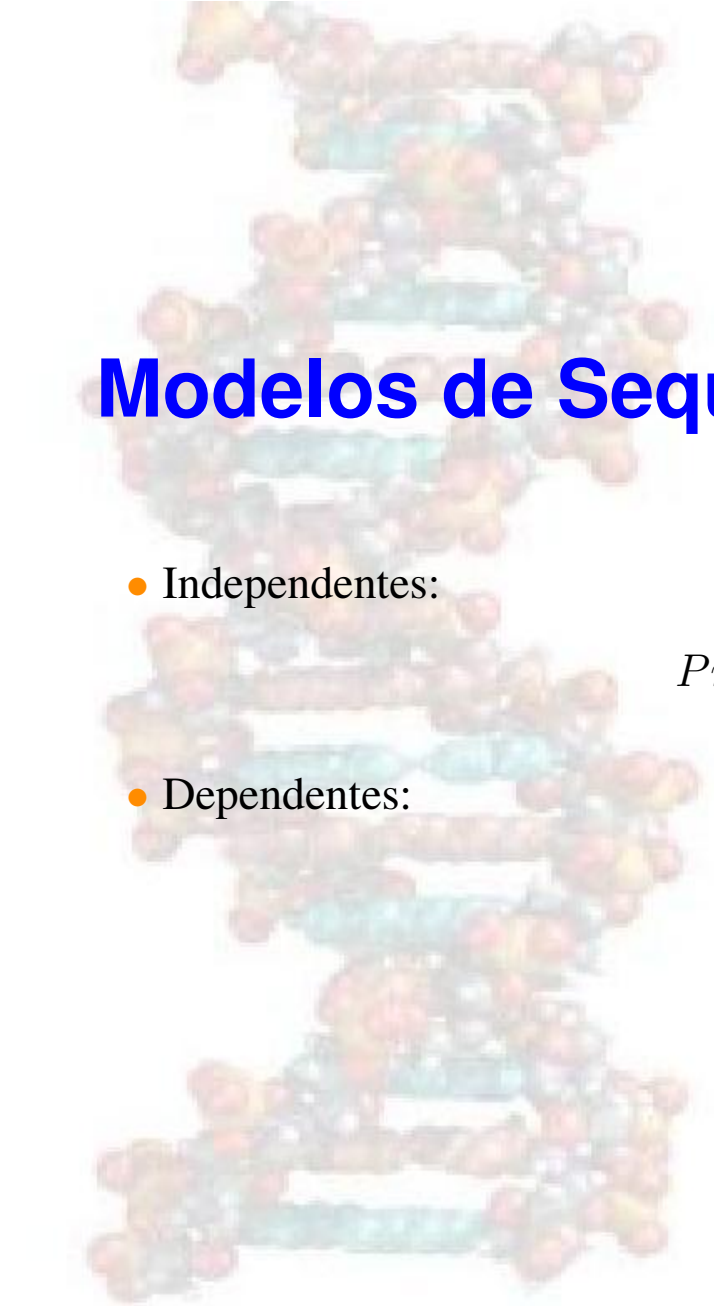
Conclusões

- apresentamos alinhamentos: *locais* e *globais*
- o algoritmo exacto com DP depende de ser local/global e da função da penalização de buracos
- ao permitir buracos permitimos um número exponencial de alinhamentos
- com programação dinâmica a complexidade é $O(mn)$
- algoritmos funcionam tanto para proteínas como DNA
- heurísticas como BLAST são mais rápidas mas não tão precisas.



Modelos Para Alinhamentos

- Na aula passada usamos pontuação como \equiv comprimento
- Não faz sempre sentido
- Como avaliar alinhamento?
 - ★ Probabilidades do Alinhamento
- Vamos assumir que cada posição é independente



Modelos de Sequências

- Independentes:

$$Pr(x, y|U) = \prod_{i=1}^n q_{x_i} \prod_{i=1}^n q_{y_i}$$

- Dependentes:

$$Pr(x, y|R) = \prod_{i=1}^n p_{x_i, y_i}$$

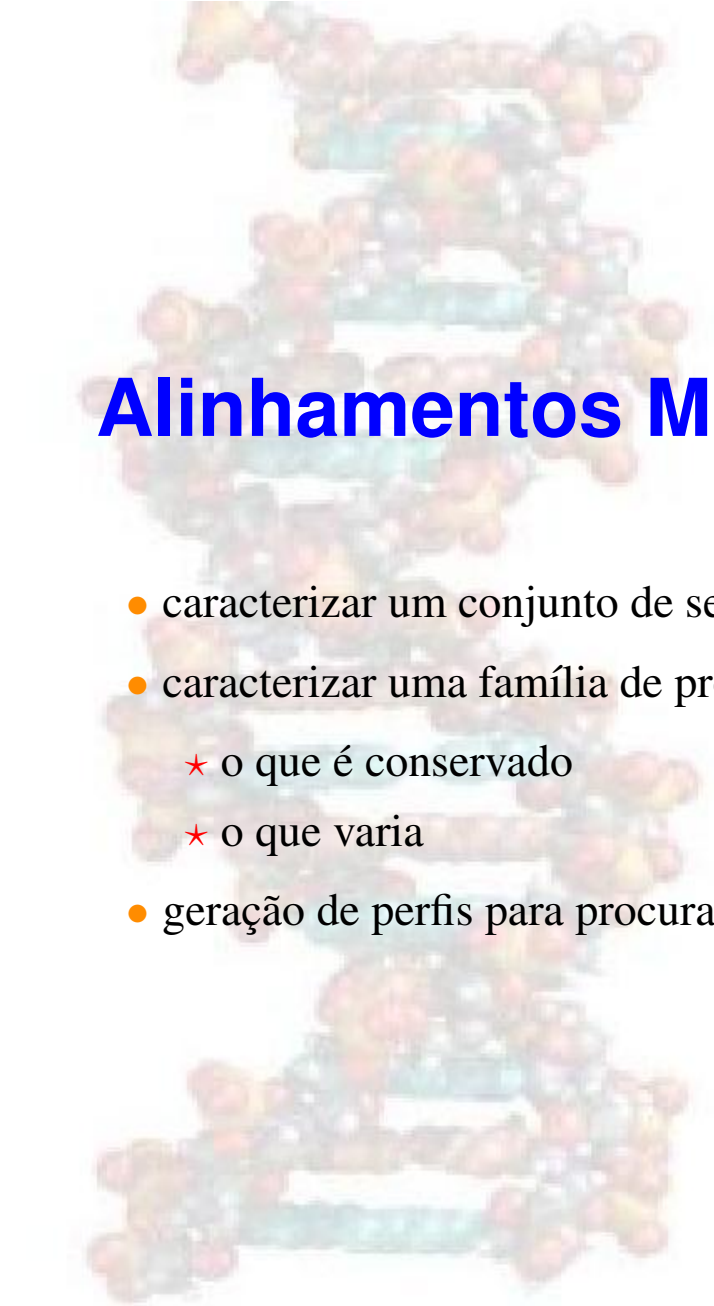
Comparando Modelos

- Qual o mais provável?
- Comparar a verosimilhança dos 2:

$$\frac{Pr(x, y|R)}{Pr(x, y|U)} = \frac{\prod_{i=1}^n p_{x_i, y_i}}{\prod_{i=1}^n q_{x_i} \prod_{i=1}^n b q_{y_i}} = \prod_{i=1}^n \frac{p_{x_i, y_i}}{q_{x_i} q_{y_i}}$$

- É mais fácil trabalhar com o log:

$$\log \frac{Pr(x, y|R)}{Pr(x, y|U)} = \sum_i \frac{p_{x_i, y_i}}{q_{x_i} q_{y_i}}$$

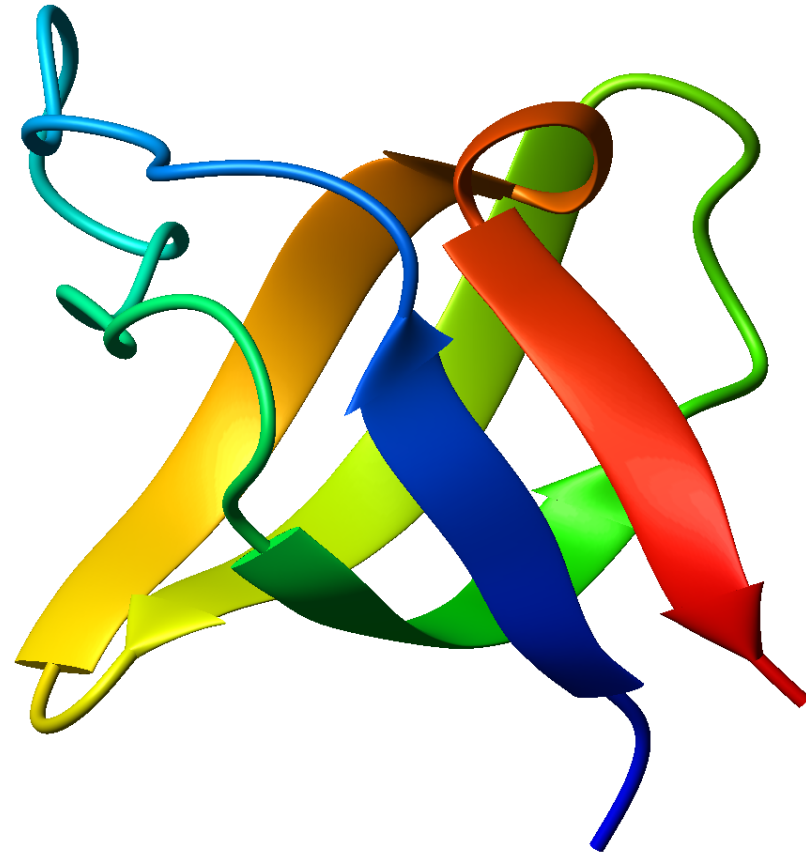


Alinhamentos Múltiplos

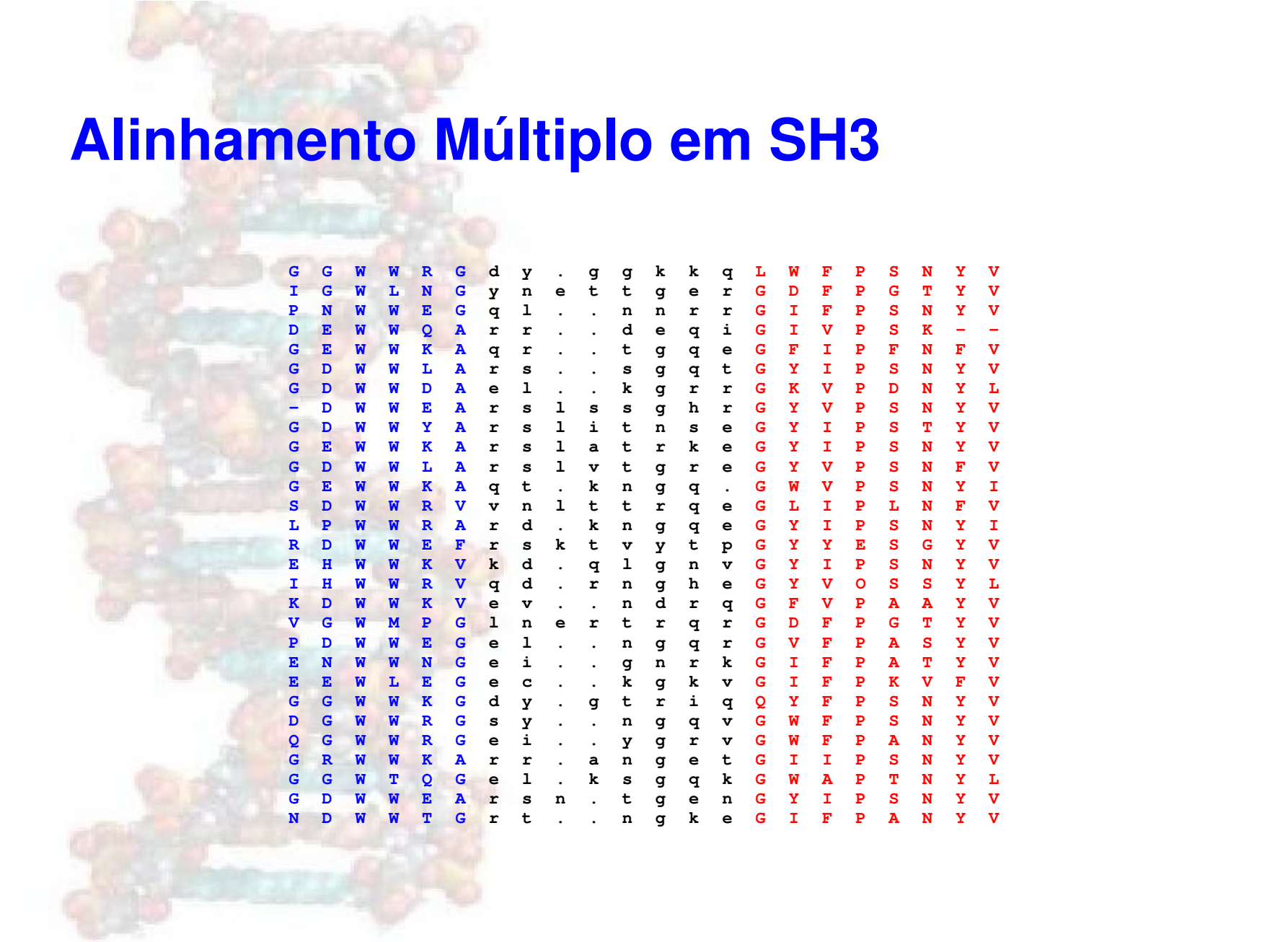
- caracterizar um conjunto de sequências (ie, uma classe de sinais DNA)
- caracterizar uma família de proteínas:
 - ★ o que é conservado
 - ★ o que varia
- geração de perfis para procura

SH3

- Domínio envolvido em tradução de sinal para cito-esqueleto, RAS
- Estrutura típica de barril-beta parcialmente aberto
- ≈ 60 AAs



Alinhamento Múltiplo em SH3

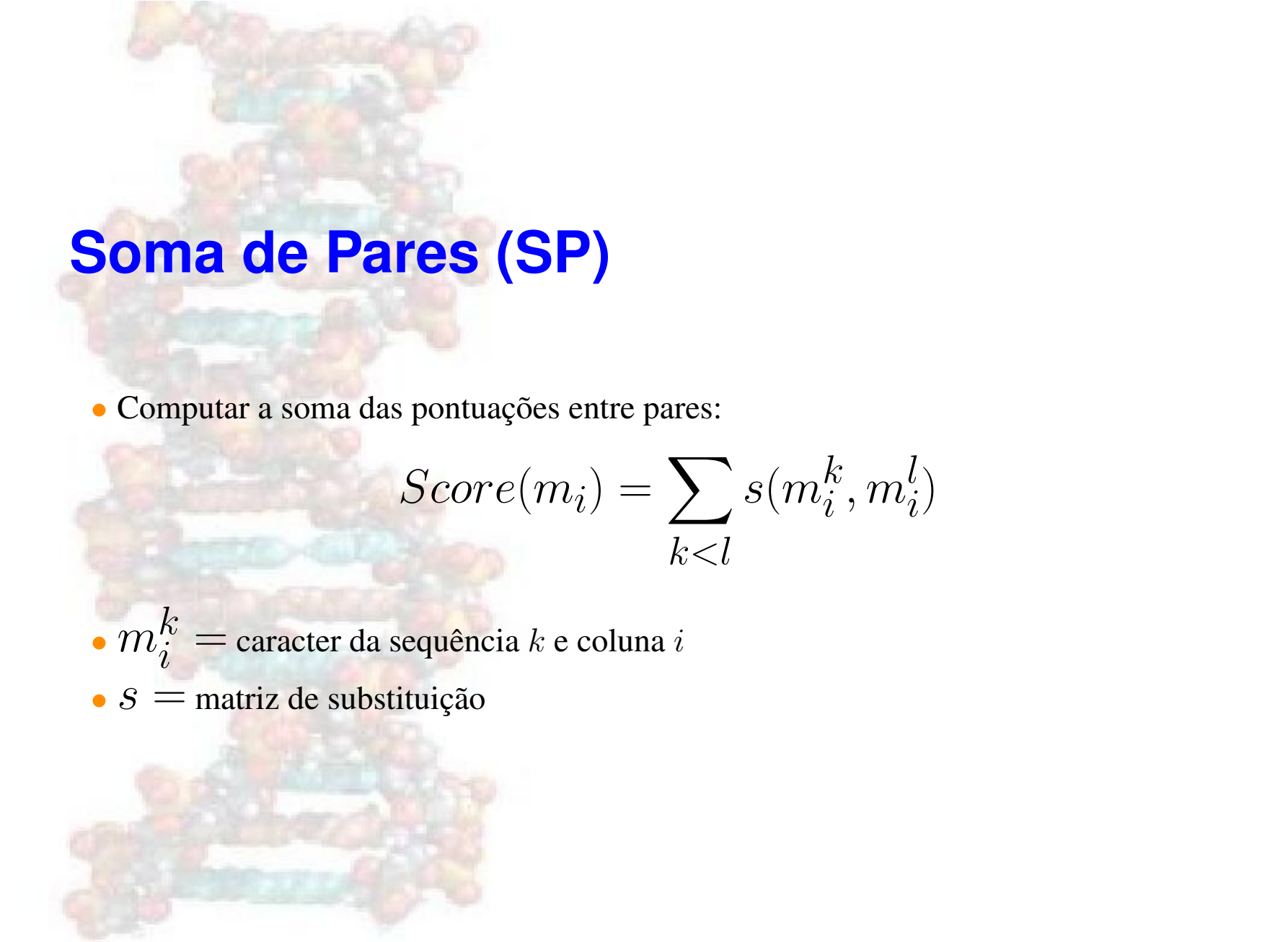


```
G G W W R G d y . g g k k q L W F P S N Y V
I G W L N G y n e t t g k e r G D F P P G T Y V
P N W W E G q l . . n n r r G I F P P S N Y V
D E W W Q A r r r . . d e q i G I V P P S K - -
G E W W K A r r . . t g q q e G F I P P F N F V
G D W W L A r s . . s g g q t G Y I P P S N Y V
G D W W D A e l . . k g r r G K V P P D N Y L
- D W W E A r s l s s g h r G Y V P P S N Y V
G D W W Y A r s l i t n s e G Y I P P S T Y V
G E W W K A r s l a t r k e G Y I P P S N Y V
G D W W L A r s l v t g r e G Y V P P S N F V
G E W W K A q t . k n g q . G W V P P S N Y I
S D W W R A v n l t t r g q e G L I P P L N F V
L P W W R A r v n d . k n t r g q e G Y I P P S N Y I
R D W W E F r s k t v y t p G Y Y E S G Y V
E H W W K V k d . q l g n v G Y I P P S N Y V
I H W W R V q d . r n g h e G Y V O S S Y L
K D W W K V e v . . n d r q G F V P A A Y V
V G W W M P G l n e r t r q r G D F P P G T Y V
P D W W E G e l . . n g q r G V F P P A S Y V
E N W W N G e i . . g n r k G I F P P A T Y V
E E W W L E G e c . . k g k v G I F P P K V F V
G G W W K G d y . g t r i q Q Y F P P S N Y V
D G W W R G s y . . n g q v G W F P P S N Y V
Q G W W R G e i . . y g r v G W F P P A N Y V
G G R W W K A r r . a n g e t G I I P P S N Y V
G G W W T Q G e r l . k s g q k G W A P P T N Y L
G D W W E A r s n . t g e n G Y I P P S N Y V
N D W W T G r t . . n g k e G I F P P A N Y V
```



Avaliação de Alinhamentos Múltiplos

- Questão Principal: como estimar a qualidade de um alinhamento entre sequências múltiplas?
- Assumimos que as *colunas* individuais de alinhamentos são independentes.
- Discutiremos dois métodos:
 - ★ Soma de Pares (SP)
 - ★ Entropia Mínima



Soma de Pares (SP)

- Computar a soma das pontuações entre pares:

$$Score(m_i) = \sum_{k < l} s(m_i^k, m_i^l)$$

- m_i^k = caracter da sequência k e coluna i
- S = matriz de substituição



Entropia Mínima

- Ideia: **minimizar** a *entropia* de cada coluna
- Ou coluna que pode ser apresentada com menos bits de informação é melhor
- Teoria da Informação: um código óptimo usa $-\log_2 p$ para codificar uma mensagem de probabilidade p .

Entropia Mínima

- Neste caso as mensagens são os caracteres numa certa coluna
- a entropia de uma coluna é dada por:

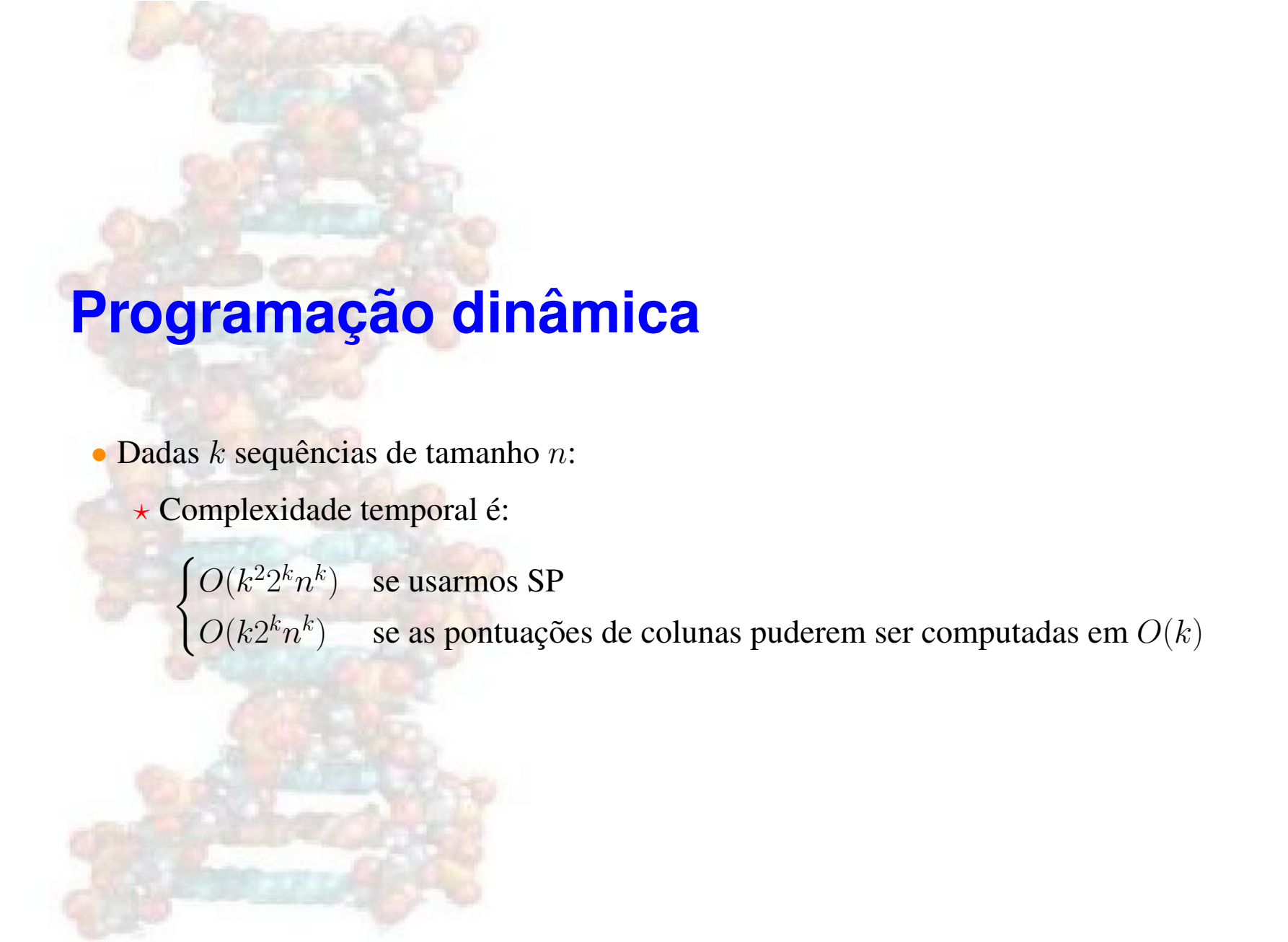
$$Score(m_i) = - \sum_a c_{ia} \log_2(p_{ia})$$

- m_i = a coluna i de um alinhamento m
- c_{ia} = número de caracteres a na coluna i
- p_{ia} = probabilidade do caracter a na coluna i

Programação Dinâmica

- Pode-se encontrar alinhamentos ótimos usando programação dinâmica
- Generalização de métodos para alinhamento de pares:
 - ★ Matriz de dimensão- k para k sequências (substituindo uma matriz bidimensional)
 - ★ cada entrada na matriz representa um alinhamento para k subsequências (em vez de 2 subsequências)
- dadas k sequências de tamanho n
 - ★ Complexidade espacial é:

$$O(n^k)$$

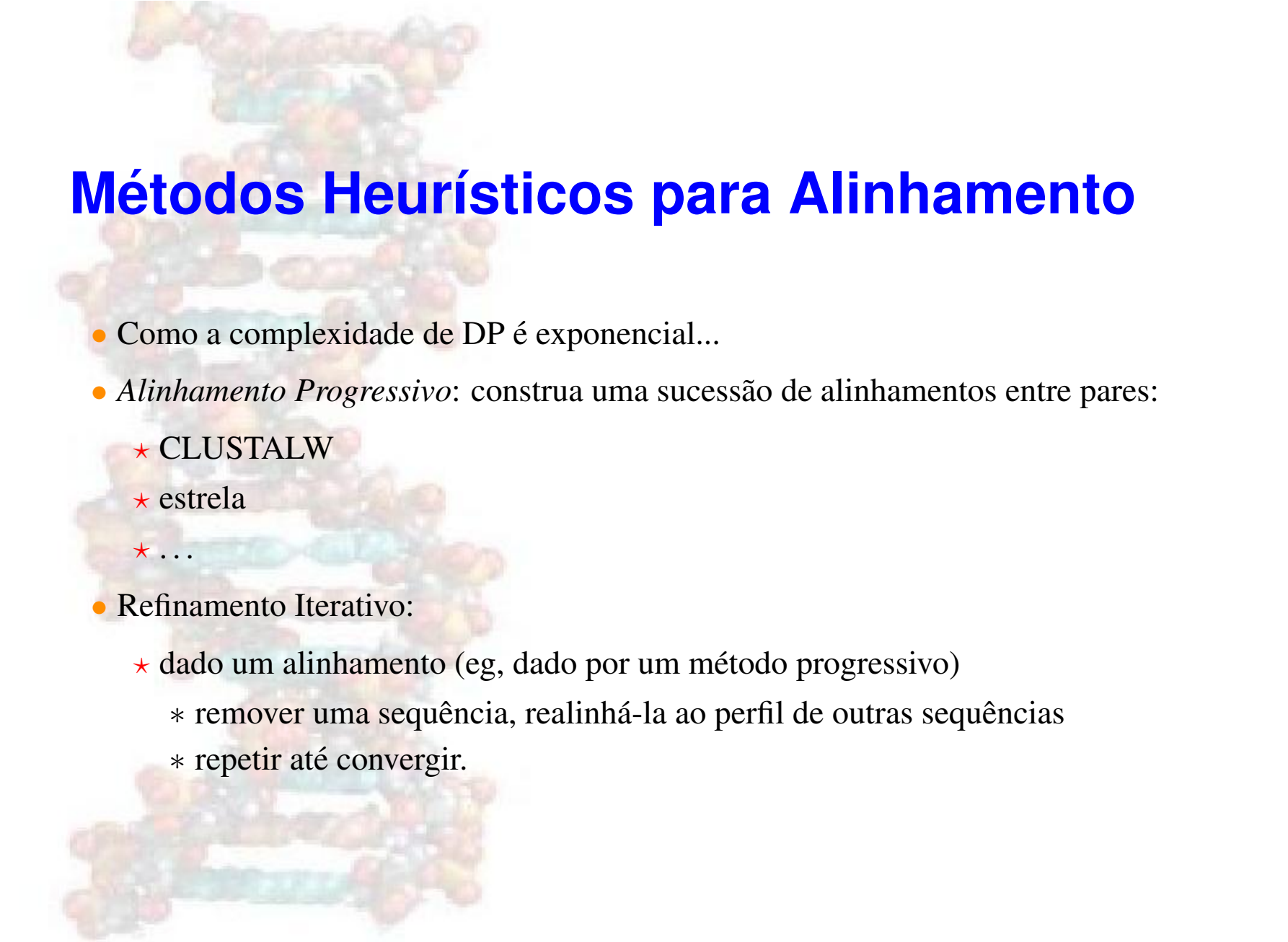


Programação dinâmica

- Dadas k seqüências de tamanho n :

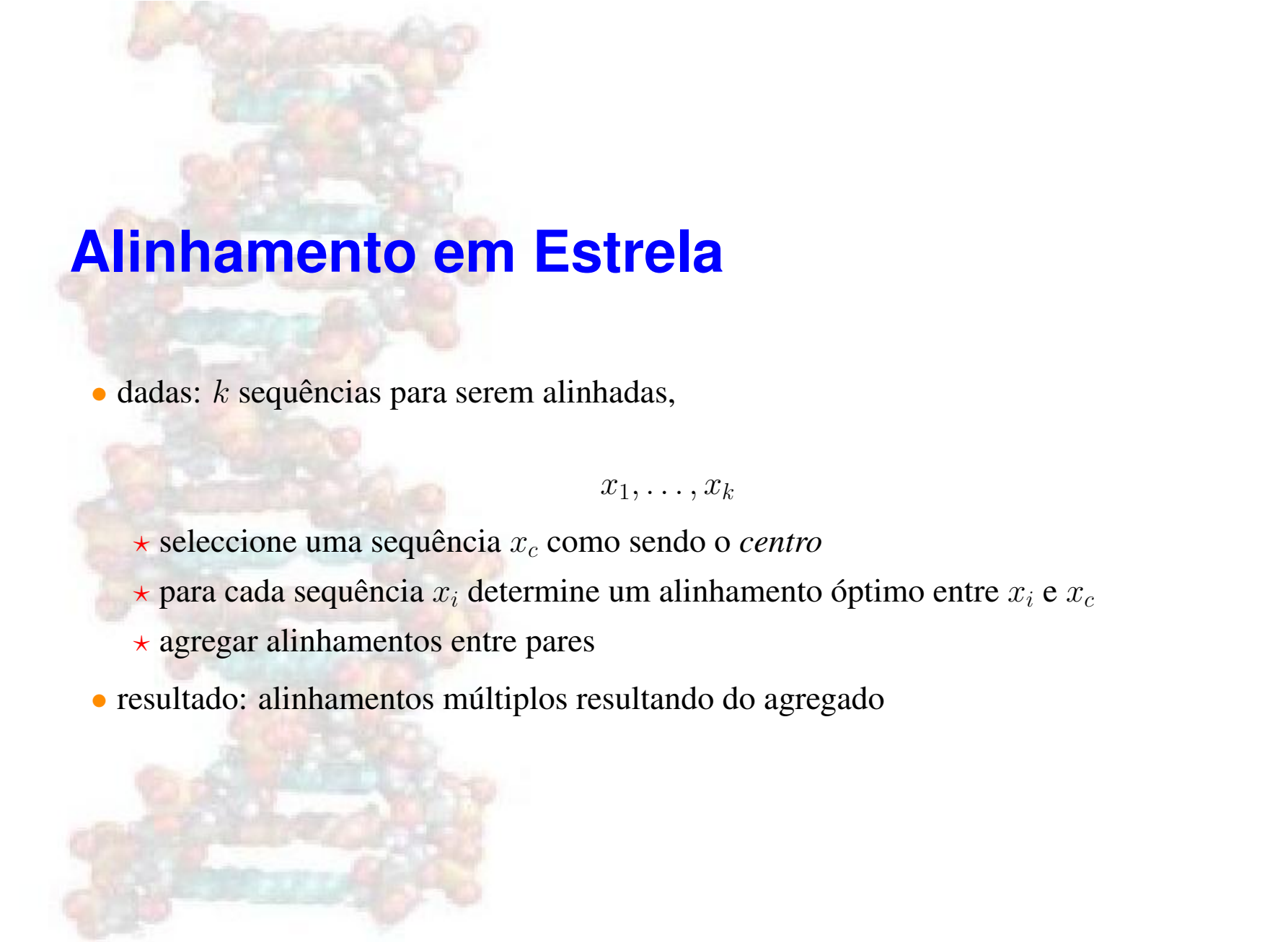
★ Complexidade temporal é:

$$\begin{cases} O(k^2 2^k n^k) & \text{se usarmos SP} \\ O(k 2^k n^k) & \text{se as pontuações de colunas puderem ser computadas em } O(k) \end{cases}$$



Métodos Heurísticos para Alinhamento

- Como a complexidade de DP é exponencial...
- *Alinhamento Progressivo*: construa uma sucessão de alinhamentos entre pares:
 - ★ CLUSTALW
 - ★ estrela
 - ★ ...
- Refinamento Iterativo:
 - ★ dado um alinhamento (eg, dado por um método progressivo)
 - * remover uma sequência, realinhá-la ao perfil de outras sequências
 - * repetir até convergir.

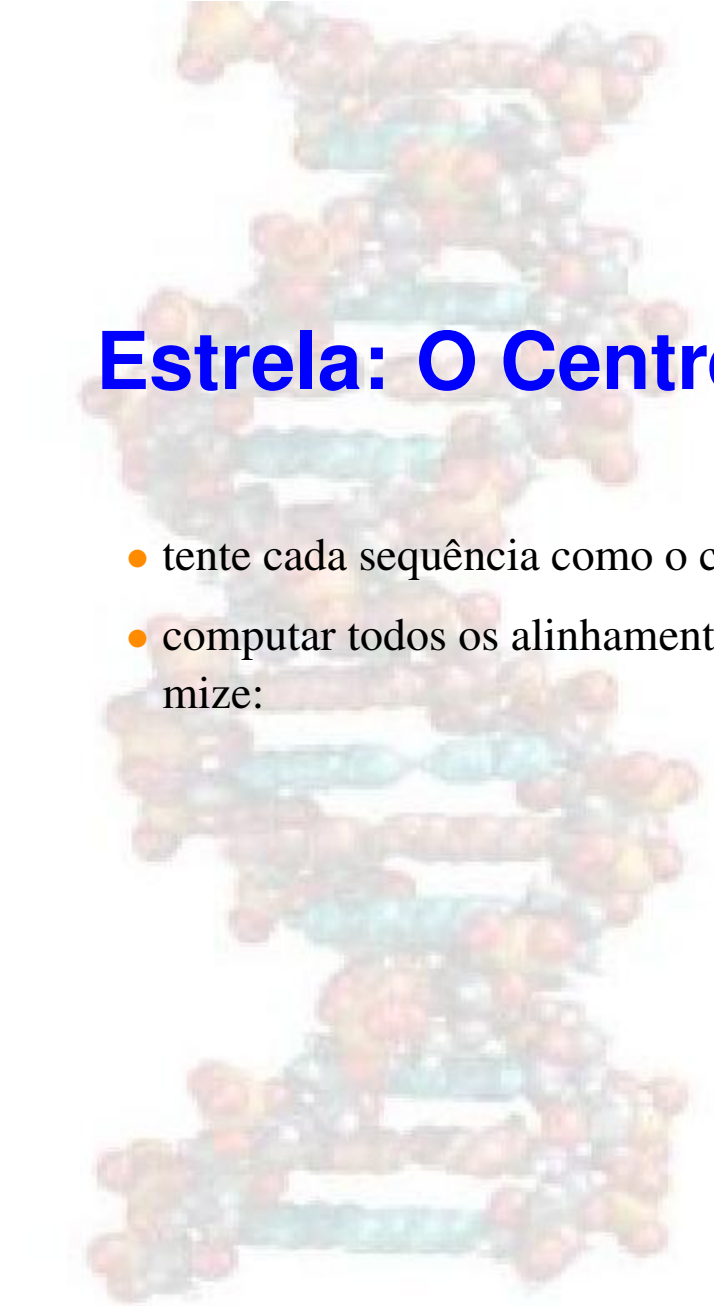


Alinhamento em Estrela

- dadas: k sequências para serem alinhadas,

$$x_1, \dots, x_k$$

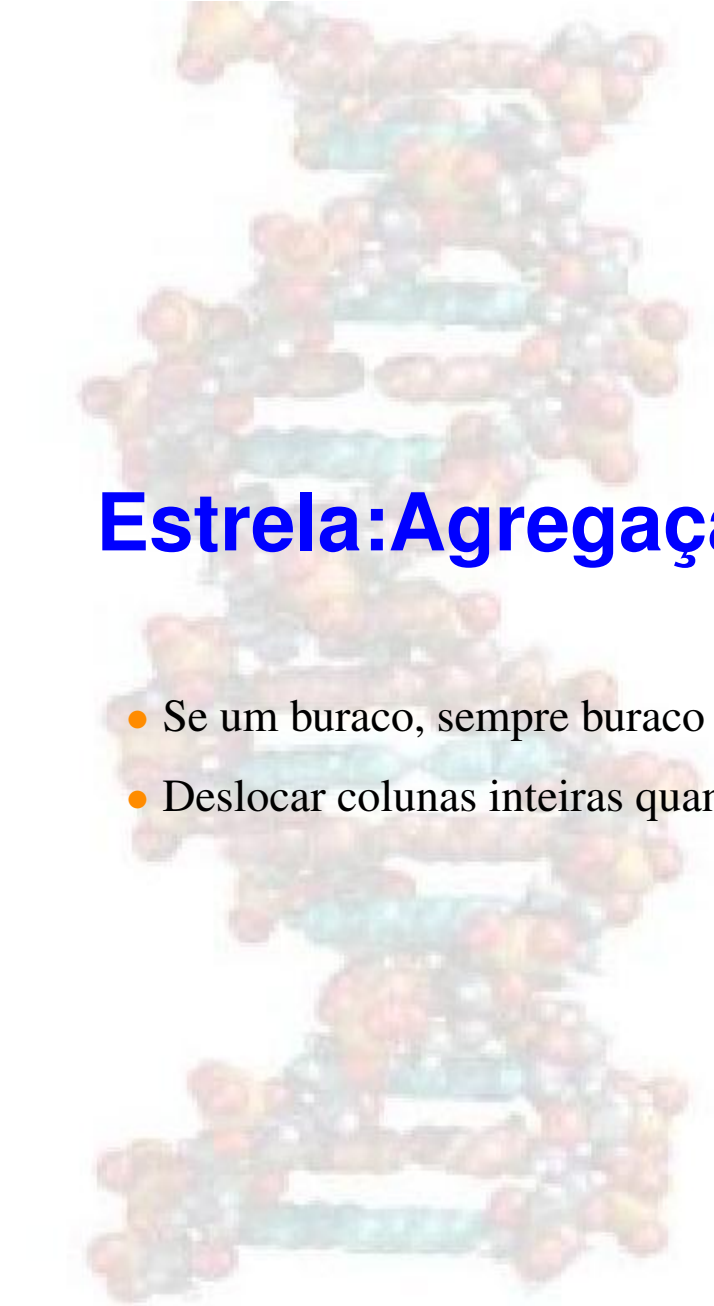
- ★ seleccione uma sequência x_c como sendo o *centro*
 - ★ para cada sequência x_i determine um alinhamento óptimo entre x_i e x_c
 - ★ agregar alinhamentos entre pares
- resultado: alinhamentos múltiplos resultando do agregado



Estrela: O Centro

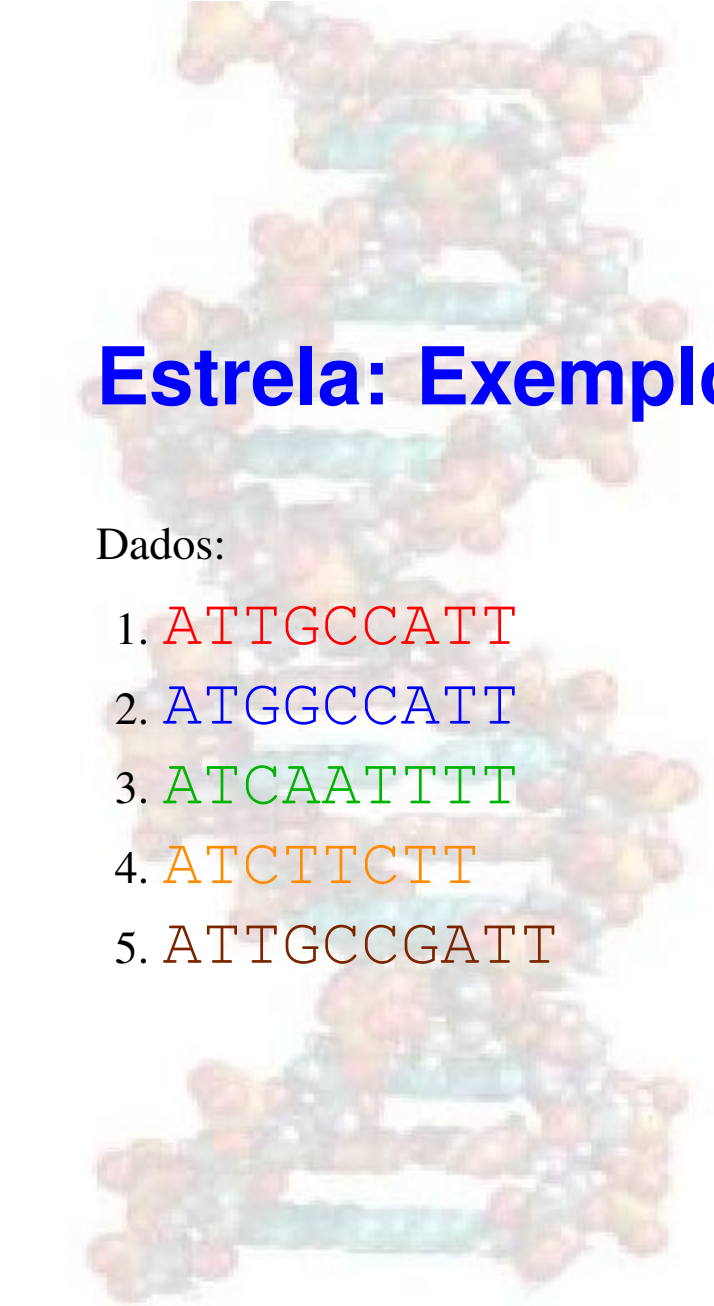
- tente cada sequência como o centro, retornar o melhor alinhamento múltiplo
- computar todos os alinhamentos entre pares e seleccionar a sequência x_c que maximize:

$$\sum_{i \neq c} \text{sim}(x_i, x_c)$$



Estrela: Agregação

- Se um buraco, sempre buraco
- Deslocar colunas inteiras quando se incorporam buracos.



Estrela: Exemplo

Dados:

1. ATTGCCATT
2. ATGGCCATT
3. ATCAATTTT
4. ATCTTCTT
5. ATTGCCGATT



Estrela: Alinhamentos

1. `ATTGCCATT`
`ATGGCCATT`
2. `ATTGCCATT--`
`ATC-CAATTTT`
3. `ATTGCCATT`
`ATCTTC-TT`
4. `ATTGCC-ATT`
`ATTGCCGATT`

Estrela: Junção

1. ATTGCCATT
ATGGCCATT

{ ATTGCCATT
ATGGCCATT

2. ATTGCCATT--
ATC-CAATTTT

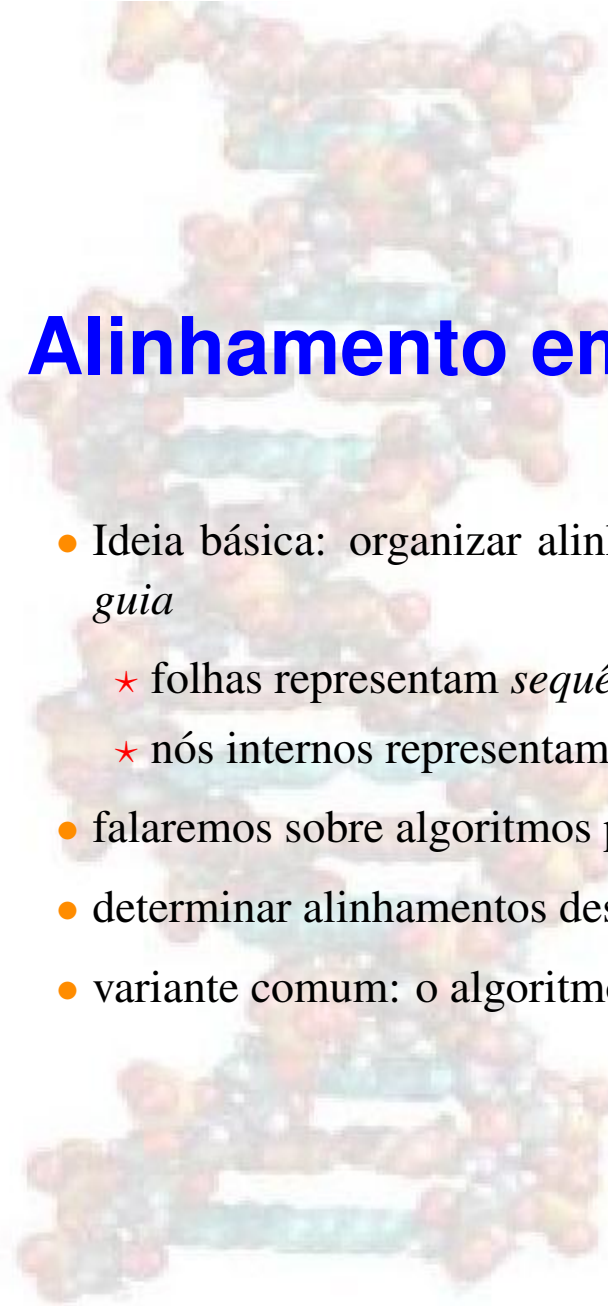
{ ATTGCCATT--
ATGGCCATT--
ATC-CAATTTT

3. ATTGCCATT
ATCTTC-TT

{ ATTGCCATT--
ATGGCCATT--
ATC-CAATTTT
ATCTTC-TT--

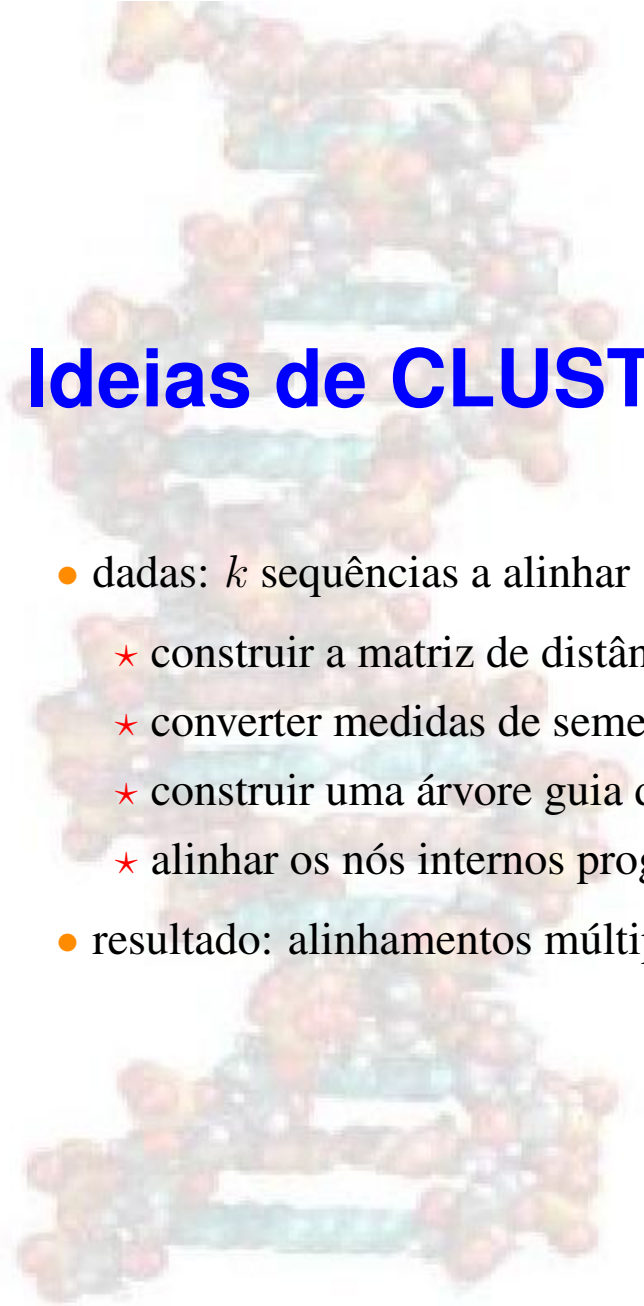
4. ATTGCC-ATT
ATTGCCGATT

{ ATTGCC-ATT--
ATGGCC-ATT--
ATC-CA-AATTTT
ATCTTC--TT--
ATTGCCGATT-



Alinhamento em Árvore

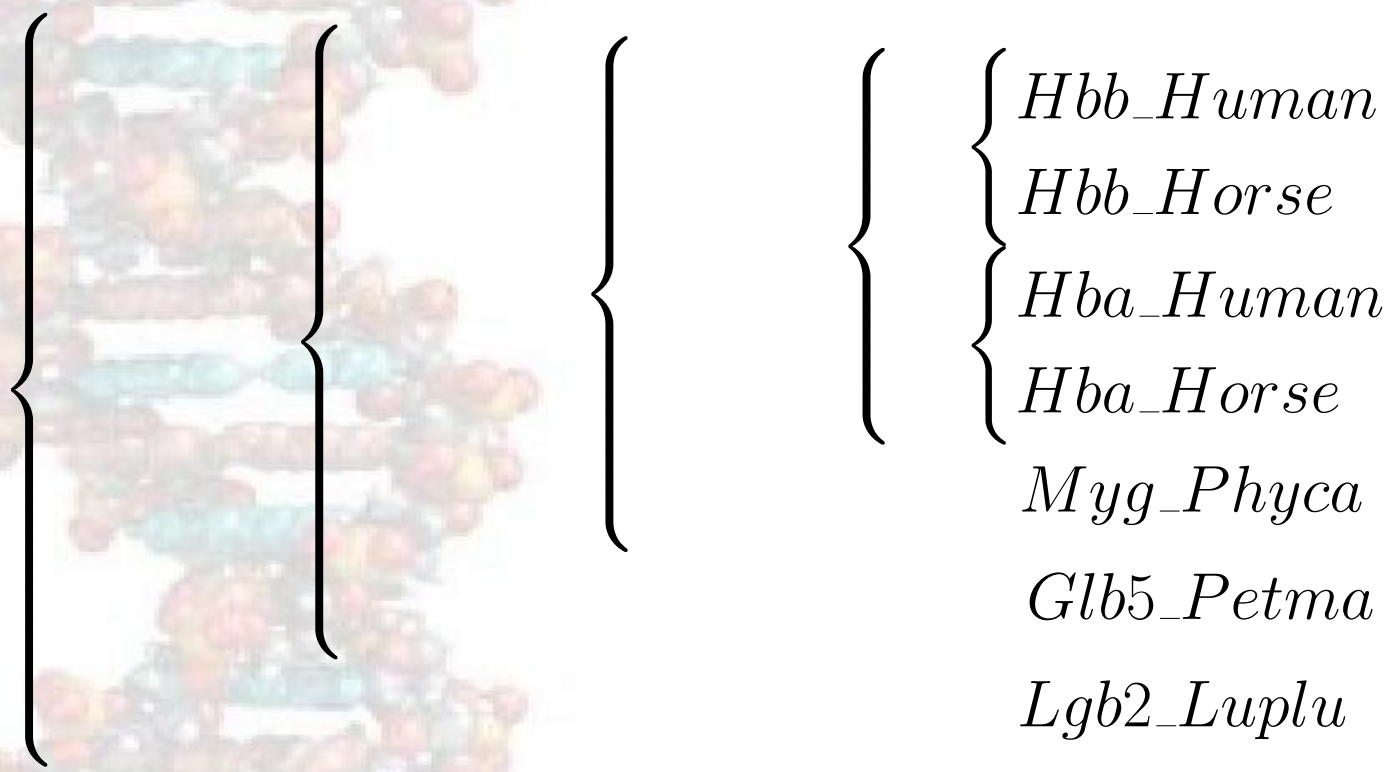
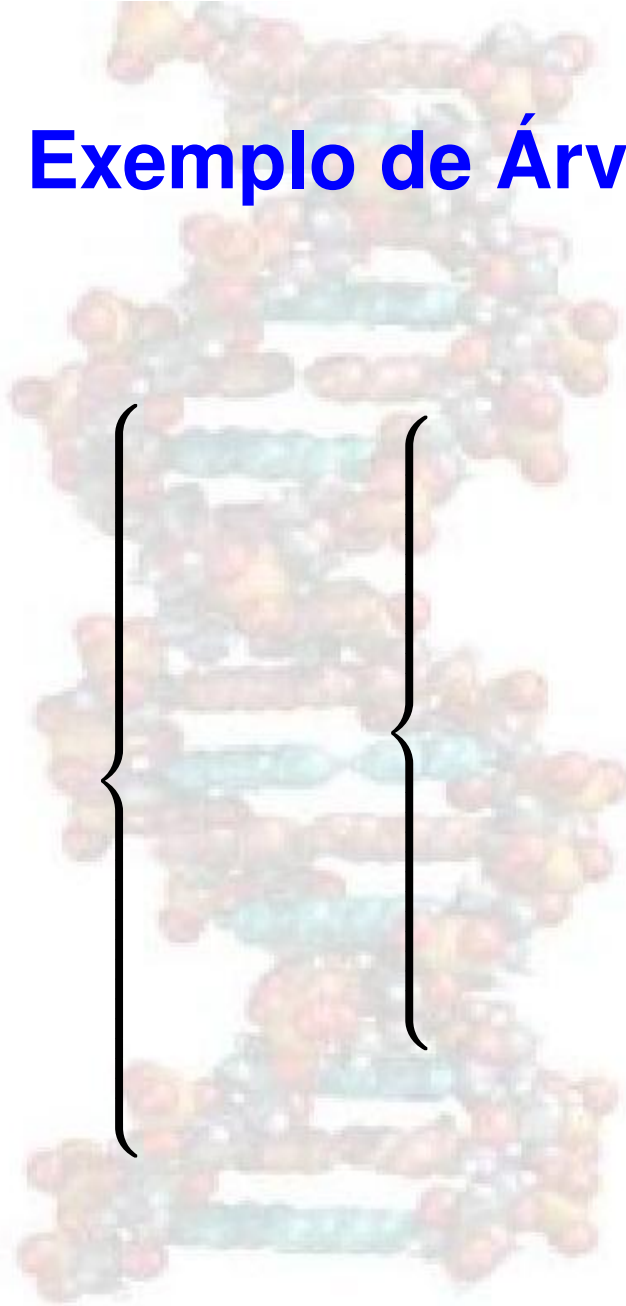
- Ideia básica: organizar alinhamentos múltiplos de sequências usando uma *árvore guia*
 - ★ folhas representam *sequências*
 - ★ nós internos representam alinhamentos
- falaremos sobre algoritmos para determinar árvores mais tarde
- determinar alinhamentos desde o fundo da árvore para cima
- variante comum: o algoritmo CLUSTALW de [Thompson et al. 1994].



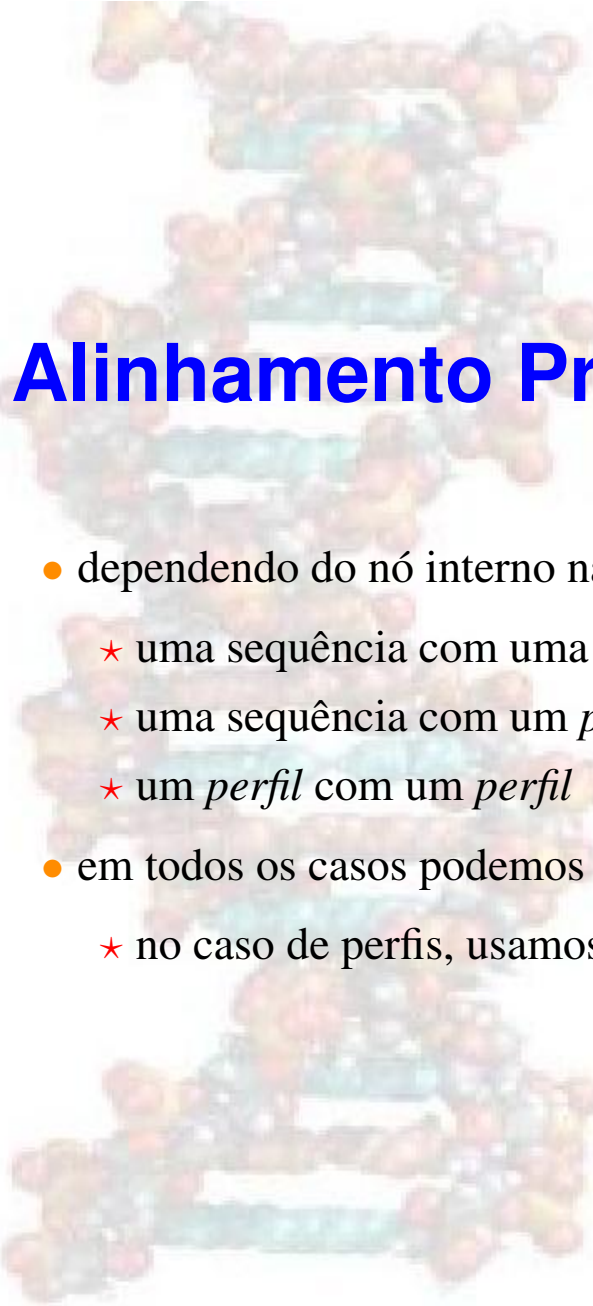
Ideias de CLUSTALW

- dadas: k sequências a alinhar
 - ★ construir a matriz de distância de todos os pares usando DP entre os pares
 - ★ converter medidas de semelhança em distâncias
 - ★ construir uma árvore guia das distâncias
 - ★ alinhar os nós internos progressivamente em ordem de semelhança decrescente
- resultado: alinhamentos múltiplos na raíz da árvore

Exemplo de Árvore Guia



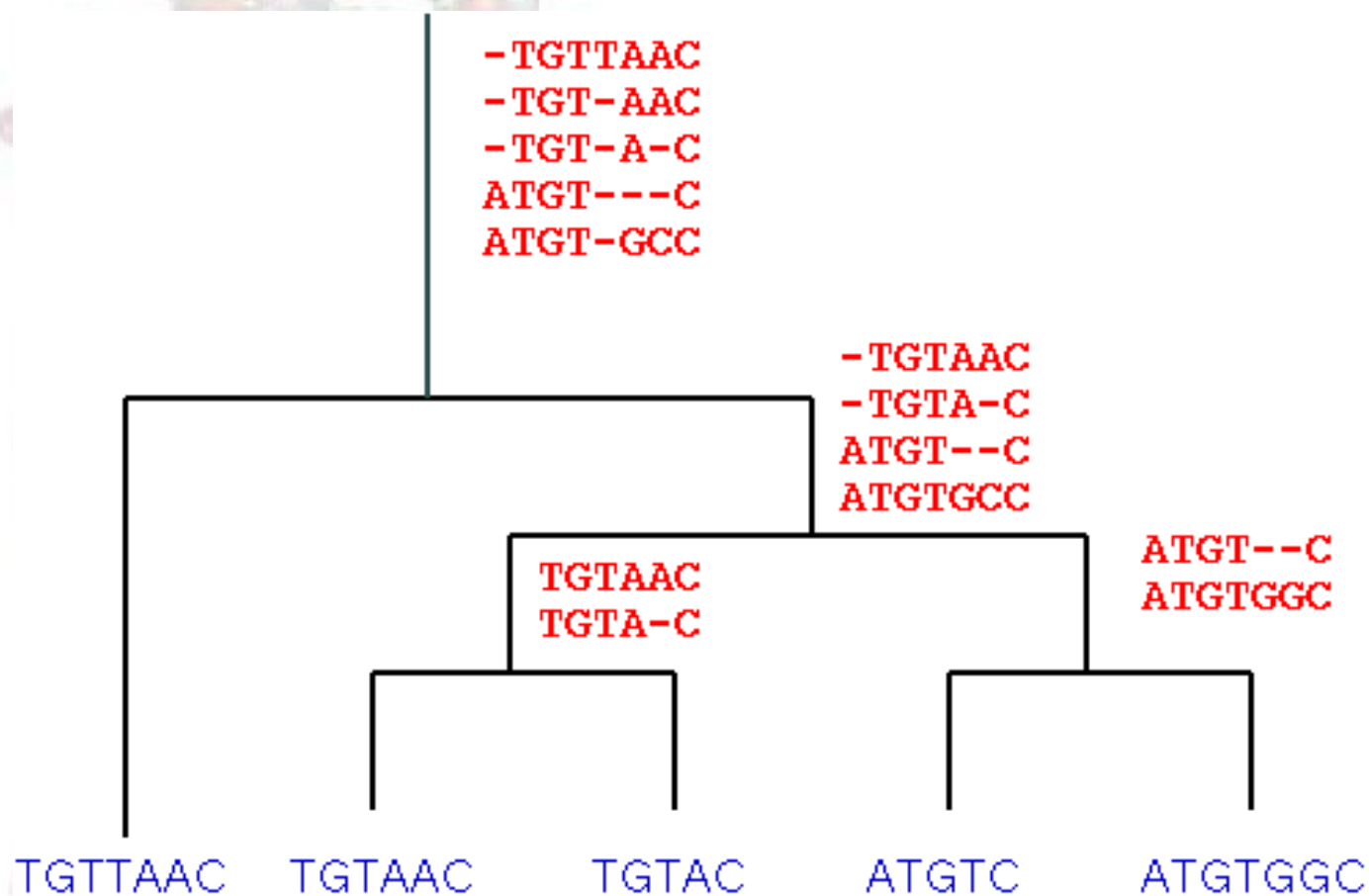
Hbb_Human
Hbb_Horse
Hba_Human
Hba_Horse
Myg_Phyca
Glb5_Petma
Lgb2_Luplu

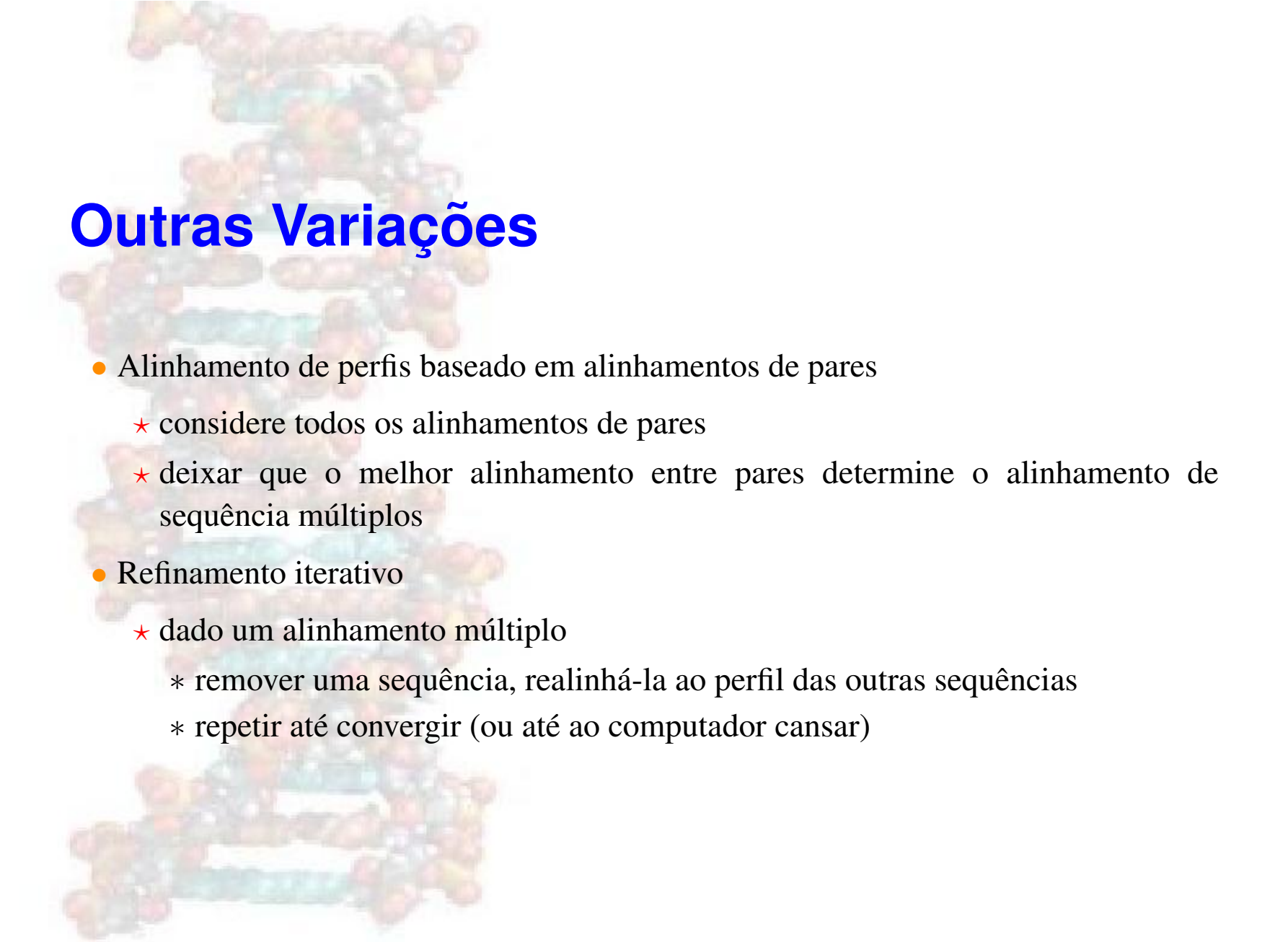


Alinhamento Progressivo em CLUSTALW

- dependendo do nó interno na árvore, podemos ter que alinhar:
 - ★ uma sequência com uma sequência
 - ★ uma sequência com um *perfil*
 - ★ um *perfil* com um *perfil*
- em todos os casos podemos usar programação dinâmica
 - ★ no caso de perfis, usamos Soma de Pares

SH3





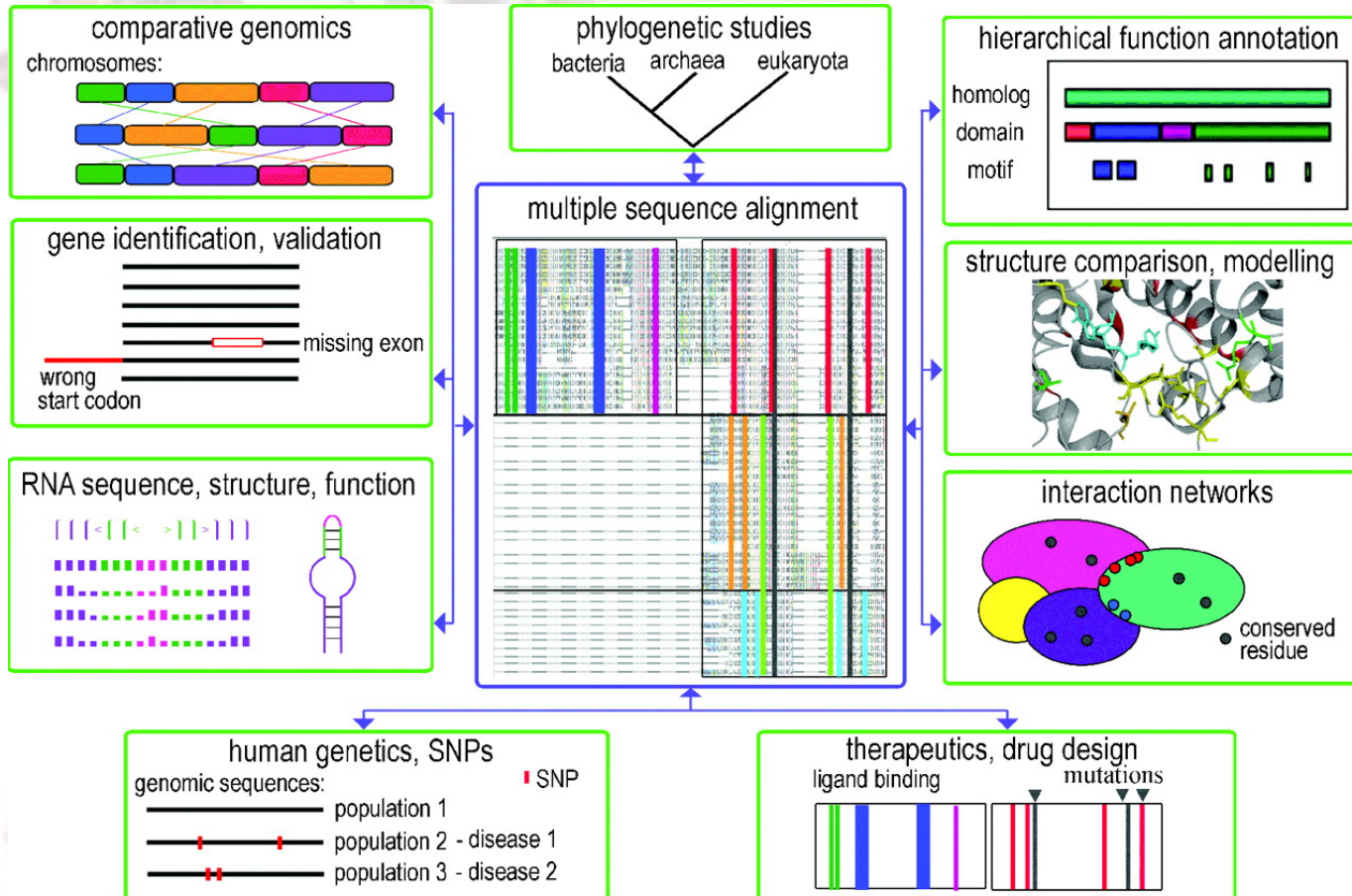
Outras Variações

- Alinhamento de perfis baseado em alinhamentos de pares
 - ★ considere todos os alinhamentos de pares
 - ★ deixar que o melhor alinhamento entre pares determine o alinhamento de sequência múltiplos
- Refinamento iterativo
 - ★ dado um alinhamento múltiplo
 - * remover uma sequência, realinhá-la ao perfil das outras sequências
 - * repetir até convergir (ou até ao computador cansar)

Métodos para Alinhamento de Múltiplas Sequências

método	tipos de alinhamento	procura
programação dinâmica multi-dimensional	global/local	programação dinâmica
Estrela	global	guloso com alinhamento de pares
CLUSTALW (árvore)	global	guloso com alinhamento de pares
HMMs com perfis	global/local	Baum-Welch (EM) para aprender modelo e Viterbi recuperar alinhamentos
EM/MEME	local	EM

Aplicações de Alinhamento de Múltiplas Sequências [Thompson et al 2005]





Exemplo de Sistemas

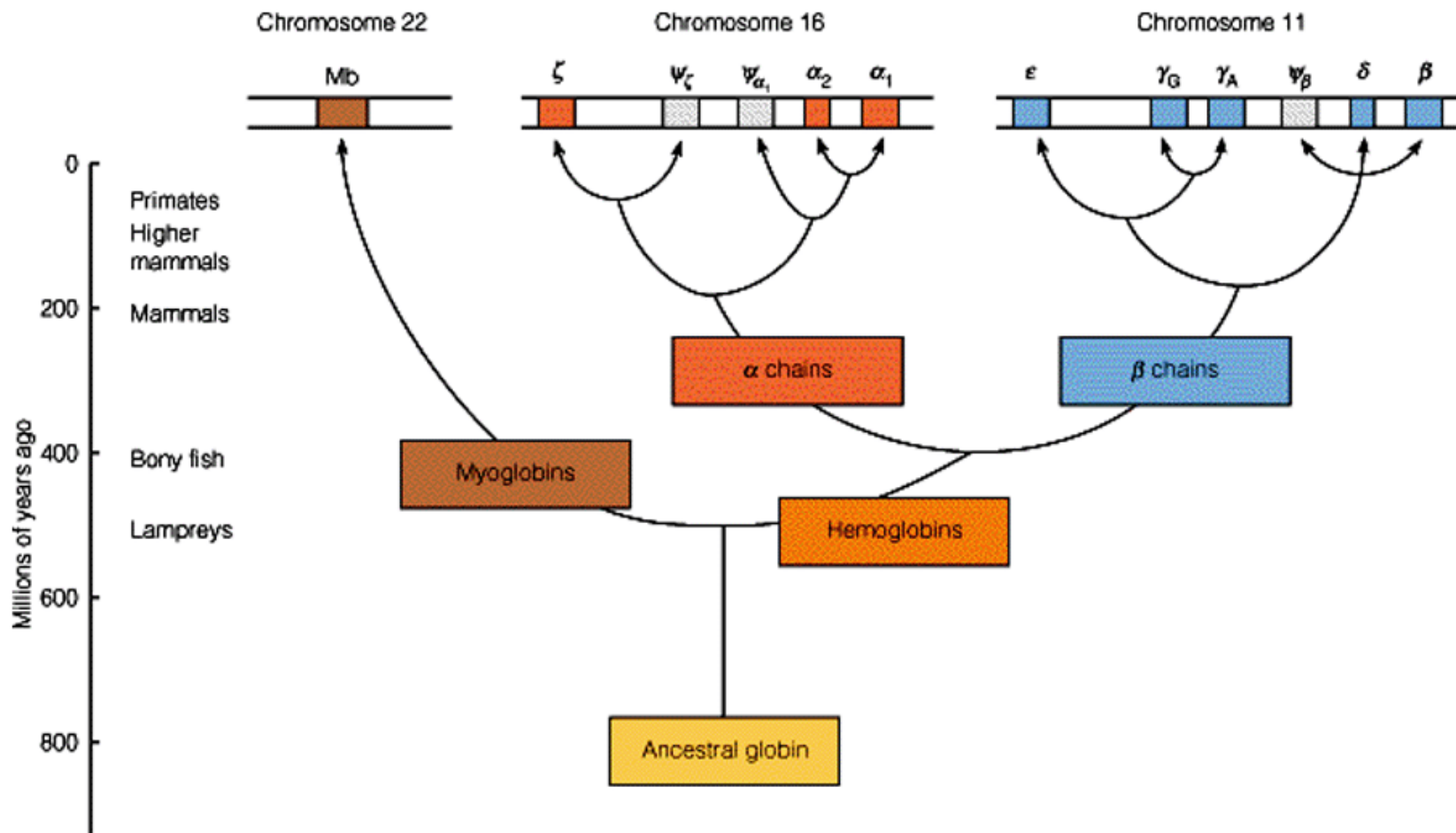
- CLUSTALW
- T-COFFEE
- ALIGN-M
- MUSCLE
- PROBCONS



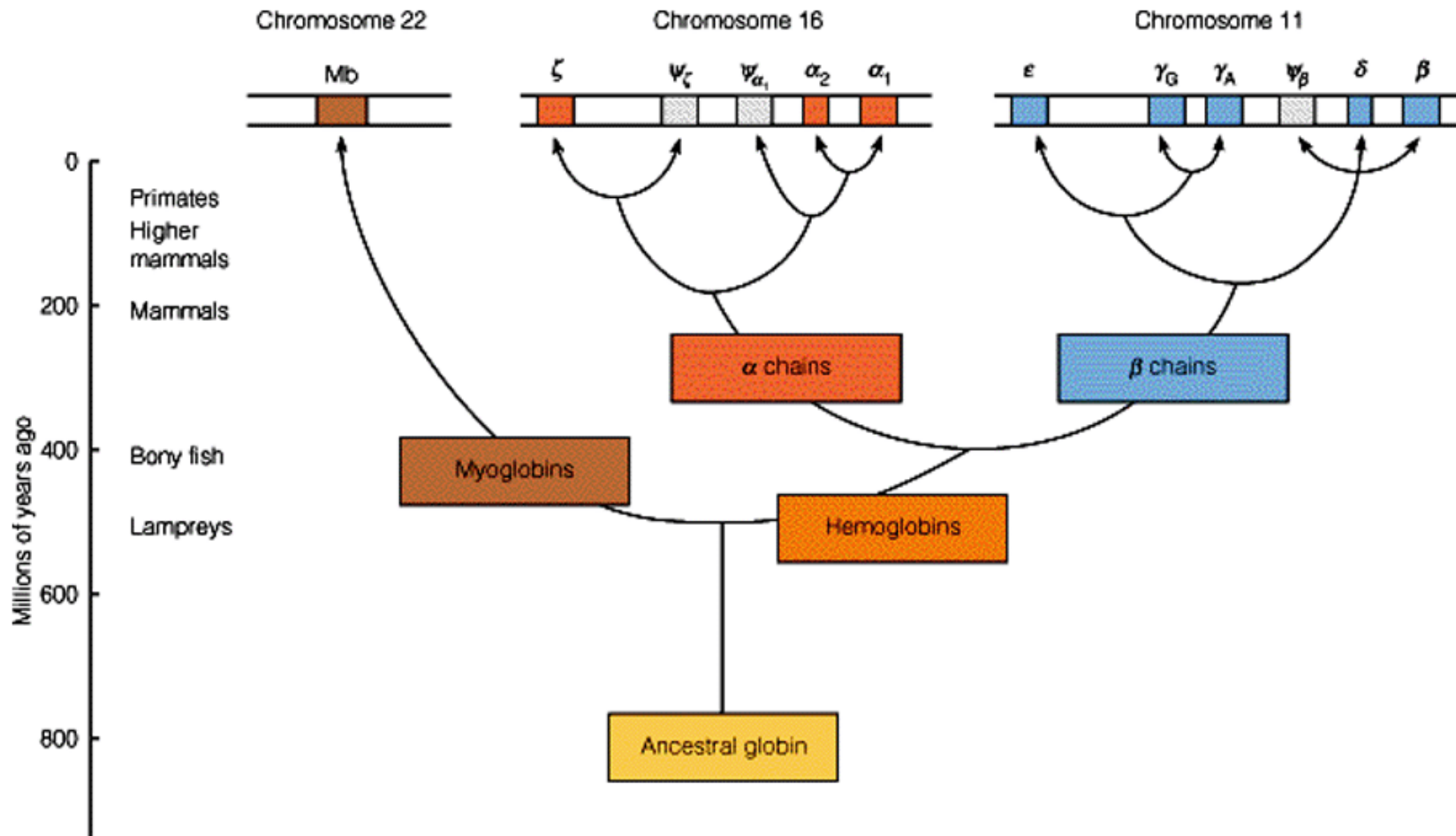
Árvores Filogenéticas

- *Árvore Filogenética*: diagrama mostrando a linha evolucionaria de espécies ou de genes
- Porquê usar árvores:
 - ★ para entender a ascendência de várias espécies
 - ★ para compreender como várias funções evoluíram
 - ★ para informar sobre alinhamentos múltiplos

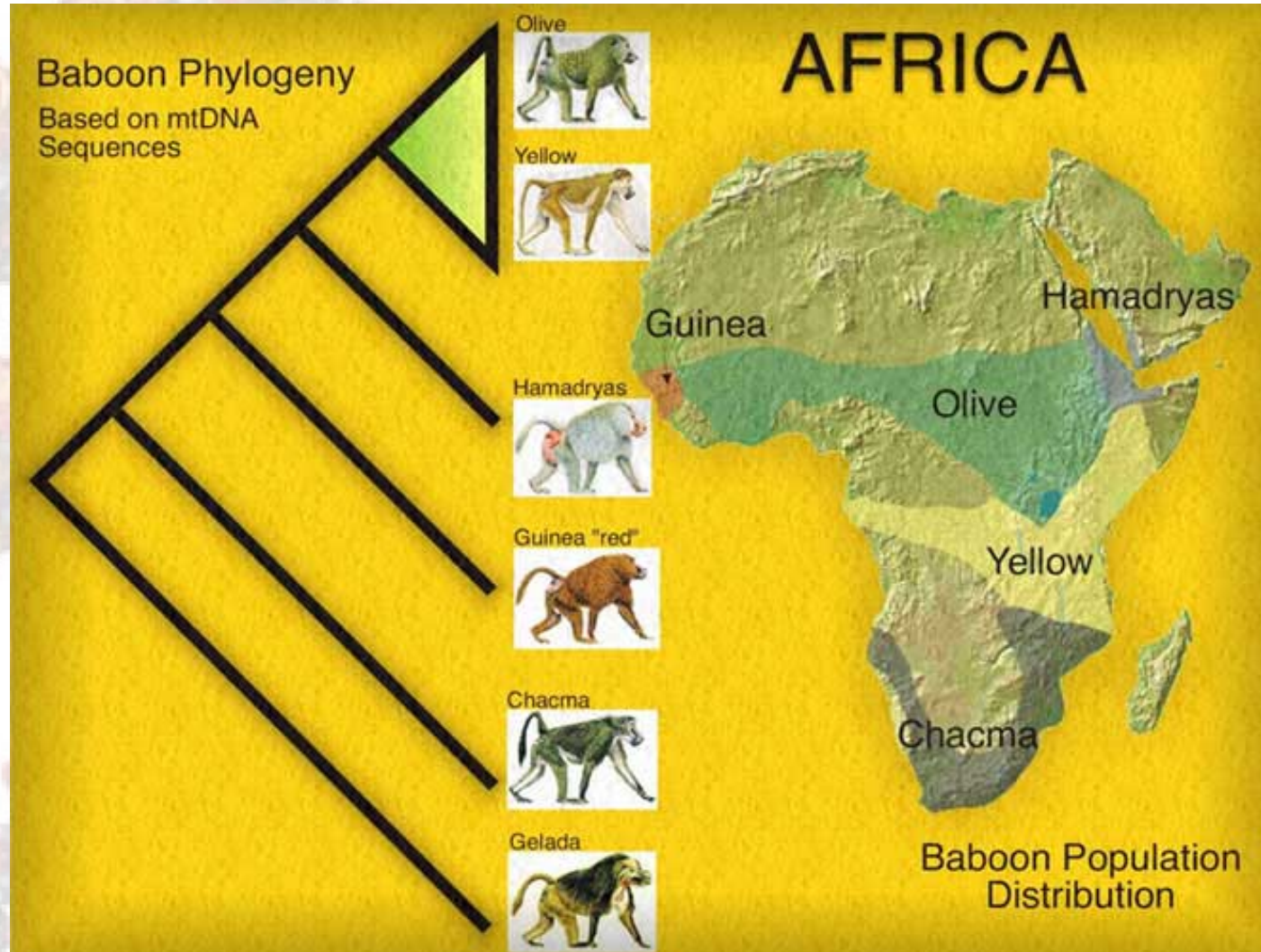
Globin evolution and expression



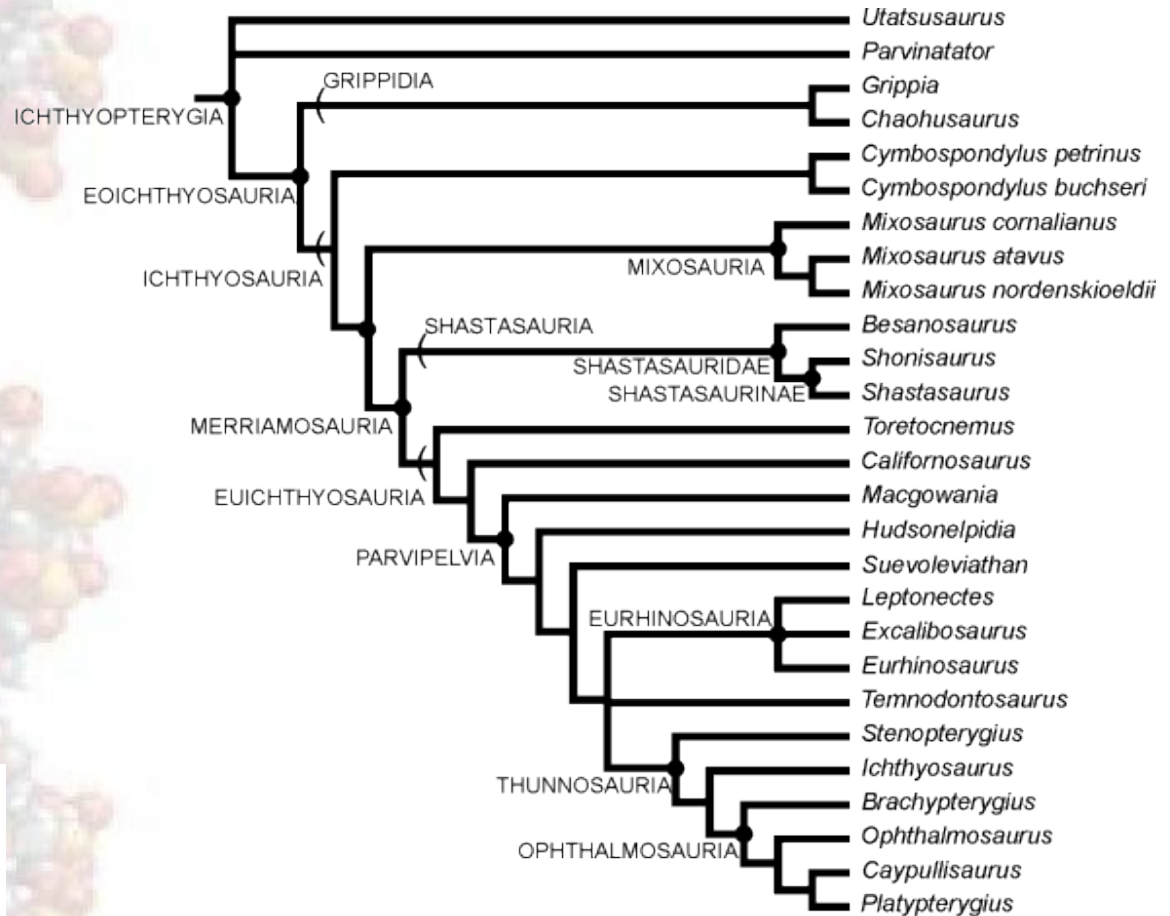
Globin evolution and expression



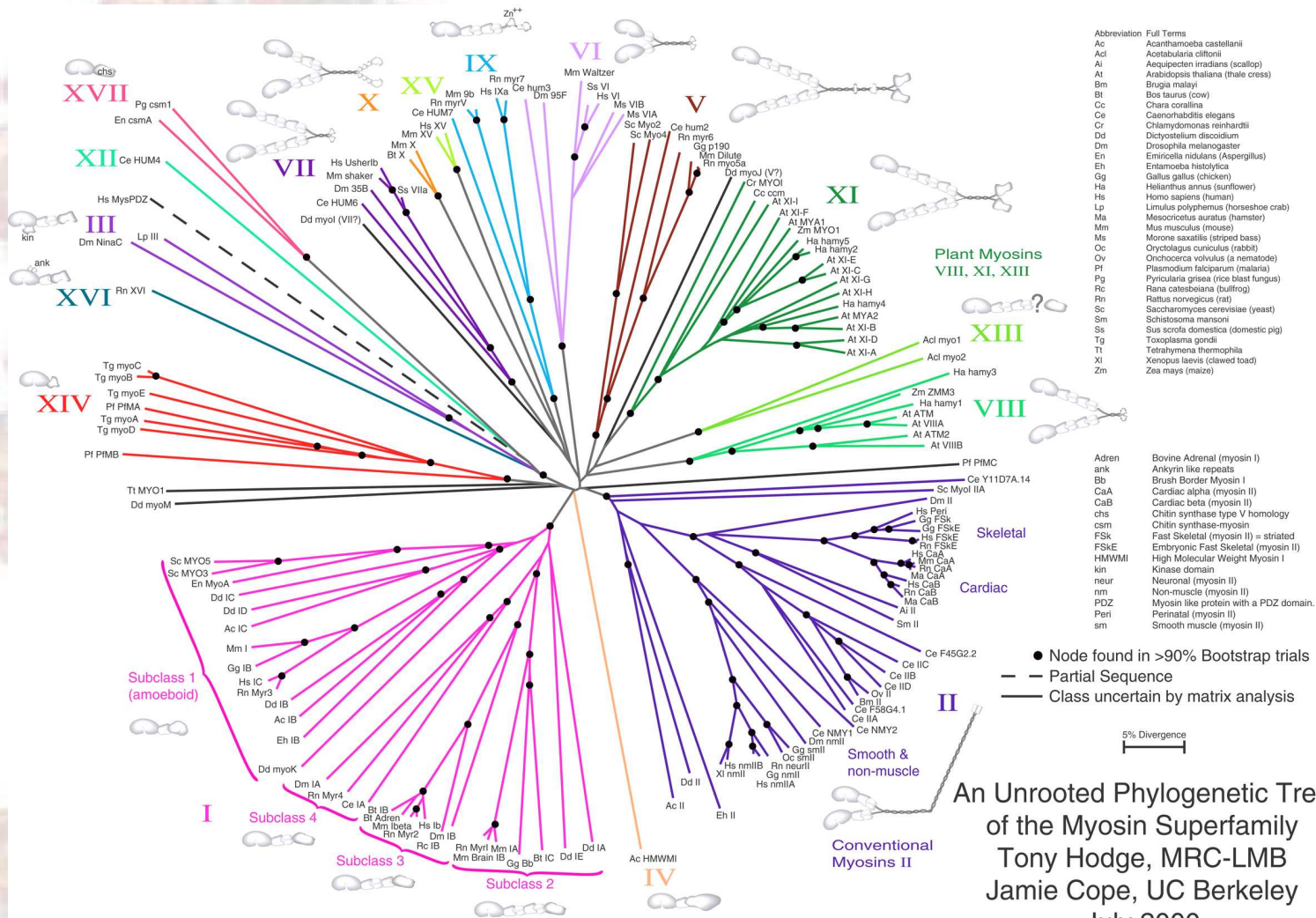
Exemplo de Filogenia: Babuínos



Exemplo de Filogenia: Myosin



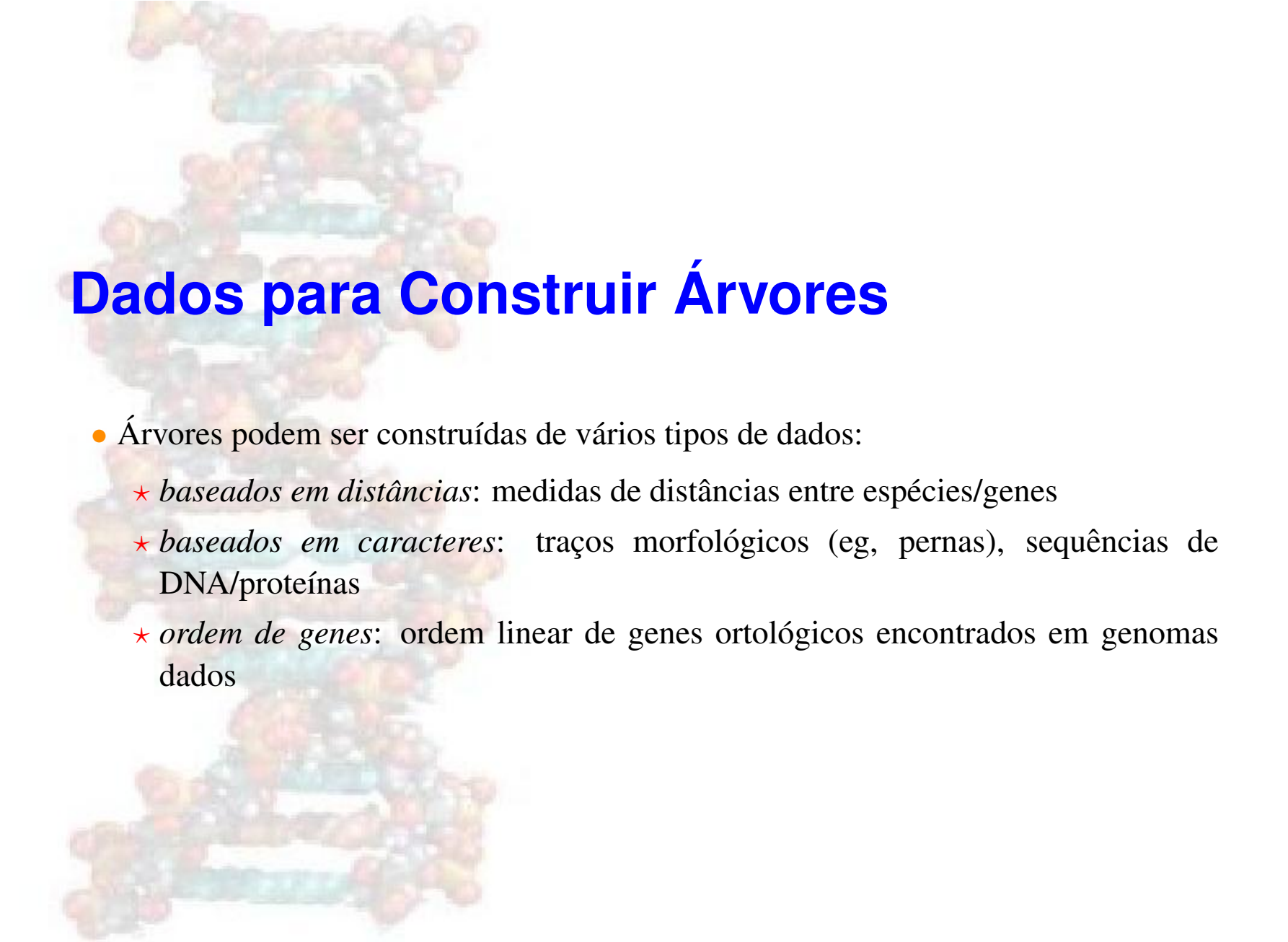
Exemplo de Filogenia: Myosin



An Unrooted Phylogenetic Tree of the Myosin Superfamily
 Tony Hodge, MRC-LMB
 Jamie Cope, UC Berkeley
 July 2000

Árvores Filogenéticas: Ideias Básicas

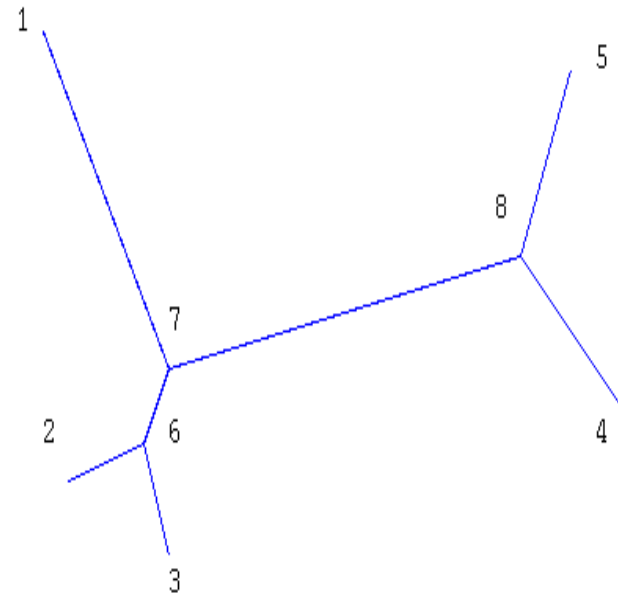
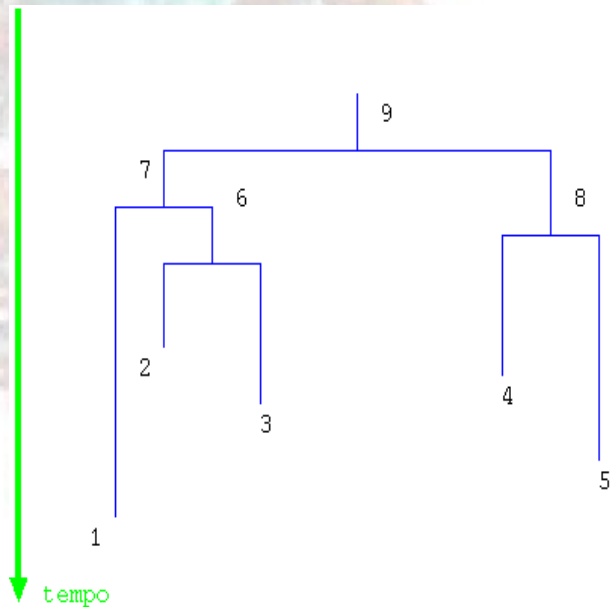
- Folhas representam coisas (genes, indivíduos/famílias, espécies) sendo comparadas
 - ★ o termo *taxão* é usado para referir a esses elementos quando representam espécies e classificações mais amplas de organismos
 - ★ vamos chamá-las de sequências
- nós internos são hipotéticos antepassados
- numa árvore enraizada, um caminho desde a raiz até a um nó representa um caminho evolucionário
- uma árvore não-enraizada representa relações entre coisas, mas não caminhos evolucionários

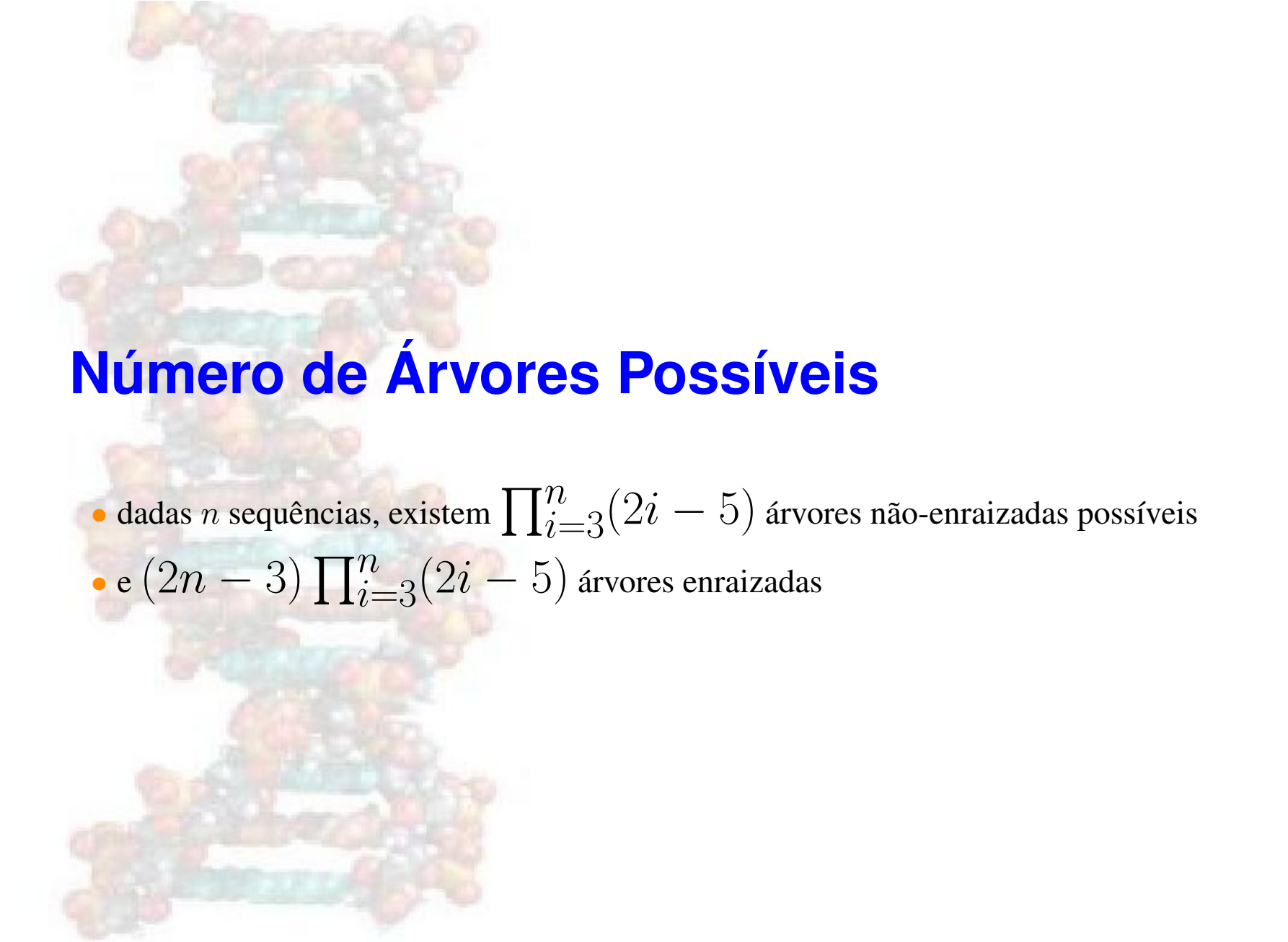


Dados para Construir Árvores

- Árvores podem ser construídas de vários tipos de dados:
 - ★ *baseados em distâncias*: medidas de distâncias entre espécies/genes
 - ★ *baseados em caracteres*: traços morfológicos (eg, pernas), sequências de DNA/proteínas
 - ★ *ordem de genes*: ordem linear de genes ortológicos encontrados em genomas dados

Árvores Enraizadas e Não-Enraizadas



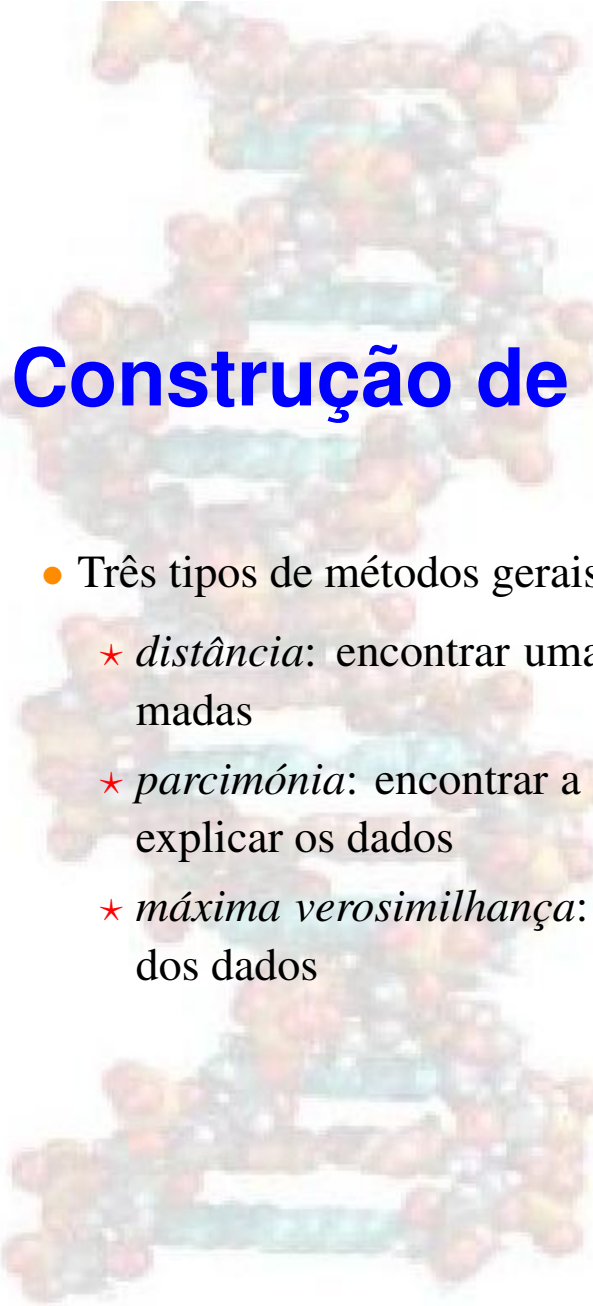


Número de Árvores Possíveis

- dadas n seqüências, existem $\prod_{i=3}^n (2i - 5)$ árvores não-enraizadas possíveis
- e $(2n - 3) \prod_{i=3}^n (2i - 5)$ árvores enraizadas

Número de Árvores Possíveis

# sequências (n)	# árvores não-enraizadas	# árvores enraizadas
4	3	15
5	15	105
6	105	945
8	10,395	135,135
10	2,027,025	34,459,425



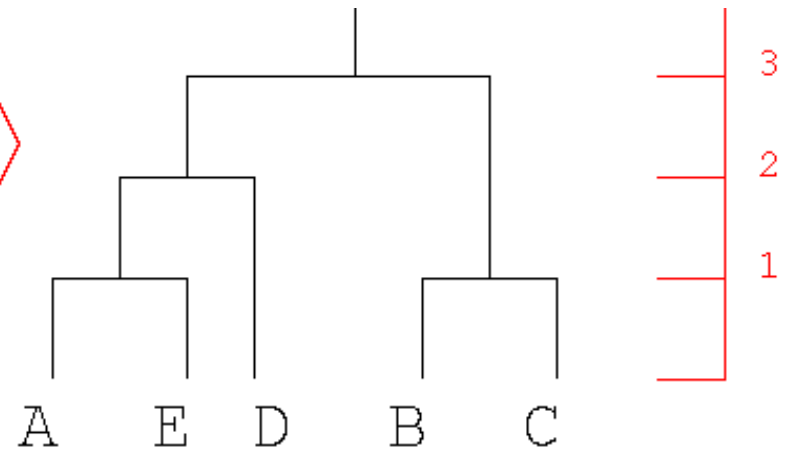
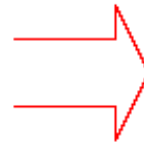
Construção de Árvores Filogenéticas

- Três tipos de métodos gerais:
 - ★ *distância*: encontrar uma árvore que explique as distâncias evolucionárias estimadas
 - ★ *parcimônia*: encontrar a árvore que requer o número mínimo de alterações para explicar os dados
 - ★ *máxima verosimilhança*: encontrar uma árvore que maximize a verosimilhança dos dados

Métodos Baseados em Distância

- **Dados:** uma matriz $n \times n$ M onde M_{ij} é a distância entre os objectos i e j
- **faça:** construa uma árvore pesada nas arestas tal que a distância entre as folhas i e j corresponda a M_{ij}

	A	B	C	D	E
A	0	8	8	5	3
B		0	3	8	8
C			0	8	8
D				0	5
E					0



O Método UPGMA

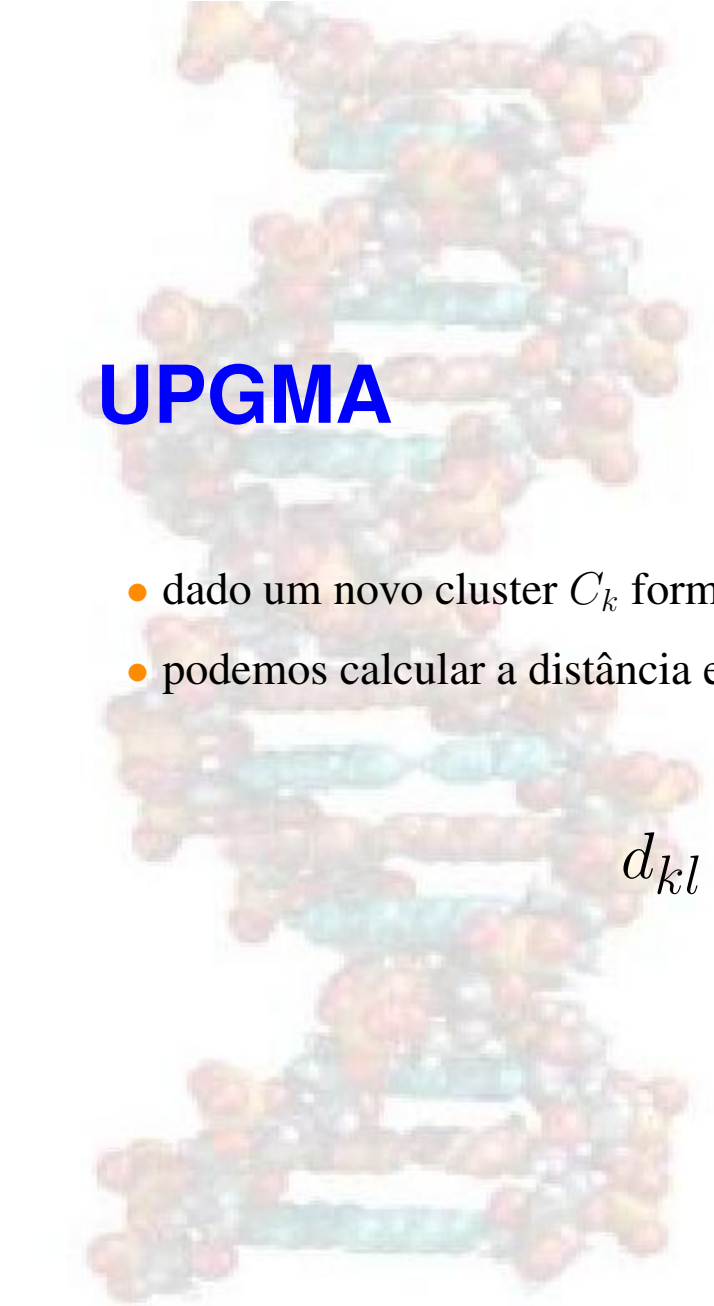
- Unweighted Pair Group Method using Arithmetic Averages
- Ideia básica:
 - ★ Iterativamente tirar duas seqüências/clusters e agregá-los
 - ★ criar novo nó na árvore para o cluster agregado
- a distância d_{ij} entre os clusters C_i e C_j de seqüências é definida como:

$$d_{ij} = \frac{1}{|C_i||C_j|} \sum_{p \in C_i, q \in C_j} d_{pq}$$

ou distância média entre pares de seqüências de cada cluster

Algoritmo UPGMA

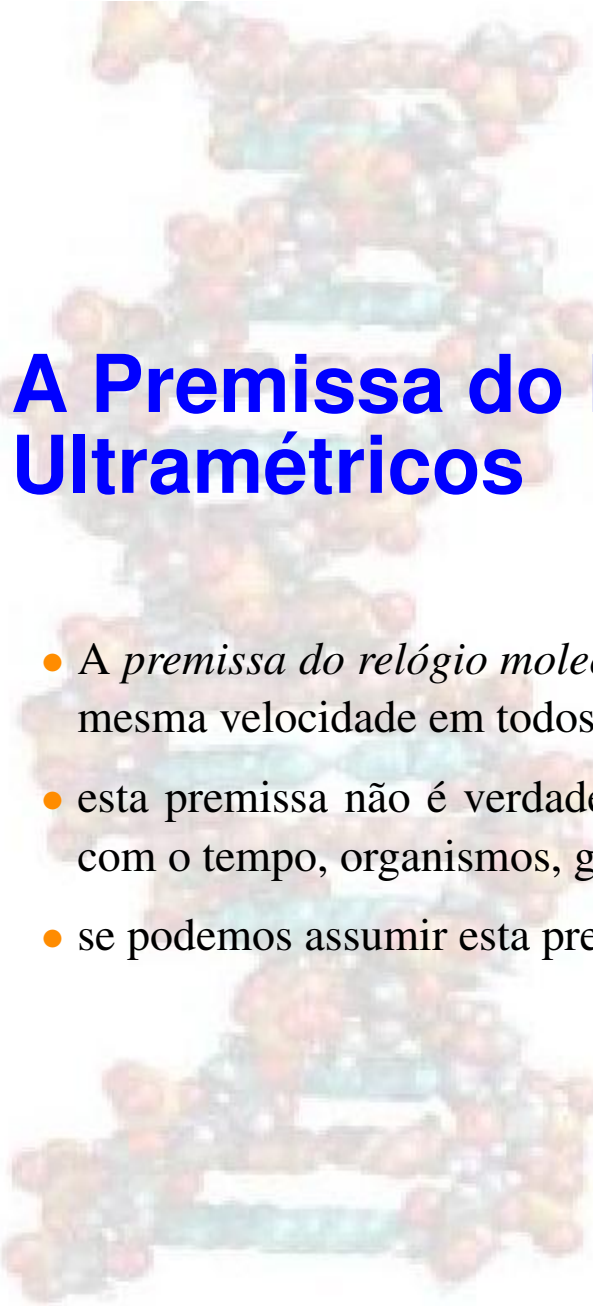
- Dar a cada sequência o seu próprio cluster
- definir uma folha para cada sequência e colocar na altura 0
- enquanto há mais de 2 clusters:
 - ★ determinar dois clusters i, j com o menor d_{ij}
 - ★ defina um novo cluster $C_k = C_i \cup C_j$
 - ★ defina um nó k com filhos i e j , coloque-o na altura $d_{ij}/2$
 - ★ substitua os clusters i e j com k
- junte os últimos dois clusters, i e j , pela raiz na altura $d_{ij}/2$



UPGMA

- dado um novo cluster C_k formado pela agregação de C_i e de C_j
- podemos calcular a distância entre C_k e qualquer outro cluster C_l como segue:

$$d_{kl} = \frac{d_{il}|C_i| + d_{jl}|C_j|}{|C_i| + |C_j|}$$



A Premissa do Relógio Molecular e Dados Ultramétricos

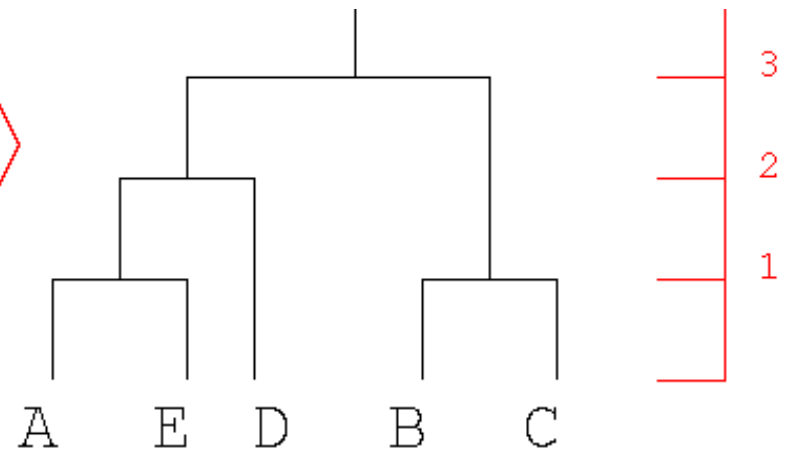
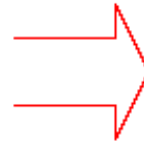
- *A premissa do relógio molecular*: divergência das sequências é assumida ocorrer à mesma velocidade em todos os pontos da árvore
- esta premissa não é verdade em geral: pressões evolucionárias variam de acordo com o tempo, organismos, genes num organismo e regiões num gene
- se podemos assumir esta premissa, os dados são chamados de *ultramétricos*

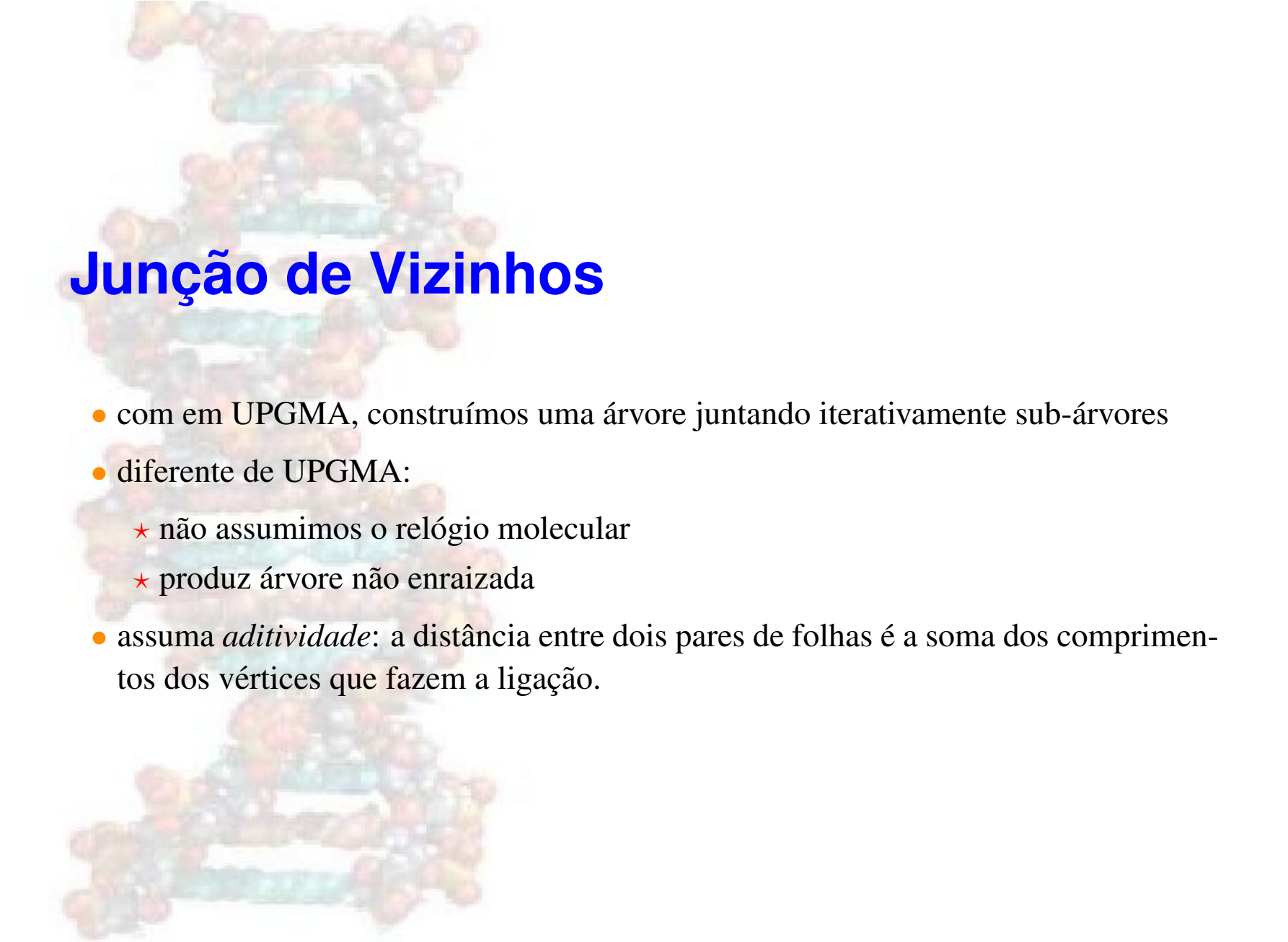
Dados Ultramétricos: Necessária e Suficiente

Condição

- Dados Ultramétricos: para qualquer tripla de sequências i, j, k as distâncias ou são todas iguais, ou duas são iguais e a restante é menor.

	A	B	C	D	E
A	0	8	8	5	3
B		0	3	8	8
C			0	8	8
D				0	5
E					0





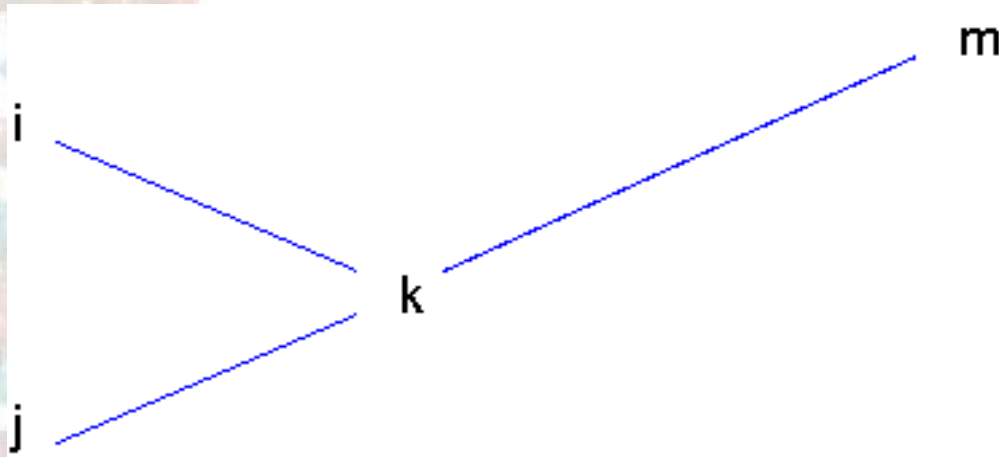
Junção de Vizinhos

- com em UPGMA, construímos uma árvore juntando iterativamente sub-árvores
- diferente de UPGMA:
 - ★ não assumimos o relógio molecular
 - ★ produz árvore não enraizada
- assumamos *aditividade*: a distância entre dois pares de folhas é a soma dos comprimentos dos vértices que fazem a ligação.

Distâncias em Junção de Vizinhos

- dado um novo nó interno k , a distância para outro nó m é dada por:

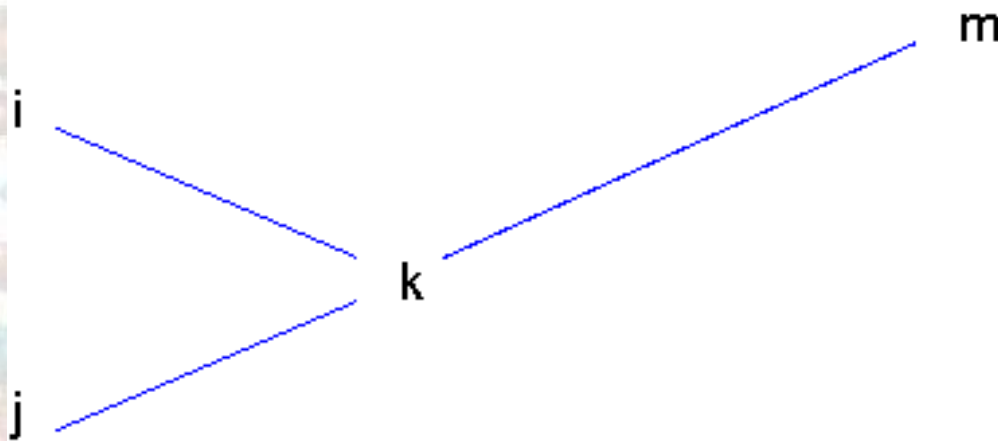
$$d_{km} = \frac{1}{2}(d_{im} + d_{jm} - d_{ij})$$



Distâncias em Junção de Vizinhos

- Podemos calcular a distância de uma folha para o nó pai na seguinte forma:

$$d_{ik} = \frac{1}{2}(d_{ij} + d_{im} - d_{jm})$$



$$d_{jk} = d_{ij} - d_{ik}$$

Distâncias em Junção de Vizinhos

- Podemos generalizar esta regra de forma a tomar em conta a distância para todas as outras folhas:

$$d_{ik} = \frac{1}{2}(d_{ij} + r_i - r_j)$$

onde

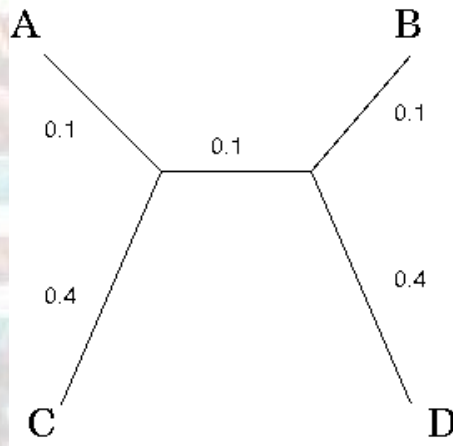
$$r_i = \frac{1}{|L| - 2} \sum_{m \in L} d_{im}$$

e L é o conjunto das folhas

- isto é mais robusto se os dados não forem estritamente aditivos

Juntar que Nós?

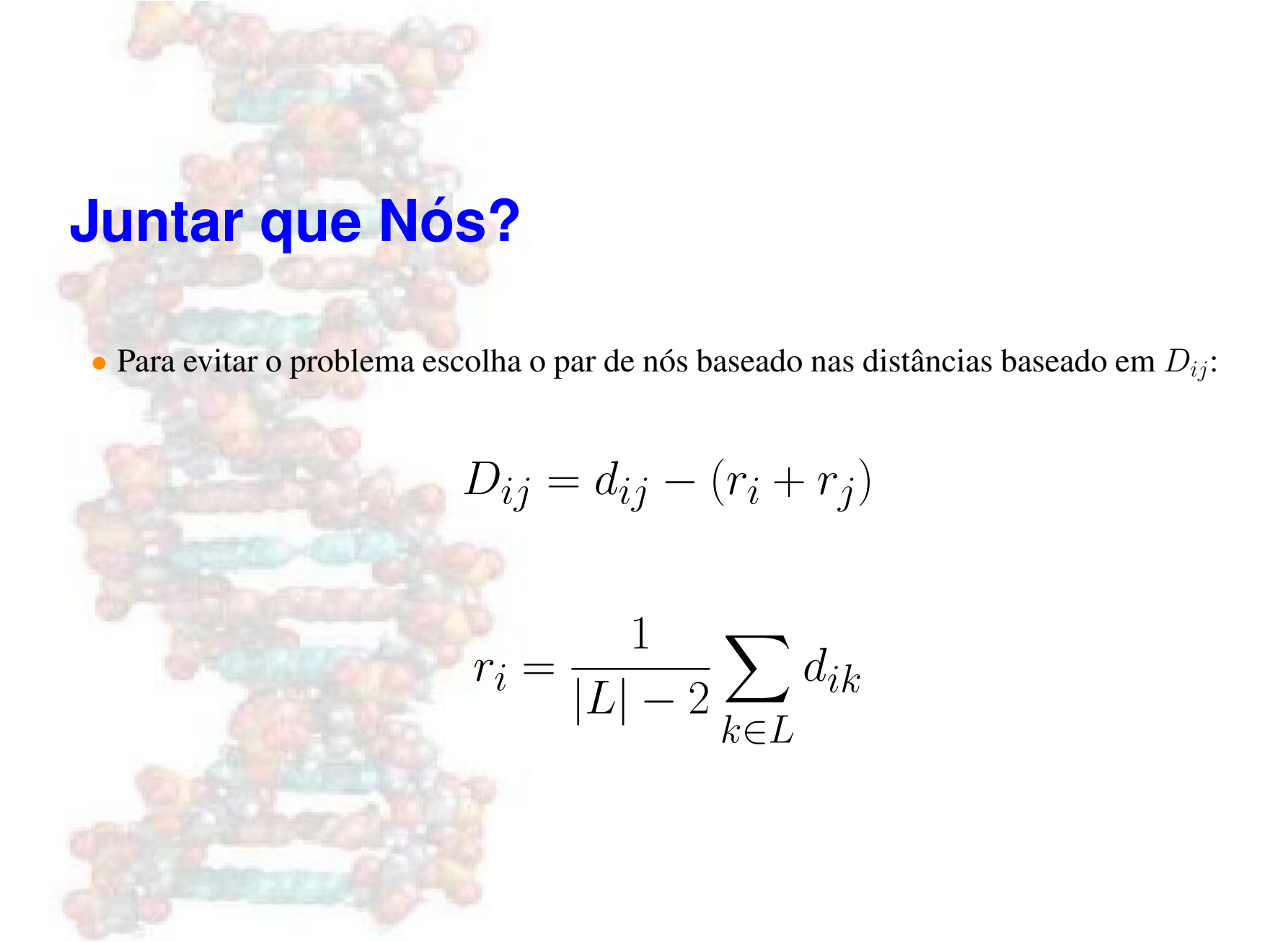
- Em cada passo escolhemos um par de nós para juntar. Devemos escolher os nós com o menor d_{ij} ?
- Suponhamos que a árvore verdadeira parece como isto e que estamos a escolher os primeiros nós para juntar:



$$d_{AB} = 0.3$$

$$d_{AC} = 0.5$$

- Decisão errada em juntar A e B: precisamos de considerar distância do par até outras folhas.



Juntar que Nós?

- Para evitar o problema escolha o par de nós baseado nas distâncias baseado em D_{ij} :

$$D_{ij} = d_{ij} - (r_i + r_j)$$

$$r_i = \frac{1}{|L| - 2} \sum_{k \in L} d_{ik}$$

Algoritmo de Junção de Vizinhos

- defina a árvore T como o conjunto de nós folhas
- $L = T$
- enquanto há mais que duas sub-árvores em T :
 - ★ escolha o par i, j em L com D_{ij} mínimo
 - ★ adicione a T um novo nó agregando i e j
 - ★ determine novas distâncias:

$$d_{ik} = \frac{1}{2}(d_{ij} + r_i - r_j)$$

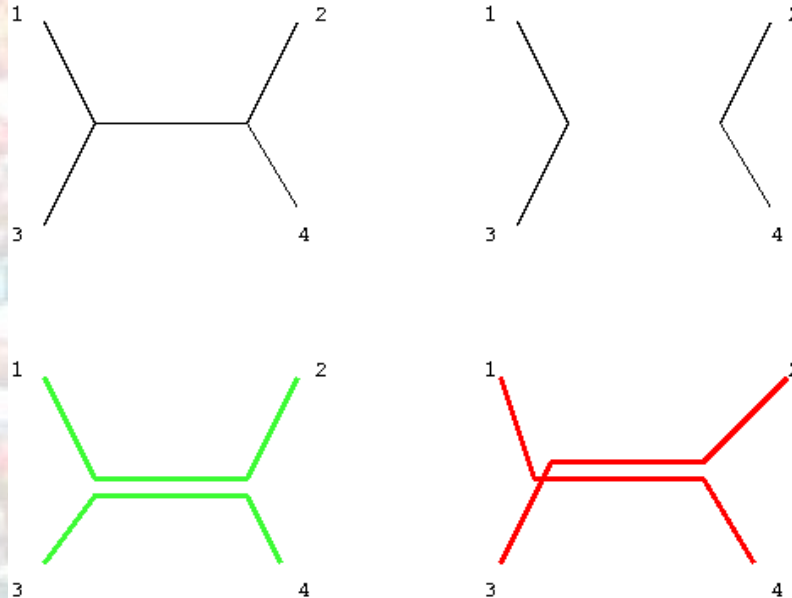
$$d_{jk} = d_{ij} - d_{ik}$$

$$d_{km} = \frac{1}{2}(d_{im} + d_{jm} - d_{ij}) \text{ para todos os outros } m \in L$$

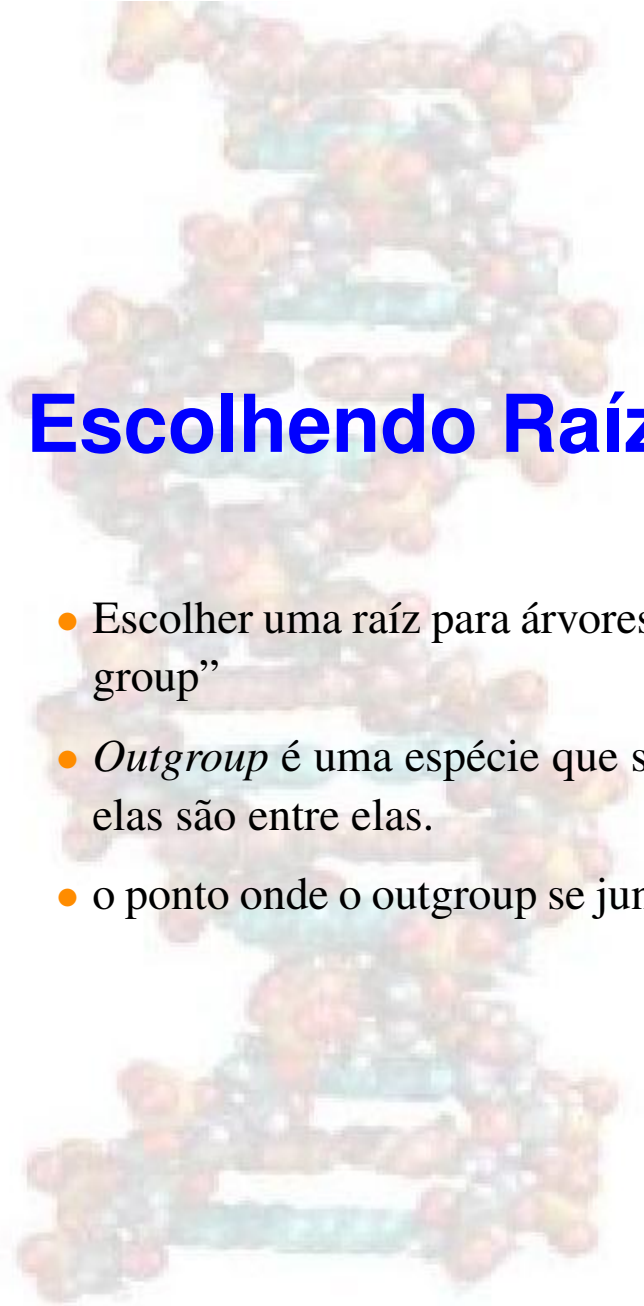
- ★ remova i e j de L e insira k (processe-o como se uma folha)
- junte as duas árvores restantes, i e j com um vértice de comprimento d_{ij}

Testando Aditividade

- Para qualquer conjunto de qualquer folhas i, j, k, l duas das distâncias $d_{ij} + d_{kl}$, $d_{ik} + d_{jl}$ e $d_{il} + d_{jk}$ devem ser iguais e maiores que a terceira distância

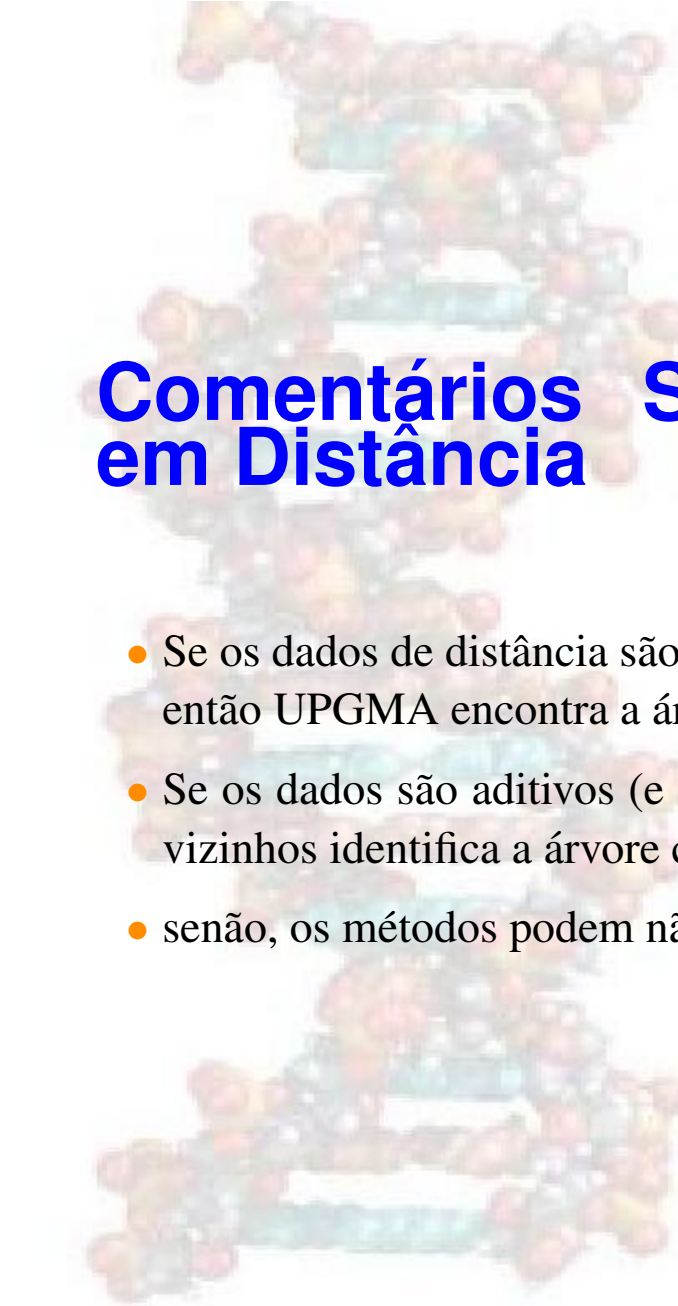


$$d_{13} + d_{24} < (d_{14} + d_{23} = d_{12} + d_{34})$$



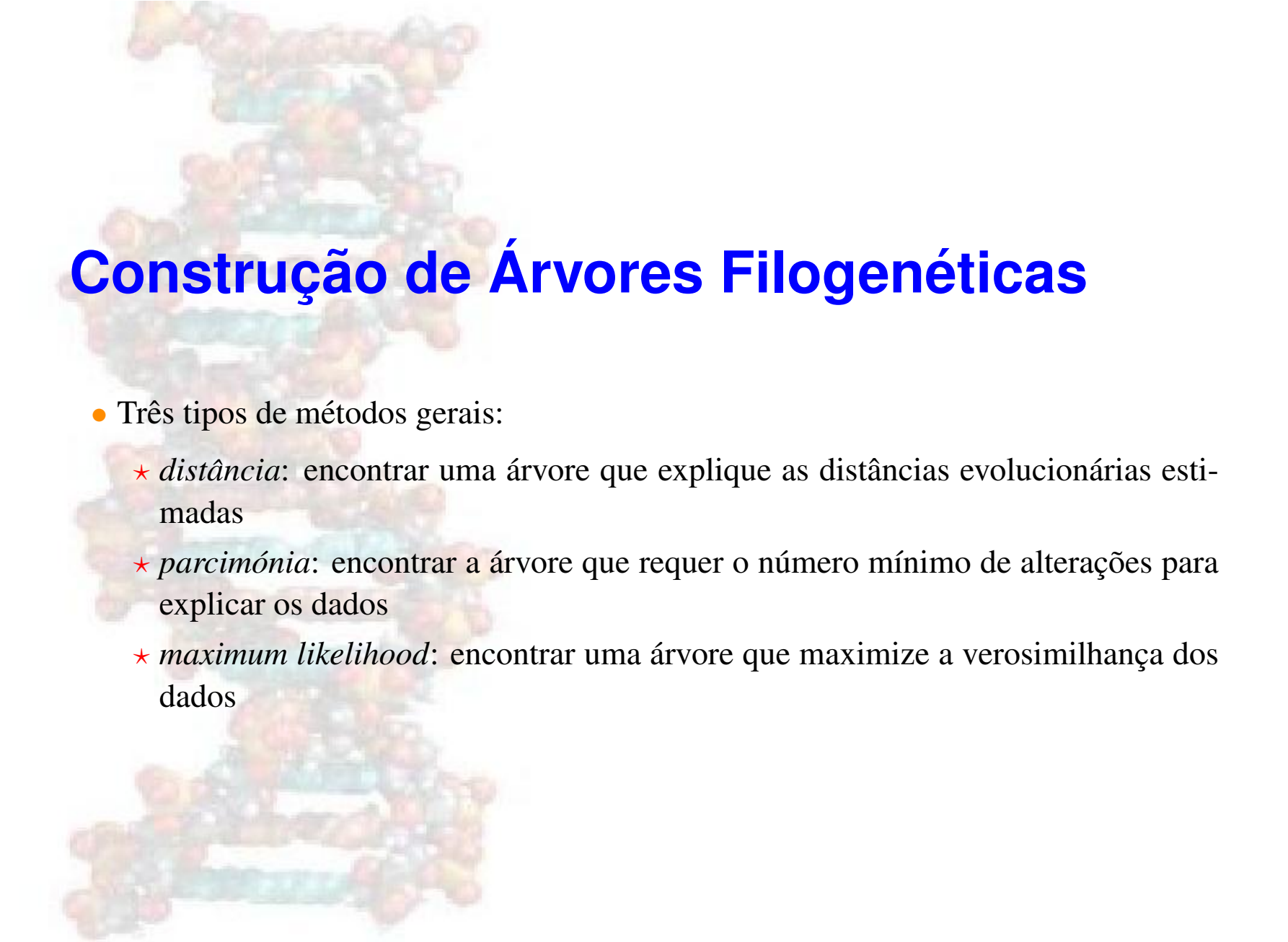
Escolhendo Raízes

- Escolher uma raíz para árvores não-enraizadas é muitas vezes feita usando um “out-group”
- *Outgroup* é uma espécie que se sabe ser mais diferentes das outras espécies do que elas são entre elas.
- o ponto onde o outgroup se junta ao resto da árvore é o melhor candidato para a raíz.



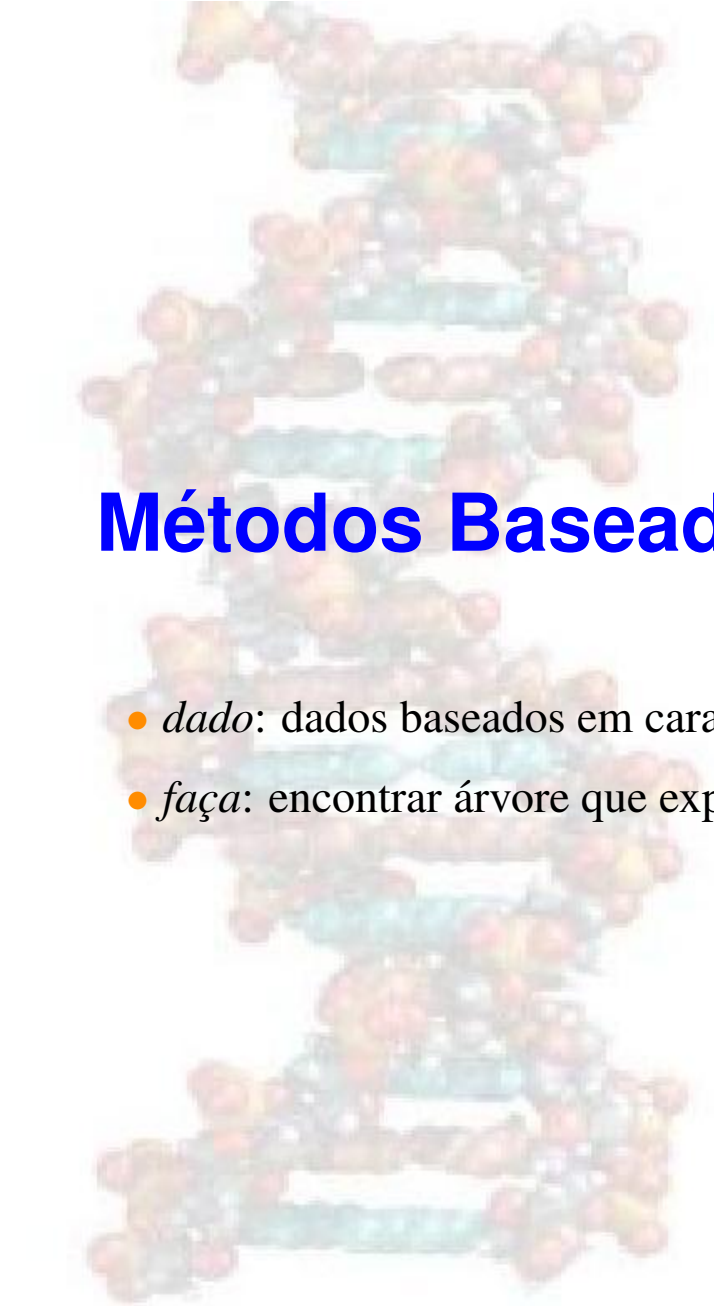
Comentários Sobre Métodos Baseados em Distância

- Se os dados de distância são ultramétricos (e as distâncias são distâncias genuínas), então UPGMA encontra a árvore certa
- Se os dados são aditivos (e as distâncias são distâncias genuínas), então junção de vizinhos identifica a árvore correcta
- senão, os métodos podem não recuperar a árvore correcta, mas são boas heurísticas



Construção de Árvores Filogenéticas

- Três tipos de métodos gerais:
 - ★ *distância*: encontrar uma árvore que explique as distâncias evolucionárias estimadas
 - ★ *parcimónia*: encontrar a árvore que requer o número mínimo de alterações para explicar os dados
 - ★ *maximum likelihood*: encontrar uma árvore que maximize a verosimilhança dos dados

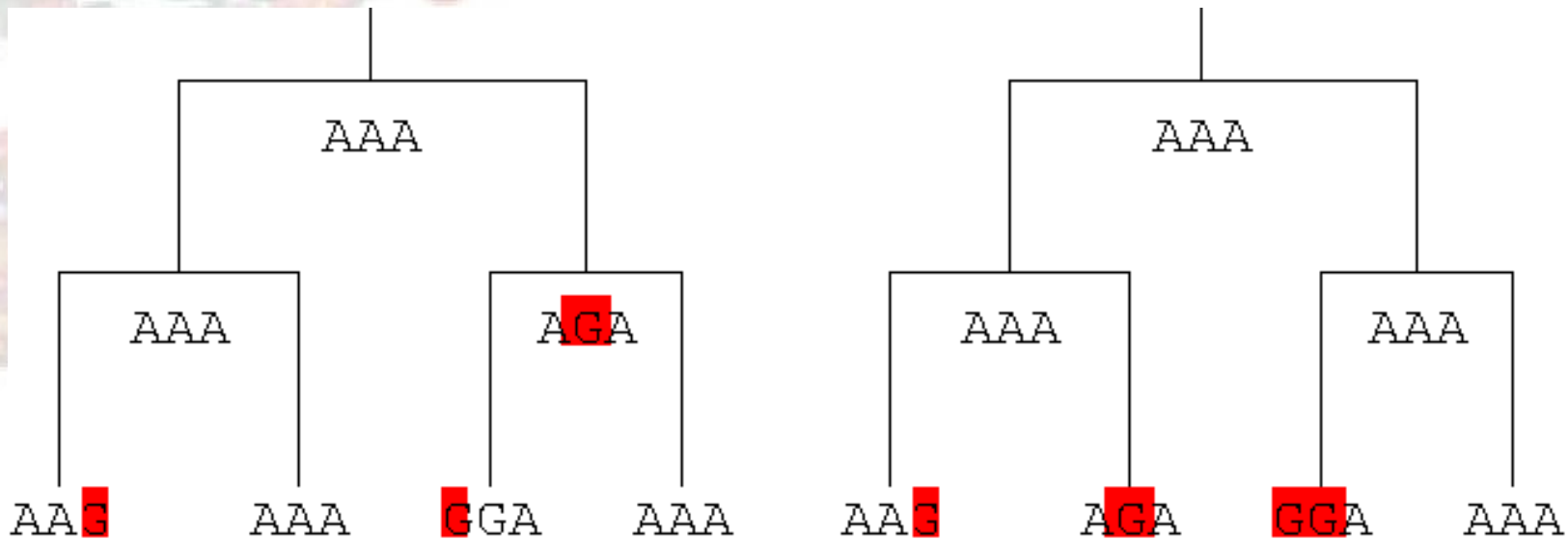


Métodos Baseados em Parcinómia

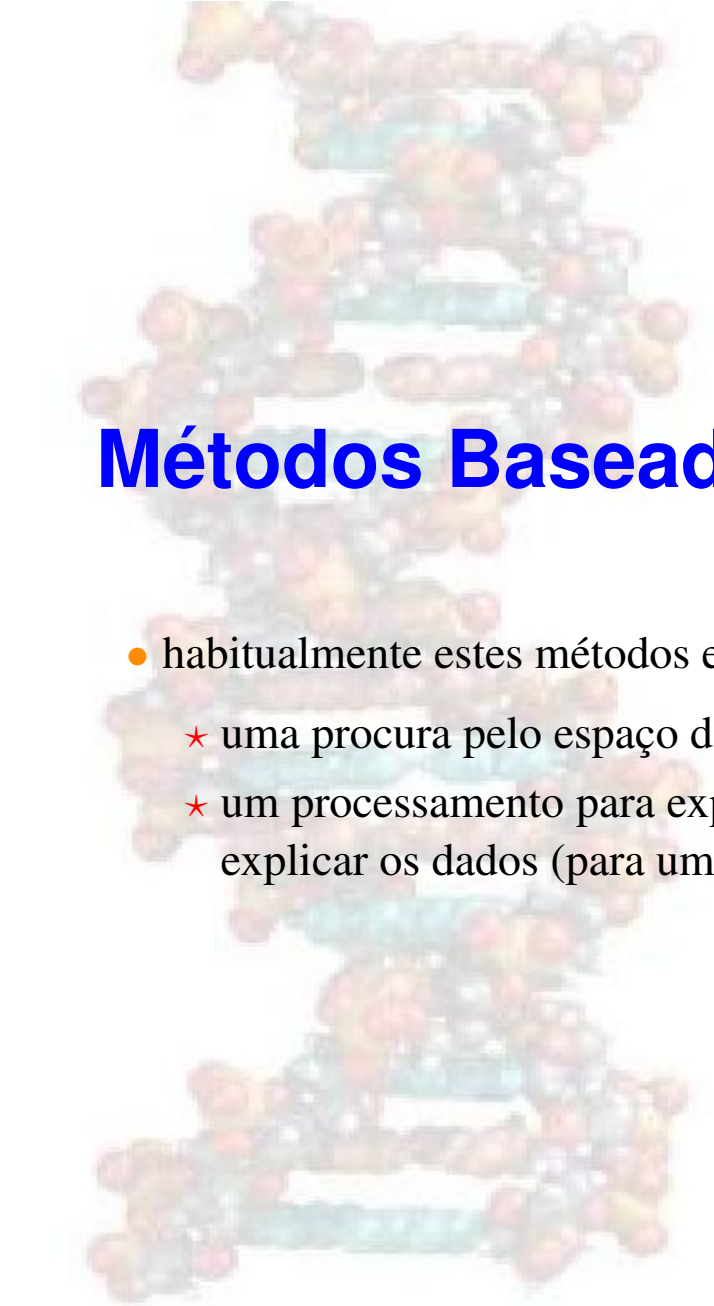
- *dado*: dados baseados em caracteres
- *faça*: encontrar árvore que explique os dados com o número mínimo de alterações.

Exemplo de Parcinómia

- existem muitas árvores que podem explicar a filogenia das sequências seguintes:
AAG, AAA GGA, AGA.

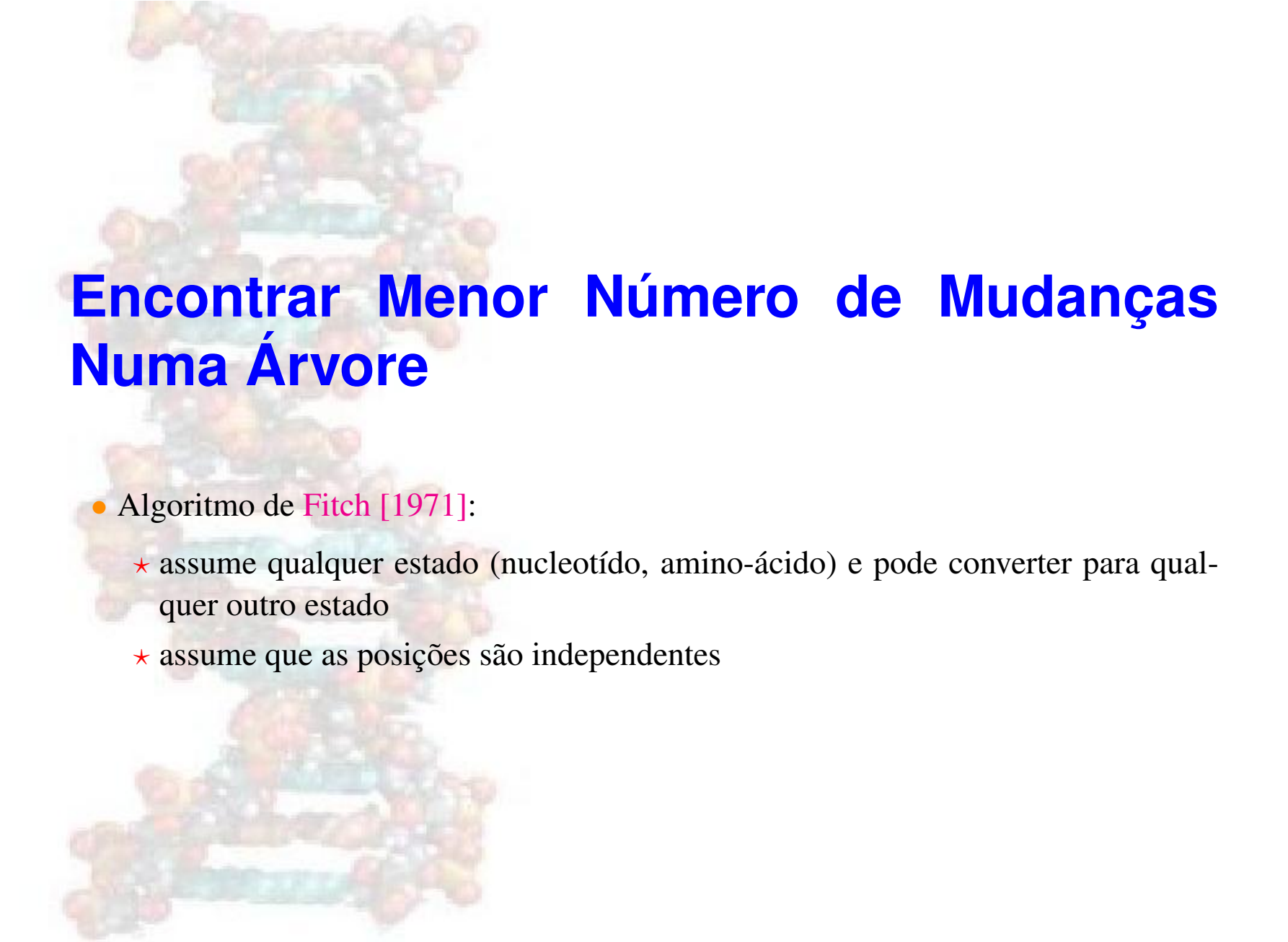


- parcimónia prefere a primeira árvore porque requer menor número de substituições



Métodos Baseados em Parcimónia

- habitualmente estes métodos envolvem dois componentes:
 - ★ uma procura pelo espaço das árvores
 - ★ um processamento para explicar o menor número de mudanças necessárias para explicar os dados (para uma dada topologia).



Encontrar Menor Número de Mudanças Numa Árvore

- Algoritmo de **Fitch [1971]**:
 - ★ assume qualquer estado (nucleotídeo, amino-ácido) e pode converter para qualquer outro estado
 - ★ assume que as posições são independentes



Algoritmo de Fitch

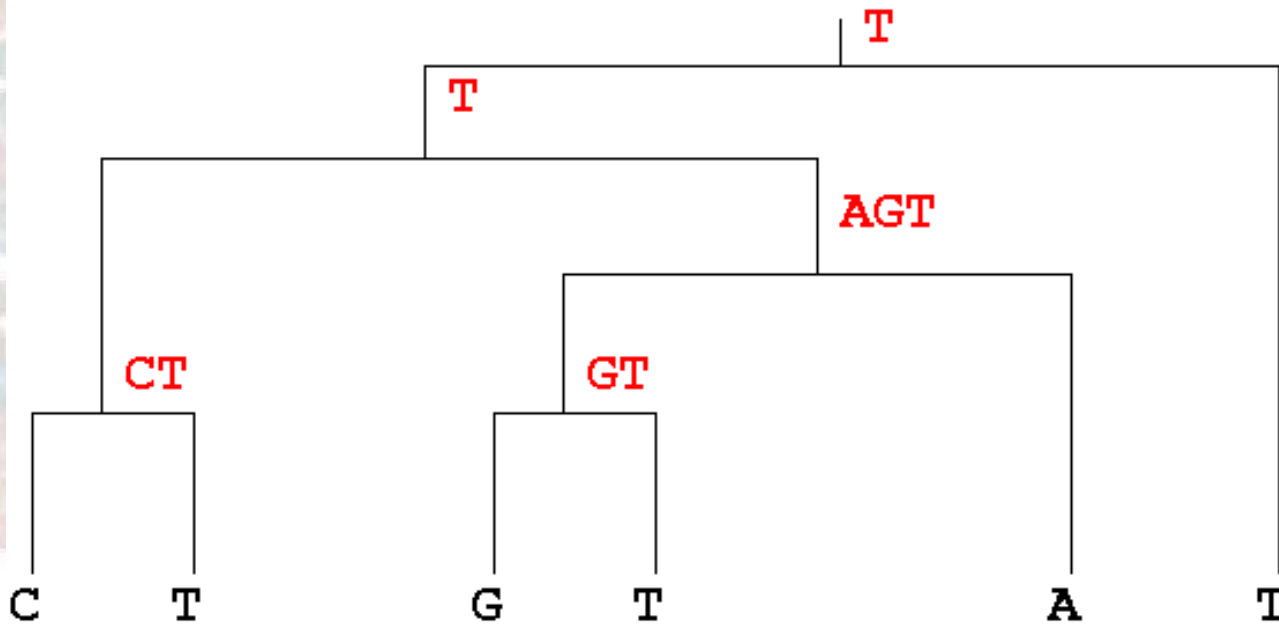
- atravessa a árvore desde as folhas até à raíz determinando o número possível de *estados* (eg, nucleotídeos) que podem ser tomados por cada nó interno.
- atravessa a árvore desde a raíz até às folhas estabelecendo os estados para os nós internos.

Passo 1: Estado Possível para os Nós Internos

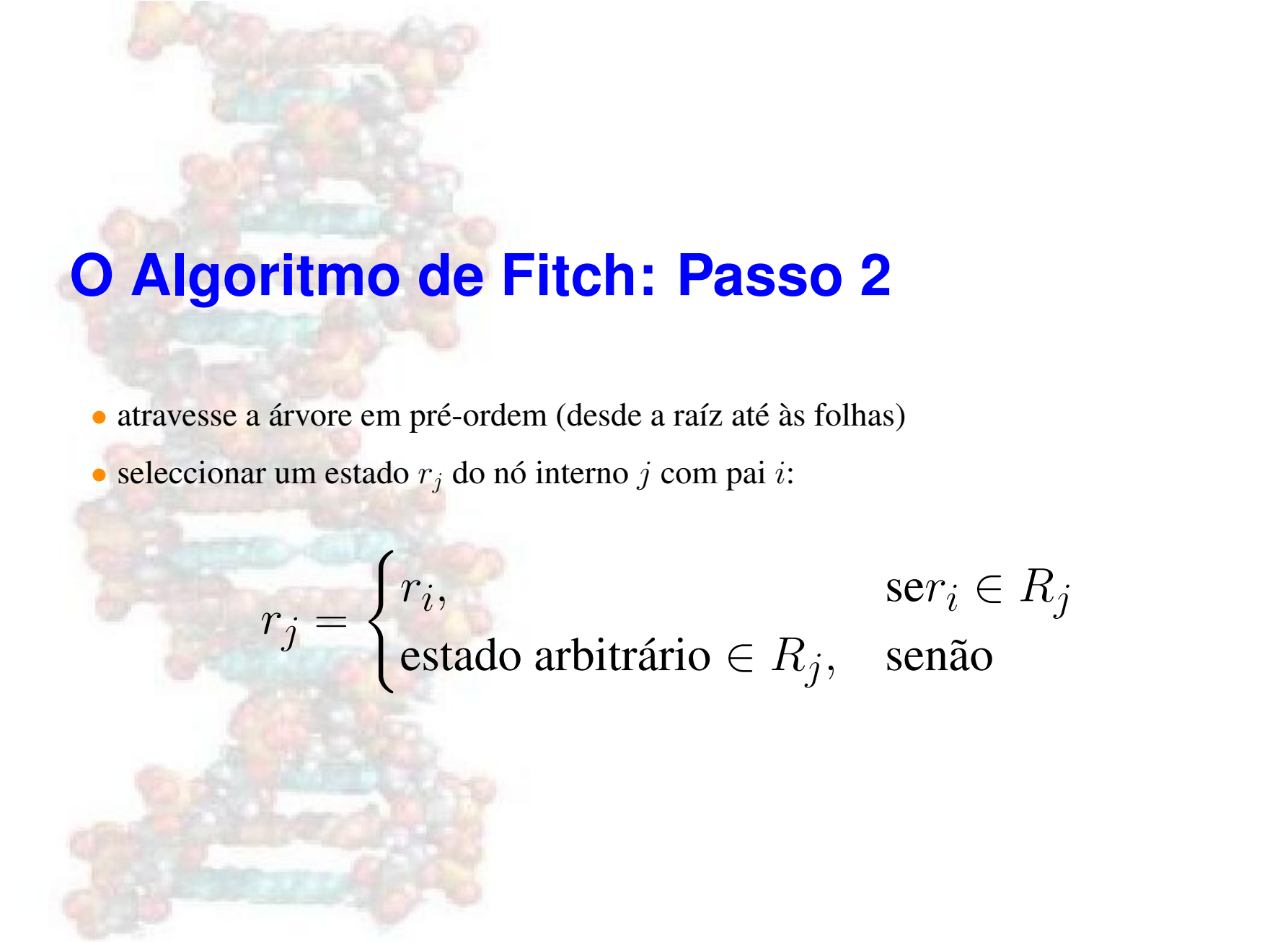
- atravesse a árvore em pós-ordem (desde as folhas até à raíz)
- determinar os estados possíveis R_i do nó interno i com filhos j e k :

$$R_i = \begin{cases} R_j \cup R_k, & \text{se } R_j \cap R_k = \emptyset \\ R_j \cap R_k, & \text{senão} \end{cases}$$

O Algoritmo de Fitch: Passo 1



- # de mudanças = # de uniões

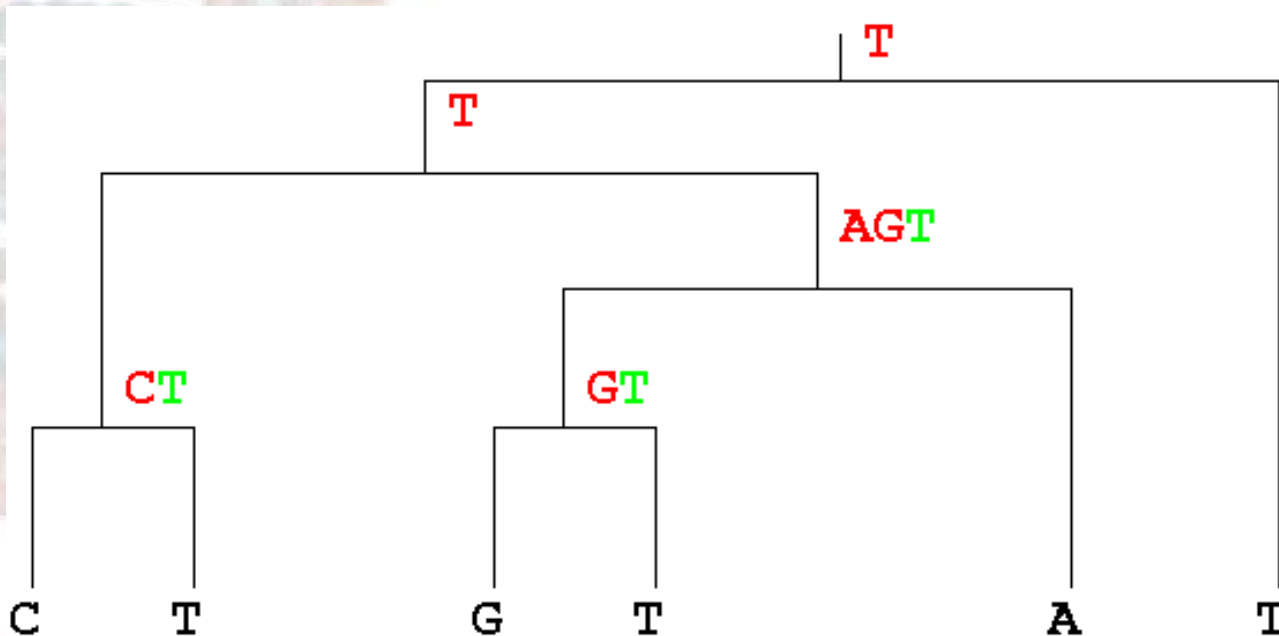


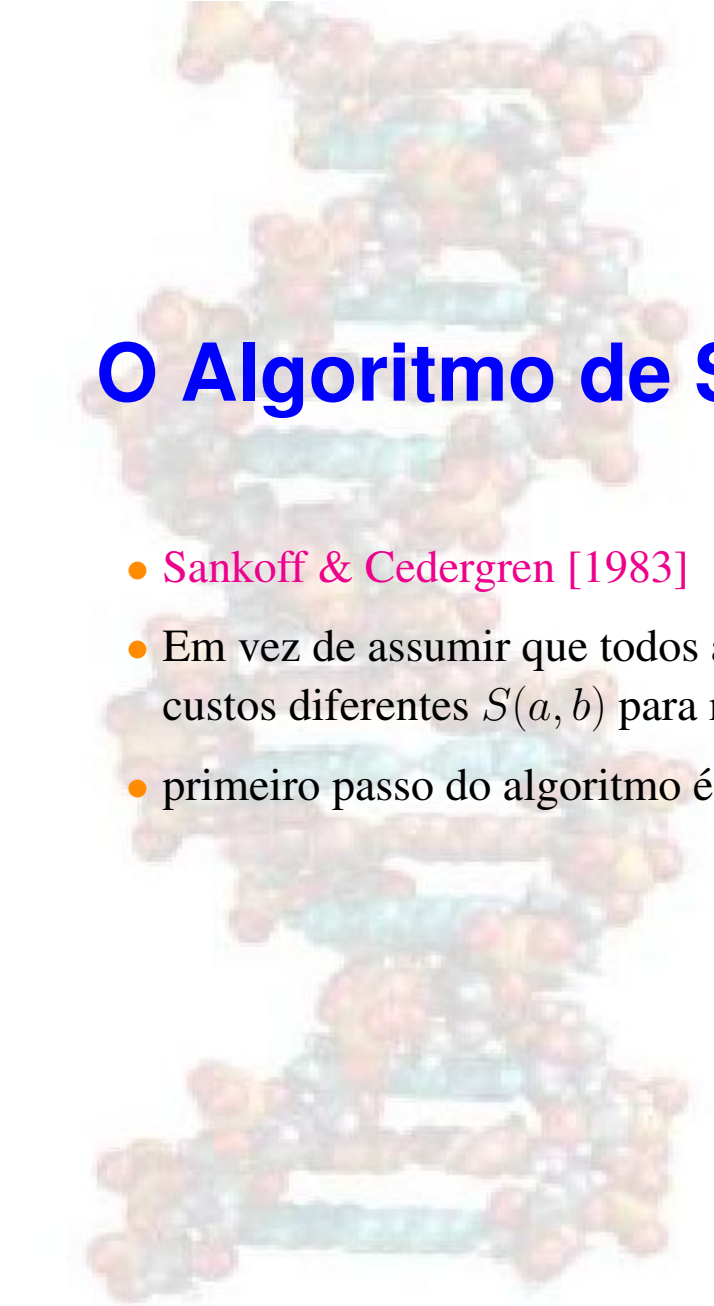
O Algoritmo de Fitch: Passo 2

- atravesse a árvore em pré-ordem (desde a raiz até às folhas)
- seleccionar um estado r_j do nó interno j com pai i :

$$r_j = \begin{cases} r_i, & \text{se } r_i \in R_j \\ \text{estado arbitrário} \in R_j, & \text{senão} \end{cases}$$

O Algoritmo de Fitch: Passo 2





O Algoritmo de Sankoff

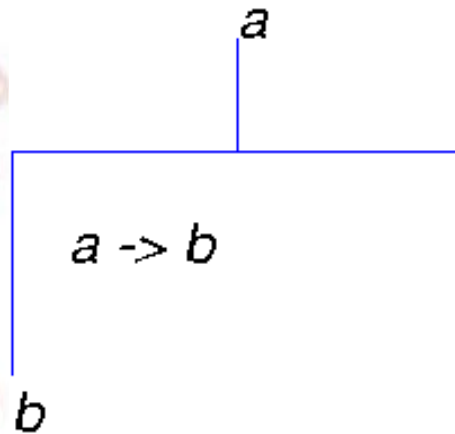
- Sankoff & Cedergren [1983]
- Em vez de assumir que todos as mudanças de estado são igualmente prováveis, use custos diferentes $S(a, b)$ para mudanças diferentes
- primeiro passo do algoritmo é propagar custos subindo na árvore:

$$a \rightarrow b$$

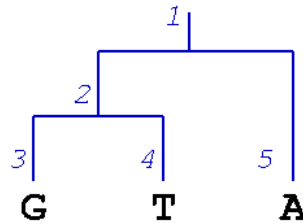
O Algoritmo de Sankoff

- para um nó interno i com filhos j e k

$$R_i(a) = \min_b (R_j(b) + S(a, b)) + \min_b (R_k(b) + S(a, b))$$



O Algoritmo de Sankoff



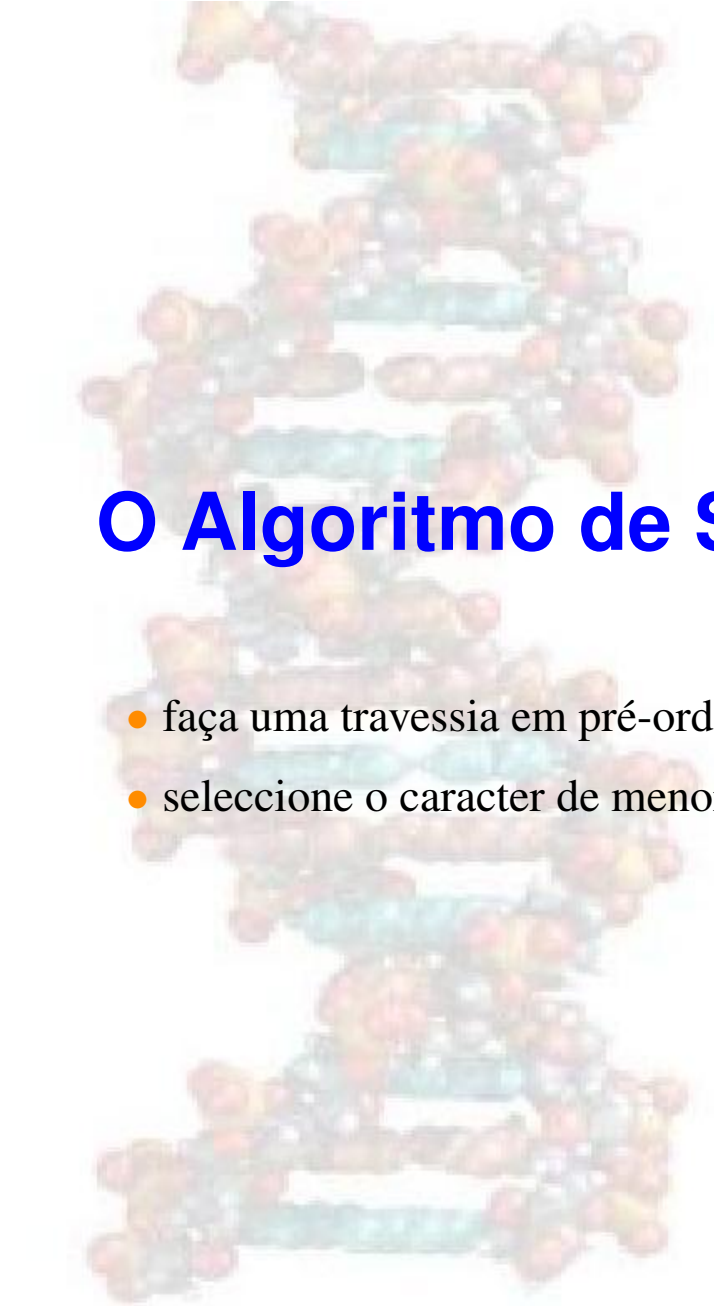
- $R_3[A] = \infty, R_3[C] = \infty, R_3[G] = 0, R_3[T] = \infty$

- $R_4[A] = \infty, R_4[C] = \infty, R_4[G] = \infty, R_4[T] = 0$

- $$\begin{cases} R_2[A] = R_3[G] + S(A, G) + R_4[T] + S(A, T) \\ \dots \\ R_2[T] = R_3[G] + S(A, T) + R_4[T] + S(T, T) \end{cases}$$

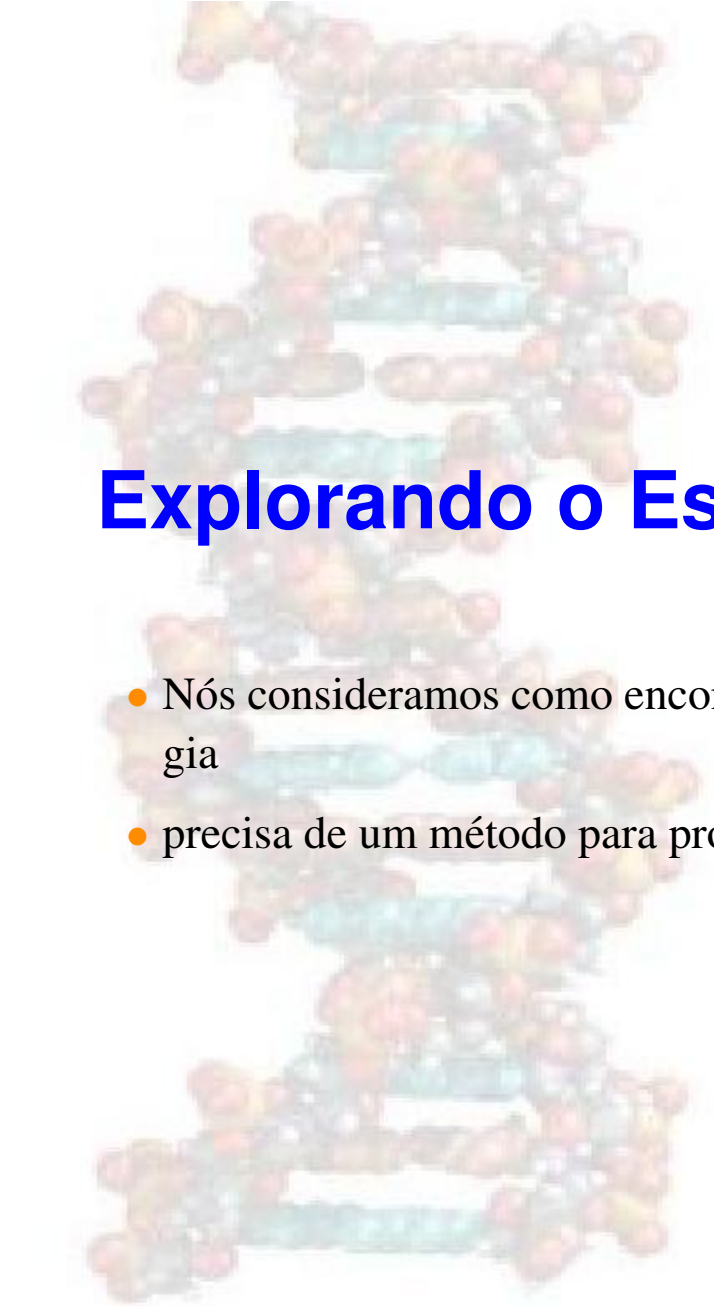
- $R_5[A] = 0, R_5[C] = \infty, R_5[G] = \infty, R_5[T] = \infty$

- $$\begin{cases} R_1[A] = \min(R_2[A] + S(A, A), \dots, R_2[T] + S(A, T)) + R_5[A] + S(A, A) \\ \dots \\ R_1[T] = \min(R_2[A] + S(T, A), \dots, R_2[T] + S(T, T)) + R_5[A] + S(A, T) \end{cases}$$



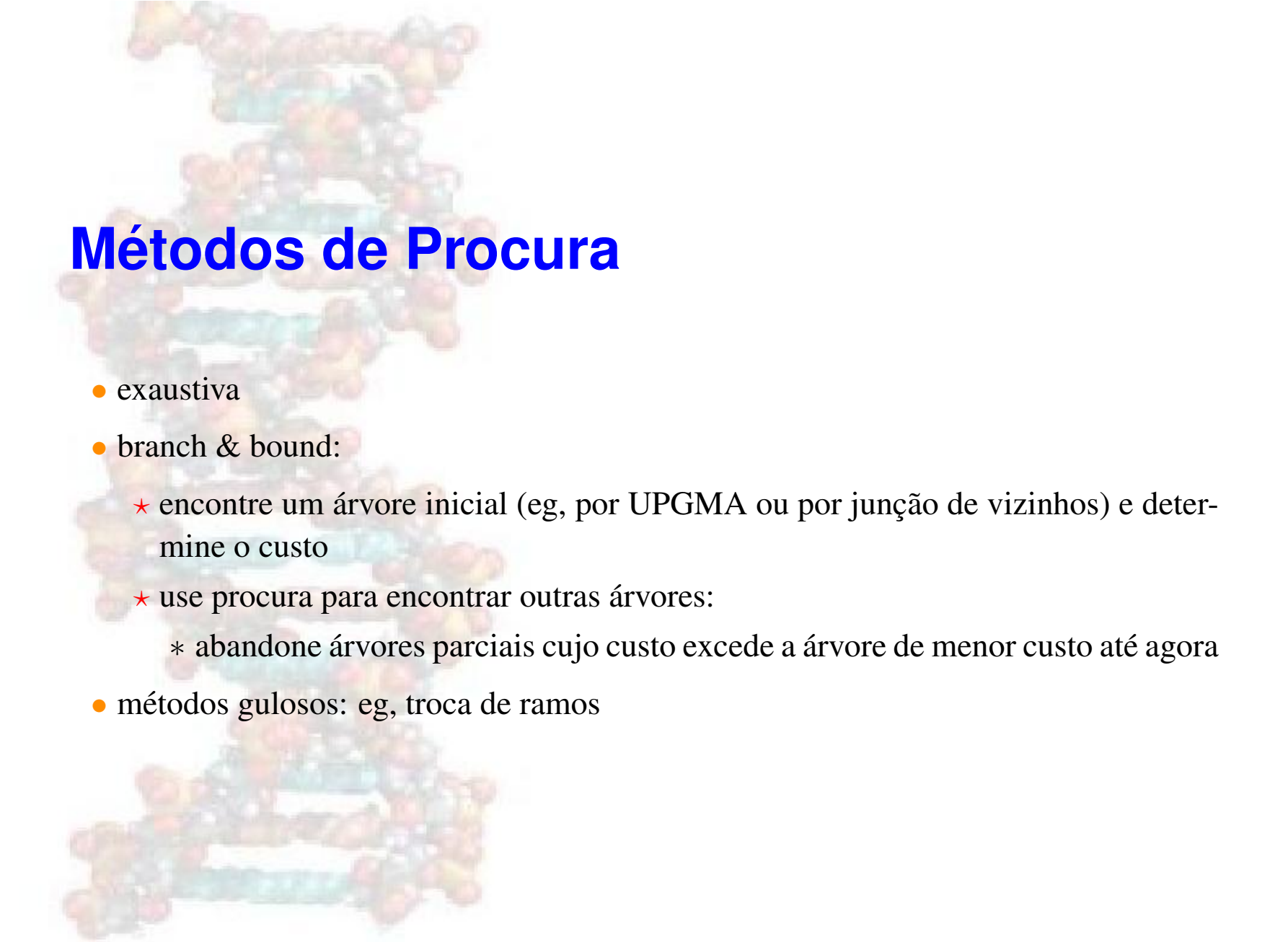
O Algoritmo de Sankoff: Passo 2

- faça uma travessia em pré-ordem da árvore (desde a raíz para as folhas)
- seleccione o caracter de menor custo para cada nó



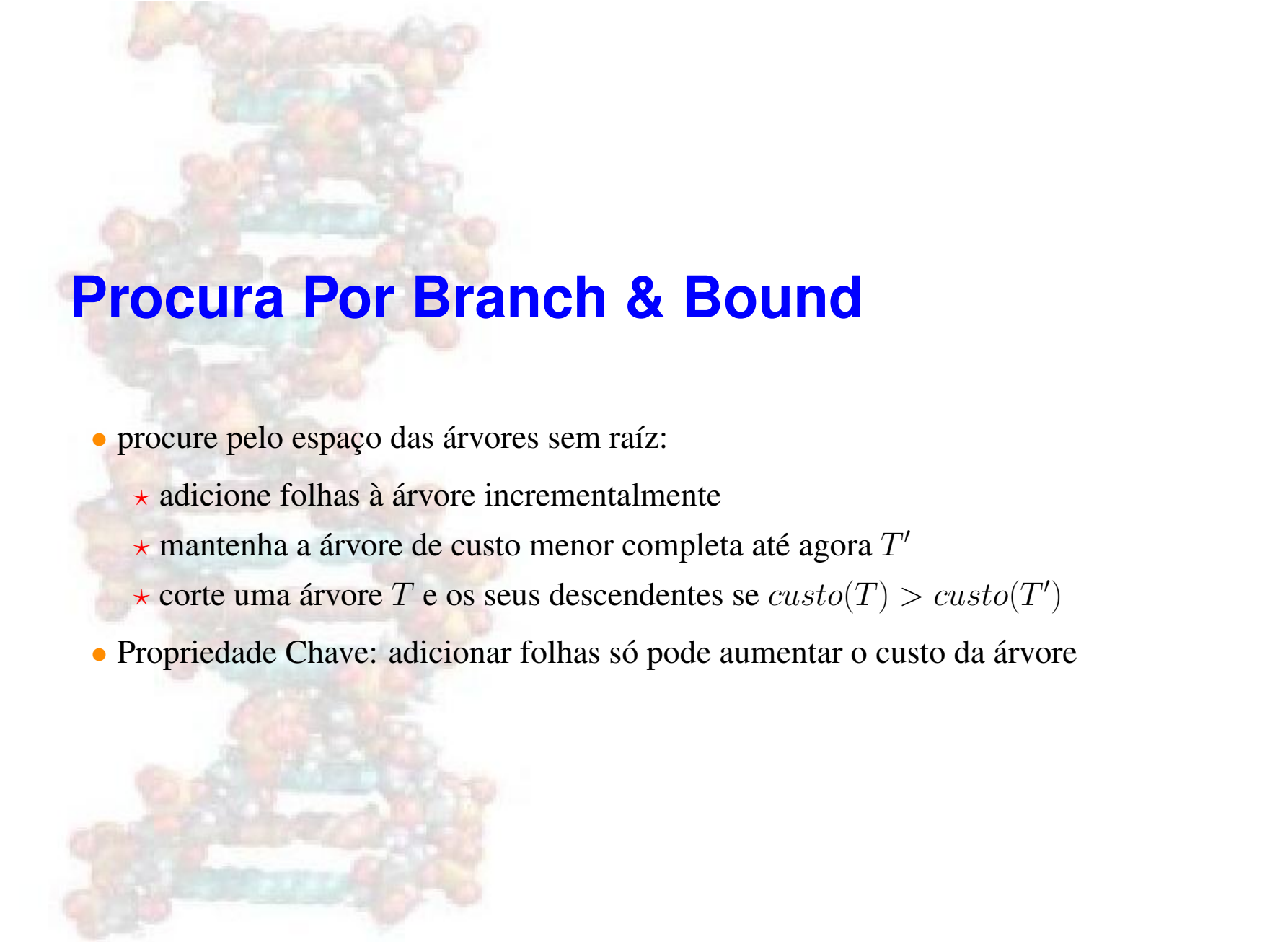
Explorando o Espaço das Árvores

- Nós consideramos como encontrar o menor número de mudanças para cada topologia
- precisa de um método para procurar no espaço das árvores



Métodos de Procura

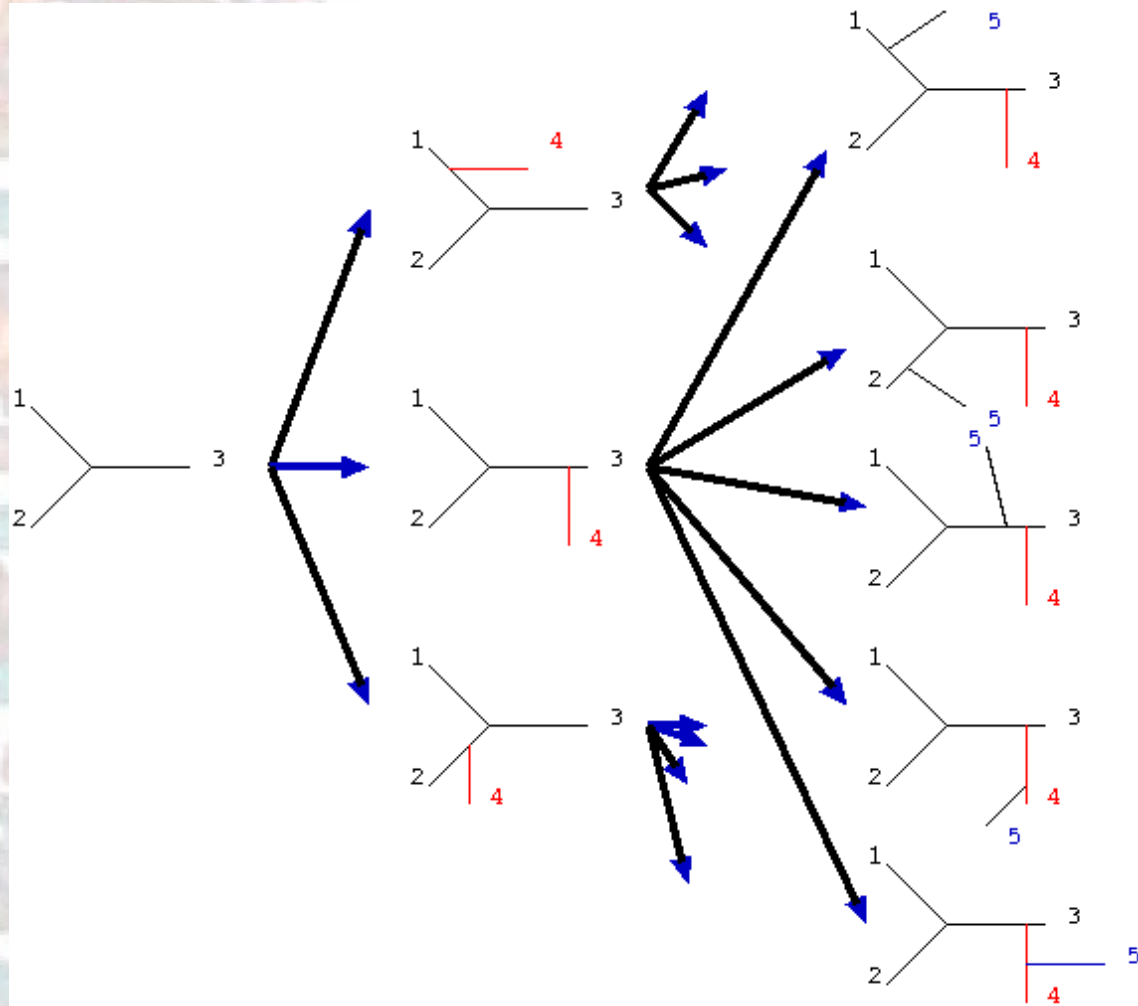
- exaustiva
- branch & bound:
 - ★ encontre um árvore inicial (eg, por UPGMA ou por junção de vizinhos) e determine o custo
 - ★ use procura para encontrar outras árvores:
 - * abandone árvores parciais cujo custo excede a árvore de menor custo até agora
- métodos gulosos: eg, troca de ramos



Procura Por Branch & Bound

- procure pelo espaço das árvores sem raíz:
 - ★ adicione folhas à árvore incrementalmente
 - ★ mantenha a árvore de custo menor completa até agora T'
 - ★ corte uma árvore T e os seus descendentes se $custo(T) > custo(T')$
- Propriedade Chave: adicionar folhas só pode aumentar o custo da árvore

Procura Por Branch & Bound



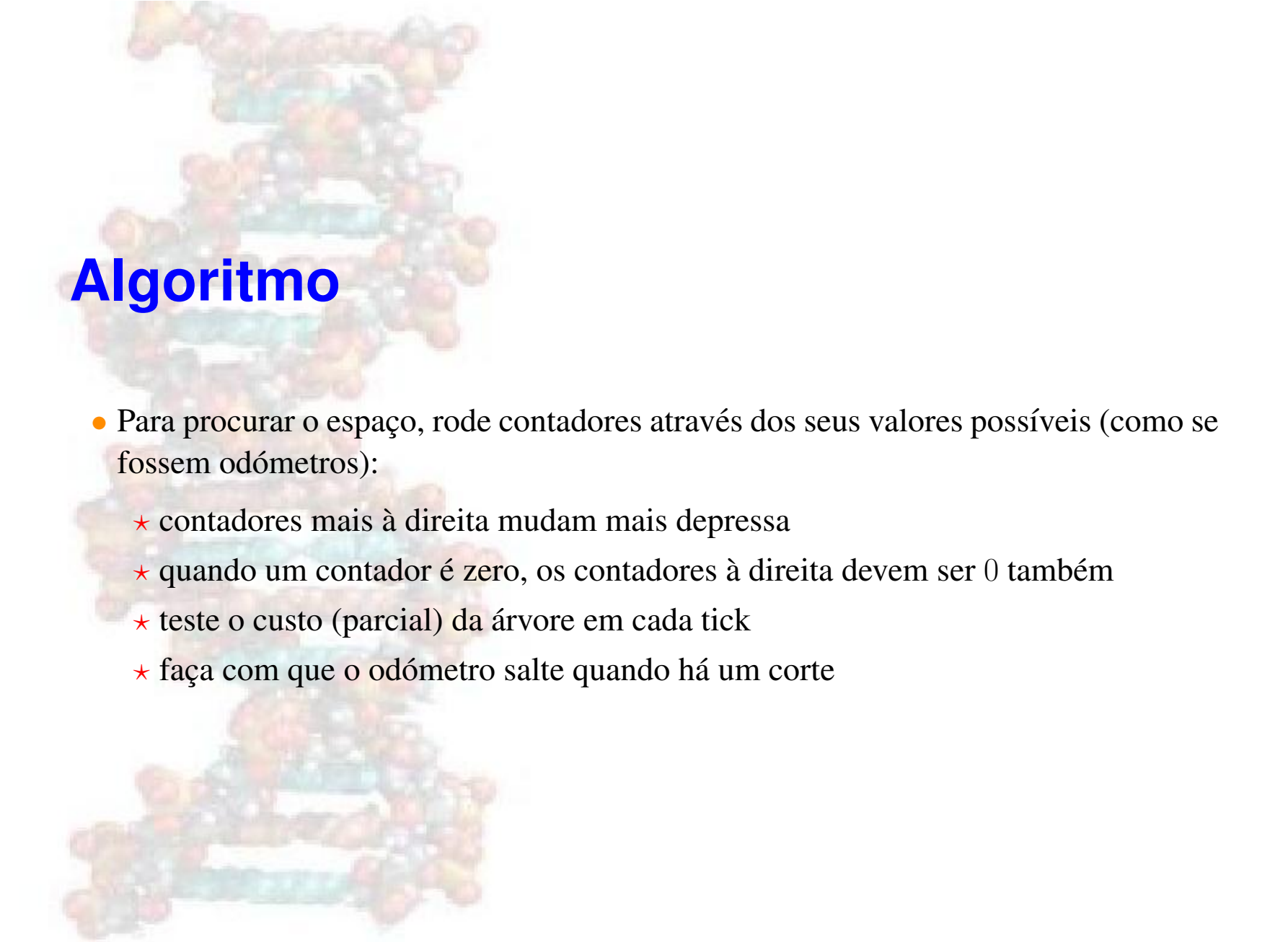
Algoritmo

- Para n seqüências mantenha um vector de contadores:

$$[i_3][i_5][i_7] \dots [i_{2n-5}]$$

onde i_k toma os valores $0 \dots k$

- uma árvore completa é representada por uma atribuição de todos os i_k a valores não-zero.
- i_k indica, com uma árvore parcial com k vértices, onde adicionar um ramo para a seqüência seguinte
- $i_k = 0$ indica uma árvore parcial



Algoritmo

- Para procurar o espaço, rode contadores através dos seus valores possíveis (como se fossem odômetros):
 - ★ contadores mais à direita mudam mais depressa
 - ★ quando um contador é zero, os contadores à direita devem ser 0 também
 - ★ teste o custo (parcial) da árvore em cada tick
 - ★ faça com que o odómetro salte quando há um corte



Algoritmo

- É um método completo
 - ★ garantido encontrar solução óptima
- frequentemente muito mais eficiente que procura exaustiva
- no pior caso, não é melhor
- a eficiência depende da qualidade da árvore inicial

Comentários sobre Inferência de Árvores

- o espaço de procura pode ser grande, mas pode encontrar a árvore óptima eficientemente em alguns casos
- em alguns casos métodos heurísticos podem ser aplicados
- difícil avaliar filogenias inferidas: a verdade-alvo não é habitualmente sabida:
 - ★ podemos olhar para a concordância entre diferentes fontes de evidência
 - ★ quando a procura não é completa, podemos procurar repetibilidade em sub-amostras dos dados
- alguns métodos novos usam dados baseados na ordem linear dos genes ortológicos no cromossoma
- filogenia de bactérias e vírus não é trivial devido a transferências laterais de material genético: *filogenias locais* podem ser mais apropriadas

Comentários sobre Inferência de Árvores

Um visão diferente:

- Aula de Felsenstein
- Aula de Shamir
- Phylip
- PAUP*
- Molphy
- PAML
- MrBayes



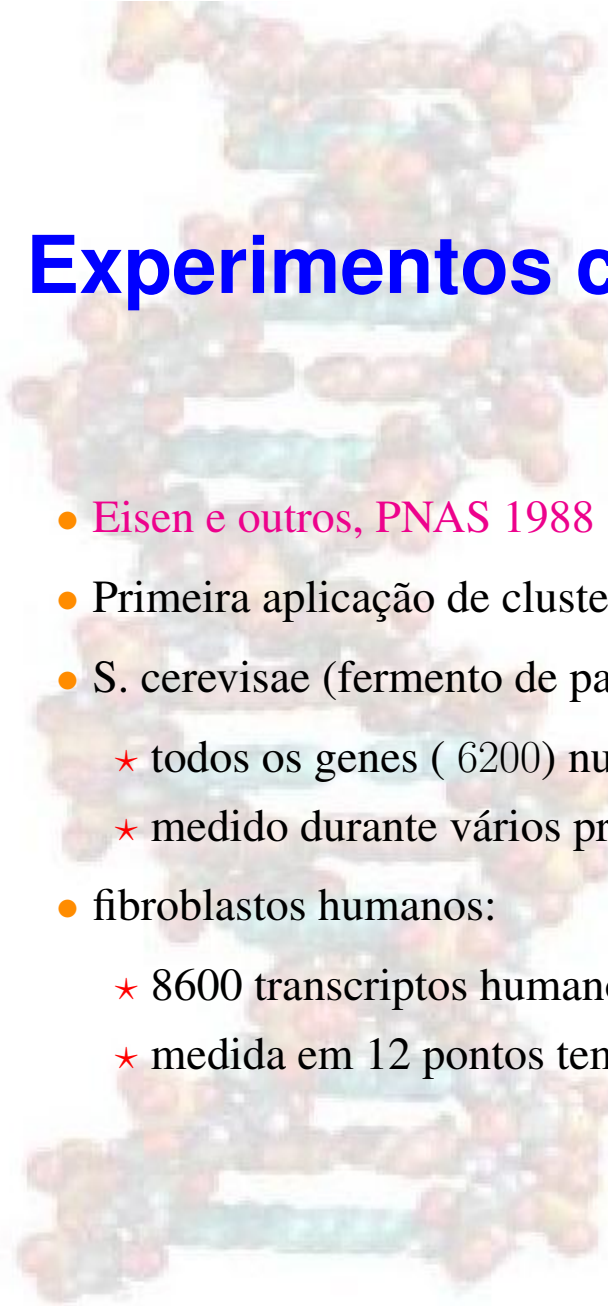
Diversidade de Métodos

- Gene Arrays: medem quantidades de RNA
- Electroforese: mede quantidade de proteínas



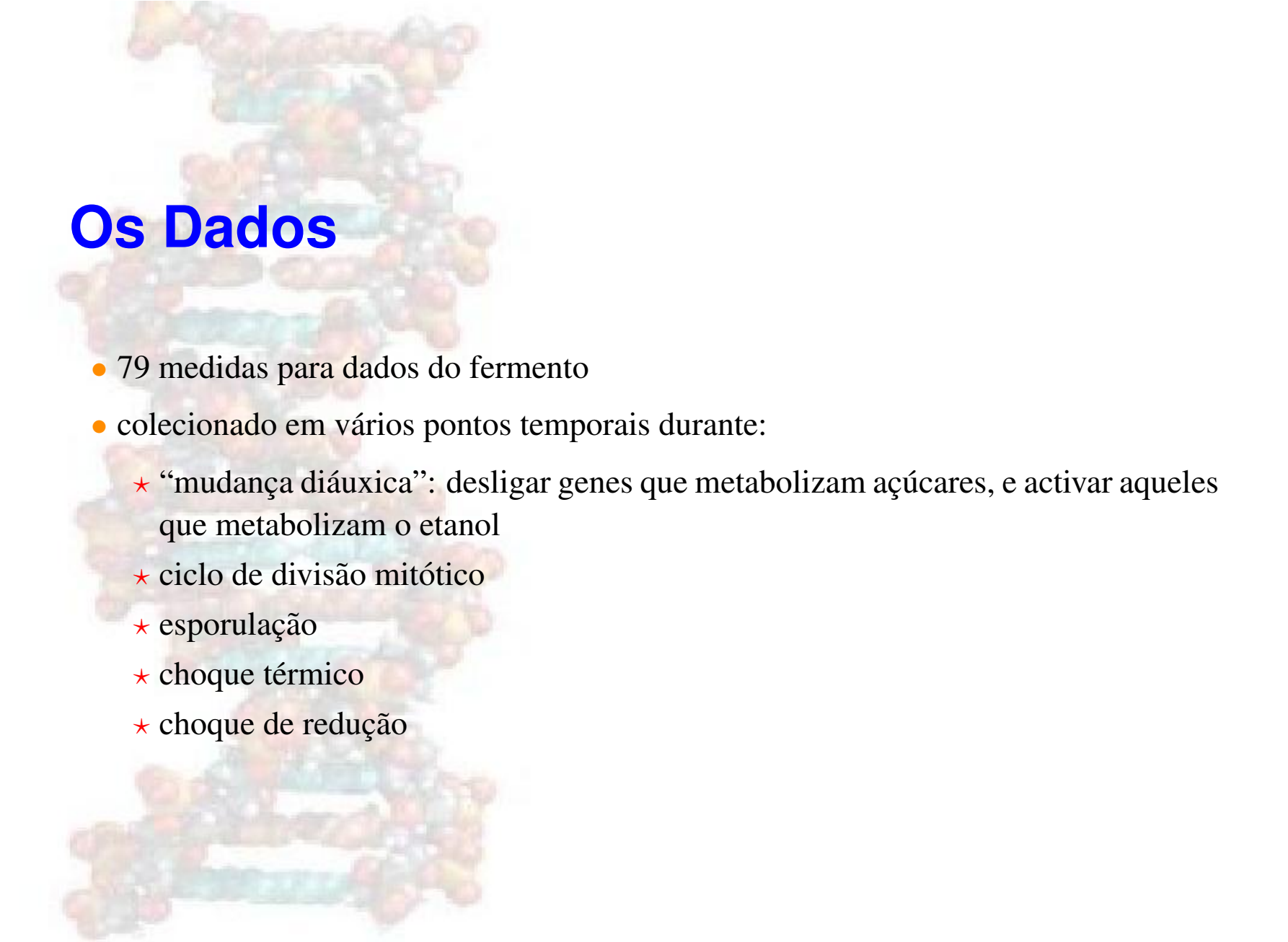
Gene Arrays

Uma animação



Experimentos com Clustering Hierárquico

- Eisen e outros, PNAS 1988
- Primeira aplicação de clustering para dados de expressão de genes
- *S. cerevisiae* (fermento de padeiro)
 - ★ todos os genes (6200) numa única matriz
 - ★ medido durante vários processos
- fibroblastos humanos:
 - ★ 8600 transcriptos humanos numa matriz
 - ★ medida em 12 pontos temporais durante estimulação com soro



Os Dados

- 79 medidas para dados do fermento
- colecionado em vários pontos temporais durante:
 - ★ “mudança diáuxica”: desligar genes que metabolizam açúcares, e activar aqueles que metabolizam o etanol
 - ★ ciclo de divisão mitótico
 - ★ esporulação
 - ★ choque térmico
 - ★ choque de redução

Os Dados

- cada medida G_i representa

$$\log \frac{\text{vermelho}_i}{\text{verde}_i}$$

onde **vermelho** é o nível de expressão no teste, e **verde** é o nível de referência para o gene G no experimento i

- o perfil de expressão de um gene é o vector de medição por todos os experimentos:

$$\langle G_1 \dots G_n \rangle$$

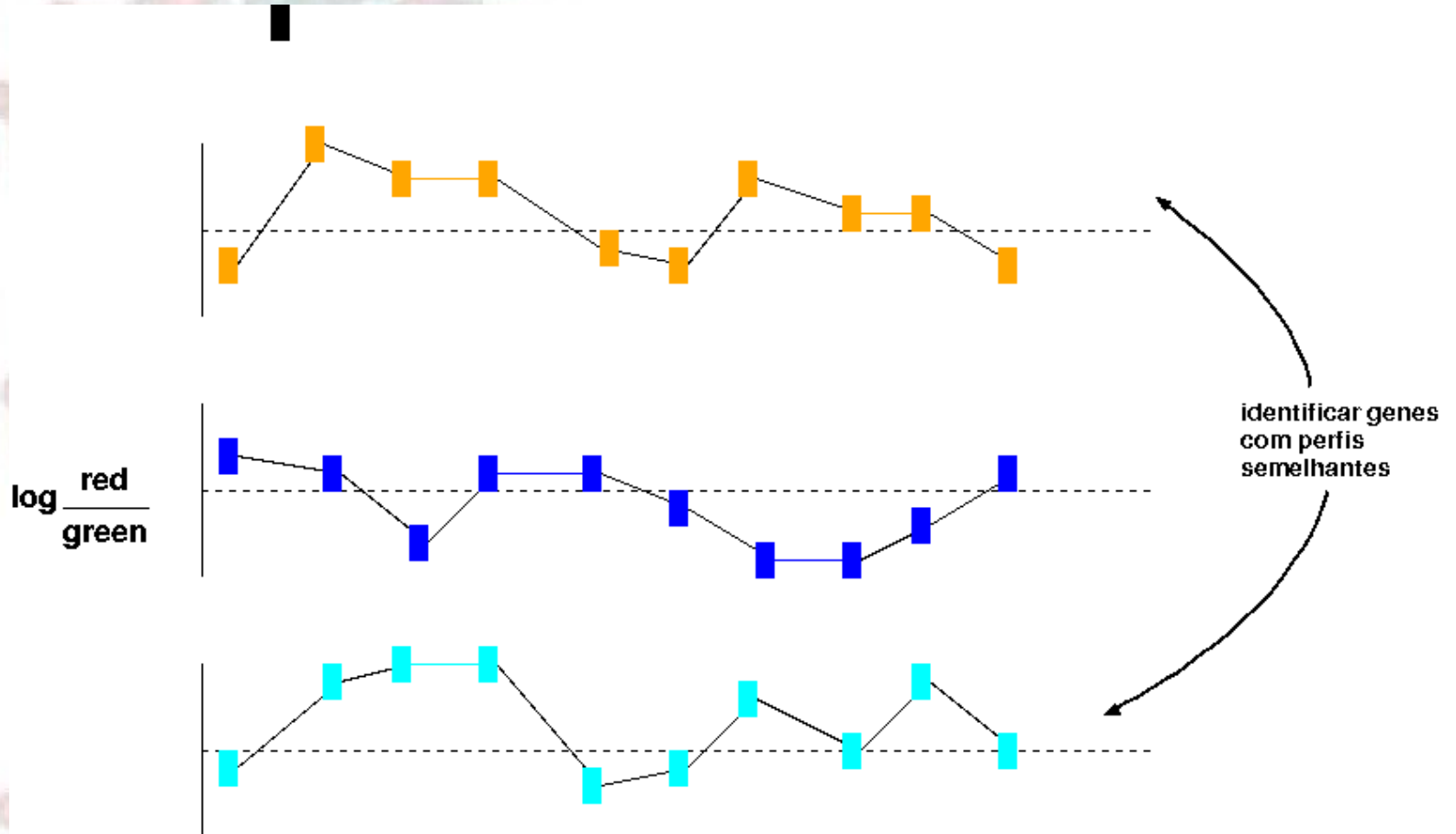
Os Dados

- m genes medidos em n experimentos

$g_{1,1}$	•	•	•	$g_{1,n}$
$g_{2,1}$	•	•	•	$g_{2,n}$
$g_{m,1}$	•	•	•	$g_{m,n}$

- cada linha é o perfil de um gene

A Tarefa

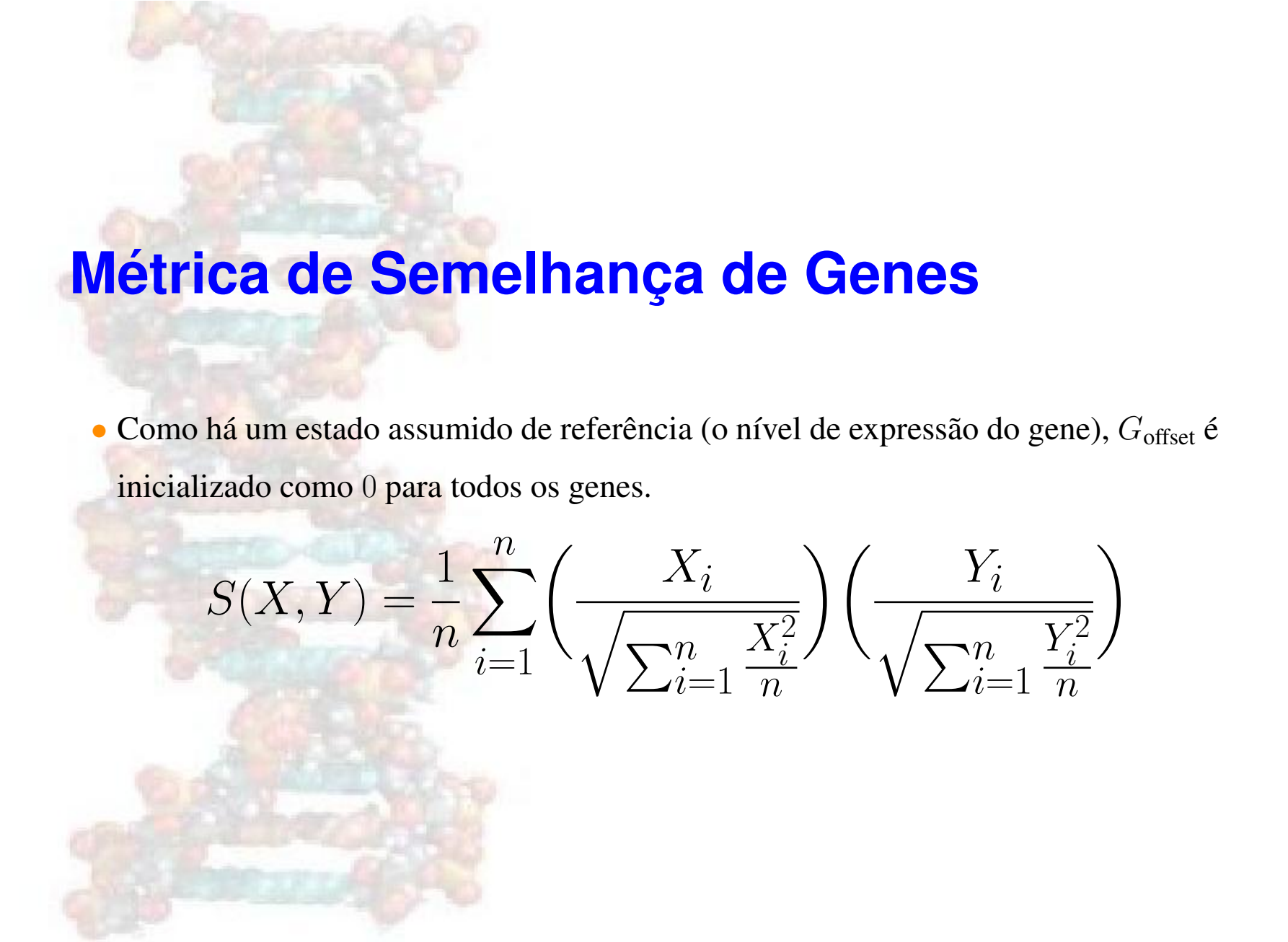


Métrica de Semelhança de Genes: Um Coeficiente de Correlação

- para determinar a semelhança entre dois genes X e Y

$$S(X, Y) = \frac{1}{n} \sum_{i=1}^n \left(\frac{X_i - X_{\text{offset}}}{\Phi_x} \right) \left(\frac{Y_i - Y_{\text{offset}}}{\Phi_y} \right)$$

$$\Phi_G = \sqrt{\sum_{i=1}^n \frac{(G_i - G_{\text{offset}})^2}{n}}$$

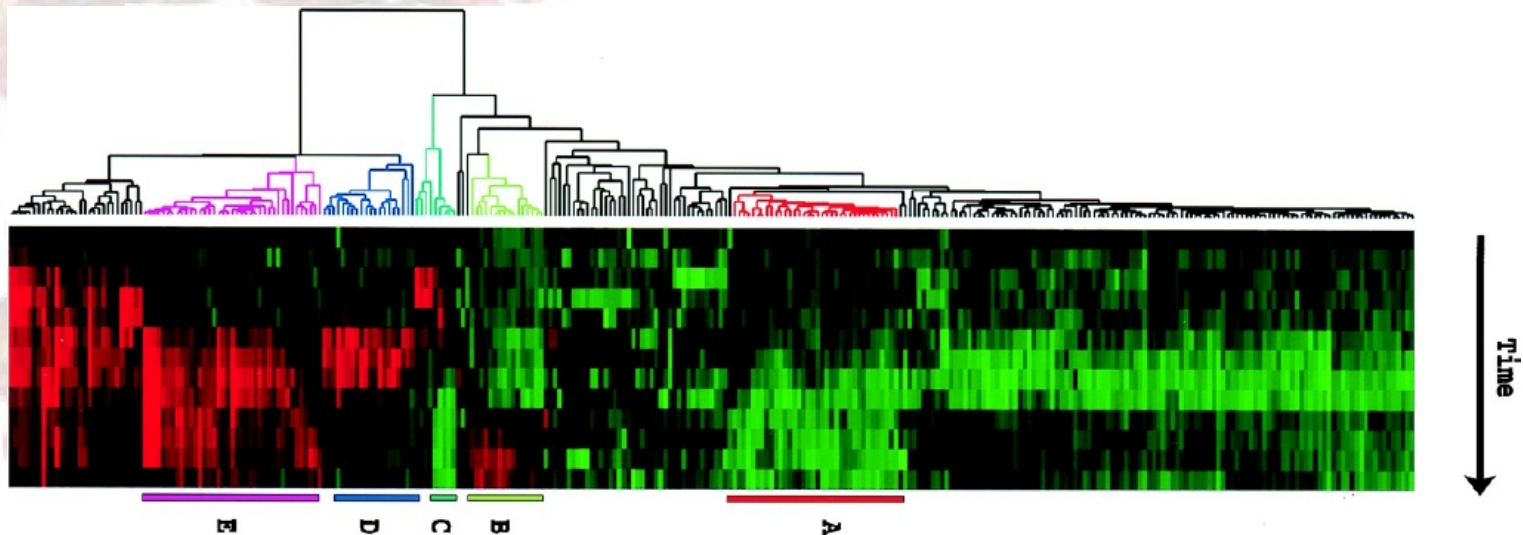


Métrica de Semelhança de Genes

- Como há um estado assumido de referência (o nível de expressão do gene), G_{offset} é inicializado como 0 para todos os genes.

$$S(X, Y) = \frac{1}{n} \sum_{i=1}^n \left(\frac{X_i}{\sqrt{\sum_{i=1}^n \frac{X_i^2}{n}}} \right) \left(\frac{Y_i}{\sqrt{\sum_{i=1}^n \frac{Y_i^2}{n}}} \right)$$

Dendograma para Estimulação por Soro dos Fibroblastos



- a azul, sinalização e angiogenes;
- a verde ciclo celular,
- a vermelho colesterol e biosíntese.

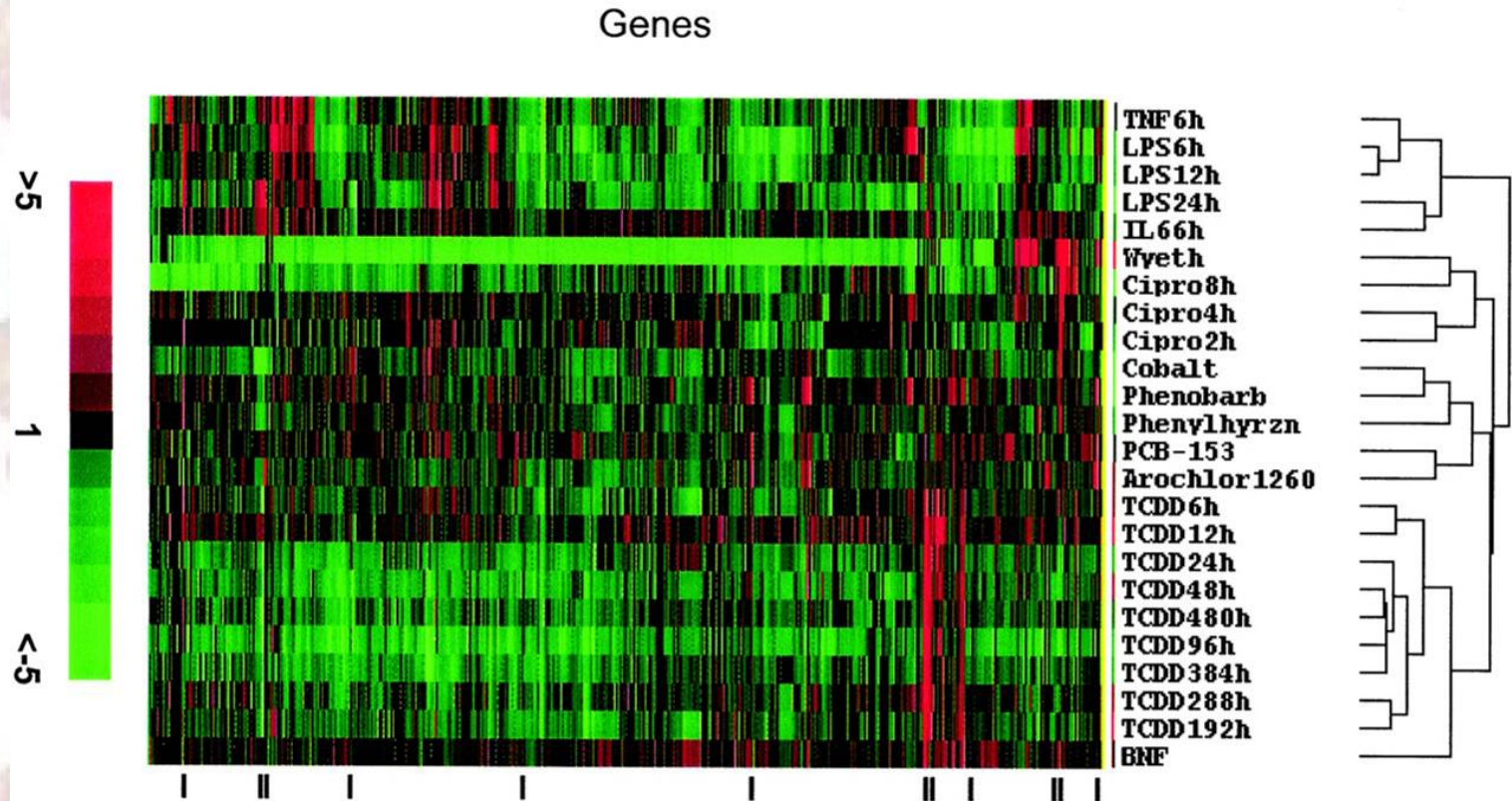
Como Ordenar Folhas

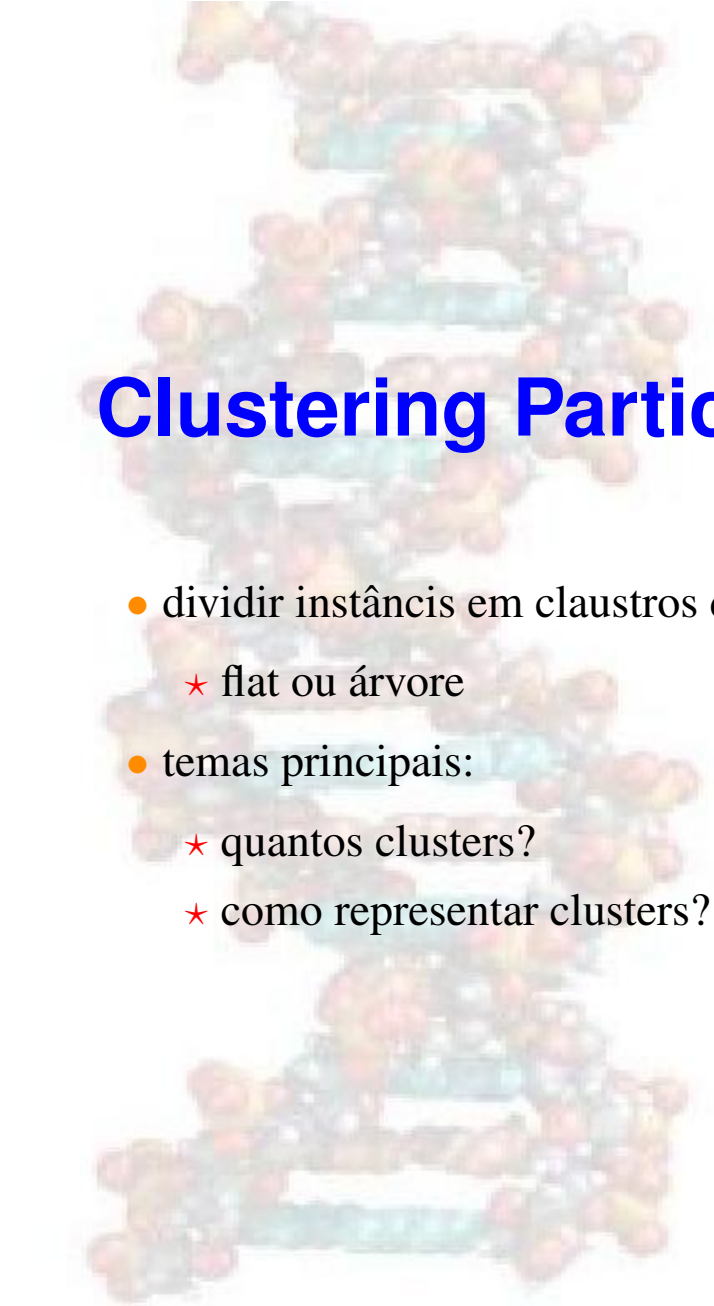
- Para qualquer dendograma de n instâncias existem 2^{n-1} permutações das folhas que são consistentes com a árvore
- Como escolher uma ordenação que seja informativo?
- Método heurístico usado por Eisen e colegas:
 - ★ pese cada gene usando alguma variável de interesse (e.g. nível de expressão médio ou tempo de expressão máxima)
 - ★ para cada nó interno, coloque o que tem menor peso é médio primeiro na ordeção
- pode ser feito óptimamente em tempo $O(n^4)$
 - ★ Bar-Joseph e outros, *Bioinformatics* 2001
 - ★ Noção de solução óptima: maximizar a soma de semelhança de folhas adjacentes

Resultados de Eisen

- representações redundantes de genes são agrupados em conjunto
 - ★ mas genes individuais podem ser distinguidos de genes relacionados por diferenças subtis na expressão
- genes com funcionalidade semelhante agrupam-se em conjunto; e.g., 126 genes regulam fortemente para desligar em resposta ao stress
 - ★ 112 desses genes codificam proteínas ribossomais e outras proteínas envolvidas em tradução
 - ★ concorda com resultados conhecidos que fermento responde a condições de crescimento favoráveis aumentando a produção dos ribossomas.
- Não existem resultados biológicos novos no artigo:
 - ★ mas o método confirma o que esperariam ver
 - ★ indica potencial para encontrar nova biologia

Outra Aplicação de Clustering Hierárquico

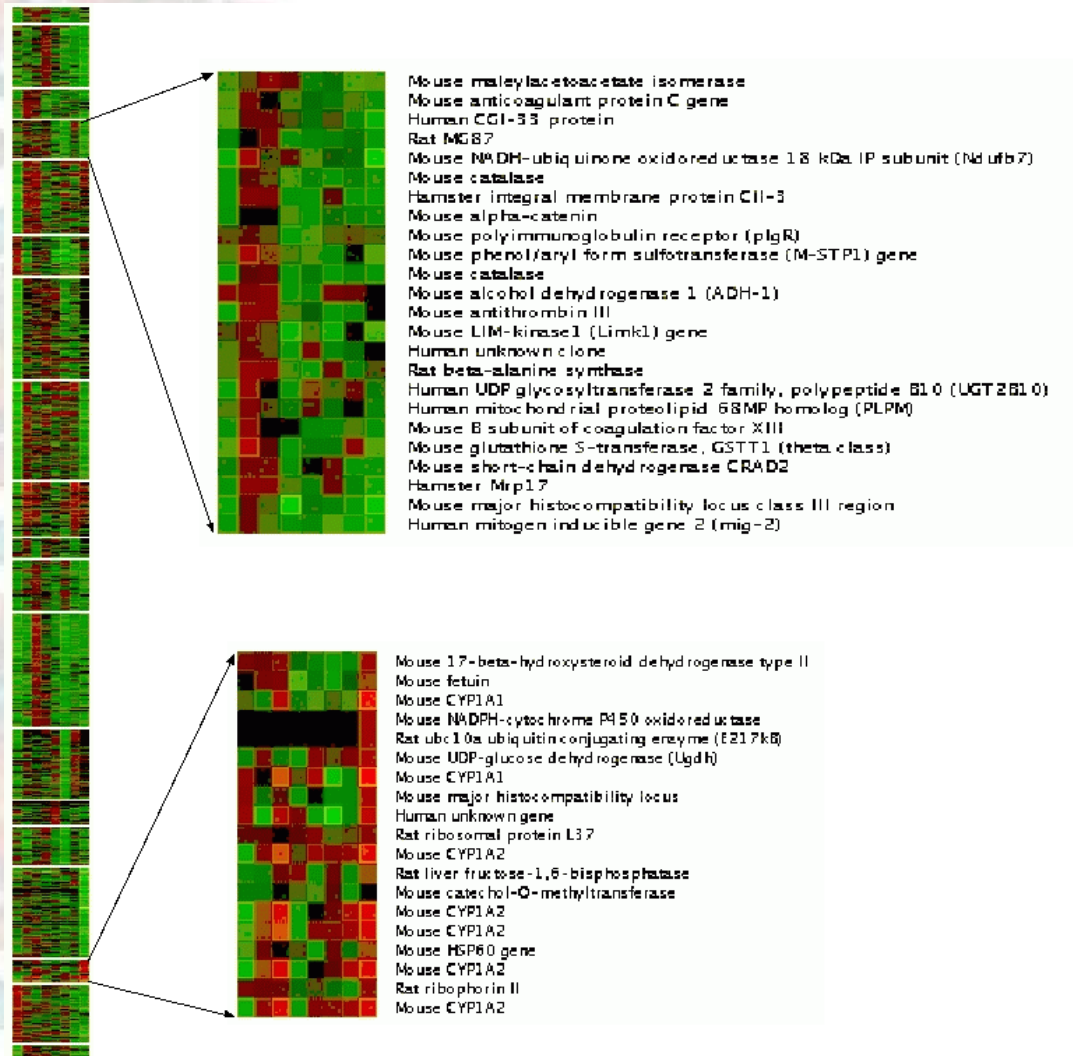




Clustering Particional

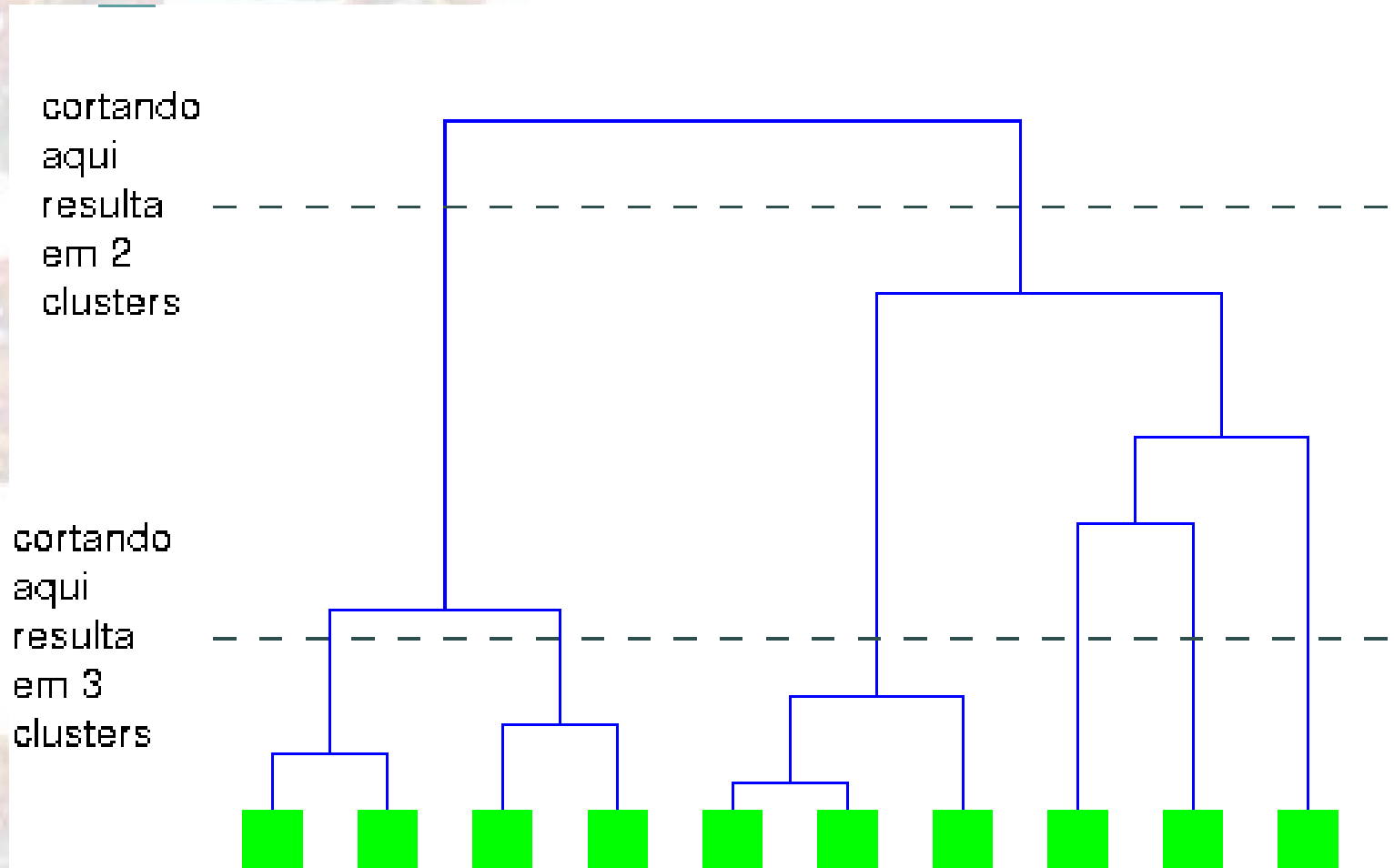
- dividir instâncias em clustros disjuntos
 - ★ flat ou árvore
- temas principais:
 - ★ quantos clusters?
 - ★ como representar clusters?

Exemplo de Clustering Particional



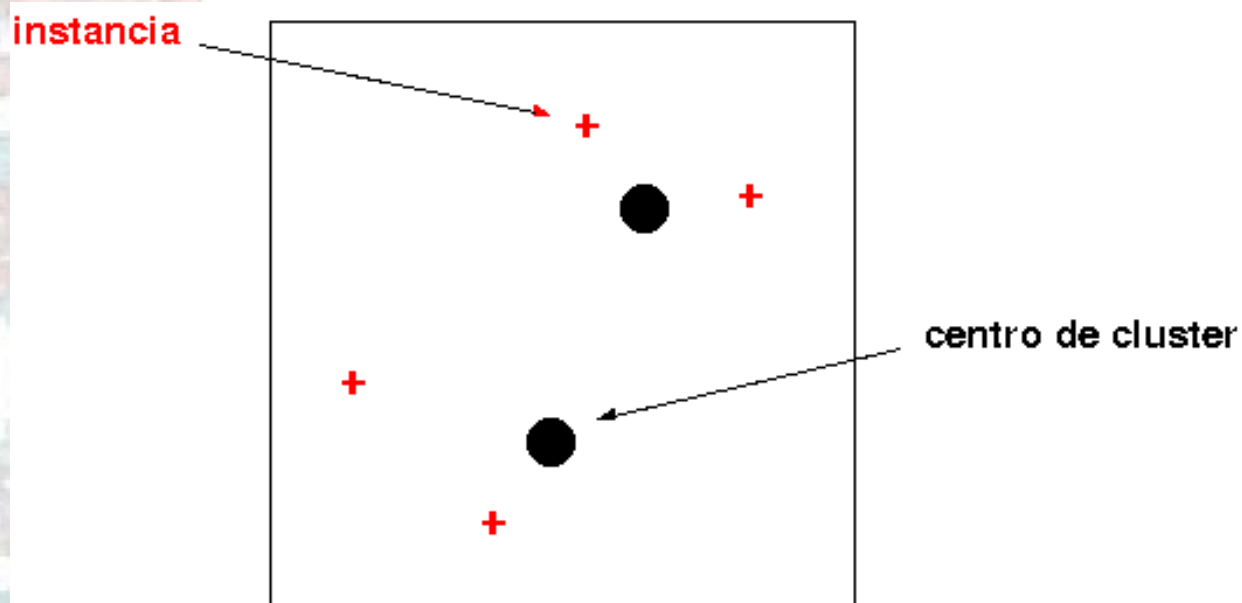
ing Hierárquico

- podemos sempre gerar clustering particional a partir de hierárquico cortando a árvore num certo nível



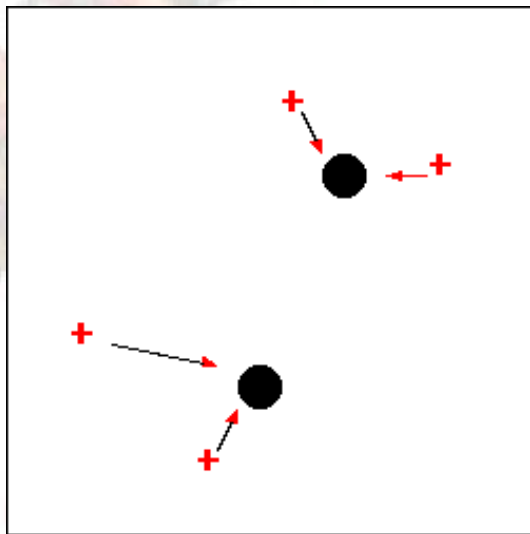
Clustering por K-Médias

- Assume que cada instância é representada por vectores de valores reais
- ponha k centros de claustrs no mesmo espaço do que as instâncias
- cada cluster é representado por um vector
- considere um exemplo em que cada claustrs tem duas dimensões

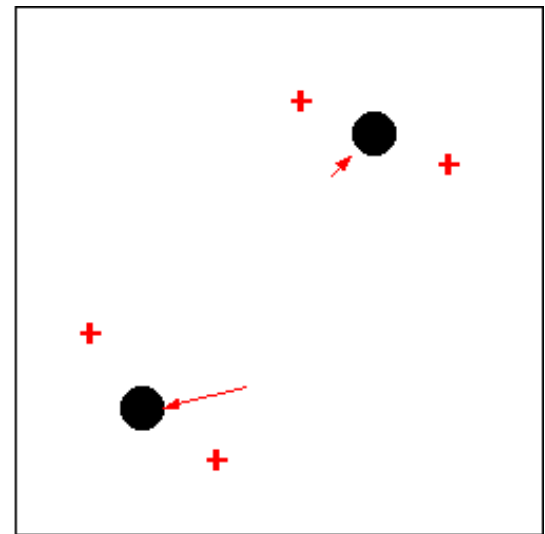


Clustering por K-Médias

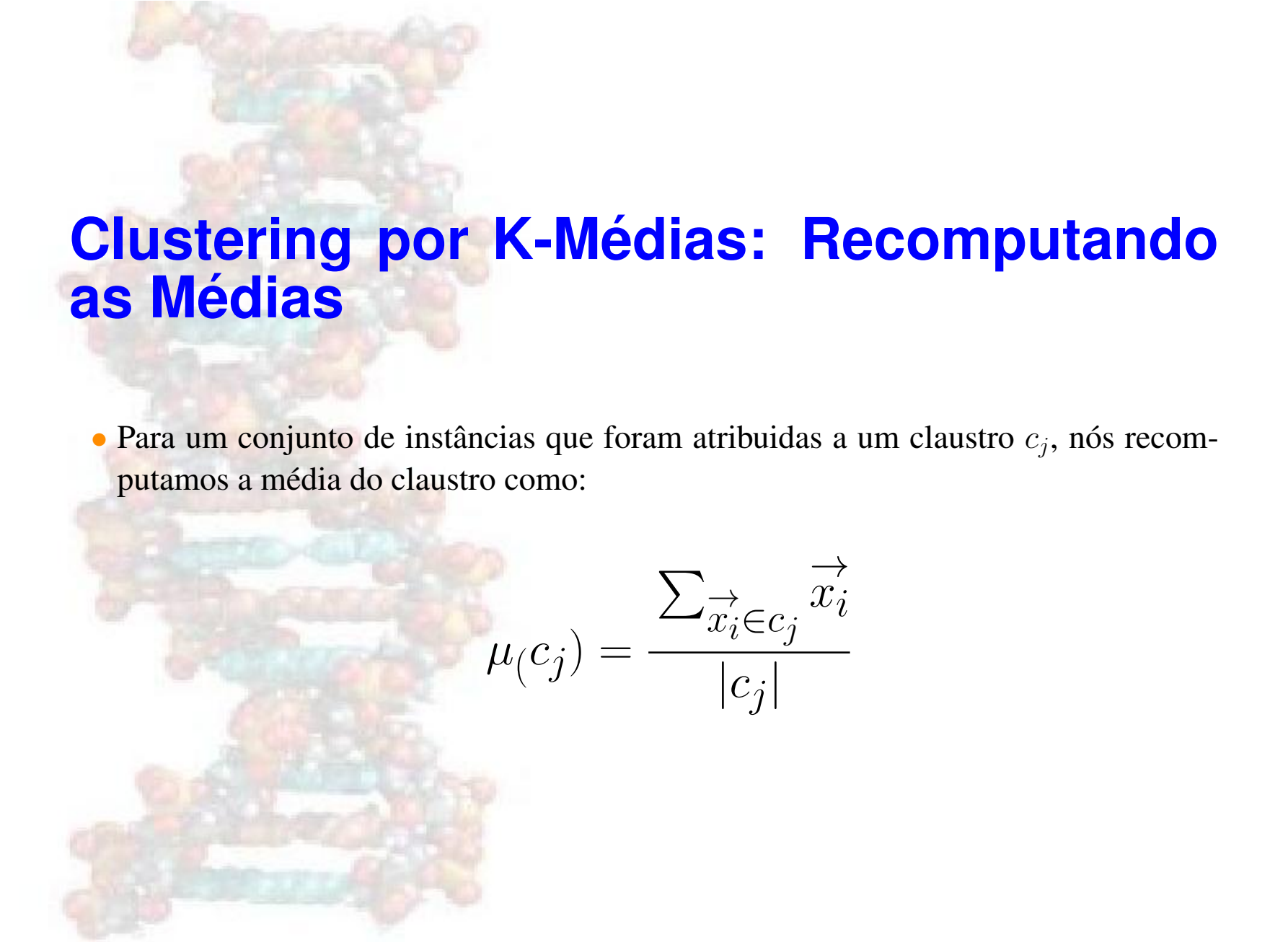
- Cada iteração envolve dois passos:
 - ★ atribuição de instâncias a claustrros
 - ★ recomputação dos valores médios



atribuicao



recomputacao de medias



Clustering por K-Médias: Recomputando as Médias

- Para um conjunto de instâncias que foram atribuídas a um clastro c_j , nós recomparamos a média do clastro como:

$$\mu(c_j) = \frac{\sum_{\vec{x}_i \in c_j} \vec{x}_i}{|c_j|}$$

Clustering por K-Médias

1. dados: um conjunto $X = \{\vec{x}_1 \dots \vec{x}_n\}$ de instâncias

2. selecione k centros iniciais de claustros $f_1 \dots f_k$

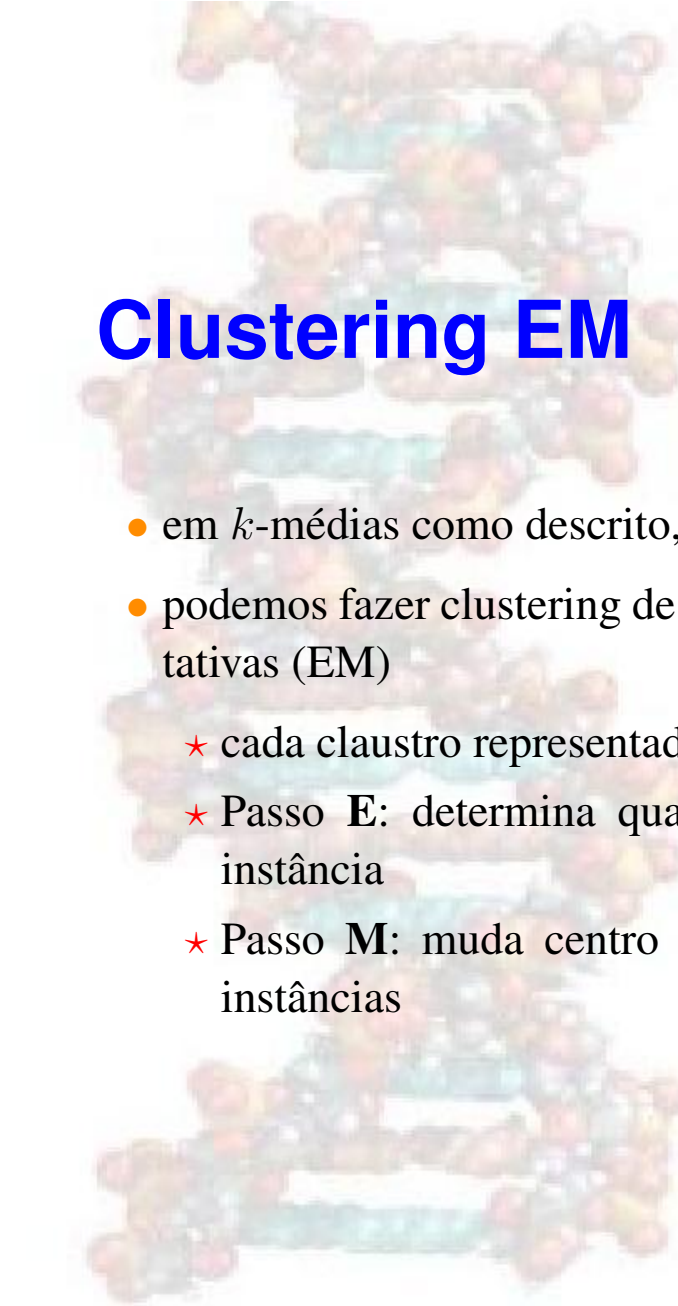
3. Enquanto o critério de parada não se verificar, faça:

(a) para cada cluster c_j faça

$$c_j = \{x_i \mid \forall f_l \quad \text{sim}(\vec{x}_i, f_j) \geq \text{sim}(\vec{x}_i, f_l)\}$$

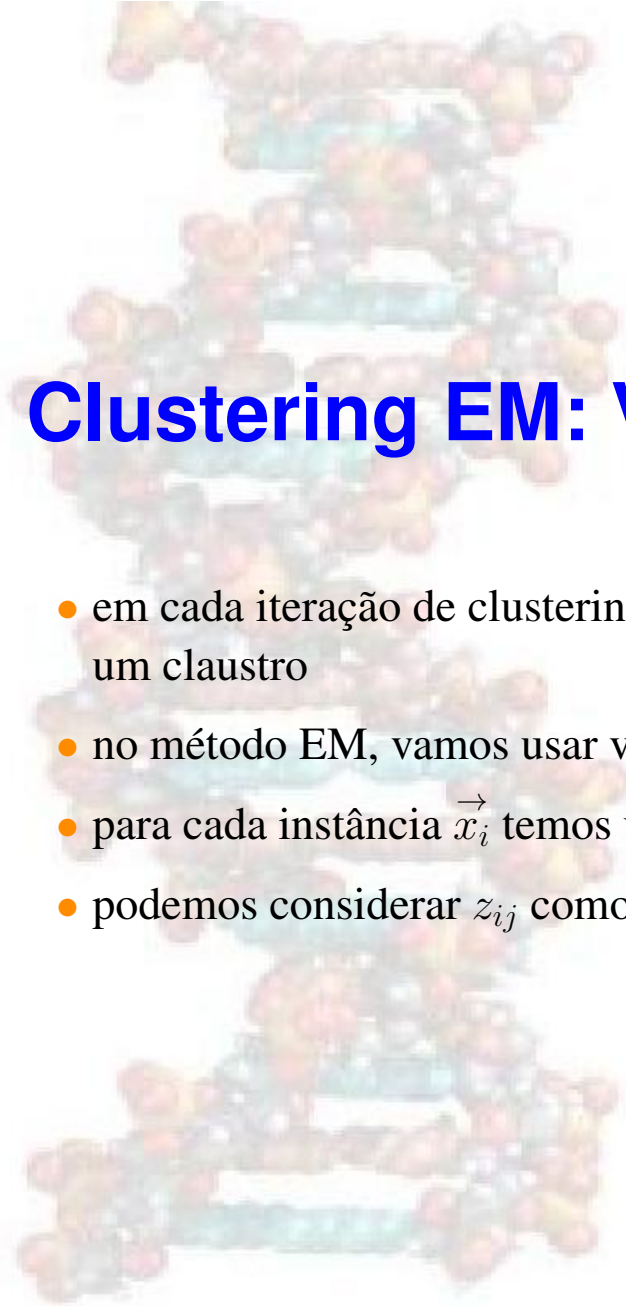
(b) para todas as médias f_j faça

$$f_j = \mu(c_j)$$



Clustering EM

- em k -médias como descrito, instâncias são atribuídas a um e apenas a um clastro
- podemos fazer clustering de k -médias via um algoritmo de Maximização de Expectativas (EM)
 - ★ cada clastro representado por uma distribuição (e.g., um Gaussiano)
 - ★ Passo **E**: determina qual é a probabilidade de que cada clastro gere cada instância
 - ★ Passo **M**: muda centro de clastros de forma a maximizar o likelihood das instâncias



Clustering EM: Variáveis Escondidas

- em cada iteração de clustering por k-médias, tínhamos que atribuir cada instância a um clastro
- no método EM, vamos usar variáveis escondidas para representar essa ideia
- para cada instância \vec{x}_i temos um conjunto de variáveis escondidas z_{i1}, \dots, z_{ik}
- podemos considerar z_{ij} como sendo 1 se \vec{x}_i fôr um membro do clastro c_j e 0 senão

Representação de Clusters

- No método EM, vamos representar cada cluster usando uma variável m-dimensional multivariada gaussiana

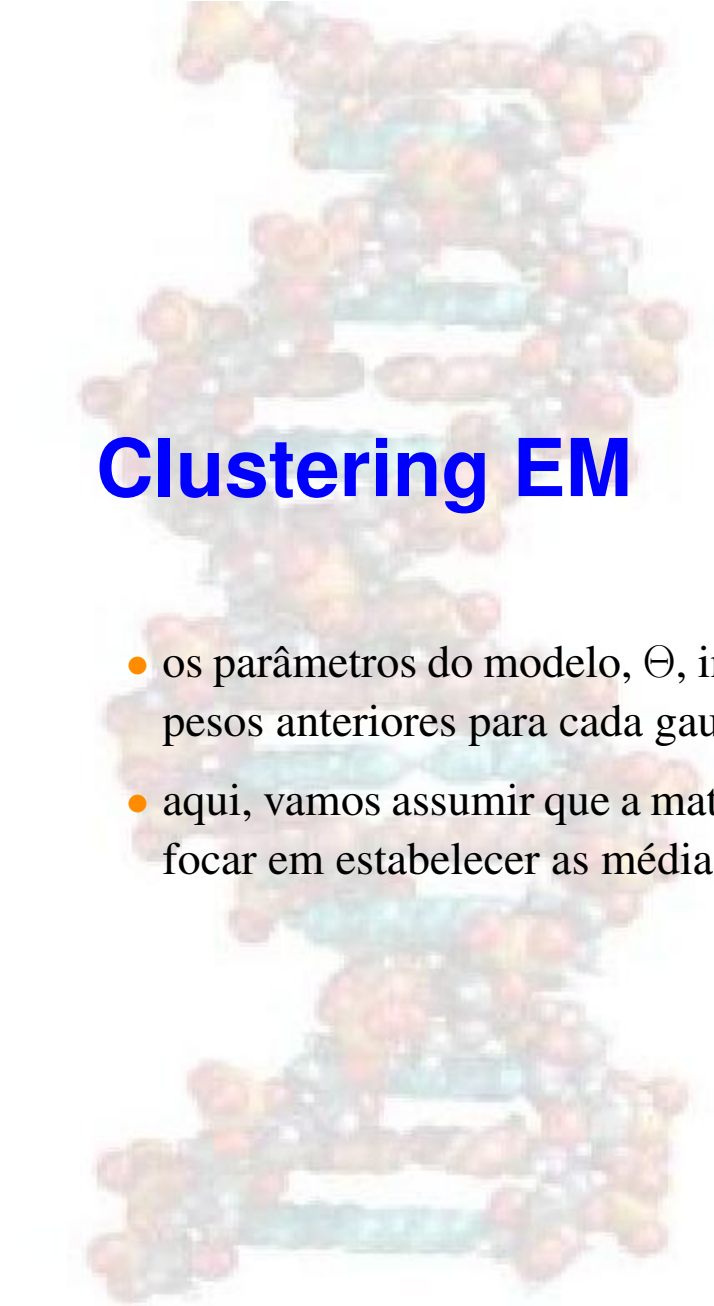
$$N_j(\vec{x}_i) = \frac{1}{\sqrt{(2\pi)^m |\Sigma_j|}} \exp \left[-\frac{1}{2} (\vec{x}_i - \vec{\mu}_j)^T (\Sigma_j)^{-1} (\vec{x}_i - \vec{\mu}_j) \right]$$

- onde:
 - ★ $\vec{\mu}_j$ é a média da gaussiana
 - ★ Σ_j é a matriz de covariância

Clustering EM

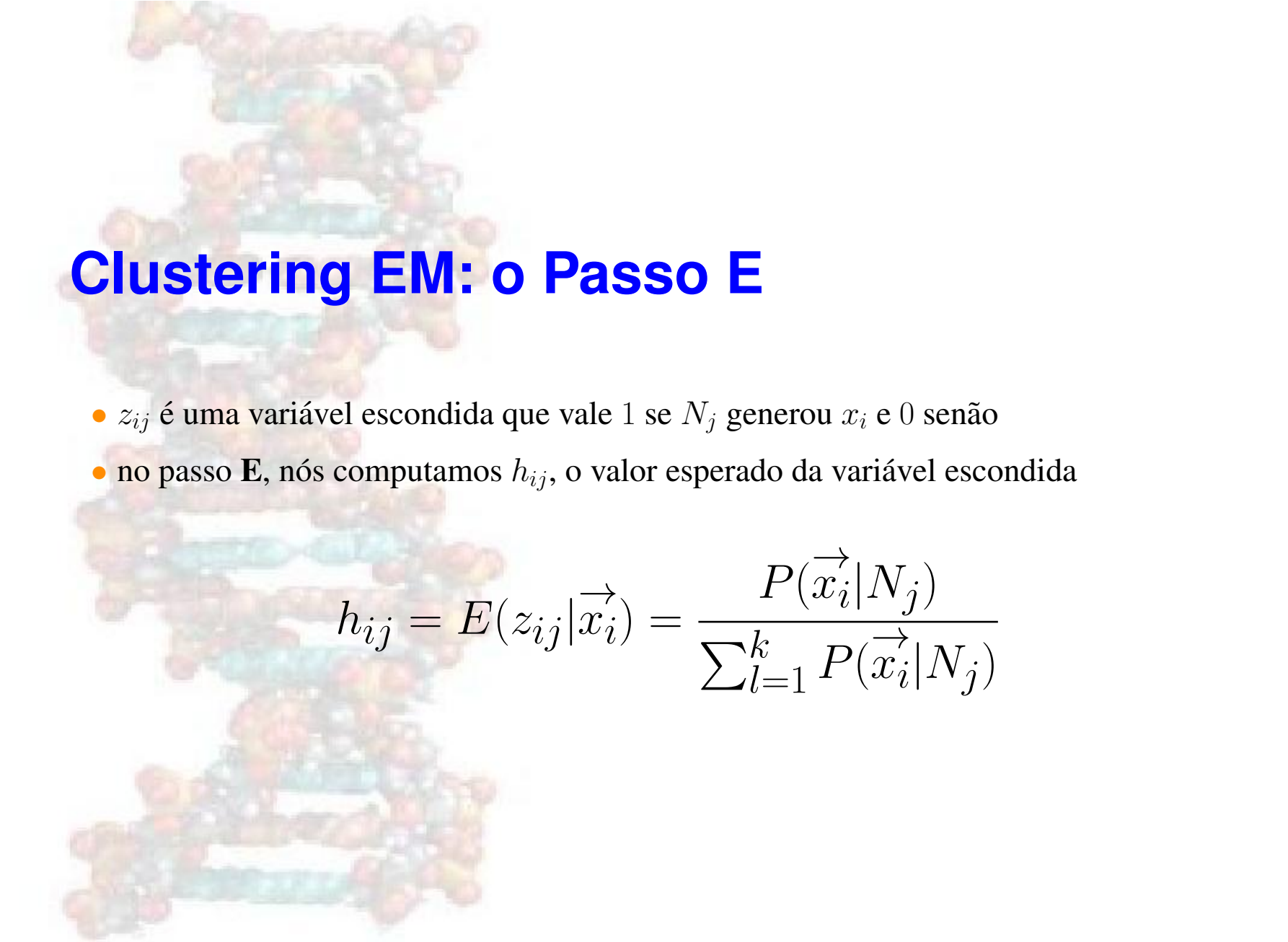
- O algoritmo de EM tenta colocar os parâmetros da gaussiana, Θ , para maximizar a log likelihood dos dados, X

$$\begin{aligned}\log \text{likelihood}(X|\Theta) &= \log \prod_{i=1}^n P(\vec{x}_i) \\ &= \log \prod_{i=1}^n \sum_{j=1}^k N_j(\vec{x}_i) \\ &= \sum_{i=1}^n \log \sum_{j=1}^k N_j(\vec{x}_i)\end{aligned}$$



Clustering EM

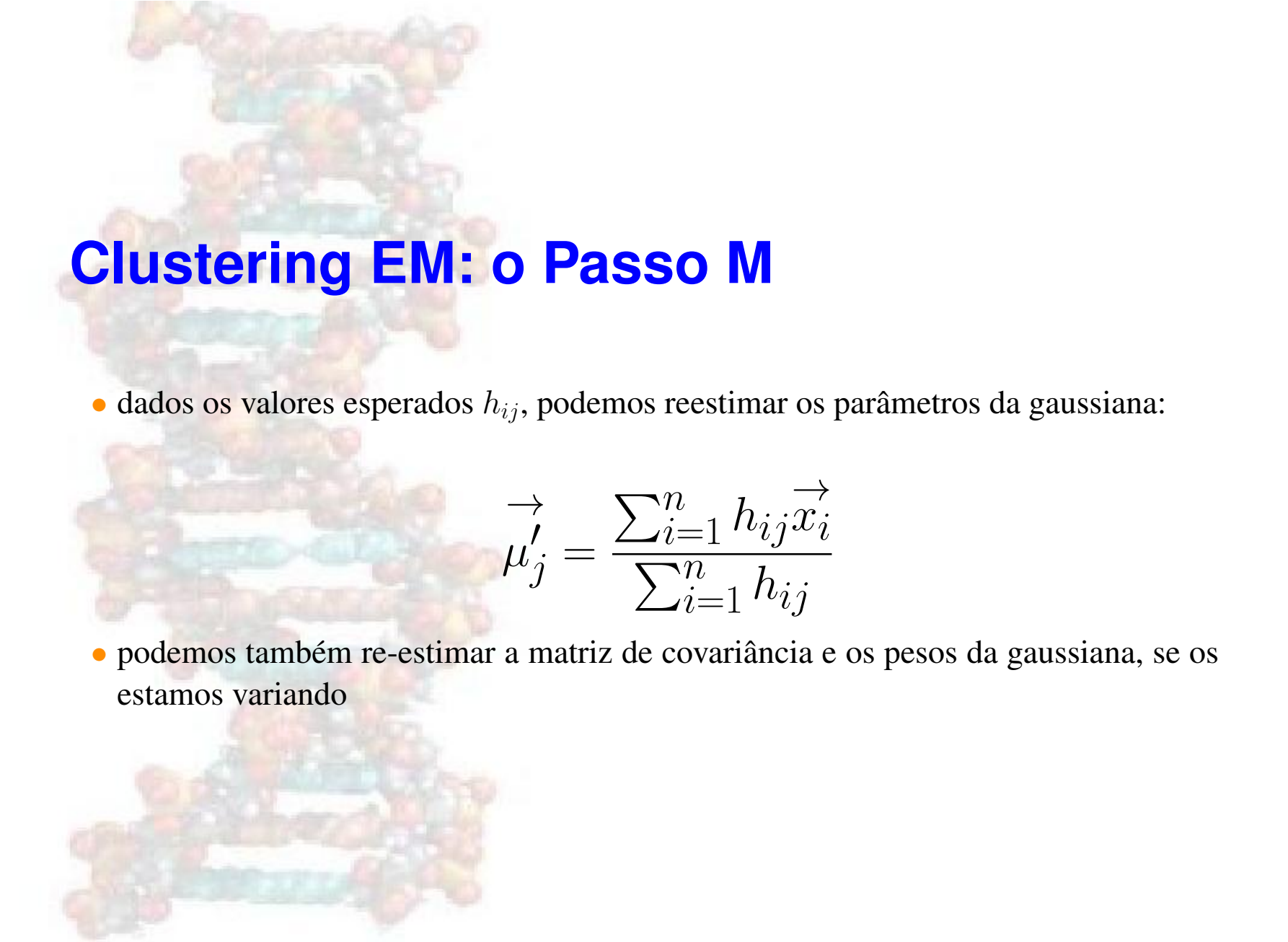
- os parâmetros do modelo, Θ , incluem as médias, a matriz de covariância e às vezes pesos anteriores para cada gaussiana
- aqui, vamos assumir que a matriz de covariância e os pesos prévios são fixos; vamos focar em estabelecer as médias



Clustering EM: o Passo E

- z_{ij} é uma variável escondida que vale 1 se N_j generou x_i e 0 senão
- no passo **E**, nós computamos h_{ij} , o valor esperado da variável escondida

$$h_{ij} = E(z_{ij} | \vec{x}_i) = \frac{P(\vec{x}_i | N_j)}{\sum_{l=1}^k P(\vec{x}_i | N_l)}$$

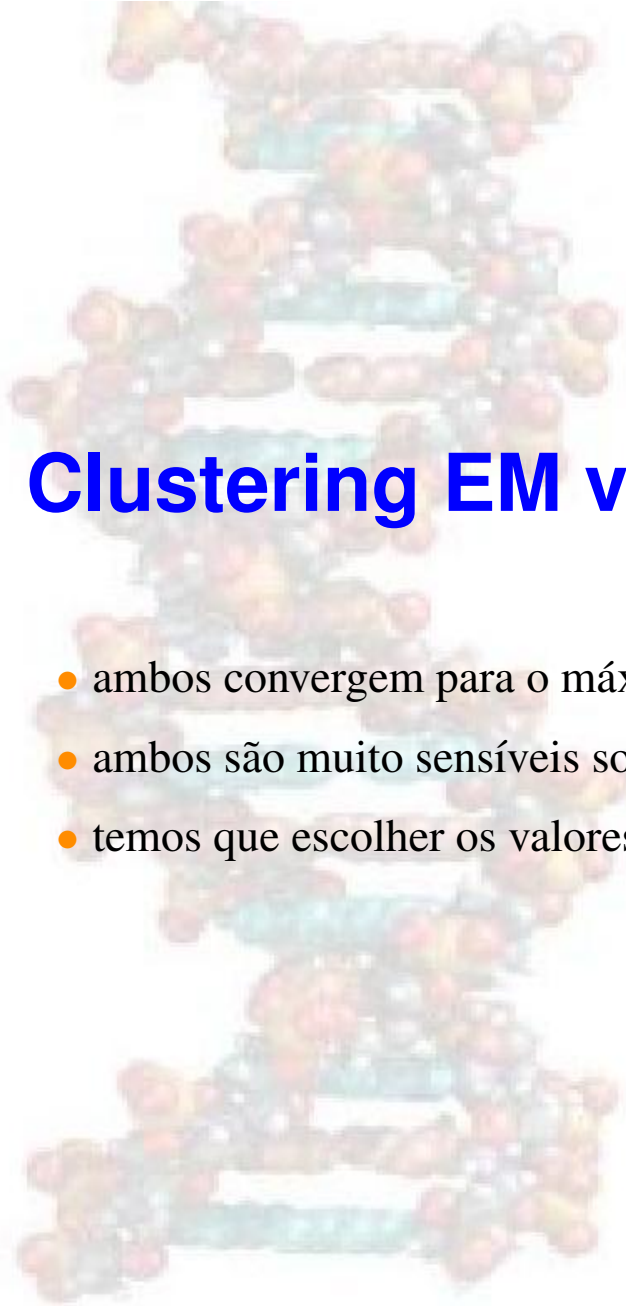


Clustering EM: o Passo M

- dados os valores esperados h_{ij} , podemos reestimar os parâmetros da gaussiana:

$$\vec{\mu}'_j = \frac{\sum_{i=1}^n h_{ij} \vec{x}_i}{\sum_{i=1}^n h_{ij}}$$

- podemos também re-estimar a matriz de covariância e os pesos da gaussiana, se os estamos variando

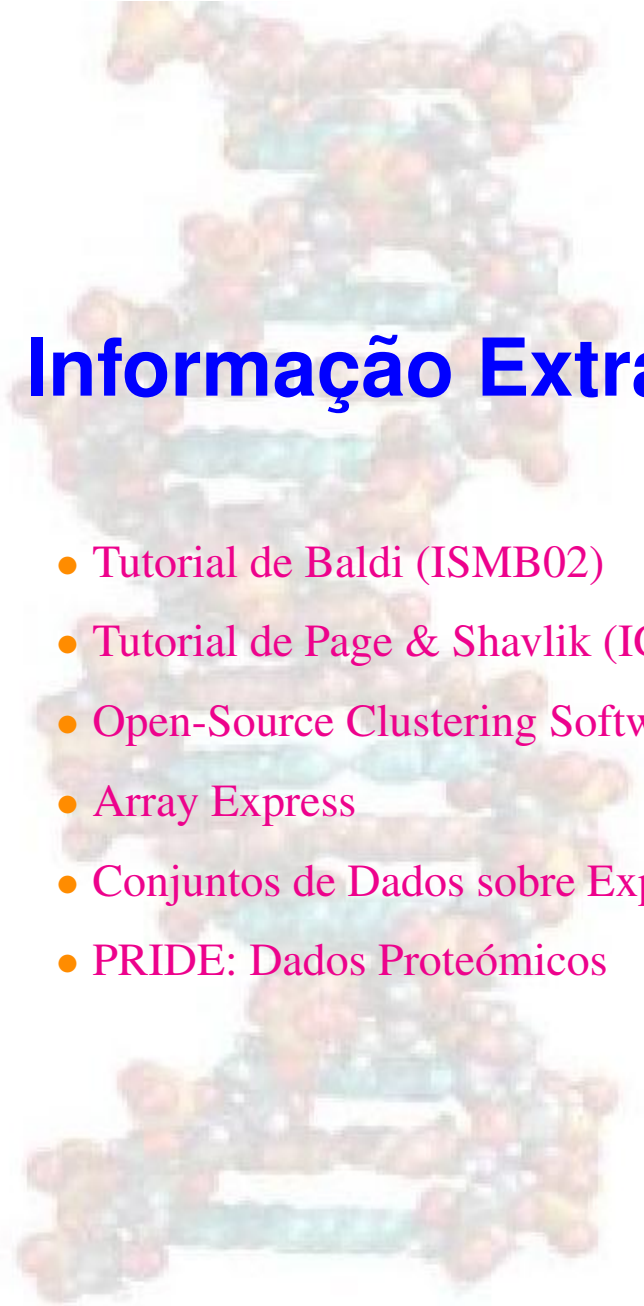


Clustering EM vs K-Médias

- ambos convergem para o máximo local
- ambos são muito sensíveis sobre posições iniciais (médias) de claustrs
- temos que escolher os valores de k para ambos

Avaliação de Métodos de Clustering

- mesmo tendo recebido dados aleatórios sem nenhuma estrutura, algoritmos de clustering devolvem claustrs
- Avaliação:
 - ★ Claustrs correspondem a categorias naturais?
 - ★ Categorias dos claustrs são interessantes (há muitas maneiras de particionar os dados)?
 - ★ Se usarmos métodos probabilísticos (e.g., EM) podemos questionar: quais as probabilidades dos dados para teste?
 - ★ como é que métodos de clustering optimisam semelhança entre os claustrs e dissemelhança entre claustrs?



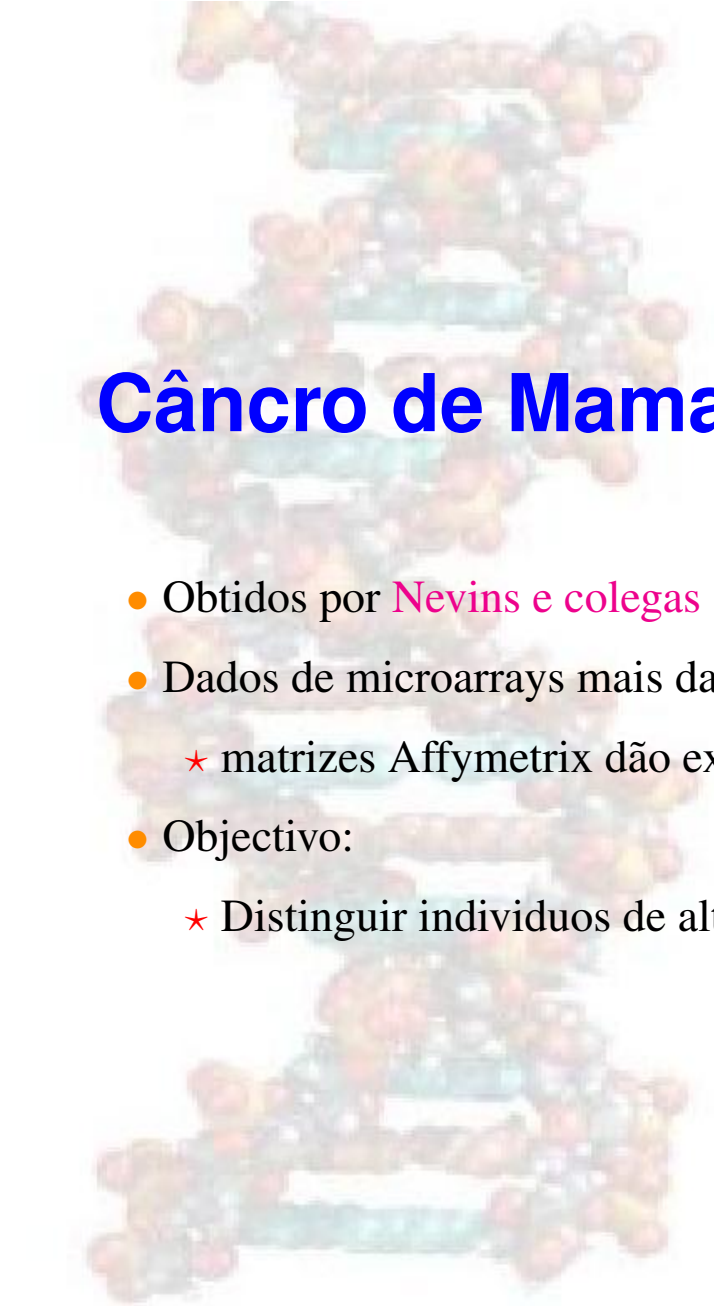
Informação Extra

- Tutorial de Baldi (ISMB02)
- Tutorial de Page & Shavlik (ICML03)
- Open-Source Clustering Software
- Array Express
- Conjuntos de Dados sobre Expressão de Genes
- PRIDE: Dados Proteómicos



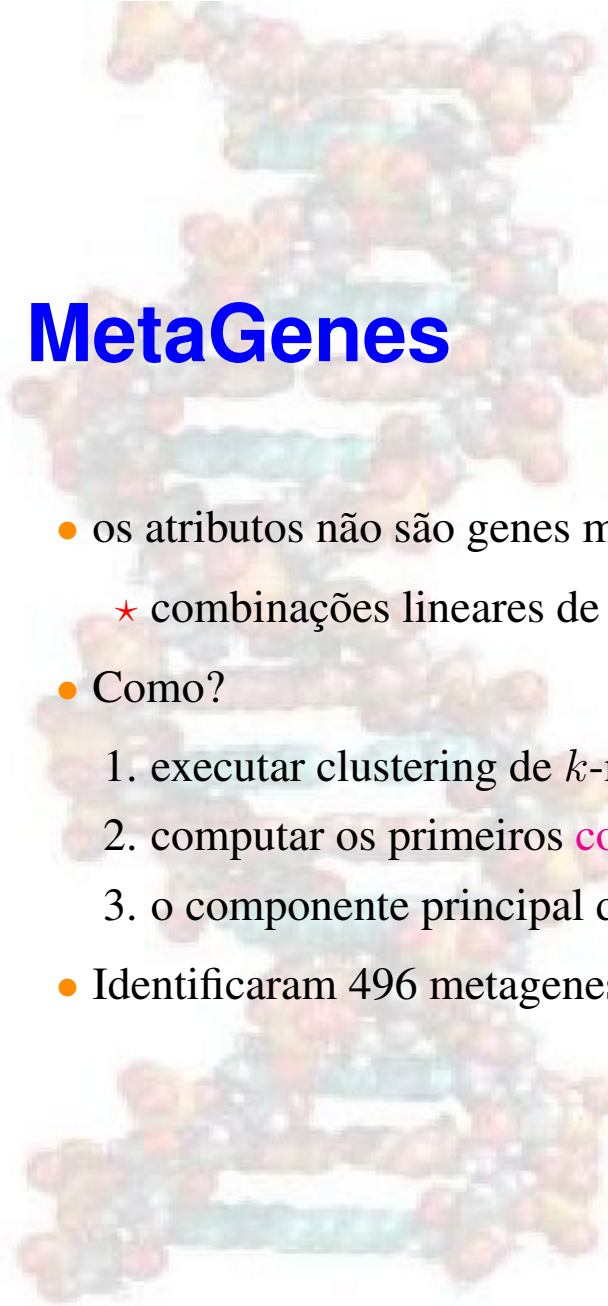
Classificação Com Expressão de Genes

- dados:**
- Perfis de expressão para um conjunto de genes/indivíduos/pontos temporais/localizações
 - Uma etiqueta para cada perfil
- faça:**
- *aprenda* um modelo capaz de prever etiqueta para novos perfis



Câncer de Mama

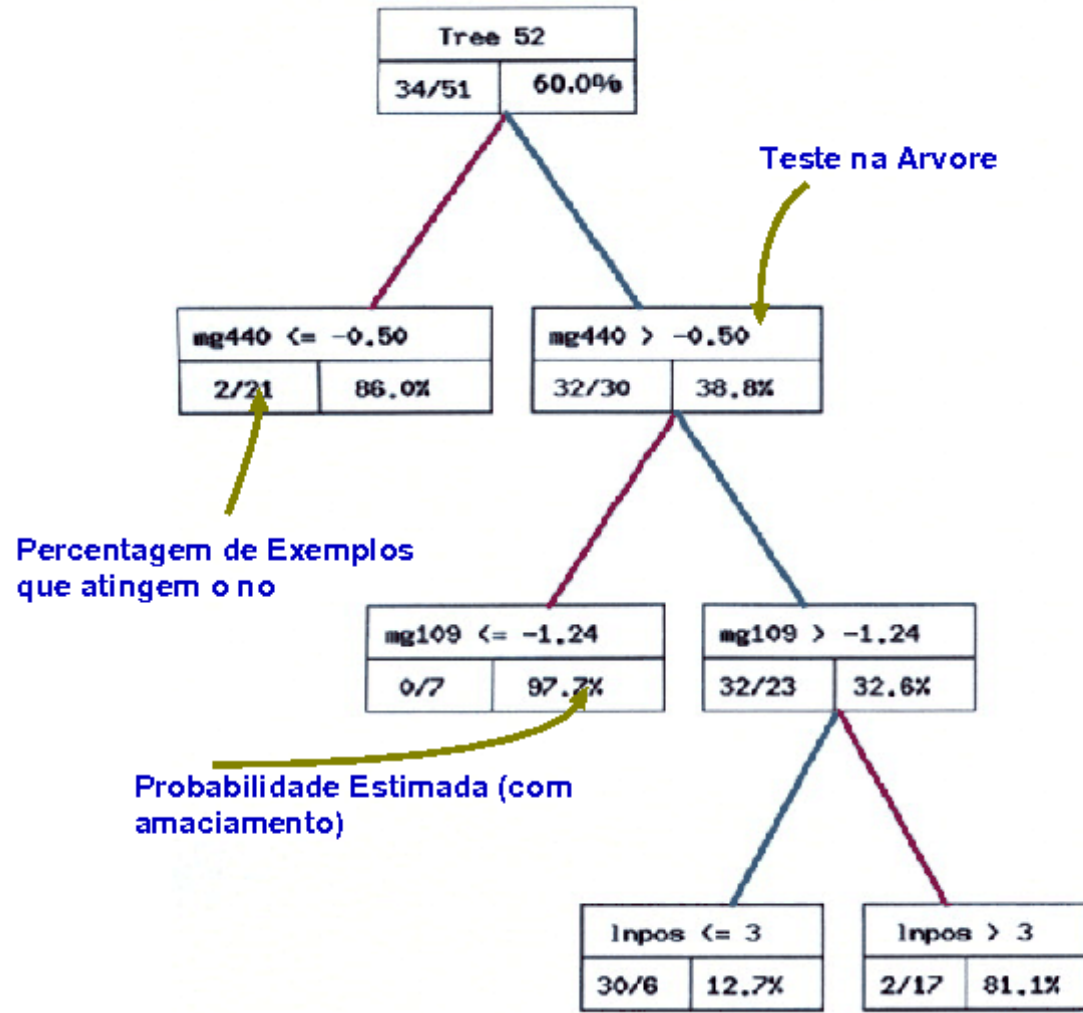
- Obtidos por **Nevins e colegas**
- Dados de microarrays mais dados clínicos de 86 doentes com
 - ★ matrizes Affymetrix dão expressão de 12625 genes
- Objectivo:
 - ★ Distinguir indivíduos de alto risco (recorrência ≤ 5 anos) e baixo risco.



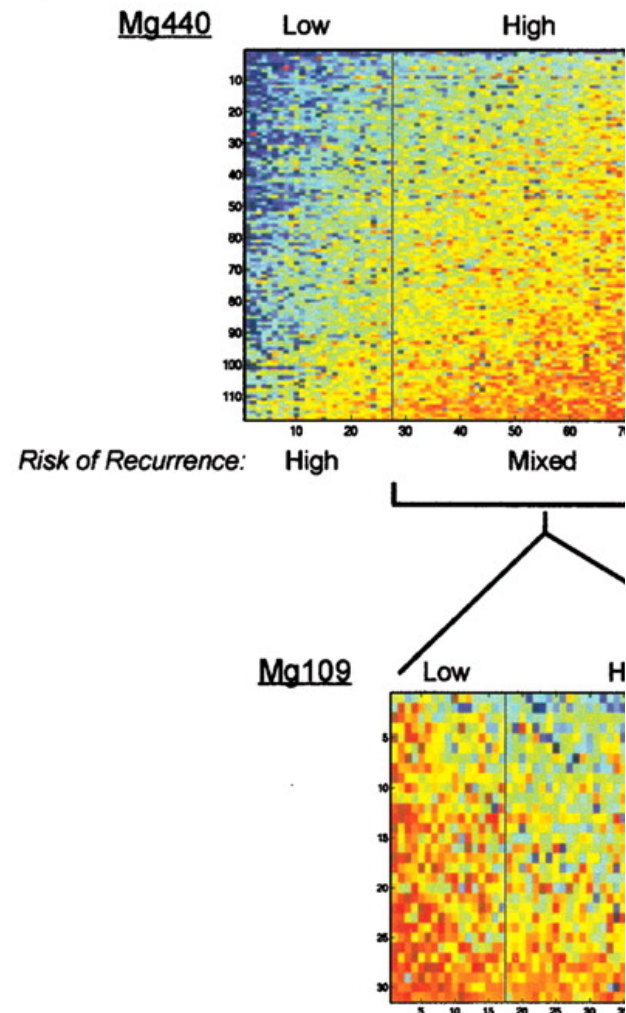
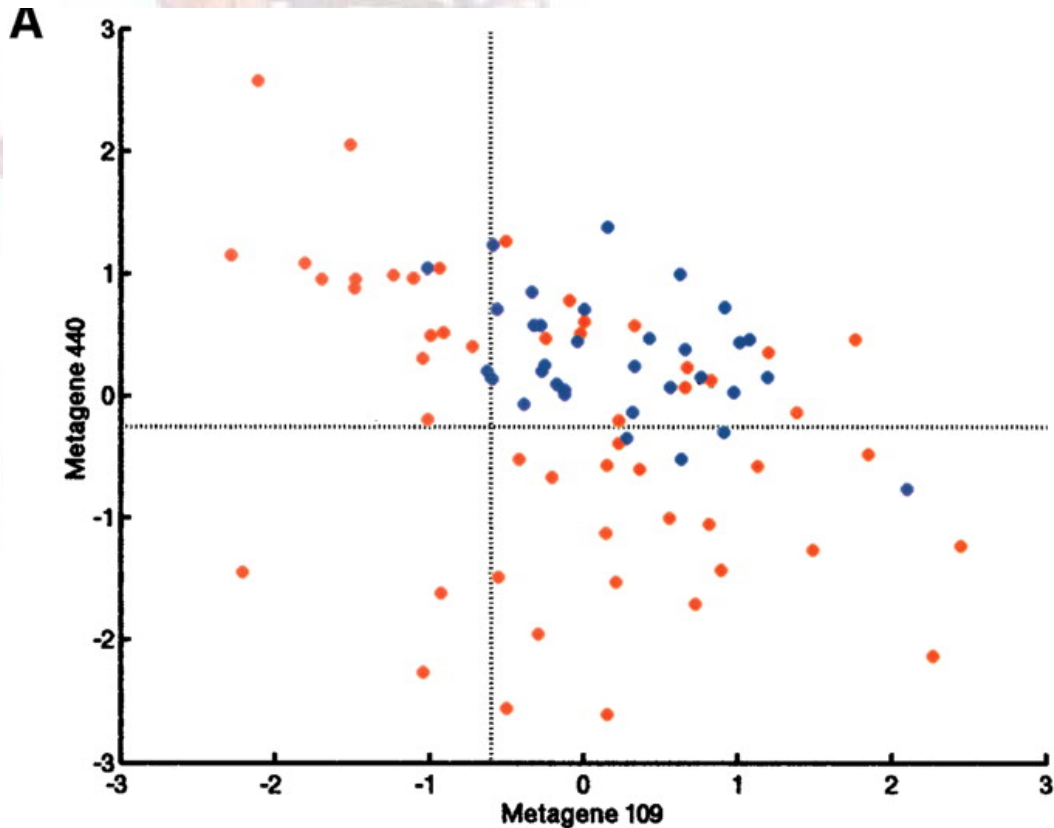
MetaGenes

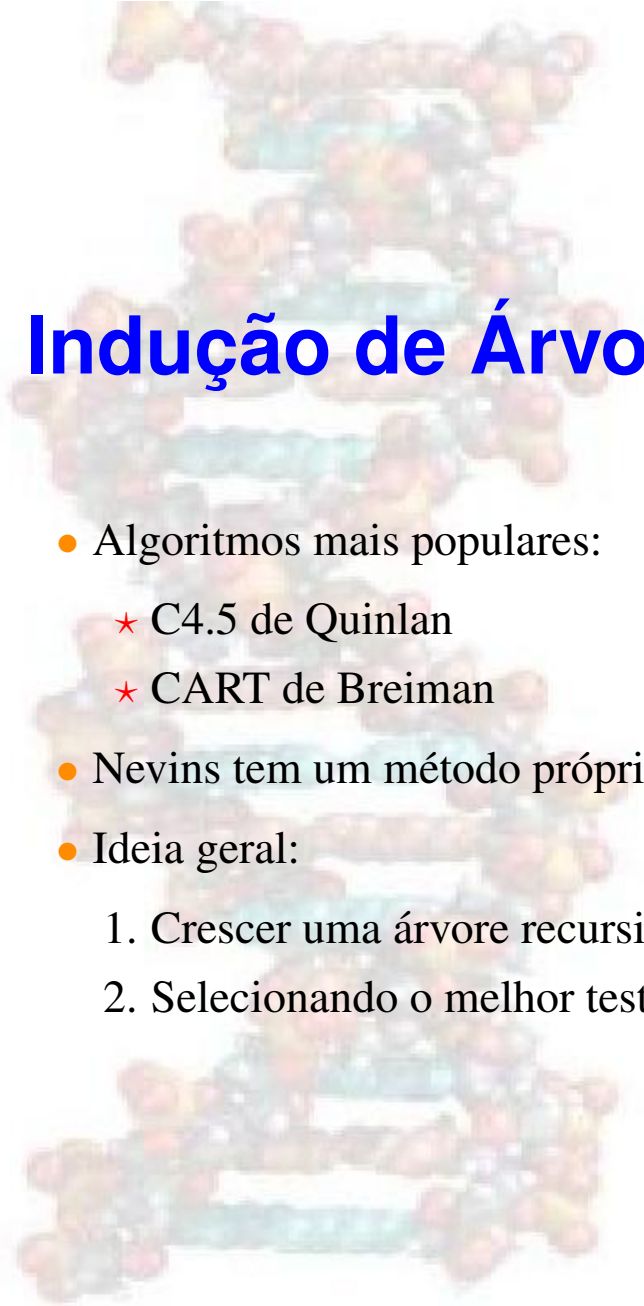
- os atributos não são genes mas sim *grupos de genes*:
 - ★ combinações lineares de grupos de genes
- Como?
 1. executar clustering de k -médias ($k=500$) no data-set original
 2. computar os primeiros **components principais**
 3. o componente principal de cada cluster é um metagene
- Identificaram 496 metagenes

Árvores de Classificação Probabilísticas



Aprender por Divisões nos Eixos





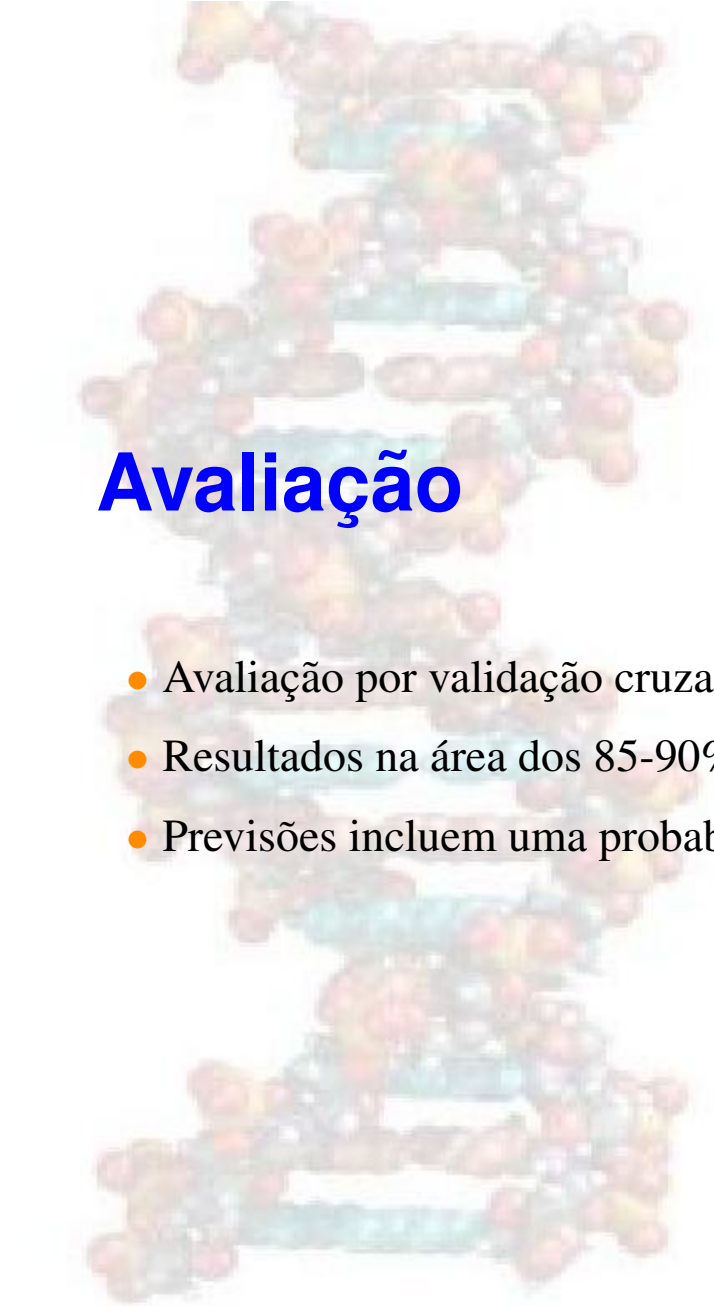
Indução de Árvores de Decisão

- Algoritmos mais populares:
 - ★ C4.5 de Quinlan
 - ★ CART de Breiman
- Nevins tem um método próprio
- Ideia geral:
 1. Crescer uma árvore recursivamente e de cima para baixo
 2. Selecionando o melhor teste

Algoritmo

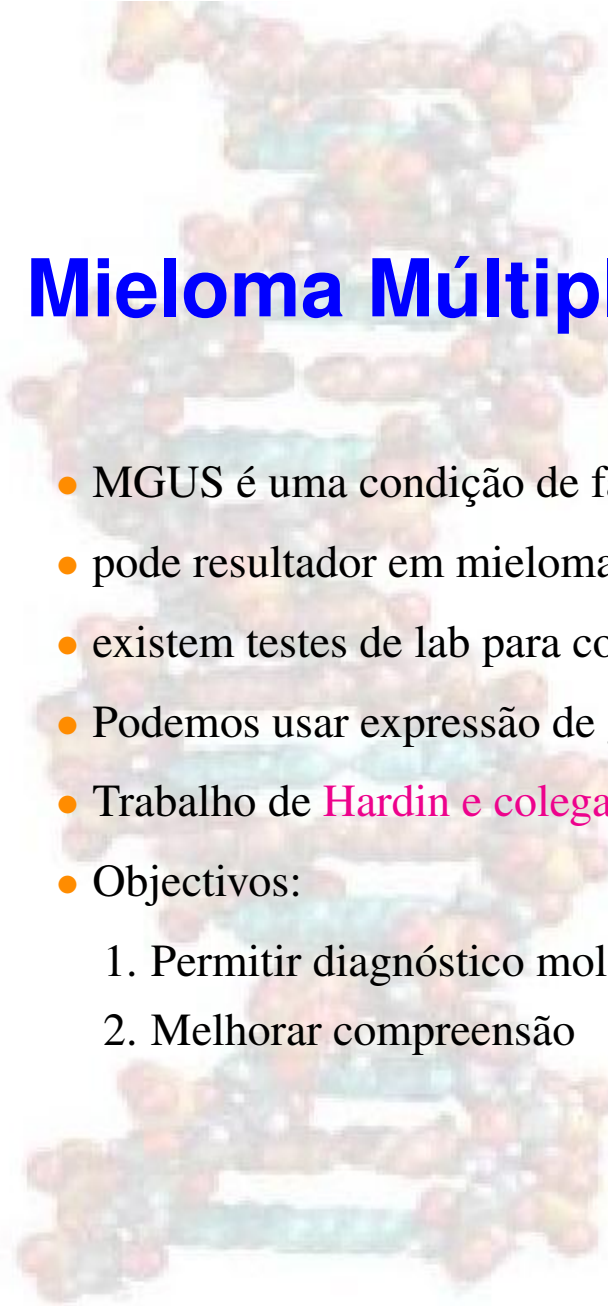
ConstruaArvore(Exemplos)

1. **if** critério de paragem atingido:
 - (a) construa uma folha N
 - (b) determinar etiqueta/probabilidades/valores para N
2. **else**:
 - (a) construir um nó interior
 - (b) Escolher o melhor teste
 - (c) Para cada resultado k do teste
 - i. se $I_k =$ instâncias com resultado k
 - ii. $Folha_k(N) = ConstruaArvore(I_k)$
3. **return** árvore com raíz N



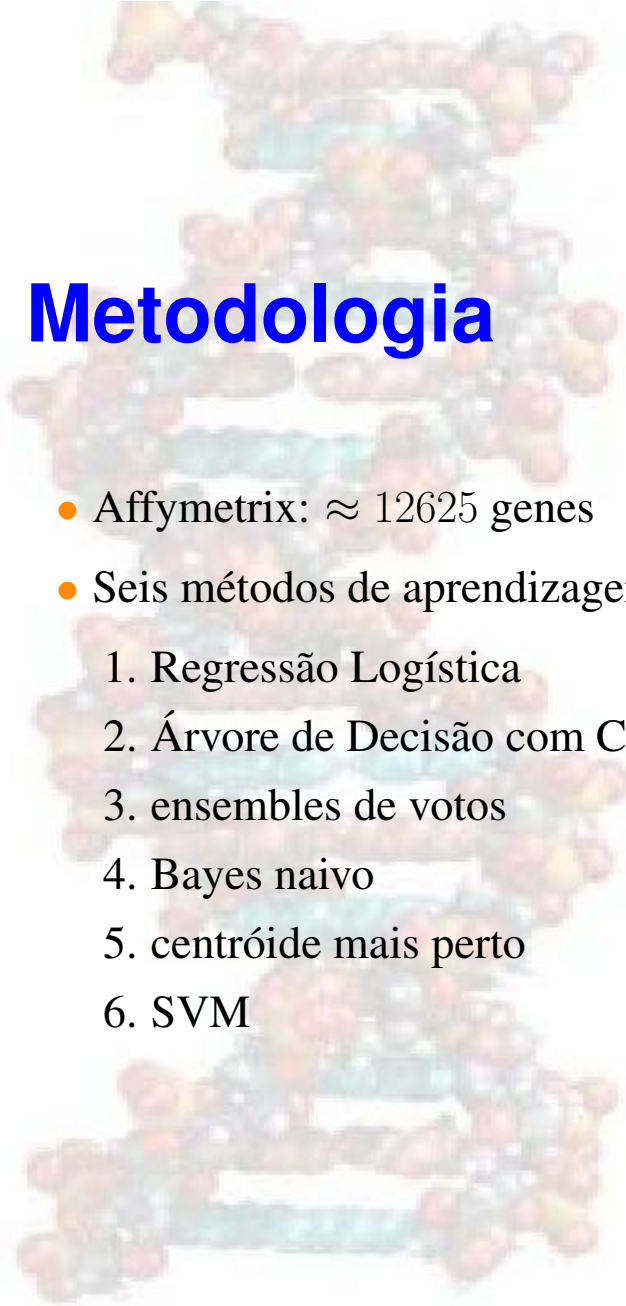
Avaliação

- Avaliação por validação cruzada com *leave-one out*
- Resultados na área dos 85-90%
- Previsões incluem uma probabilidade



Mieloma Múltiplo e MGUS

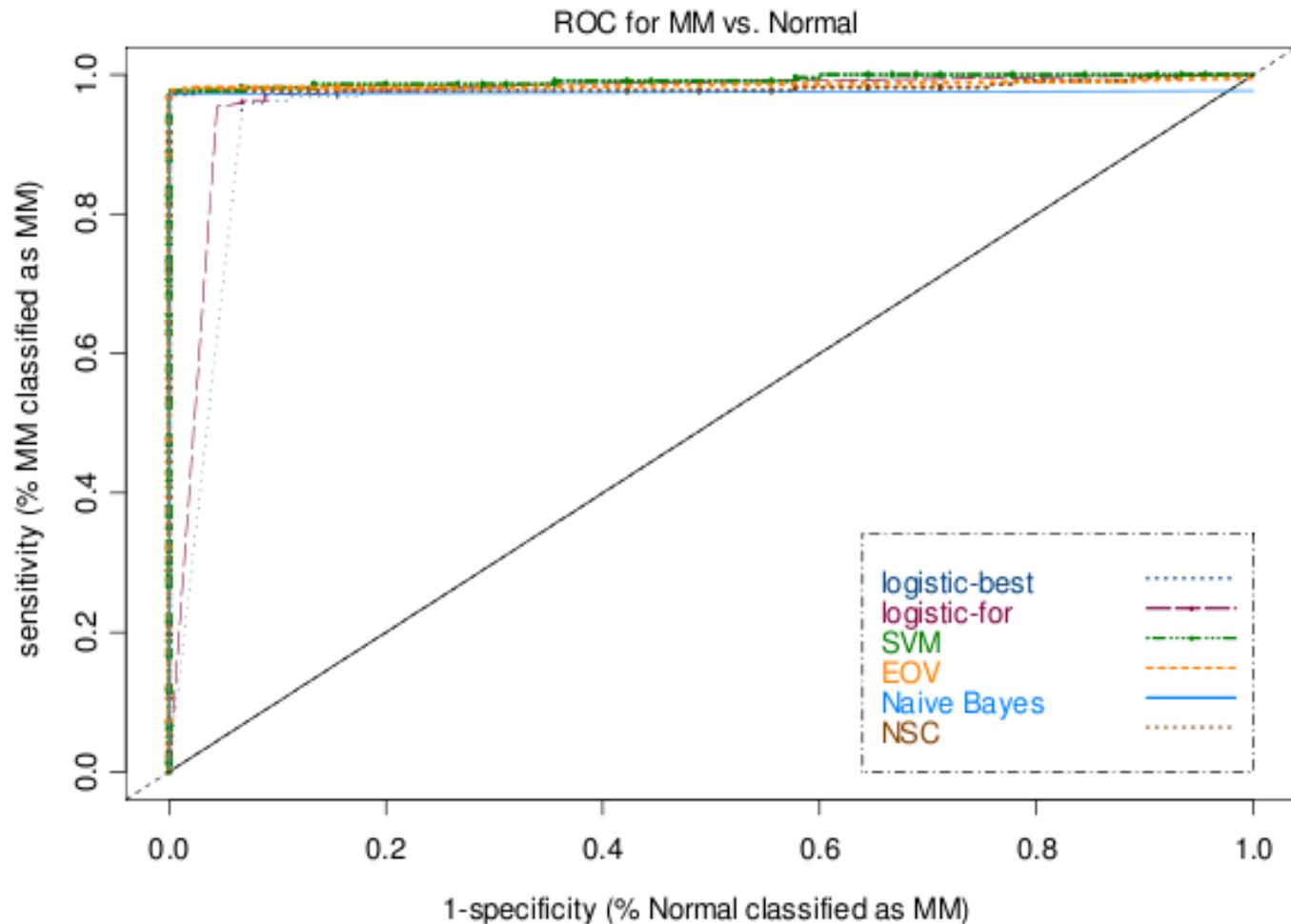
- MGUS é uma condição de falta de uma proteína
- pode resultar em mieloma múltiplo, uma forma de cancro
- existem testes de lab para comparar
- Podemos usar expressão de genes?
- Trabalho de **Hardin e colegas**
- Objectivos:
 1. Permitir diagnóstico molecular
 2. Melhorar compreensão



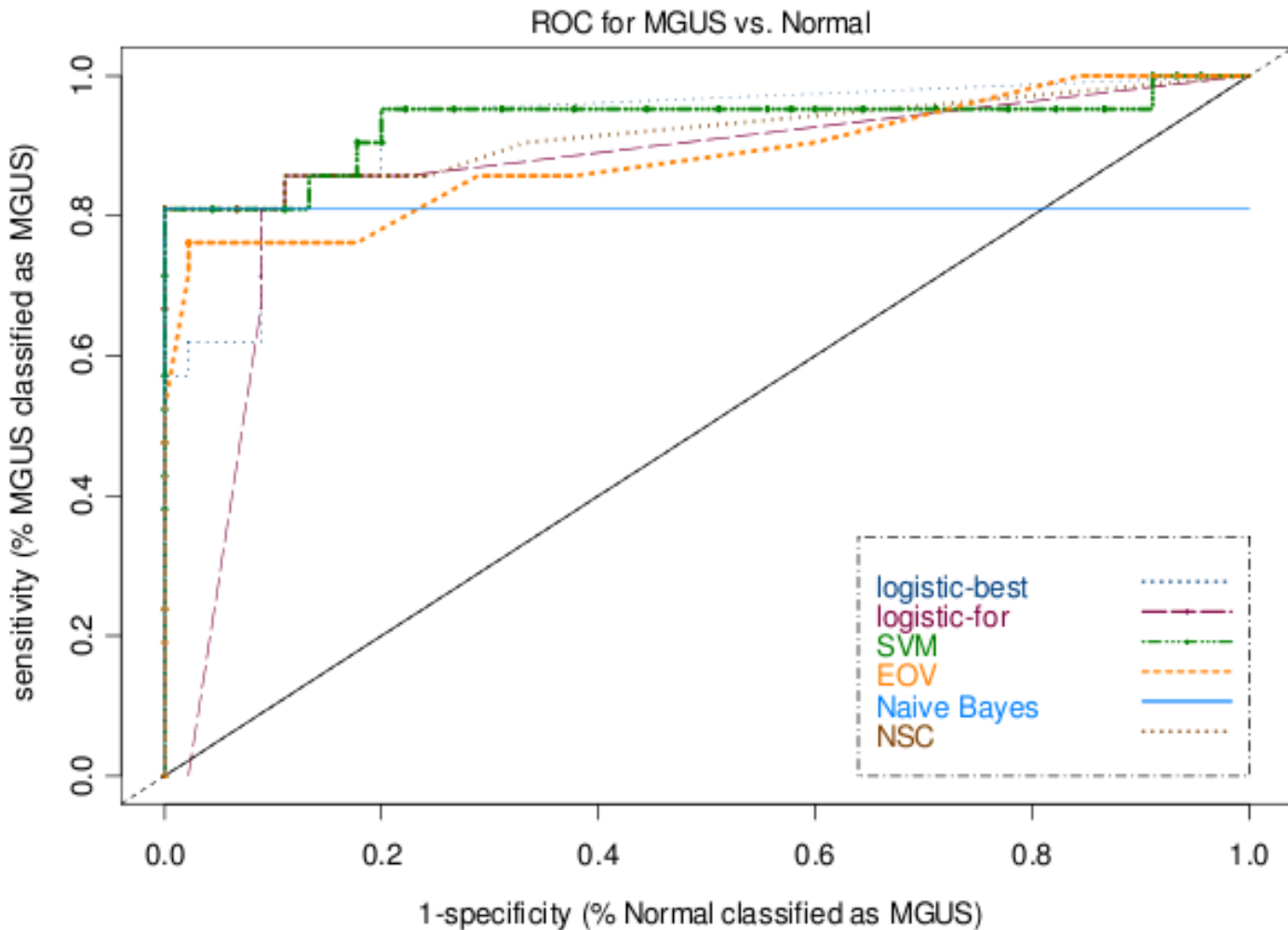
Metodologia

- Affymetrix: ≈ 12625 genes
- Seis métodos de aprendizagem:
 1. Regressão Logística
 2. Árvore de Decisão com C5.0
 3. ensembles de votos
 4. Bayes naivo
 5. centróide mais perto
 6. SVM

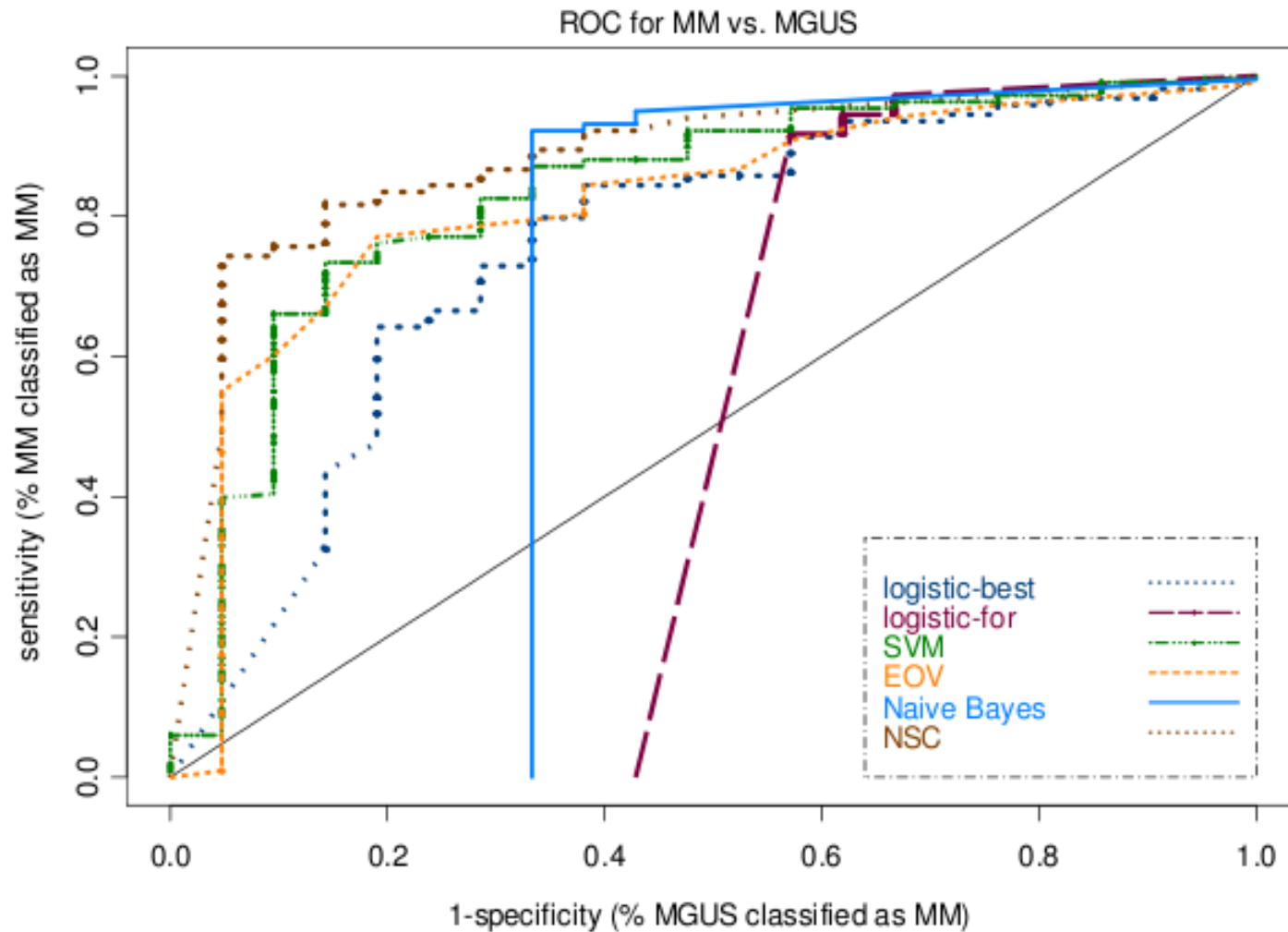
Avaliação Empírica: MM vs Normal



Avaliação Empírica: MGUs vs Normal



Avaliação Empírica: MGUS vs MM

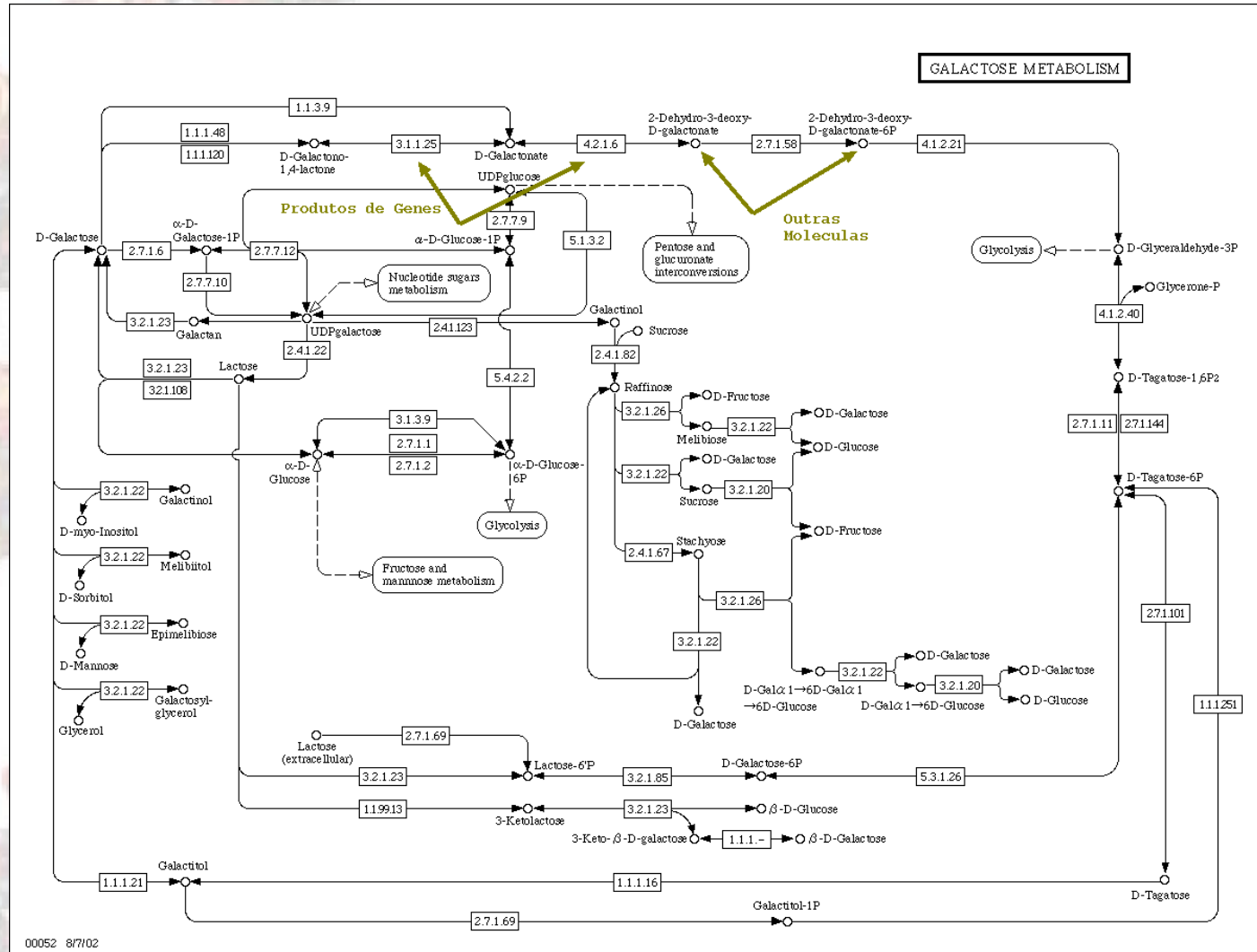




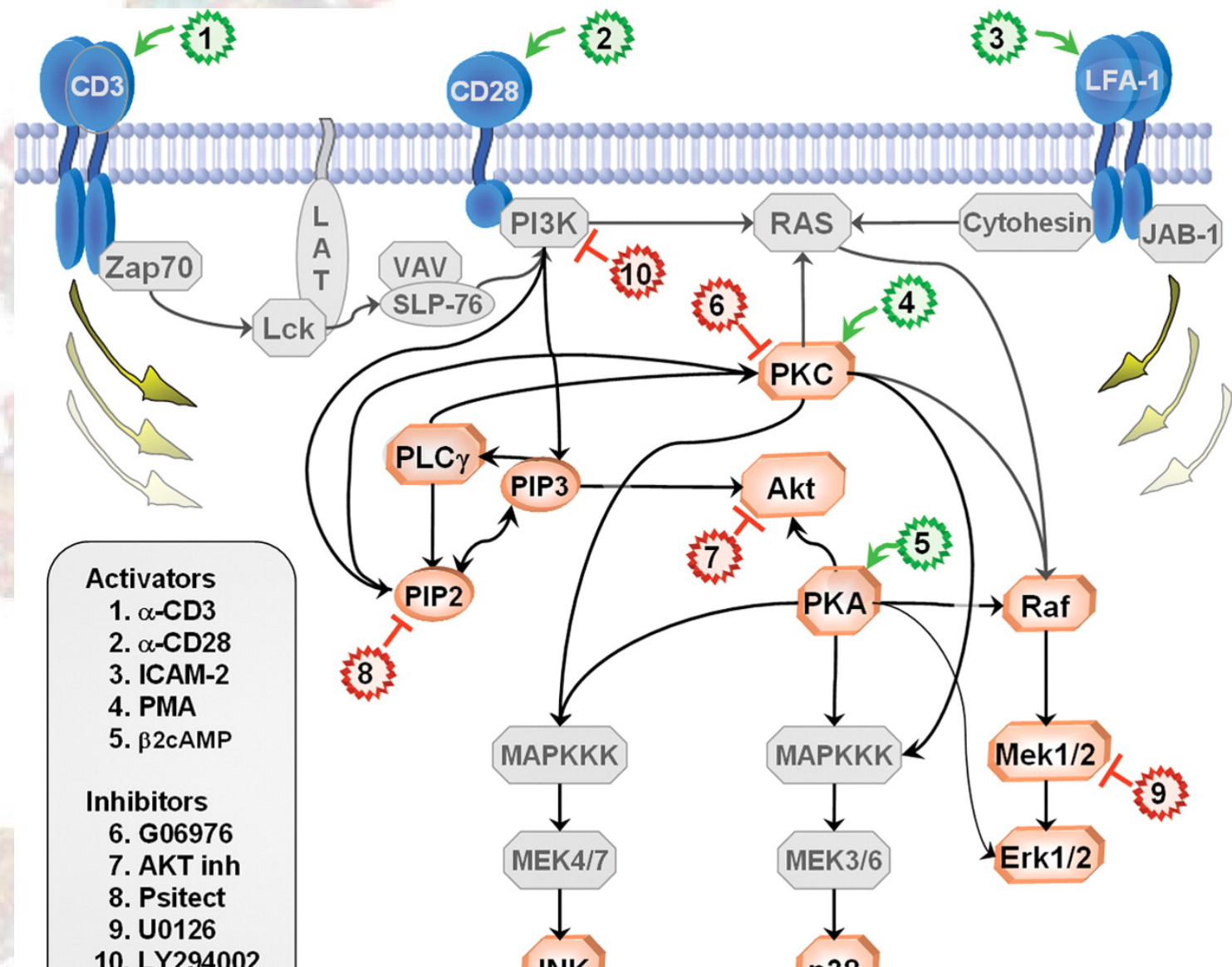
Redes Biológicas

- Metabólicas: reacções onde enzimas intervêm para controlar a conversão de substratos para produtos
- Regulatórias (genéticas): interacções que controlam expressão de genes
- Sinalização: interacções entre proteínas e às vezes moléculas menores que enviam sinais de controle desde fora da célula para o núcleo
- Todas estas redes estão ligadas

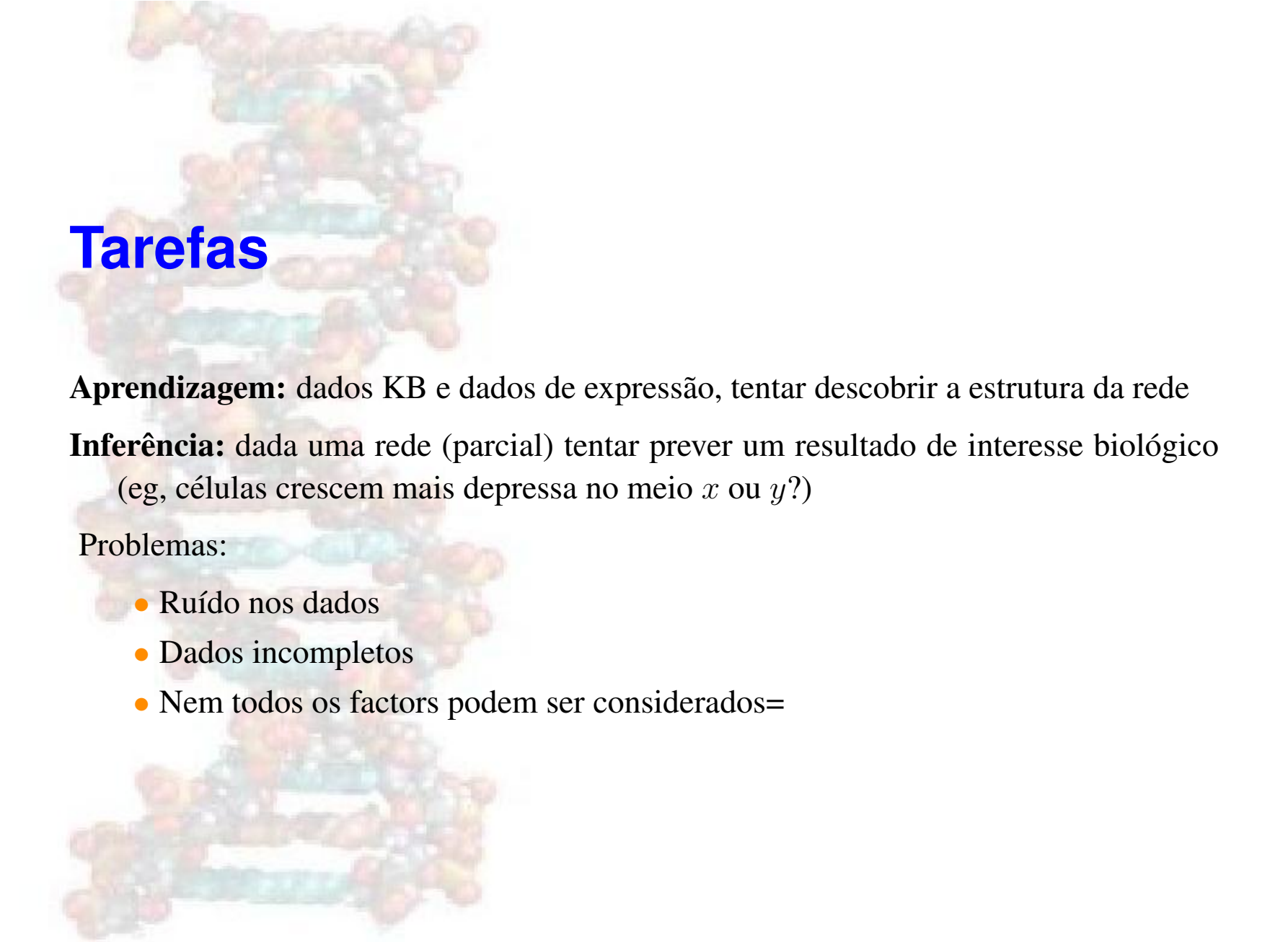
Rede Metabólica



Role of CD28 and LFA-1



- Activators**
1. α-CD3
 2. α-CD28
 3. ICAM-2
 4. PMA
 5. β2cAMP
- Inhibitors**
6. G06976
 7. AKT inh
 8. Psitact
 9. U0126
 10. LY294002



Tarefas

Aprendizagem: dados KB e dados de expressão, tentar descobrir a estrutura da rede

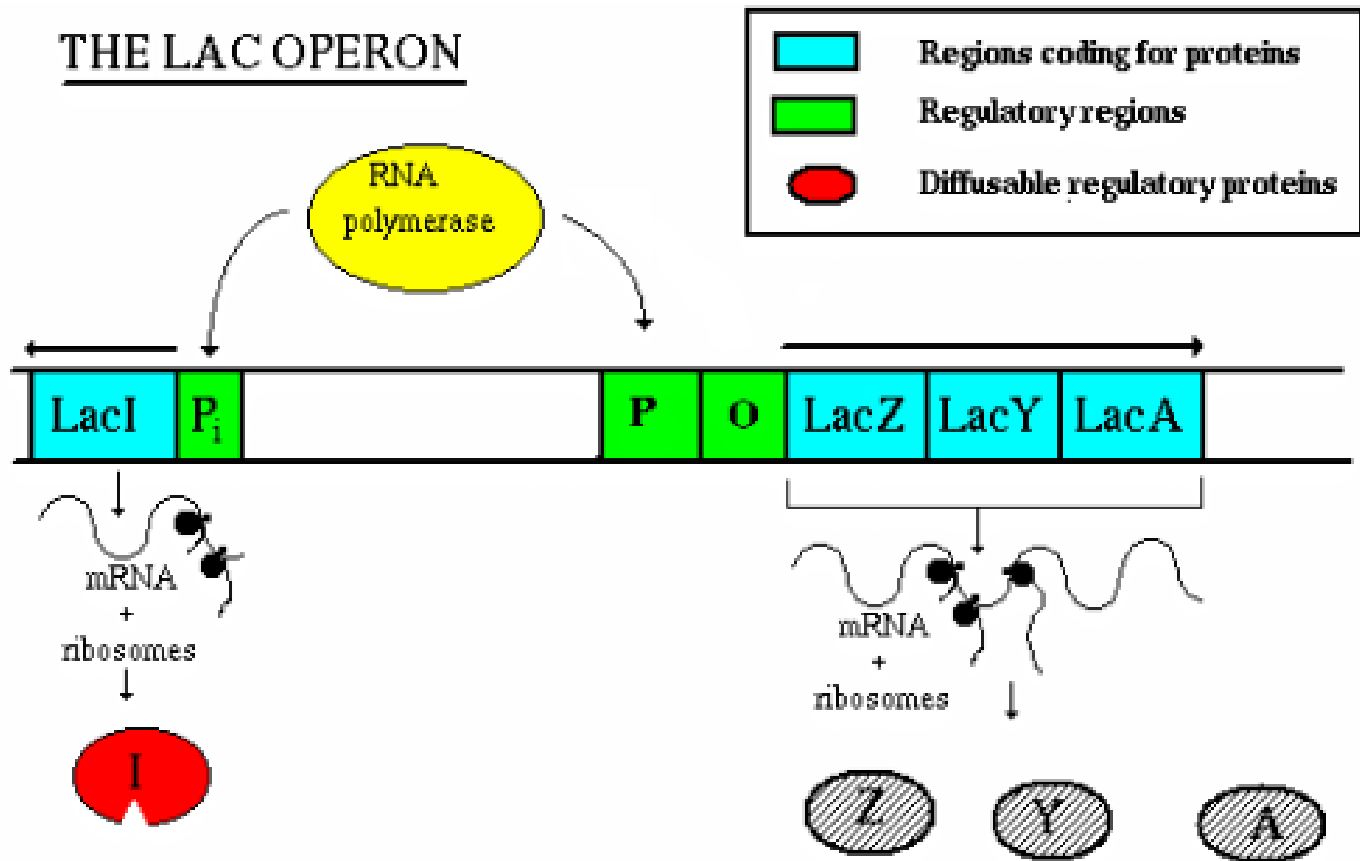
Inferência: dada uma rede (parcial) tentar prever um resultado de interesse biológico (eg, células crescem mais depressa no meio x ou y ?)

Problemas:

- Ruído nos dados
- Dados incompletos
- Nem todos os factors podem ser considerados=

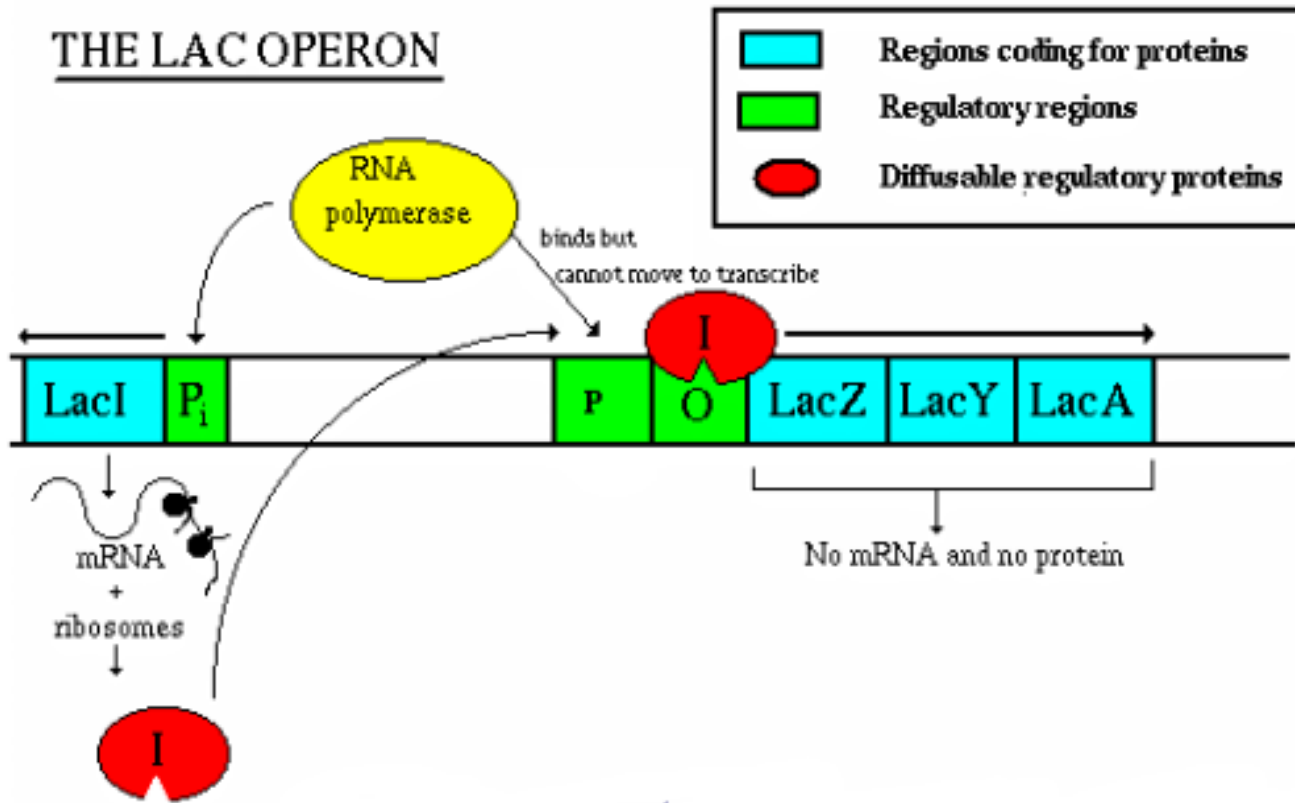
O Operação LAC

- Problema: E-coli pode usar lactose como fonte de energia, mas prefere glucose.
- Como é que ela liga a lactose?



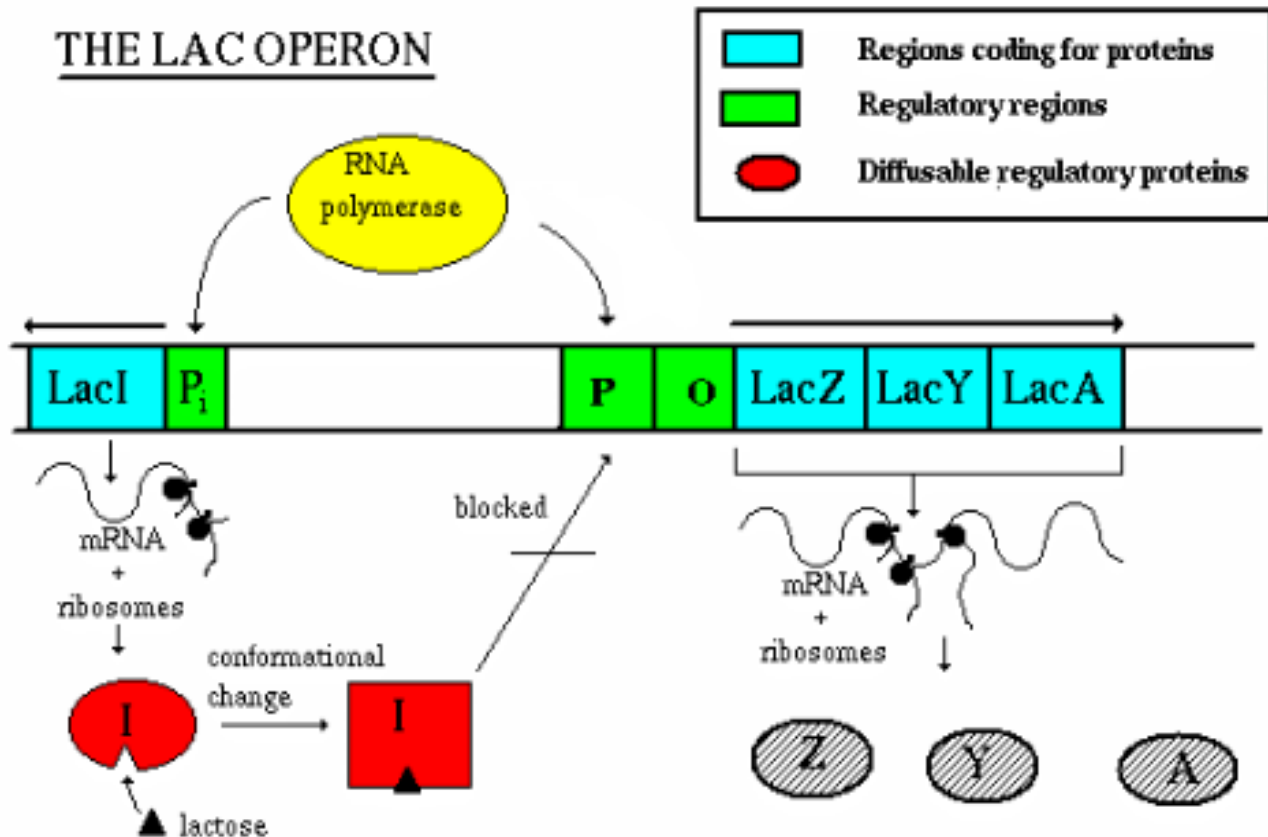
O Operação LAC: Repressão

- Se não há lactose: proteína transcripta por LacI reprime transcrição do operão lac



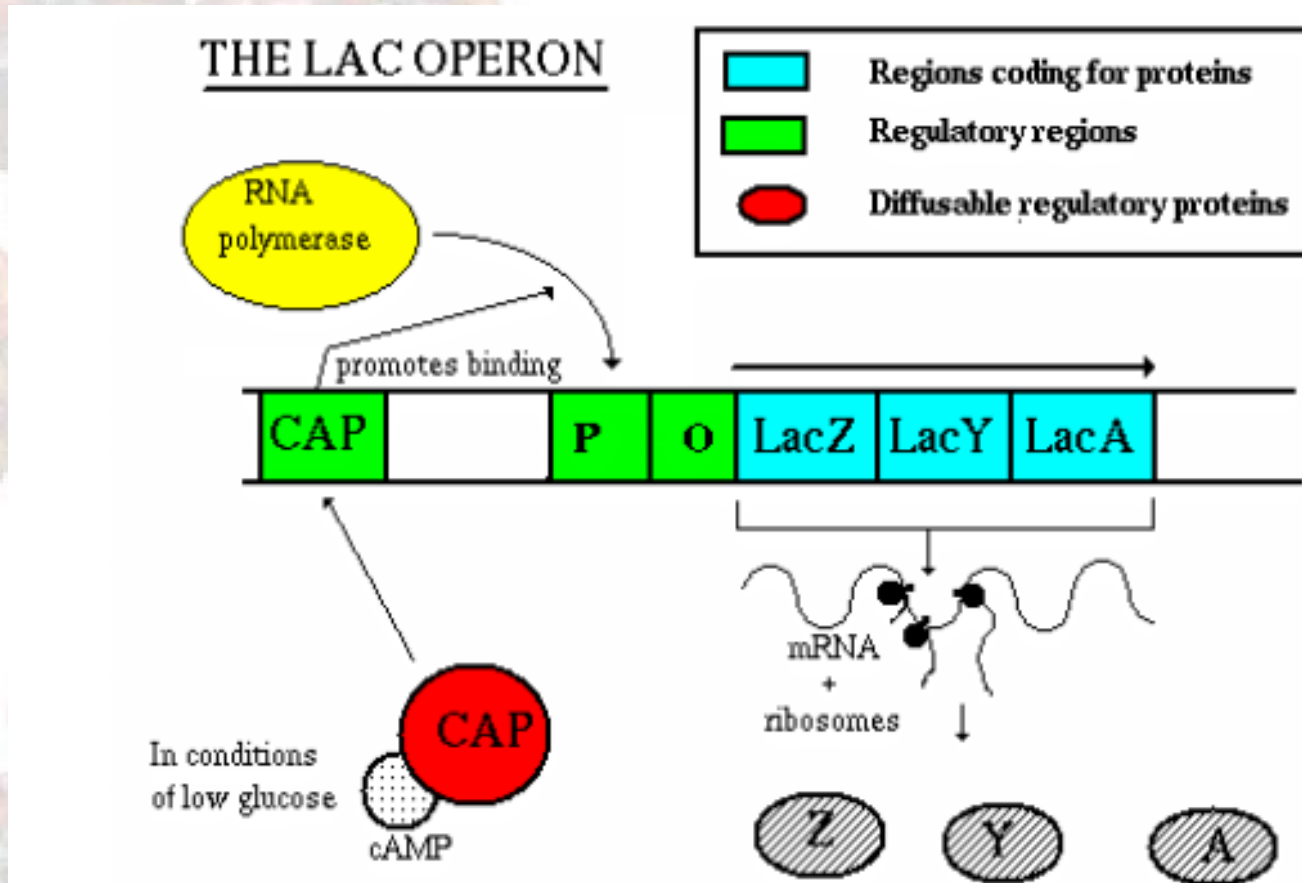
O Operação LAC: Indução

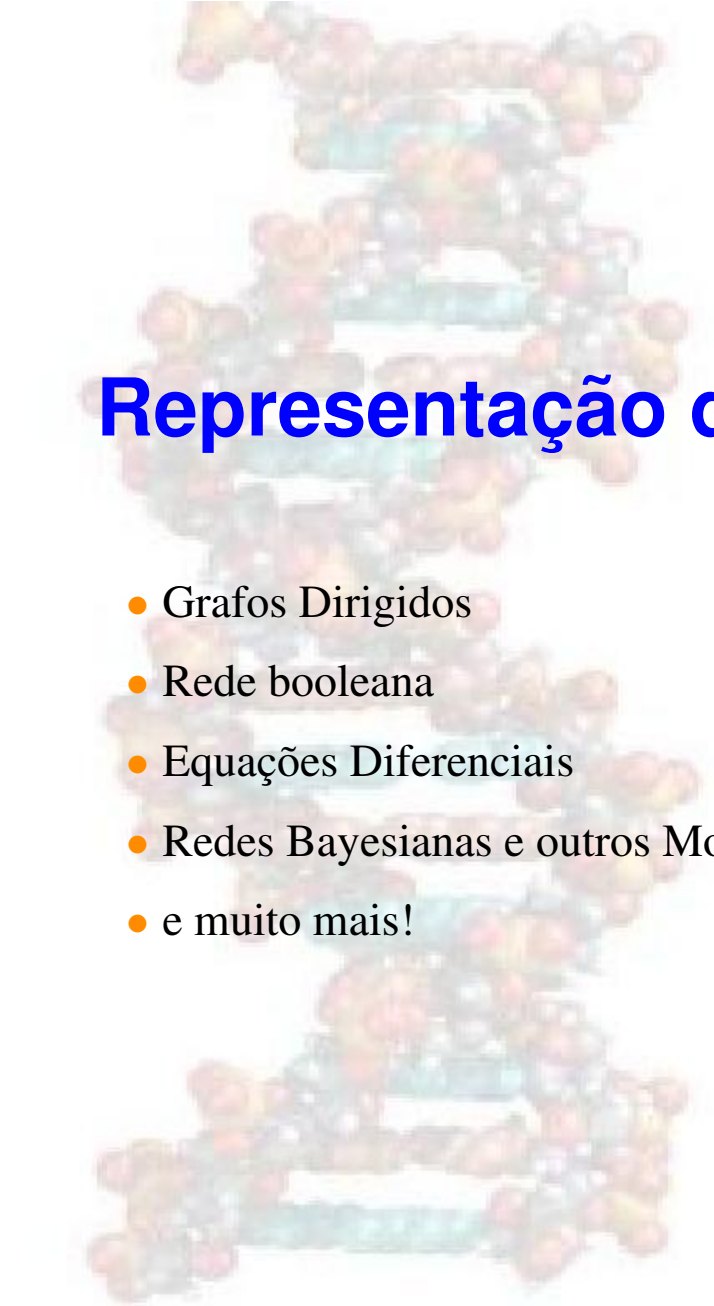
- Se há lactose: proteína transcripta por LacI não consegue ligar ao operador de lac



O Operão LAC: Activação por Glucose

- Se não há glucose: proteína CAP promove ligação de polimerase de RNA e aumenta transcrição.





Representação de Modelos de Rede

- Grafos Dirigidos
- Rede booleana
- Equações Diferenciais
- Redes Bayesianas e outros Modelos Gráficos
- e muito mais!

Representação de Modelos de Rede

- Vamos usar as seguintes variáveis:

L (lactose) presente, ausente

G (glucose) presente, ausente

I (lacI) presente, ausente

C (CAP) presente, ausente

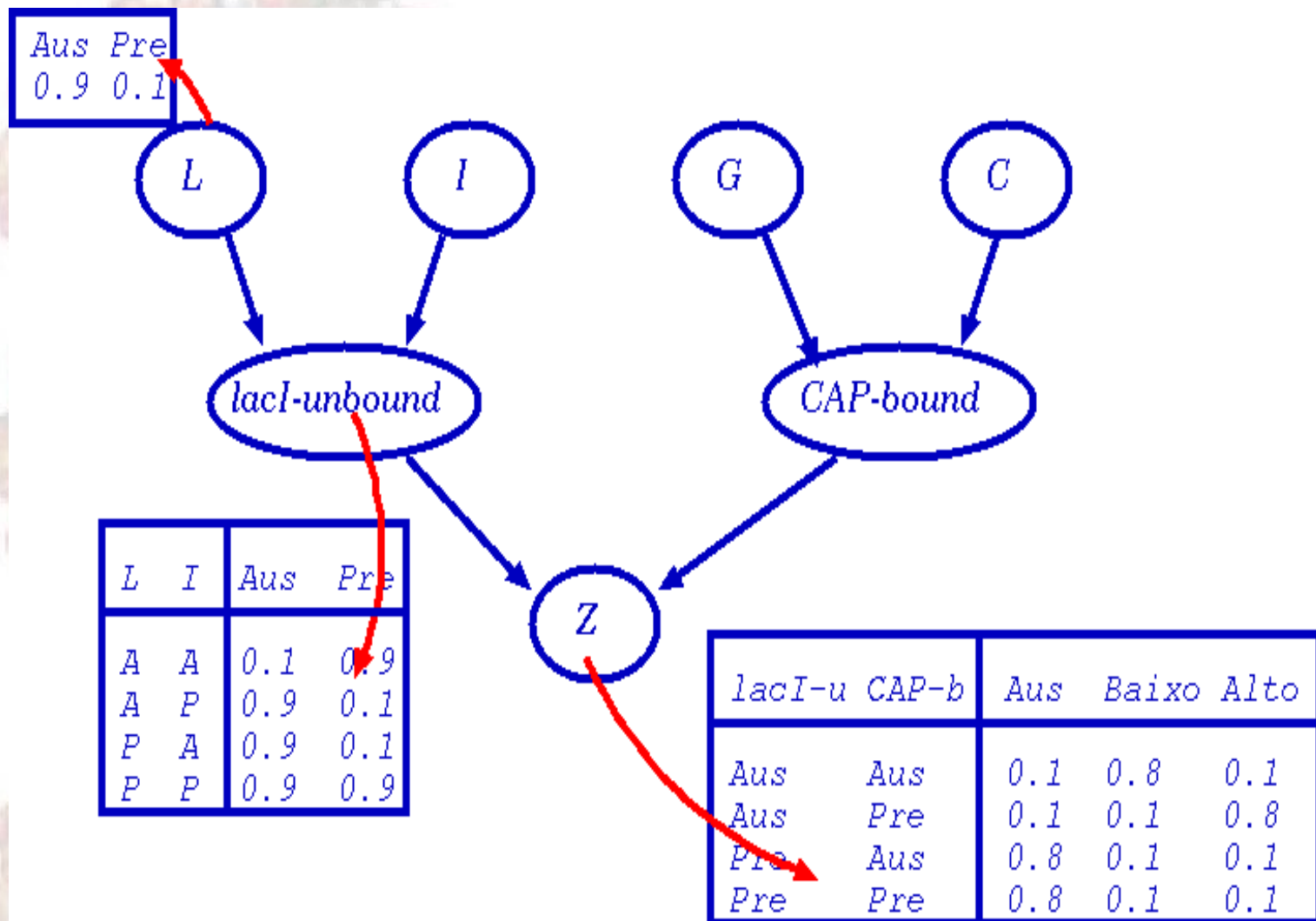
Iac1 – unbound presente, ausente

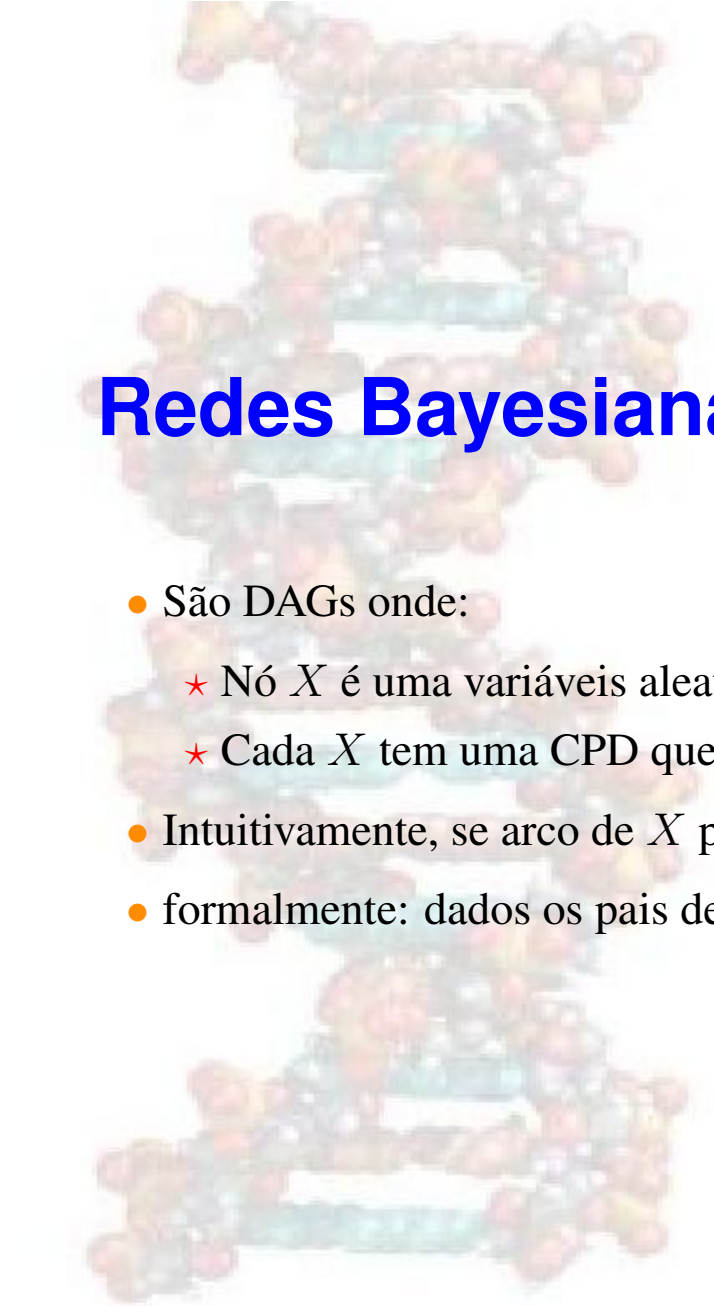
CAP – bound presente, ausente

Z (lacZ) alto, baixo, ausente

- Suponhamos que o sistema não é determinístico
- A distribuição conjunta tem $2^6 \times 3 = 192$ parâmetros

Uma Rede Bayesiana





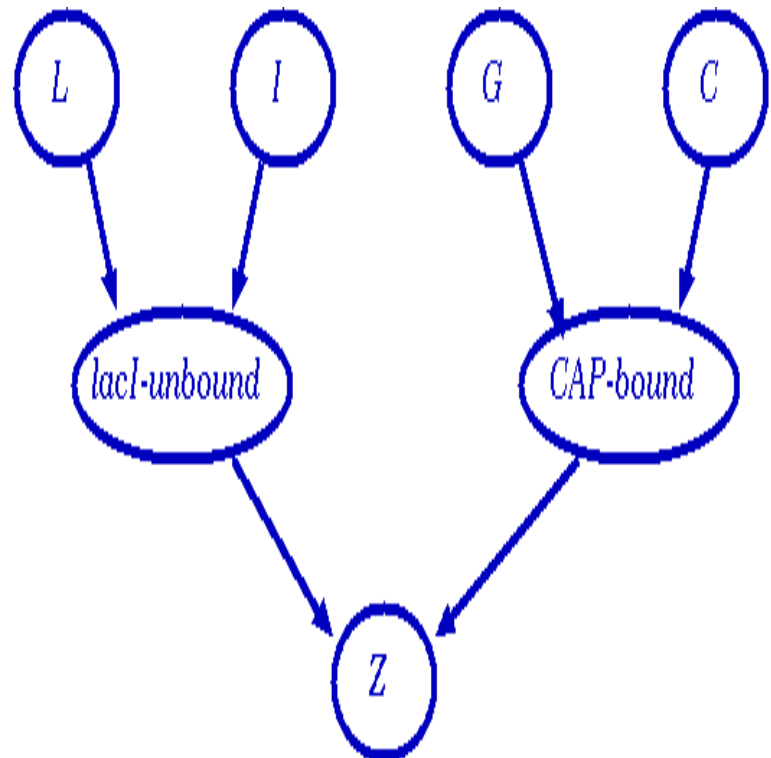
Redes Bayesianas

- São DAGs onde:
 - ★ Nó X é uma variáveis aleatória
 - ★ Cada X tem uma CPD que representa $P(X|Pais(X))$
- Intuitivamente, se arco de X para Y X influencia directamente Y
- formalmente: dados os pais de X , X é independente dos seus não descendentes.

Redes Bayesianas

- Uma BN representa uma fatorização da distribuição conjunta:

$$\begin{aligned} P(L, I, LU, G, CB, Z) = & \\ P(L) \times P(I) \times & \\ P(LU|L, I) \times & \\ P(G) \times P(C) \times & \\ P(CB|G, C) \times & \\ P(Z|LU, CB) & \end{aligned}$$

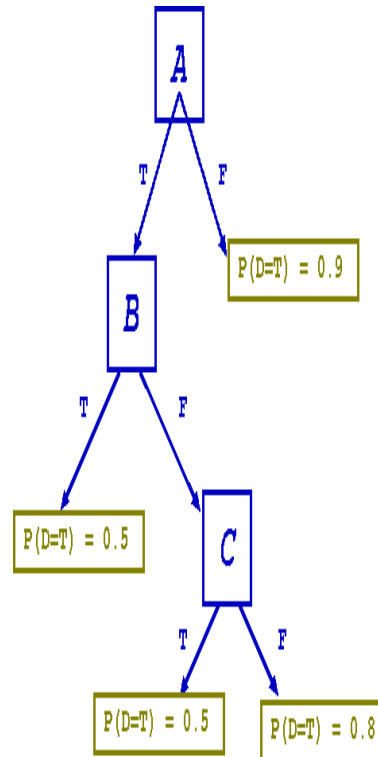


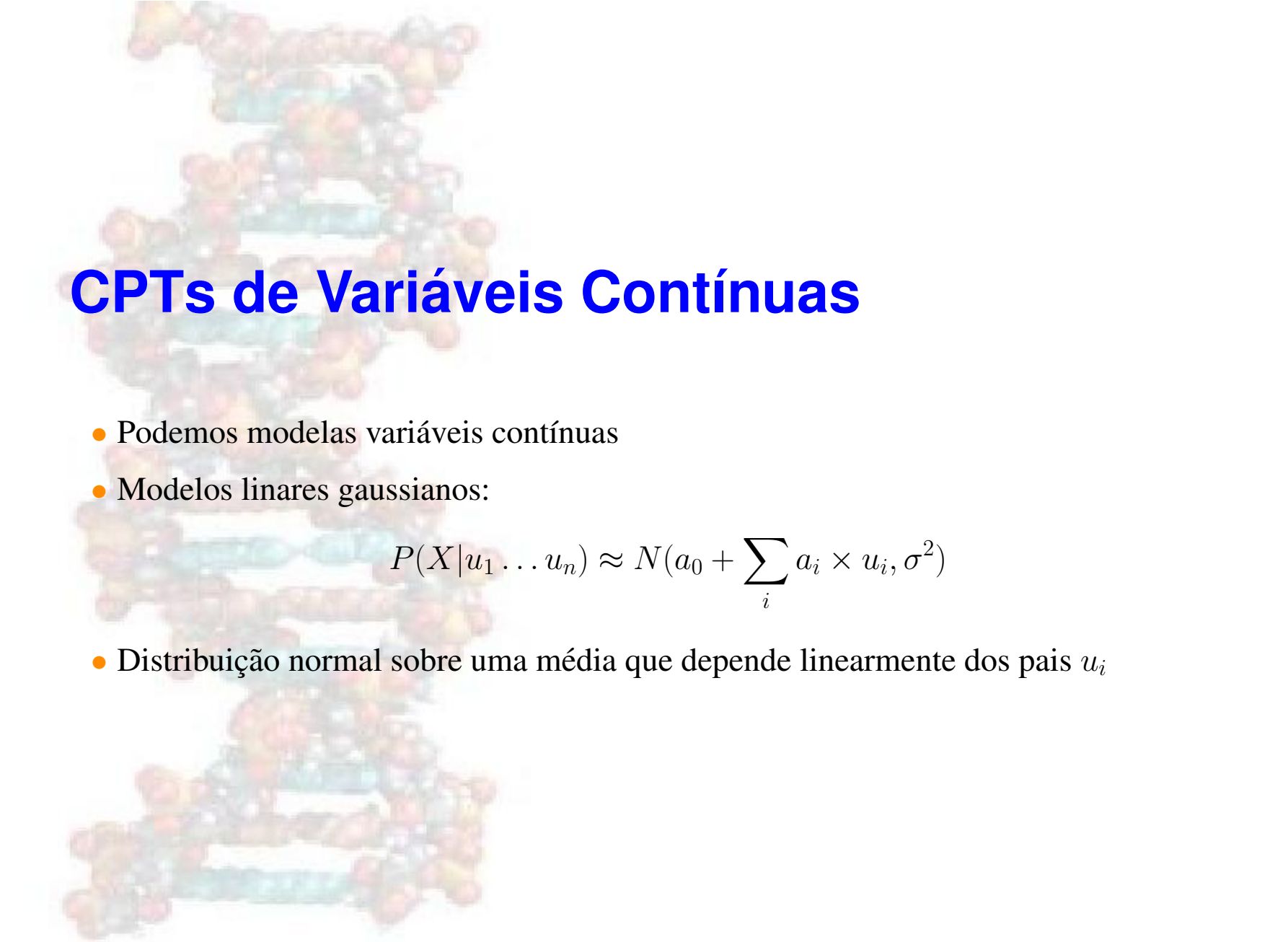
CPTs de Variáveis Contínuas

- Podemos modelas variáveis contínuas

$$P(D|A, B, C)$$

<i>A</i>	<i>B</i>	<i>C</i>	T	F
T	T	T	0.9	0.1
T	T	F	0.9	0.1
T	F	T	0.9	0.1
T	F	F	0.9	0.1
F	T	T	0.8	0.2
F	T	F	0.5	0.5
F	F	T	0.5	0.5
F	F	F	0.5	0.5





CPTs de Variáveis Contínuas

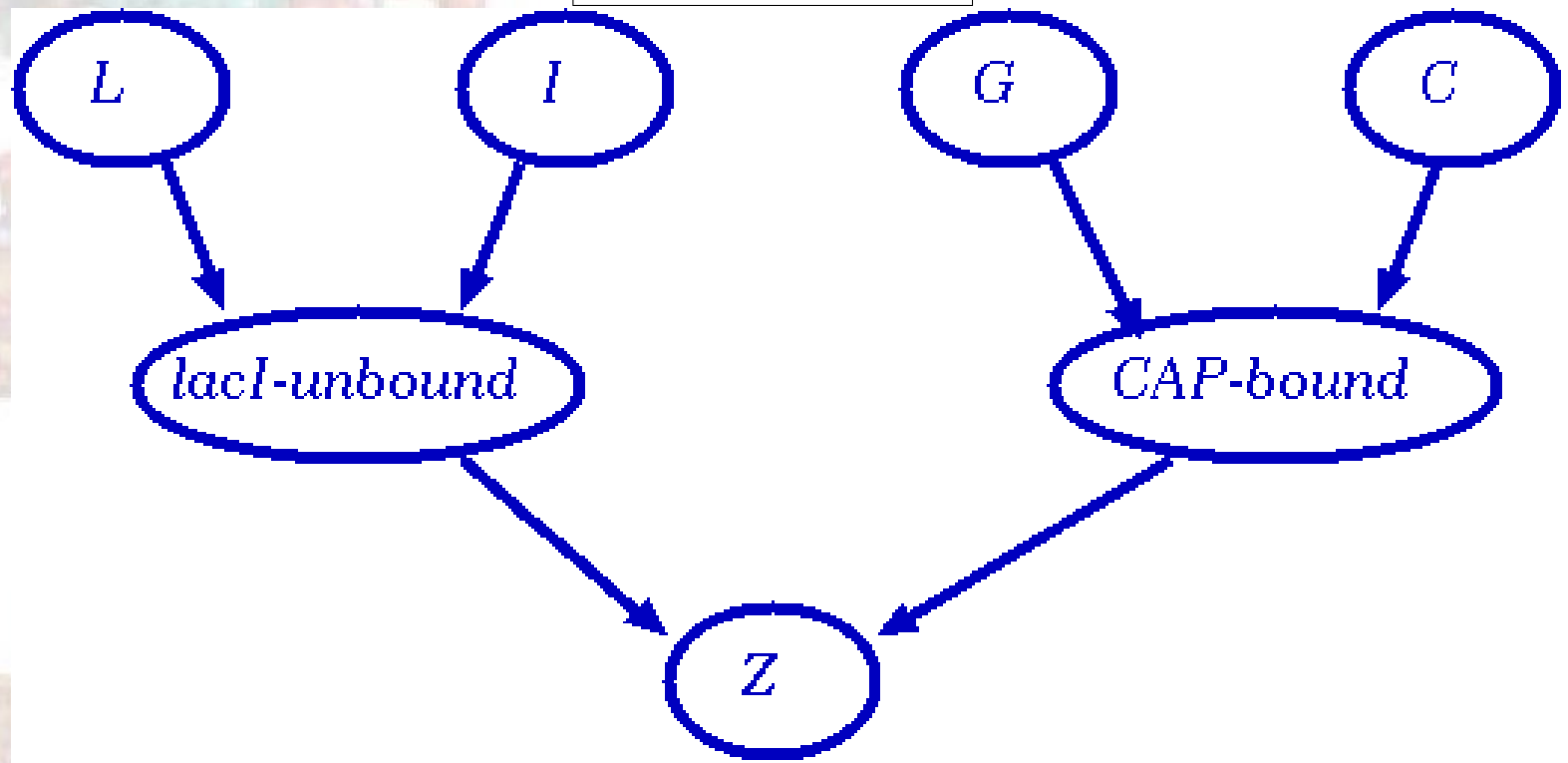
- Podemos modelar variáveis contínuas
- Modelos lineares gaussianos:

$$P(X|u_1 \dots u_n) \approx N(a_0 + \sum_i a_i \times u_i, \sigma^2)$$

- Distribuição normal sobre uma média que depende linearmente dos pais u_i

- Dado um grafo com a estrutura do BN
- E um conjunto de instâncias de treino

<i>L</i>	<i>G</i>	<i>I</i>	<i>C</i>	<i>IU</i>	<i>CB</i>	<i>Z</i>
P	P	PA	A	L		
P	P	PA	A	A		
A	P	PP	A	AL		
				...		



- Preencher as tabelas

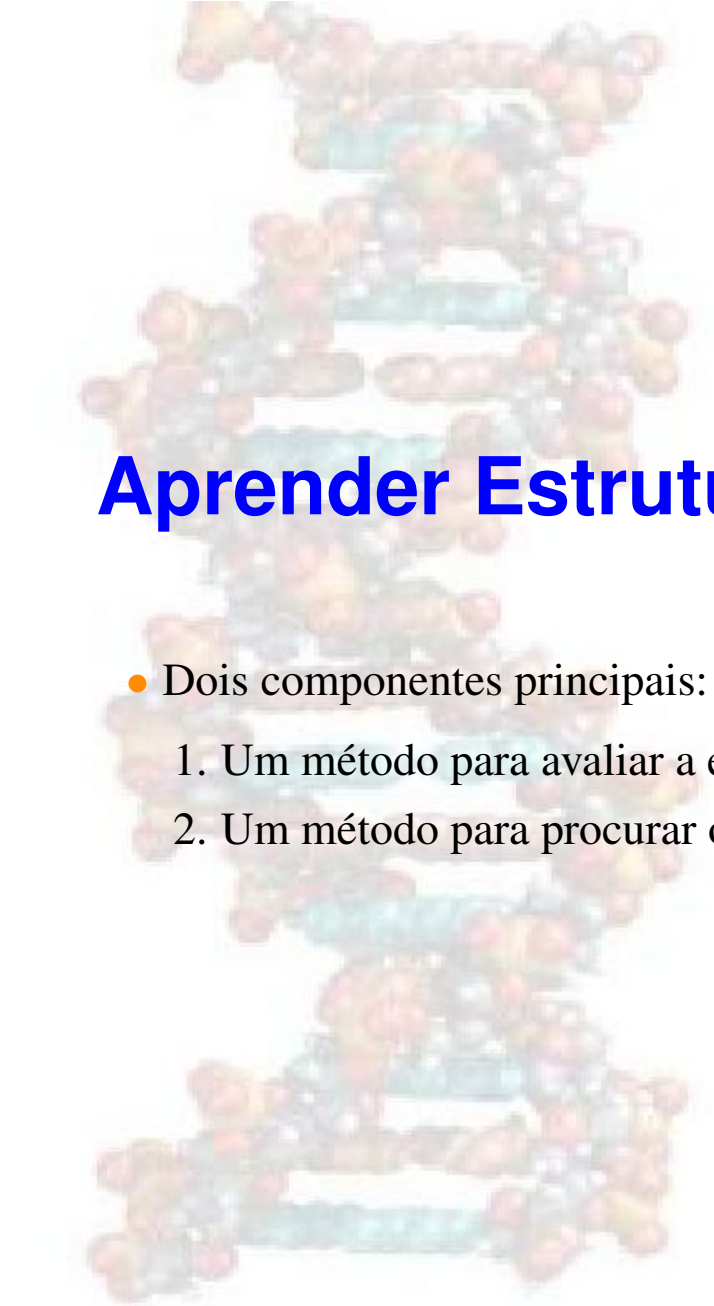


Aprender Estrutura

- Dado um conjunto de instâncias de treino

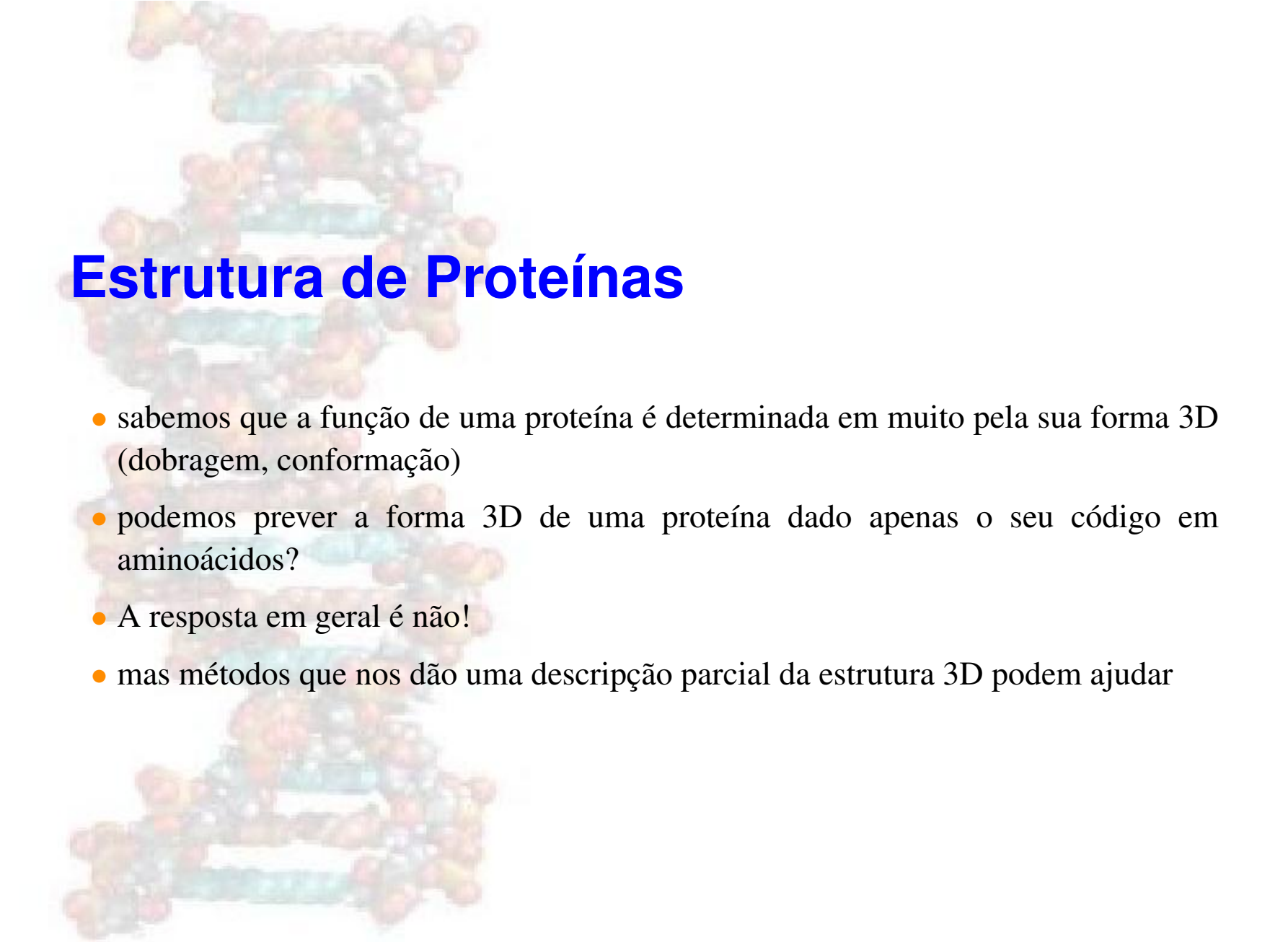
<i>L</i>	<i>G</i>	<i>IC</i>	<i>IU</i>	<i>CB</i>	<i>Z</i>
P	P	PA	A	L	
P	P	PA	A	A	
A	P	PP	A	AL	
...					

- Obter a estrutura do grafo
- e provavelmente os parâmetros



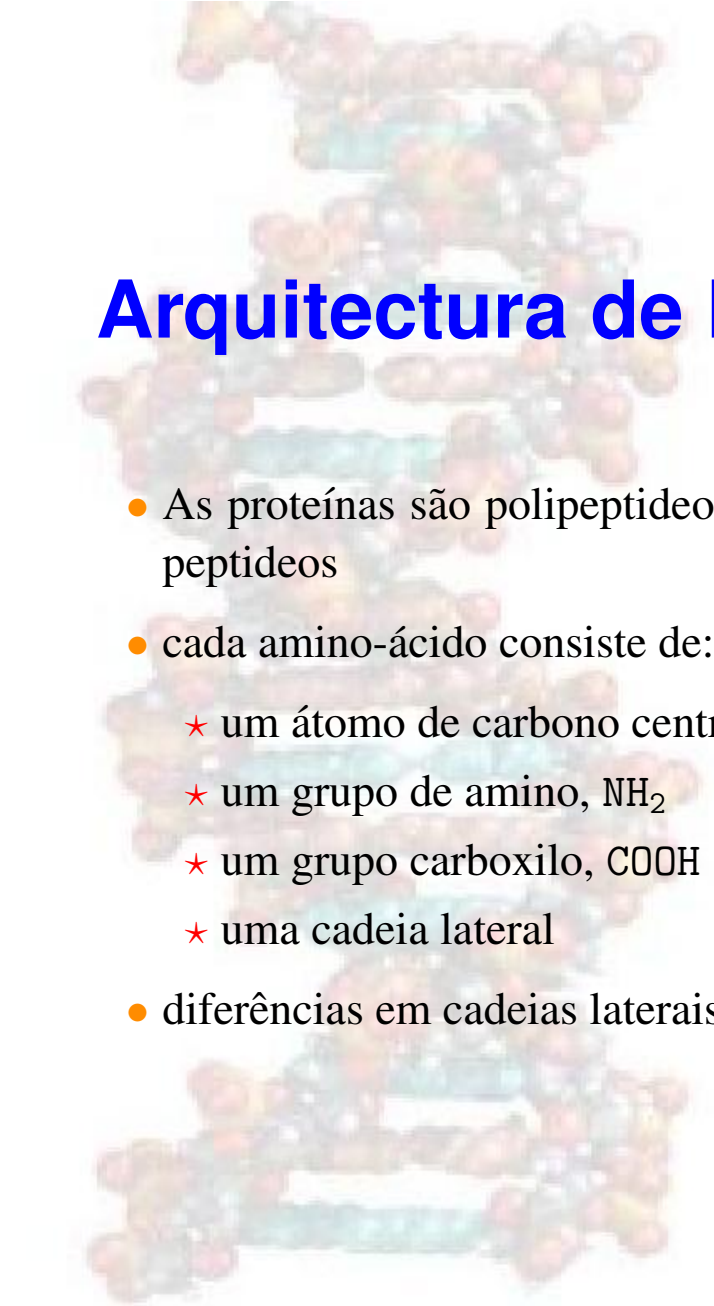
Aprender Estrutura

- Dois componentes principais:
 1. Um método para avaliar a estrutura de um BN
 2. Um método para procurar o espaço de estruturas



Estrutura de Proteínas

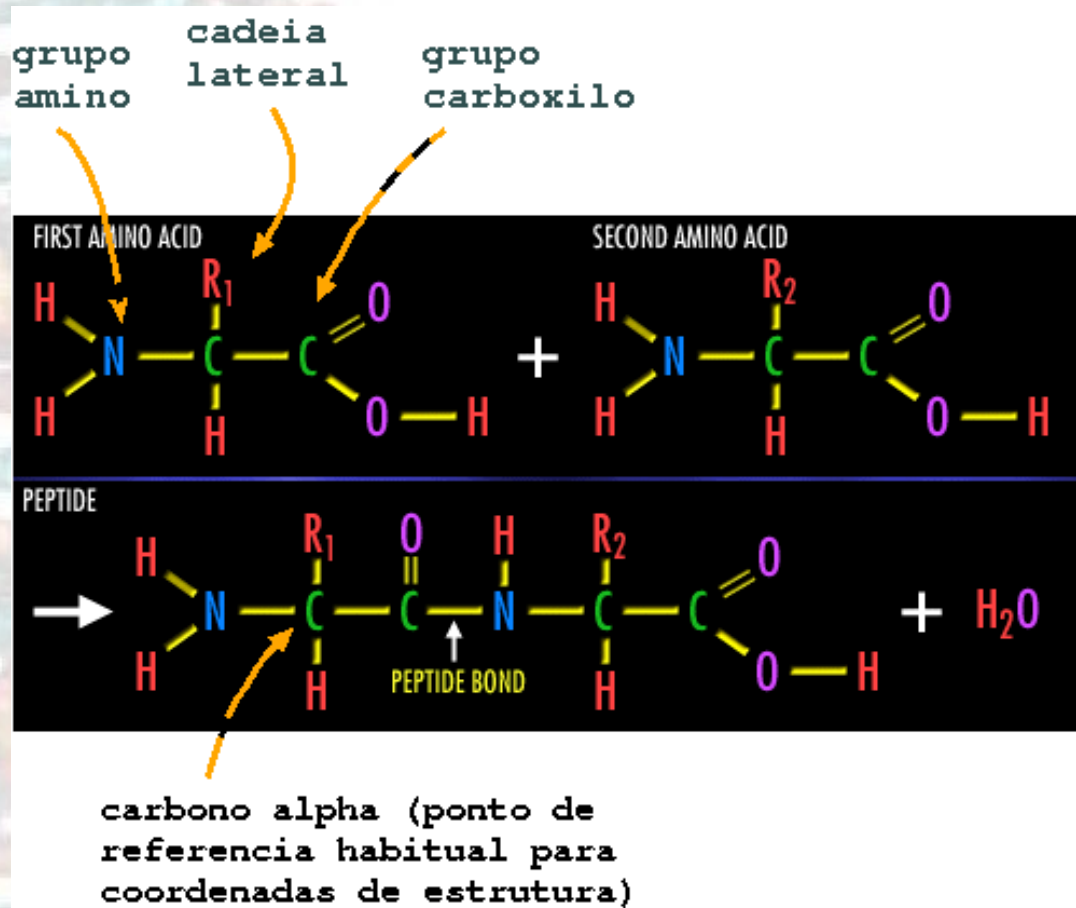
- sabemos que a função de uma proteína é determinada em muito pela sua forma 3D (dobragem, conformação)
- podemos prever a forma 3D de uma proteína dado apenas o seu código em aminoácidos?
- A resposta em geral é não!
- mas métodos que nos dão uma descrição parcial da estrutura 3D podem ajudar



Arquitectura de Proteínas

- As proteínas são polipeptídeos consistindo de amino-ácidos ligados por elos entre peptídeos
- cada amino-ácido consiste de:
 - ★ um átomo de carbono central
 - ★ um grupo de amino, NH_2
 - ★ um grupo carboxilo, COOH
 - ★ uma cadeia lateral
- diferenças em cadeias laterais distinguem diferentes amino-ácidos.

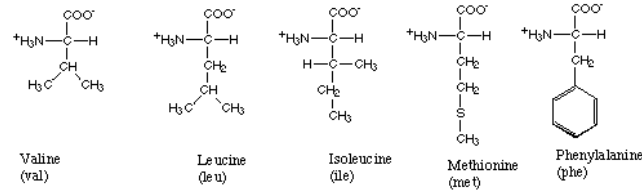
Ligações de Peptideos



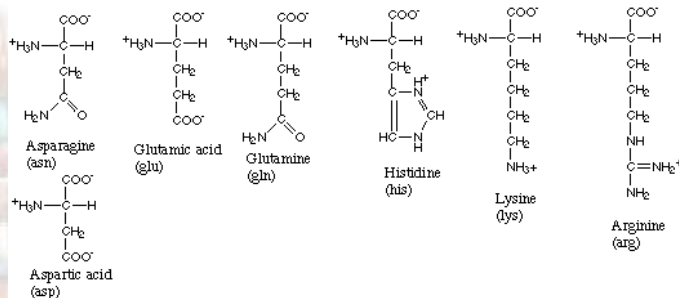
Cadeias Laterais de Amino-Ácidos

- cadeias laterais variam em: forma, tamanho, polaridade e carga.

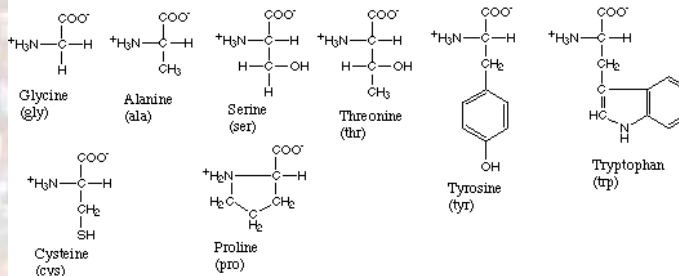
Amino acids with hydrophobic side groups



Amino acids with hydrophilic side groups

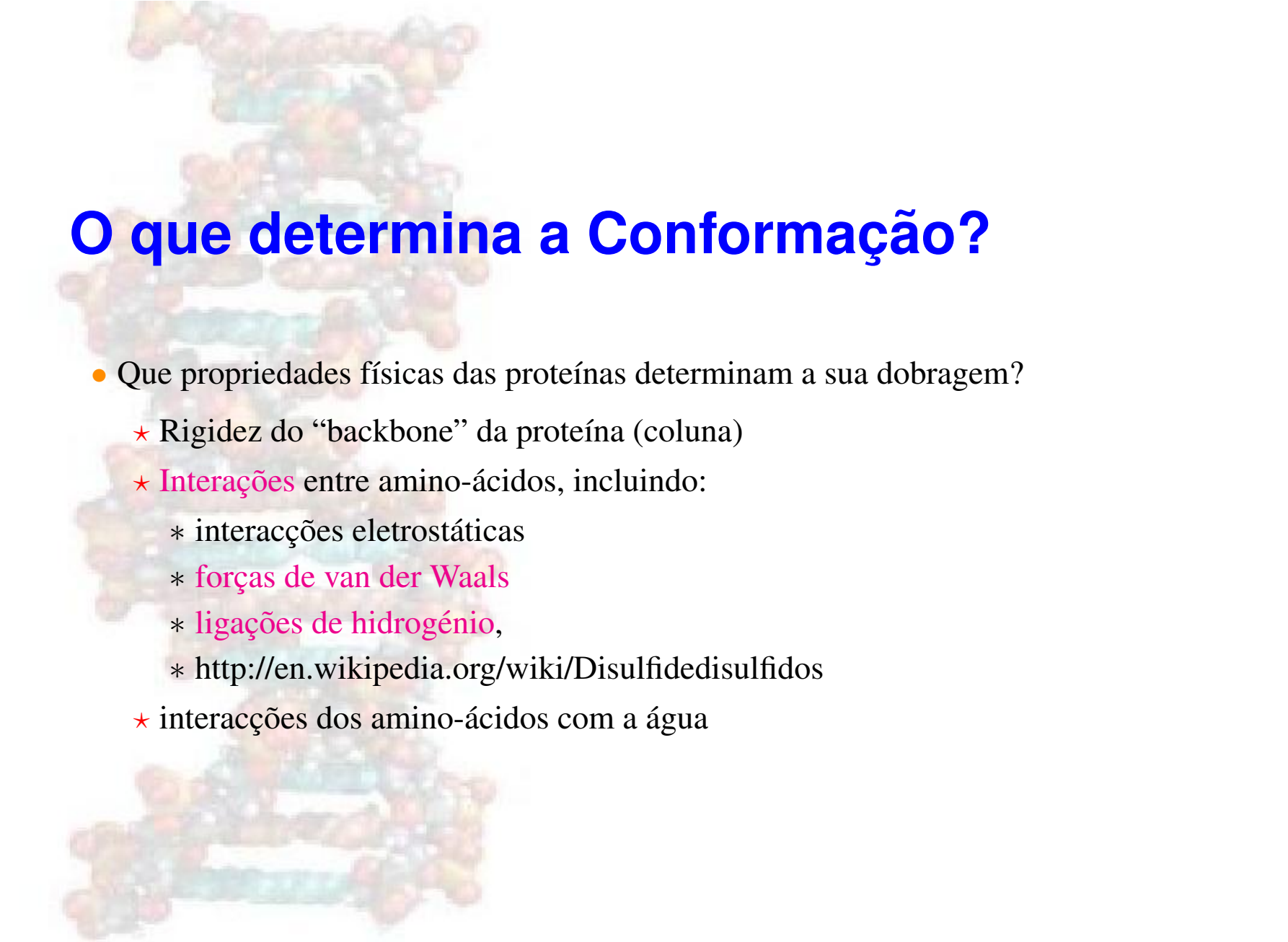


Amino acids that are in between



O que determina a Conformação?

- Em geral, a sequência de amino-ácidos de uma proteína determina a sua forma 3D [Anfinsen et al.,1950s]
- mas existem exceções:
 - ★ todas as proteínas podem ser **desnaturadas**
 - ★ algumas proteínas são inerentemente desordenadas (i.e., não têm estrutura regular)
 - ★ algumas proteínas recebem ajuda para se dobrar de **chaperones**
 - ★ existem vários mecanismos a partir dos quais a conformação de uma proteína pode ser mudada ao vivo:
 - * **fosforilação**
 - * **priões**
 - * etc.



O que determina a Conformação?

- Que propriedades físicas das proteínas determinam a sua dobragem?
 - ★ Rigidez do “backbone” da proteína (coluna)
 - ★ **Interações** entre amino-ácidos, incluindo:
 - * interações eletrostáticas
 - * **forças de van der Waals**
 - * **ligações de hidrogénio**,
 - * <http://en.wikipedia.org/wiki/Disulfidedisulfidos>
 - ★ interações dos amino-ácidos com a água



Níveis de Descrição

A estrutura das proteínas é muitas vezes descrita em quatro diferentes escalas:

- estrutura primária
- estrutura secundária
- estrutura terciária
- estrutura quaternária

Níveis de Descrição



primary structure
(amino acid sequence)

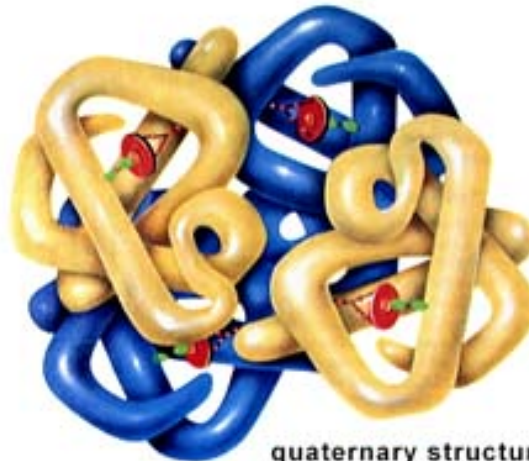


secondary structure
(α -helix)

Níveis de Descrição



tertiary structure
(folded individual peptide)



quaternary structure
(aggregation of two or more peptides)



Estrutura Secundária

- estrutura secundária refere-se a algumas estruturas que se repetem frequentemente
- é uma descrição local da estrutura
- duas estruturas secundárias comuns:
 - ★ hélice α
 - ★ linhas/folhas β
- uma terceira categoria, chamada de bobina ou laço, refere-se a tudo o resto

Classes DSSP

Convenção para **estrutura secundária**:

G 3-turn helix (3₁₀ helix): Tam min 3 resíduos.

H 4-turn helix (α helix). Tam min 4 resíduos.

I 5-turn helix (π helix). Tam min 5 resíduos.

T hydrogen bonded turn (3, 4 or 5 turn)

E beta sheet in parallel and/or anti-parallel sheet conformation (extended strand). Tam min 2 resíduos.

B residue in isolated beta-bridge (single pair beta-sheet hydrogen bond formation)

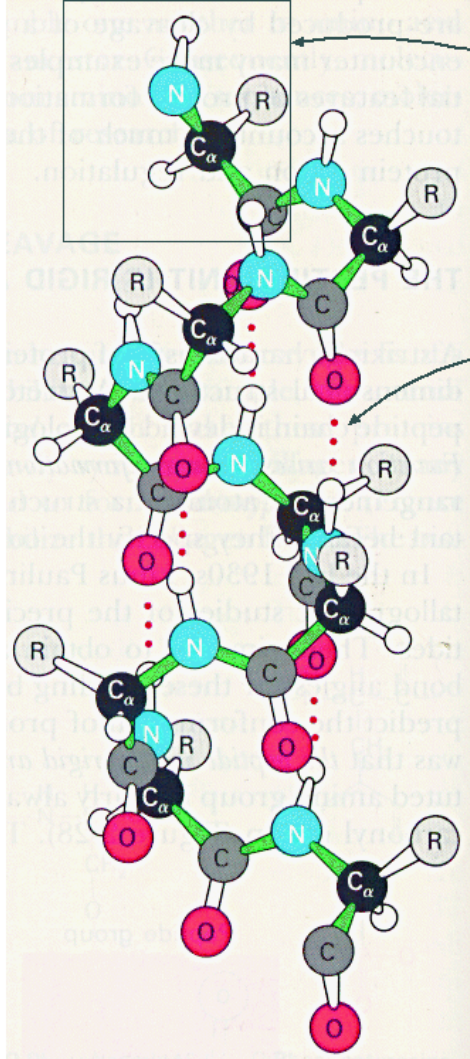
S bend (the only non-hydrogen-bond based assignment)

Resto como espaço, **C** (coil) ou **L** (loop)

Hélices α



carbono α



amino acido individual

elo de hidrogenio

Folhas β

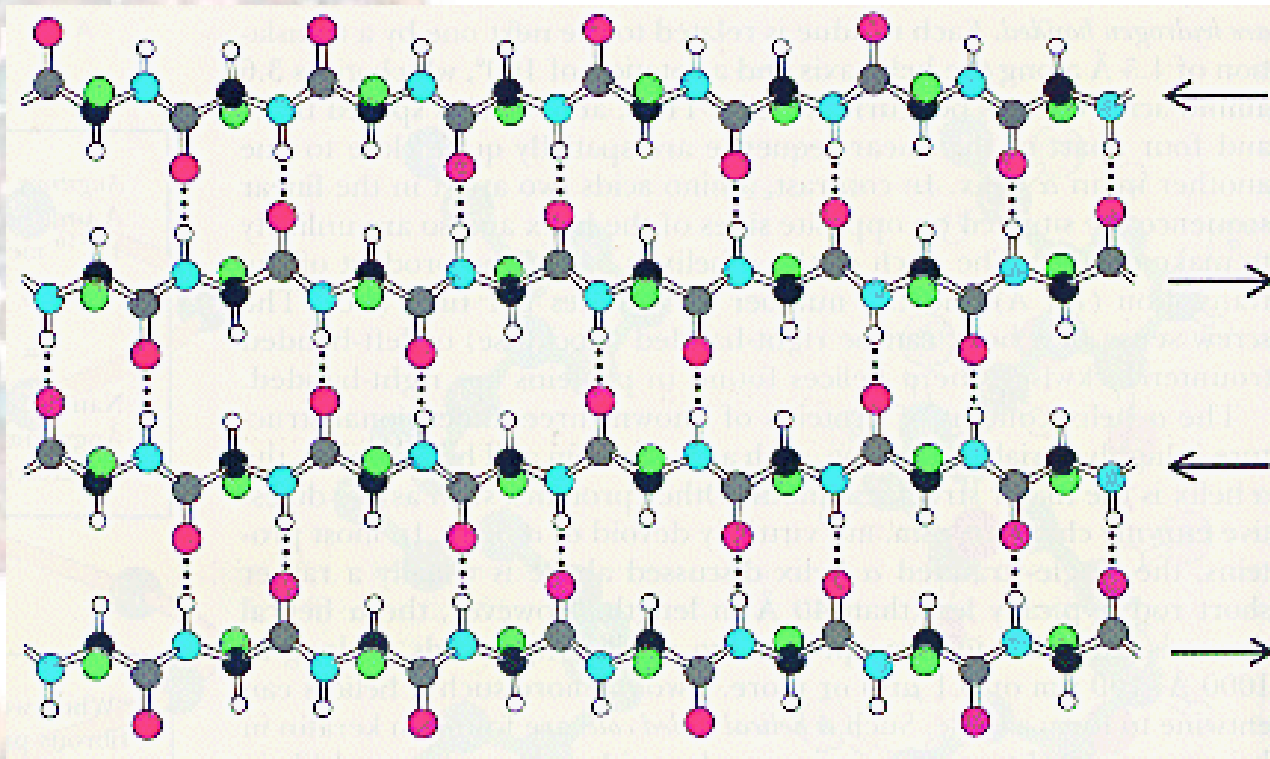
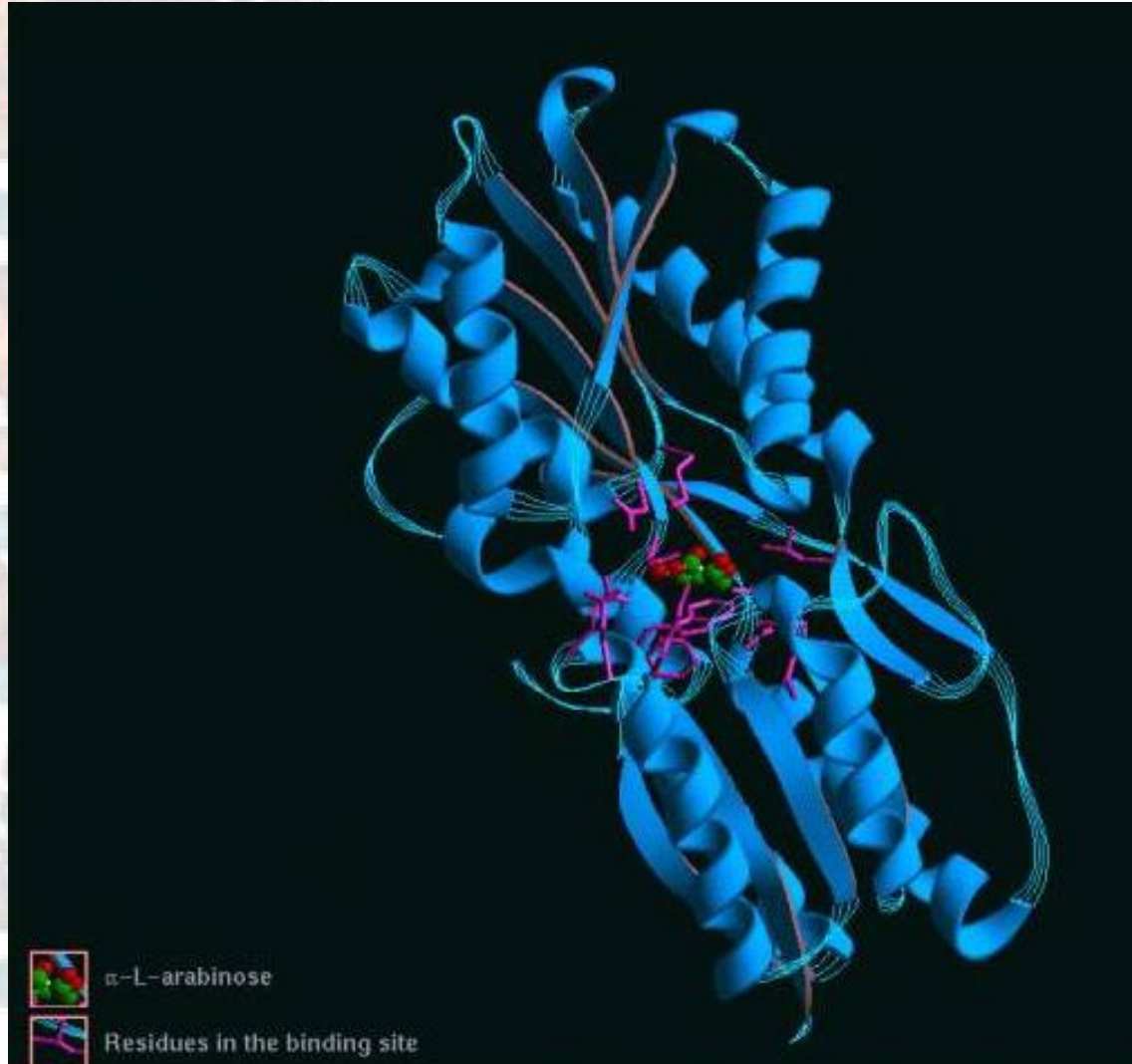
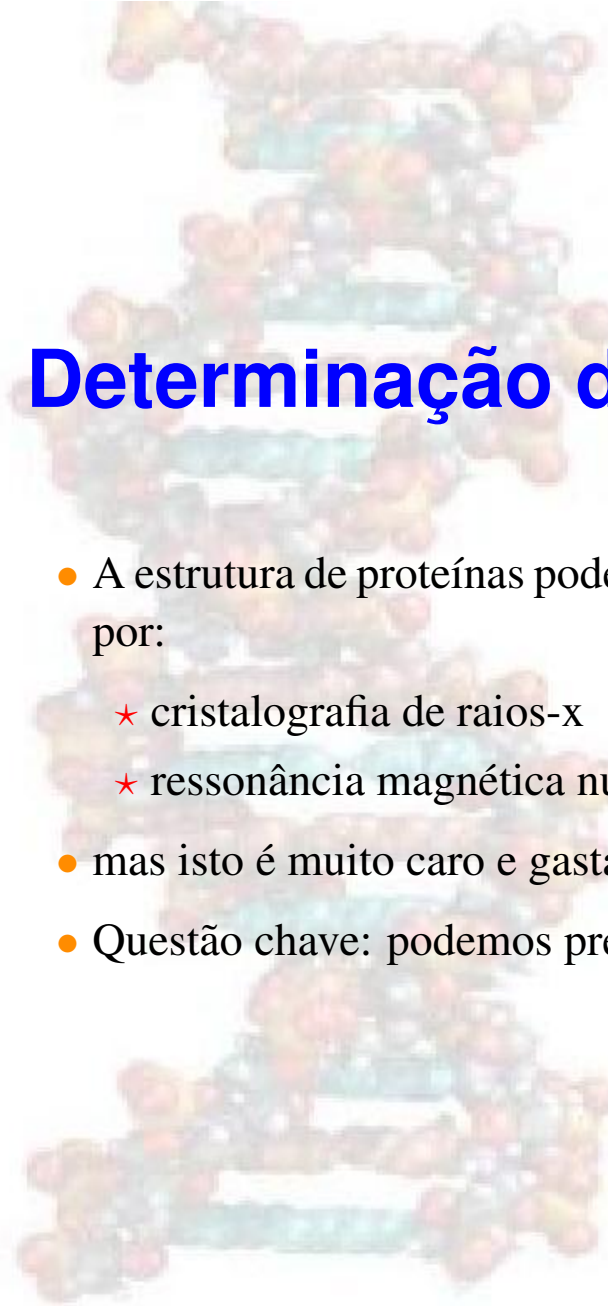


Diagrama em fita mostrando Estruturas Secundárias

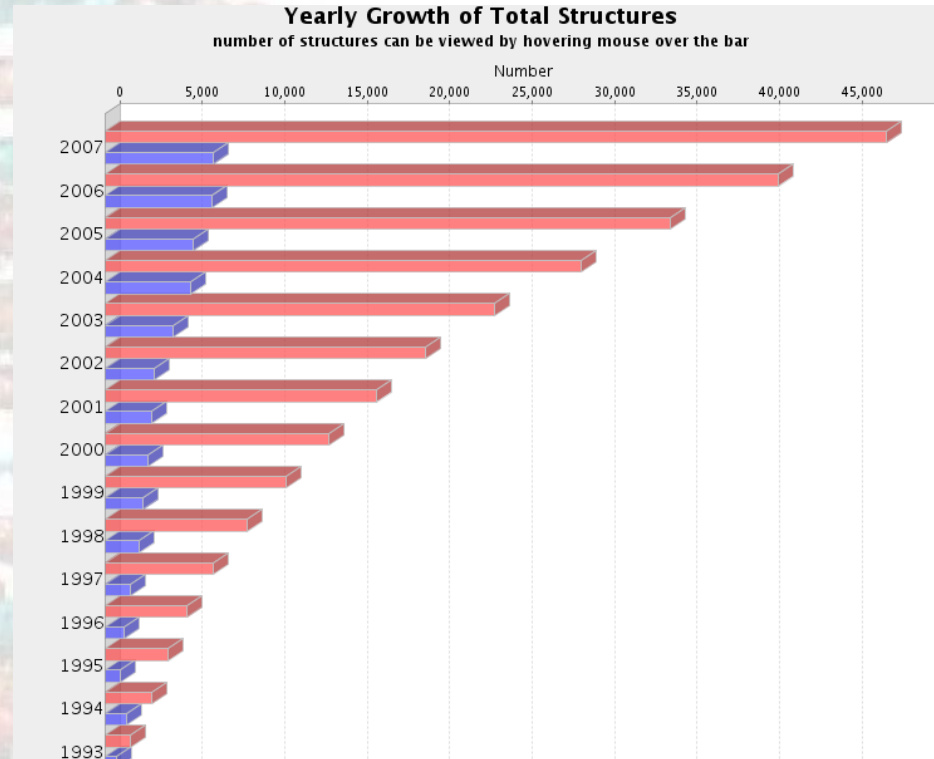




Determinação de Estrutura de Proteínas

- A estrutura de proteínas pode ser determinada experimentalmente (em muitos casos) por:
 - ★ cristalografia de raios-x
 - ★ ressonância magnética nuclear (NMR)
- mas isto é muito caro e gasta muito tempo
- Questão chave: podemos prever estruturas por métodos computacionais?

Estruturas e Sequências



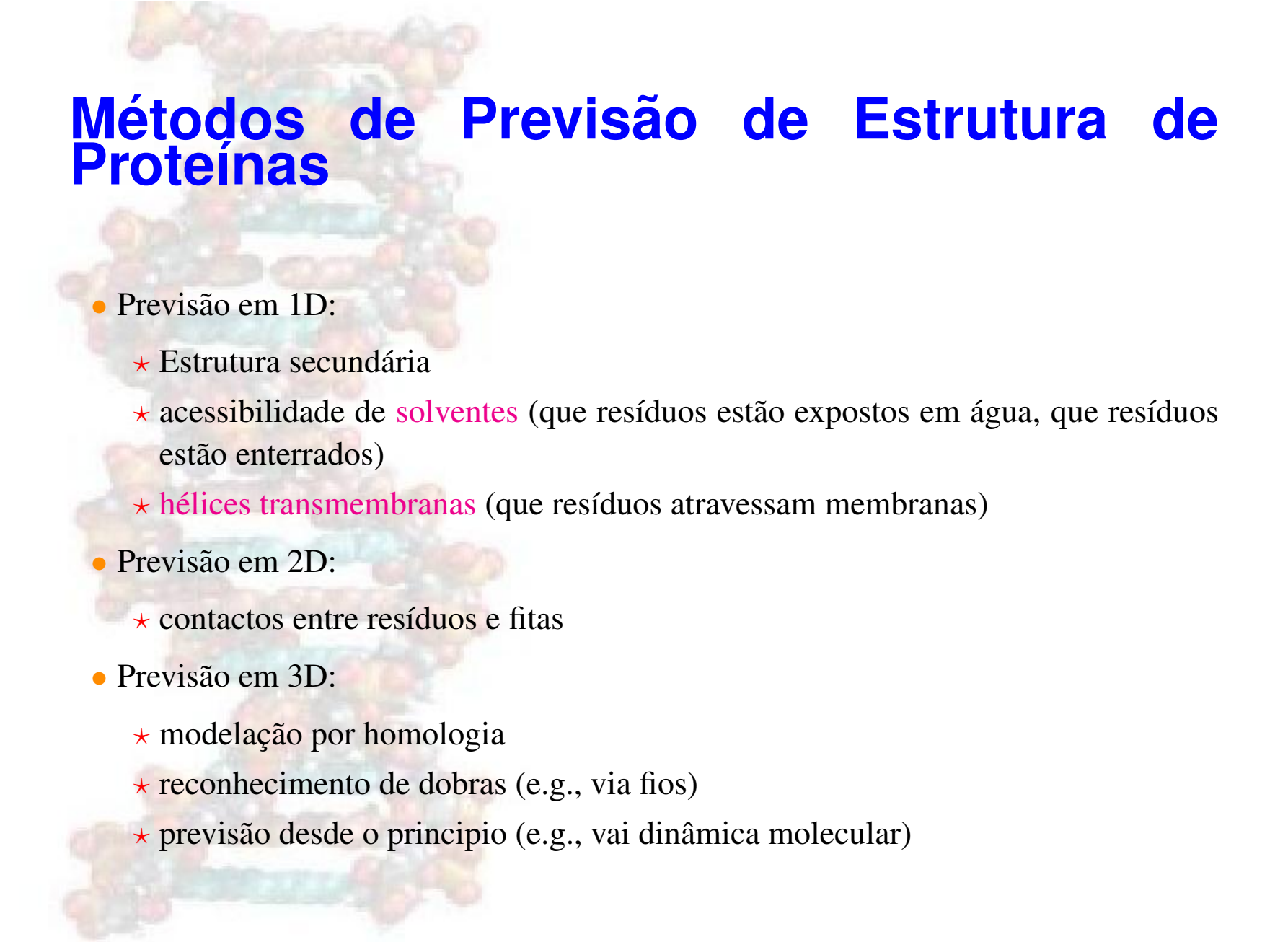
- a versão de 13/11/07 de SWISS-PROT, em contraste, tem entradas para 289,473 seqüências de proteínas.



Aparte: Structural Genomics

- iniciativa mundial tentando determinar estruturas de proteínas com alto desempenho
- **Acessível do PDB**
- 8 centros na Europa

Métodos de Previsão de Estrutura de Proteínas



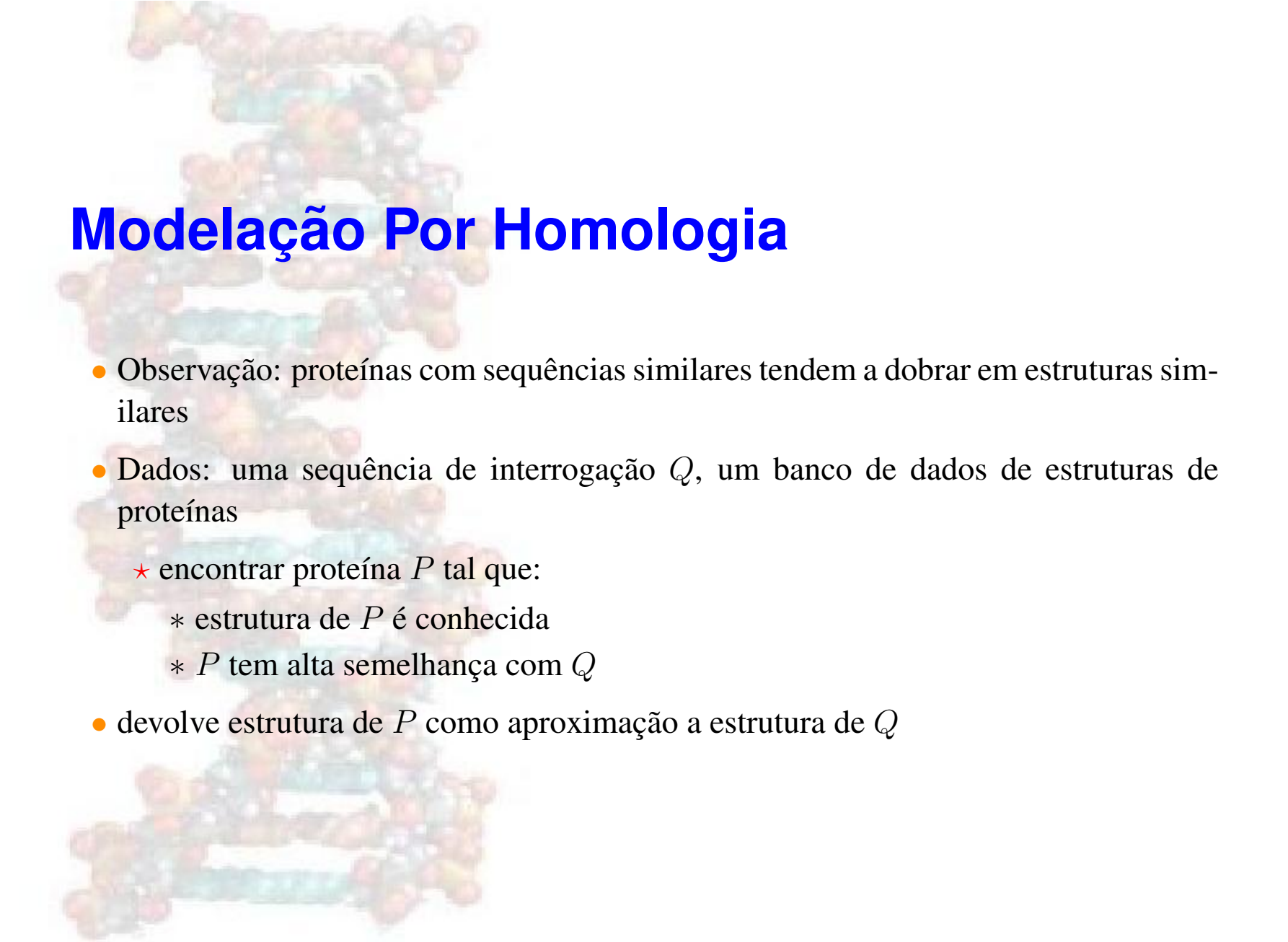
- Previsão em 1D:
 - ★ Estrutura secundária
 - ★ acessibilidade de **solventes** (que resíduos estão expostos em água, que resíduos estão enterrados)
 - ★ **hélices transmembranas** (que resíduos atravessam membranas)
- Previsão em 2D:
 - ★ contactos entre resíduos e fitas
- Previsão em 3D:
 - ★ modelação por homologia
 - ★ reconhecimento de dobras (e.g., via fios)
 - ★ previsão desde o principio (e.g., via dinâmica molecular)

Previsão de Estrutura Secundária

- Dado: uma sequência de proteína
- faça: **preveja um estado de estrutura secundária** (α , β , bobina) para cada amino-ácido na sequência.
- exemplo:

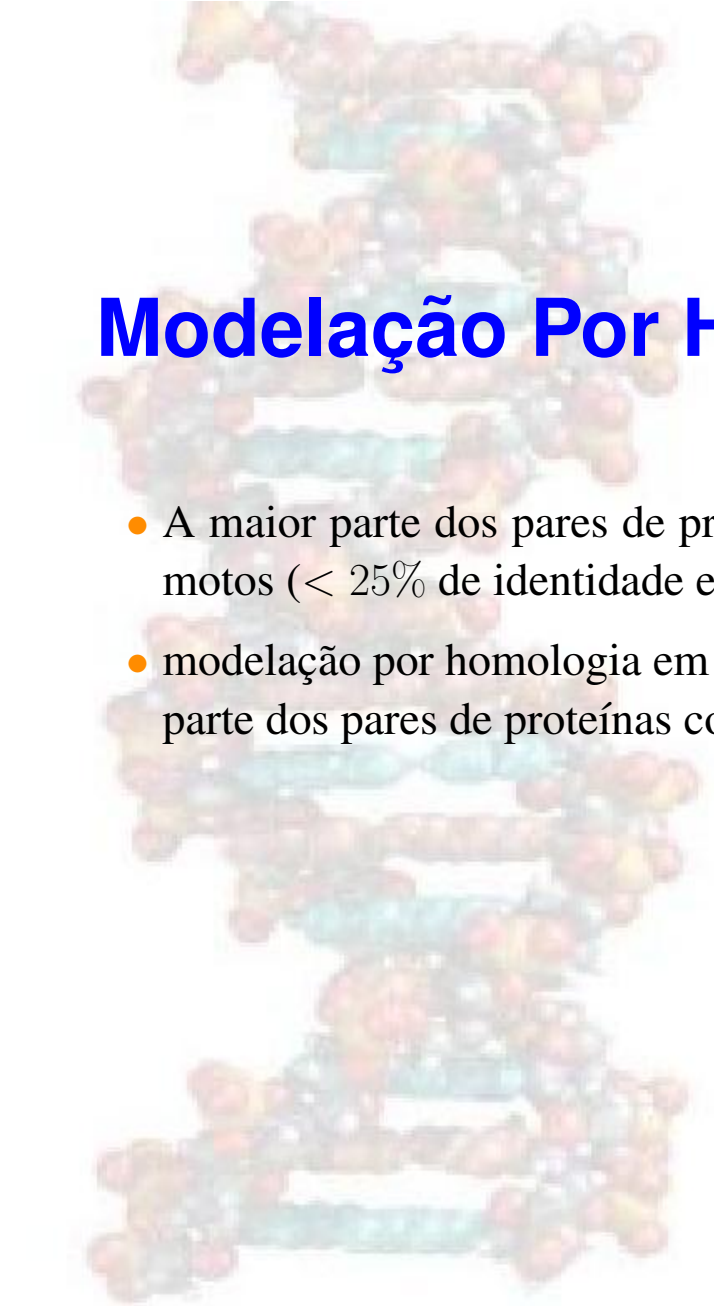
KELVLALYDYQEKSPREVTMKKGDILTLLM...

ccc $\beta\beta\beta\beta$ cccccccccccccccc $\beta\beta\beta\beta$ cccccc $\beta\beta\beta\beta\beta\beta$...



Modelação Por Homologia

- Observação: proteínas com seqüências similares tendem a dobrar em estruturas similares
- Dados: uma seqüência de interrogação Q , um banco de dados de estruturas de proteínas
 - ★ encontrar proteína P tal que:
 - * estrutura de P é conhecida
 - * P tem alta semelhança com Q
- devolve estrutura de P como aproximação a estrutura de Q



Modelação Por Homologia

- A maior parte dos pares de proteínas com estrutura semelhante são homólogos remotos ($< 25\%$ de identidade entre as sequências)
- modelação por homologia em geral não funciona para homólogos remotos; a maior parte dos pares de proteínas com $< 25\%$ não estão relacionados